



(12) BẢN MÔ TẢ SÁNG CHẾ THUỘC BẰNG ĐỘC QUYỀN SÁNG CHẾ

(19) Cộng hòa xã hội chủ nghĩa Việt Nam (VN)

(11)



1-0022135

CỤC SỞ HỮU TRÍ TUỆ

(51)<sup>7</sup> C12N 1/21, C12P 19/32, 7/04, 7/28,  
C12N 15/09

(13) B

(21) 1-2014-00658

(22) 27.07.2012

(86) PCT/JP2012/069247 27.07.2012

(87) WO2013/018734 07.02.2013

(30) 2011-167808 29.07.2011 JP

(45) 25.11.2019 380

(43) 25.08.2014 317

(73) Mitsui Chemicals, Inc. (JP)

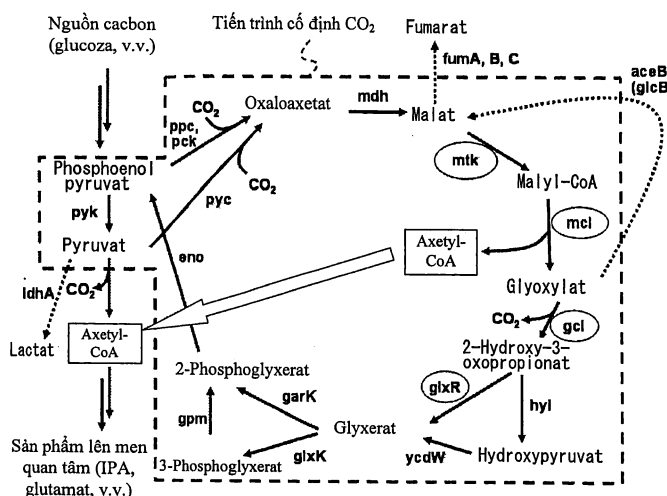
5-2, Higashi-Shimbashi 1-chome, Minato-ku, Tokyo 1057117, Japan

(72) FUJII, Ryota (JP), SHIRAI, Tomokazu (JP), ARAKI, Tadashi (JP), AMANO, Koh (JP), MATSUMOTO, Yoshiko (JP), TATENO, Toshihiro (JP), TAKEBAYASHI, Nozomi (JP), MORISHIGE, Takashi (JP), TAKAHASHI, Hitoshi (JP), WADA, Mitsufumi (JP), SHIMIZU, Hiroshi (JP), FURUSAWA, Chikara (JP), HIRASAWA, Takashi (JP), HIDESAKI, Tomonori (JP), ENDO, Ayako (JP), JURCEN-LOHMANN, Dominik Lukas (DE), MADHAVAN, Anjali (IN), CHONG, SU SUN (MY)

(74) Công ty TNHH Tâm nhìn và Liên danh (VISION & ASSOCIATES CO.LTD.)

(54) VI SINH VẬT SẢN XUẤT AXETYL-COA VÀ PHƯƠNG PHÁP SẢN XUẤT AXETYL-COA BẰNG CÁCH SỬ DỤNG VI SINH VẬT NÀY

(57) Sáng chế đề cập đến vi sinh vật sản xuất axetyl-CoA, có khả năng tổng hợp hiệu quả axetyl-CoA sử dụng cacbon dioxit, và phương pháp sản xuất các chất bằng cách sử dụng vi sinh vật này. Vi sinh vật sản xuất axetyl-CoA có chu trình sản xuất axetyl-CoA thu được bằng cách truyền ít nhất một loại hoạt tính enzym được chọn từ nhóm bao gồm malat thiokinaza, malyl-CoA lyaza, glyoxylat carboligaza, 2-hydroxy-3-oxopropionat reductaza, và hydroxypyruvat reductaza, cho vi sinh vật này.



## Lĩnh vực kỹ thuật được đề cập

Sáng chế đề cập đến vi sinh vật sản xuất axetyl-CoA và phương pháp sản xuất các chất bằng cách sử dụng vi sinh vật sản xuất axetyl-CoA này.

### Tình trạng kỹ thuật của sáng chế

Axetyl-CoA là một trong số các hợp chất trung gian rất quan trọng trong các tiến trình chuyển hóa của các vi sinh vật. Nhiều chất chuyển hóa khác nhau được sản xuất thông qua axetyl-CoA. Các ví dụ đã biết rõ về các chất được sản xuất thông qua axetyl-CoA như vậy bao gồm các axit amin như axit L-glutamic, L-glutamin, L-prolin, L-arginin, L-leuxin, và L-isoleuxin; các axit hữu cơ như axit axetic, axit propionic, axit butyric, axit caproic, axit xitic, axit 3-hydroxybutyric, axit 3-hydroxyisobutyric, axit 3-aminoisobutyric, axit 2-hydroxyisobutyric, axit metacrylic, và axit poly-3-hydroxybutyric; rượu như rượu isopropylic, etanol, và butanol; axeton; và các axit polyglutamic.

Trong hầu hết các vi sinh vật, axetyl-CoA được sản xuất bằng cách sử dụng đường chǎng hạn như glucoza làm nguồn cacbon. Đường trước tiên được chuyển hóa thành pyruvat thông qua tiến trình chuyển hóa được gọi là tiến trình thủy phân glucoza, như tiến trình Embden-Meyerhof, tiến trình Entner-Doudoroff, hoặc tiến trình pentoza phosphat. Tiếp theo, pyruvat được chuyển hóa thành axetyl-CoA bởi các tác động của decarboxylaza, pyruvat format-lyaza, và các enzym tương tự. Trong quy trình này, cacbon dioxit và format được tạo ra dưới dạng các sản phẩm phụ, và một số cacbon có nguồn gốc từ đường sẽ mất đi. Do đó, một số nghiên cứu đã được tiến hành với mục đích đạt được sự tái cố định của cacbon dioxit để làm tăng hiệu suất của axetyl-CoA.

Trong các vi sinh vật, có một số tiến trình đã biết để cố định cacbon dioxit làm nguồn cacbon (Appl. Environ. Microbiol. 77(6), 1925-1936, 2011). Các ví dụ cụ thể về các tiến trình này bao gồm chu trình Calvin-Benson, chu trình TCA khử, tiến trình Wood-Ljungdahl, chu trình 3-hydroxypropionat, và chu trình 4-hydroxybutyrate. Chu trình Calvin-Benson là tiến trình cố định CO<sub>2</sub> tồn tại ở cây và vi khuẩn quang hợp, và chứa khoảng 12 loại enzym. Trong chu trình Calvin-Benson, CO<sub>2</sub> được cố định bởi ribuloza-1,5-bisphosphat carboxylaza (RubisCO) và, cuối cùng, glyxeraldehyt 3-phosphat được sản xuất. Chu trình

TCA khử được tìm thấy trong vi khuẩn ura ít oxy và vi khuẩn kỵ khí bao gồm vi khuẩn lưu huỳnh màu lục, và chứa 11 loại enzym. Chu trình này đặc trưng bởi các enzym cố định CO<sub>2</sub> (tức là, axetyl-CoA carboxylaza, 2-oxoglutarat synthaza) mà đòi hỏi ferredoxin làm coenzym. Trong chu trình TCA khử, pyruvat được sản xuất từ CO<sub>2</sub> bởi phản ứng ngược của chu trình TCA thông thường. Tiến trình Wood-Ljungdahl được tìm thấy trong các vi sinh vật kỵ khí như vi khuẩn sản xuất axit axetic, và chứa 9 loại enzym. Trong tiến trình Wood-Ljungdahl, CO<sub>2</sub> và format trên coenzym được khử bởi format dehydrogenaza, CO dehydrogenaza, v.v., và, cuối cùng được chuyển hóa thành axetyl-CoA. Chu trình 3-hydroxypropionat được tìm thấy trong vi khuẩn *Chloroflexus* và các vi khuẩn tương tự, và chứa 13 loại enzym. Trong chu trình 3-hydroxypropionat, CO<sub>2</sub> được cố định bởi tác động của axetyl-CoA (propionyl-CoA) carboxylaza và axetyl-CoA được sản xuất thông qua malonyl-CoA và các chất tương tự. Chu trình 4-hydroxybutyrat tồn tại trong vi khuẩn cổ và các vi khuẩn tương tự. Trong chu trình 4-hydroxybutyrat, CO<sub>2</sub> được cố định bởi các tác động của pyruvat synthaza, axetyl-CoA (propionyl-CoA) carboxylaza, và phosphoenolpyruvat carboxylaza, nhờ đó axetyl-CoA được sản xuất thông qua 4-hydroxybutyryl CoA và các chất tương tự.

Để sản xuất chất hữu dụng, một vài phương pháp đã được báo cáo dưới dạng ý tưởng đưa tiến trình cố định cacbon dioxit vào vi sinh vật sản xuất hợp chất hữu dụng. Ví dụ, Công bố đơn quốc tế (WO) 2009/094485 và WO 2010/071697 bộc lộ các phương pháp sản xuất axetyl-CoA từ cacbon dioxit, bằng cách sử dụng vi sinh vật mà tiến trình tương tự với tiến trình Wood-Ljungdahl của vi khuẩn axit axetic được đưa vào vi sinh vật này. Để làm ví dụ về sự cố định CO<sub>2</sub> để sản xuất hợp chất hữu dụng, WO 2009/046929 bộc lộ phương pháp sản xuất axit lactic từ cacbon dioxit bằng cách sử dụng vi sinh vật mà hydrogenaza và tetrahydrofolat lyaza được đưa vào vi sinh vật này. WO 2011/099006 đề xuất chu trình trong đó CO<sub>2</sub> được cố định thông qua phản ứng cố định cacbon dioxit lên trên axetyl-CoA hoặc phản ứng khử malonyl-CoA. Patent Đức số 102007059248 đề xuất quy trình sản xuất axetyl-CoA bằng tiến trình tương tự với chu trình 4-hydroxybutyrate.

### Bản chất kỹ thuật của sáng chế

#### Vấn đề kỹ thuật

Tuy nhiên, các chu trình cố định cacbon dioxit đã biết không tất yếu có hiệu quả từ quan điểm về sự cố định CO<sub>2</sub> và sản xuất các sản phẩm hóa học hữu dụng có nguồn gốc từ axetyl-CoA. Ví dụ, chu trình Calvin-Benson là chu trình cố định cacbon dioxit nổi bật nhất được tìm thấy trong tự nhiên, nhưng RubisCO liên quan đến sự cố định cacbon dioxit có

tốc độ phản ứng thấp và gây ra các phản ứng phụ như sự phân rã oxy hóa. Do đó, RubisCO là không hiệu quả làm enzym (Journal of Bioscience and Bioengineering 94(6) 497-505, 2002). Trong tiến trình Wood-Ljungdahl và các tiến trình được mô tả trong WO 2009/094485, WO 2010/071697, WO 2009/046929 và các tiến trình tương tự, tiến trình để khử CO<sub>2</sub> thành CO hoặc format được bao gồm. Tuy nhiên, phản ứng khử khó xảy ra trong các điều kiện bình thường, và enzym xúc tác loại phản ứng khử mạnh này thường chỉ tác dụng trong môi trường khử. Do đó, khó đưa loại tiến trình này vào vi sinh vật không phải là vi sinh vật ký khí nghiêm ngặt. Trong chu trình TCA khử, phản ứng khử bởi pyruvat synthaza hoặc 2-oxoglutarat synthaza đòi hỏi năng suất khử mạnh từ ferredoxin làm chất nhận điện tử, và khó tiến hành phản ứng. Chu trình 4-hydroxybutyrat, chu trình 3-hydroxypropionat, và các tiến trình được mô tả trong WO 2011/099006, WO 2009/046929, và các tiến trình tương tự sử dụng phản ứng khử cho axit carboxylic hoặc (thio)este của nó, như khử succinyl-CoA hoặc khử malonyl-CoA. Tuy nhiên, nhìn chung khó tiến hành loại phản ứng này dưới dạng phản ứng enzym, và mong muốn tránh các tiến trình này làm các tiến trình lên men khi có thể (Atsumi et al., Nature, 451, (3), 86-89, 2008; Yim et al., Nat. Chem. Biol., 7, 445-452, 2011). Chu trình 4-hydroxybutyrat diễn ra thông qua phản ứng loại nước như sự loại nước của 4-hydroxybutyryl CoA hoặc sự loại nước của 3-hydroxypropionat, nhưng chu trình này có nhược điểm ở chỗ loại phản ứng loại nước này thường cạnh tranh với phản ứng ngược (hydrat hóa) trong nước. Trong chu trình 4-hydroxybutyrat, chu trình 3-hydroxypropionat, và chu trình TCA khử, axetyl-CoA đã sản xuất được được chuyển hóa thành các chất khác trong chu trình bởi tác động của malonyl-CoA synthaza hoặc pyruvat synthaza. Do đó, các chu trình này không tất yếu có hiệu quả từ quan điểm về sự sản xuất axetyl-CoA.

Khi cố gắng sản xuất chất nhất định bằng cách đưa loại chu trình này vào vi sinh vật, cần xem xét số lượng các enzym có liên quan trong chu trình và số lượng các hoạt tính enzym cần được truyền bổ sung. Tức là, khi số lượng các enzym có liên quan trong chu trình hoặc số lượng các hoạt tính enzym cần được truyền bổ sung tăng, thì việc điều hòa trở nên khó khăn hơn và gánh nặng trên vi sinh vật tăng. Ví dụ, để đưa tiến trình Wood-Ljungdahl vào *Escherichia coli*, cần phải đưa vào ít nhất 9 loại gen. Trên thực tế, sẽ là nhiệm vụ rất khó khăn để tạo cấu trúc tiến trình sản xuất chất và cả việc đưa vào và điều hòa nhiều gen như vậy. Rõ ràng sẽ có lợi nếu tạo cấu trúc chu trình bao gồm số lượng nhỏ các enzym bằng cách truyền số lượng các enzym nhỏ hơn, về mặt tạo cấu trúc chu trình và về mặt kết hợp với tiến trình sản xuất chất khác.

Do đó, để cố định CO<sub>2</sub> và chuyển hóa nó thành axetyl-CoA, sẽ lý tưởng để (A) mỗi enzym có liên quan đến tiến trình có hoạt tính đủ cao; (B) chu trình không bao gồm enzym tiêu thụ axetyl-CoA; và (C) chu trình có cấu hình đơn giản và số lượng nhỏ các enzym mới được truyền. Tuy nhiên, không có chu trình sản xuất axetyl-CoA từ CO<sub>2</sub> nào đã được báo cáo cho đến nay thỏa mãn tất cả các điều kiện (A) đến (C), và, do đó, khả năng thực hiện các chu trình này là thấp. Trên thực tế, đối với các đề xuất liên quan đến chu trình cố định cacbon dioxit hiện có, hầu như không có ví dụ thực tế về việc chuyển hóa CO<sub>2</sub> thành axetyl-CoA hoặc chất có nguồn gốc từ axetyl-CoA để sử dụng trong lên men bằng cách truyền hoạt tính enzym cho vi sinh vật có thể sử dụng được về mặt công nghiệp.

Sáng chế đề xuất vi sinh vật hữu dụng để sản xuất hiệu quả axetyl-CoA bằng cách sử dụng cacbon dioxit, và phương pháp sản xuất axetyl-CoA hoặc chất chuyển hóa hữu dụng có nguồn gốc từ axetyl-CoA bằng cách sử dụng vi sinh vật này.

#### Biện pháp giải quyết vấn đề

Khía cạnh của sáng chế là như sau.

[1] Vị sinh vật sản xuất axetyl-CoA có chu trình sản xuất axetyl-CoA thu được bằng cách truyền ít nhất một loại hoạt tính enzym được chọn từ nhóm bao gồm malat thiokinaza, malyl-CoA lyaza, glyoxylat carboligaza, 2-hydroxy-3-oxopropionat reductaza, và hydroxypyruvat reductaza, cho vi sinh vật mà không có chức năng nào trong số các chức năng sau:

(a) chu trình cố định cacbon dioxit có phản ứng enzym từ malonyl-CoA thành malonat semialdehyt hoặc 3-hydroxypropionat;

(b) chu trình cố định cacbon dioxit có phản ứng enzym từ axetyl-CoA và CO<sub>2</sub> thành pyruvat;

(c) chu trình cố định cacbon dioxit có phản ứng enzym từ crotonyl-CoA và CO<sub>2</sub> thành etylmalonyl-CoA hoặc glutaconyl-CoA;

(d) chu trình cố định cacbon dioxit có phản ứng enzym từ CO<sub>2</sub> thành format; trong đó vi sinh vật này không có hoạt tính malat thiokinaza và malyl-CoA lyaza nội sinh bất kỳ.

[2] Vị sinh vật sản xuất axetyl-CoA theo điểm [1], bao gồm chu trình sản xuất axetyl-CoA trong đó phosphoenolpyruvat hoặc pyruvat được chuyển hóa thành oxaloacetat, và sau đó thành 2-hydroxy-3-oxopropionat do các tác động của malat thiokinaza, malyl-CoA lyaza, glyoxylat carboligaza, và sau đó lại thành phosphoenol pyruvat thông qua 2-

phosphoglyxerat.

[3] Vị sinh vật sản xuất axetyl-CoA theo điểm [1] hoặc[2], bao gồm chu trình sản xuất axetyl-CoA bao gồm:

(f) ít nhất một enzym được chọn từ nhóm bao gồm:

pyruvat kinaza và pyruvat carboxylaza;

phosphoenolpyruvat carboxylaza; và

phosphoenolpyruvat carboxykinaza;

(g) malat dehydrogenaza;

(h) malat thiokinaza;

(i) maryl-CoA lyaza;

(j) glyoxylat carbolicaza;

(k) ít nhất một enzym được chọn từ nhóm bao gồm:

2-hydroxy-3-oxopropionat reductaza; và

hydroxypyruvat isomeraza và hydroxypyruvat reductaza;

(l) ít nhất một enzym được chọn từ nhóm bao gồm:

glyxerat 2-kinaza; và

phosphoglyxerat mutaza và glyxerat 3-kinaza; và

(m) enolaza.

[4] Vị sinh vật sản xuất axetyl-CoA theo điểm bất kỳ trong số các điểm từ [1] đến [3], trong đó vi sinh vật này là vi sinh vật thuộc Enterobacteriaceae hoặc vi sinh vật thuộc vi khuẩn coryneform.

[5] Vị sinh vật sản xuất axetyl-CoA theo điểm bất kỳ trong số các điểm từ [1] đến[4], trong đó vi sinh vật này là vi khuẩn *Escherichia* hoặc vi khuẩn *Pantoea* thuộc Enterobacteriaceae, hoặc vi sinh vật này là vi khuẩn *Corynebacterium* thuộc vi khuẩn coryneform.

[6] Vị sinh vật sản xuất axetyl-CoA theo điểm bất kỳ trong số các điểm từ [1] đến [5], trong đó vi sinh vật này là vi khuẩn *Escherichia* trong đó hoạt tính của lactat dehydrogenaza sở hữu bởi vi khuẩn *Escherichia* được làm bất hoạt hoặc được làm giảm.

[7] Vi sinh vật sản xuất axetyl-CoA theo điểm bất kỳ trong số các điểm từ [1] đến [6], trong đó vi sinh vật này là vi khuẩn *Escherichia* trong đó hoạt tính của ít nhất một enzym được chọn từ nhóm bao gồm isoxitrat lyaza và malat synthaza sở hữu bởi vi khuẩn *Escherichia* được làm bất hoạt hoặc được làm giảm.

[8] Vi sinh vật sản xuất axetyl-CoA theo điểm bất kỳ trong số các điểm từ [1] đến [7], trong đó vi sinh vật này là vi khuẩn *Escherichia* trong đó hoạt tính thiolaza, hoạt tính CoA transferaza, và hoạt tính axetoaxetat decarboxylaza được truyền hoặc được tăng cường.

[9] Vi sinh vật sản xuất axetyl-CoA theo điểm bất kỳ trong số các điểm từ [1] đến [8], trong đó vi sinh vật này là vi khuẩn *Escherichia* trong đó hoạt tính thiolaza, hoạt tính CoA transferaza, hoạt tính axetoaxetat decarboxylaza, và hoạt tính dehydrogenaza rượu isopropylic được truyền hoặc được tăng cường.

[10] Vi sinh vật sản xuất axetyl-CoA theo điểm bất kỳ trong số các điểm từ [1] đến [5], trong đó vi sinh vật này là vi khuẩn *Pantoea* trong đó hoạt tính của fumarat hydrataza A và fumarat hydrataza C sở hữu bởi vi khuẩn *Pantoea* được làm bất hoạt hoặc được làm giảm.

[11] Vi sinh vật sản xuất axetyl-CoA theo điểm bất kỳ trong số các điểm từ [1] đến [5] hoặc [10], trong đó vi sinh vật này là vi khuẩn *Pantoea* trong đó hoạt tính của malat synthaza sở hữu bởi vi khuẩn *Pantoea* được làm bất hoạt hoặc được làm giảm.

[12] Vi sinh vật sản xuất axetyl-CoA theo điểm bất kỳ trong số các điểm từ [1] đến [11], trong đó malat thiokinaza được sử dụng là malat thiokinaza thu được bằng cách cải biến mtkB có nguồn gốc từ *Methylobacterium extorquens* để biến đổi axit amin tương ứng với axit amin thứ 144 thành isoleuxin, asparagin, axit aspartic, lysin, arginin, histidin, glutamin, hoặc prolin, và/hoặc để biến đổi axit amin thứ 244 thành axit glutamic, alanin, leuxin, isoleuxin, methionin, asparagin, tyrosin, lysin, hoặc arginin.

[13] Phương pháp sản xuất axetyl-CoA, bao gồm sản xuất axetyl-CoA từ nguyên liệu nguồn cacbon bằng cách sử dụng vi sinh vật sản xuất axetyl-CoA theo điểm bất kỳ trong số các điểm từ [1] đến [12].

[14] Phương pháp sản xuất axeton, bao gồm bước sản xuất axeton từ nguyên liệu nguồn cacbon bằng cách sử dụng vi sinh vật sản xuất axetyl-CoA theo điểm [9] hoặc [12].

[15] Phương pháp sản xuất rượu isopropylic, bao gồm bước sản xuất rượu isopropylic từ nguyên liệu nguồn cacbon bằng cách sử dụng vi sinh vật sản xuất axetyl-CoA theo [9] hoặc [12].

[16] Phương pháp sản xuất glutamat, bao gồm bước sản xuất glutamat từ nguyên liệu nguồn cacbon bằng cách sử dụng vi sinh vật sản xuất axetyl-CoA theo [5], [10], [11], hoặc [12].

#### Hiệu quả có lợi theo sáng chế

[0011] Sáng chế đề xuất vi sinh vật hữu ích để chuyển hóa hiệu quả cacbon dioxit thành axetyl-CoA, và phương pháp sản xuất axetyl-CoA hoặc chất chuyển hóa hữu dụng sử dụng vi sinh vật này.

#### Mô tả văn tắt các hình vẽ

Fig. 1 là sơ đồ tiến trình để minh họa nét chính của tiến trình cố định cacbon dioxit theo một phương án của sáng chế.

Fig. 2A và Fig. 2B thể hiện độ tương đồng giữa các trình tự mtkB khác nhau.

Fig. 3A và Fig. 3B thể hiện độ tương đồng giữa các trình tự mtkA khác nhau.

Fig. 4 là đồ thị thể hiện mẫu kết hợp  $^{13}\text{C}$  của glutamat được sản xuất bởi các vi khuẩn *Pantoea* khác nhau theo Ví dụ 41.

Fig. 5 là đồ thị thể hiện mẫu kết hợp  $^{13}\text{C}$  của glutamat được sản xuất bởi các vi khuẩn *Corynebacterium* khác nhau theo Ví dụ 50.

#### Mô tả chi tiết sáng chế

Vi sinh vật sản xuất axetyl-CoA theo sáng chế là vi sinh vật sản xuất axetyl-CoA có chu trình sản xuất axetyl-CoA thu được bằng cách truyền ít nhất một loại hoạt tính enzym được chọn từ nhóm bao gồm malat thiokinaza, malyl-CoA lyaza, glyoxylat carboligaza, 2-hydroxy-3-oxopropionat reductaza, và hydroxypyruvat reductaza, cho vi sinh vật mà không có chức năng nào trong số các chức năng (a), (b), (c), (d) sau, trong đó không có chức năng nào trong số các chức năng nêu trong (a), (b), (c), hoặc (d) được truyền cho vi sinh vật, hoặc vi sinh vật không thể hiện chức năng nào trong số các chức năng nêu trong (a), (b), (c), và (d).

(a) chu trình cố định cacbon dioxit có phản ứng enzym từ malonyl-CoA thành malonat semialdehyt hoặc 3-hydroxypropionat;

(b) chu trình cố định cacbon dioxit có phản ứng enzym từ axetyl-CoA và CO<sub>2</sub> thành pyruvat;

(c) chu trình cố định cacbon dioxit có phản ứng enzym từ crotonyl-CoA và CO<sub>2</sub> thành etylmalonyl-CoA hoặc glutaconyl-CoA;

(d) chu trình cố định cacbon dioxit có phản ứng enzym từ CO<sub>2</sub> thành format; trong đó vi sinh vật này không có hoạt tính malat thiokinaza và maryl-CoA lyaza nội sinh bất kỳ.

Theo sáng chế, bằng cách truyền hoạt tính enzym đã được xác định trước, có thể được tạo cấu trúc chu trình cố định cacbon dioxit mà cố định CO<sub>2</sub> được tạo ra trong quá trình chuyển hóa hydrat cacbon hoặc CO<sub>2</sub> được cung cấp từ bên ngoài, và tạo ra vi sinh vật sản xuất axetyl-CoA có chu trình sản xuất axetyl-CoA trong đó CO<sub>2</sub> được chuyển hóa một cách hiệu quả thành axetyl-CoA.

Tức là, do kết quả của các nghiên cứu khác nhau về sự chuyển hóa CO<sub>2</sub> thành axetyl-CoA, đã phát hiện thấy rằng CO<sub>2</sub> được chuyển hóa thành axetyl-CoA bằng cách truyền ít nhất một loại hoạt tính enzym được chọn từ nhóm bao gồm malat thiokinaza, maryl-CoA lyaza, glyoxylat carboligaza, 2-hydroxy-3-oxopropionat reductaza, và hydroxypyruvat reductaza, cho vi sinh vật mà không có chức năng nào trong số các chức năng sau:

(a) chu trình cố định cacbon dioxit có phản ứng enzym từ malonyl-CoA thành malonat semialdehyt hoặc 3-hydroxypropionat;

(b) chu trình cố định cacbon dioxit có phản ứng enzym từ axetyl-CoA và CO<sub>2</sub> thành pyruvat;

(c) chu trình cố định cacbon dioxit có phản ứng enzym từ crotonyl-CoA và CO<sub>2</sub> thành etylmalonyl-CoA hoặc glutaconyl-CoA;

(d) chu trình cố định cacbon dioxit có phản ứng enzym từ CO<sub>2</sub> thành format; trong đó vi sinh vật này không có hoạt tính malat thiokinaza và maryl-CoA lyaza nội sinh bất kỳ.

Hơn nữa, bằng cách sử dụng vi sinh vật sản xuất axetyl-CoA mà chuyển hóa CO<sub>2</sub> thành axetyl-CoA, hoặc bằng cách truyền bổ sung hoạt tính enzym đã được xác định trước cho vi sinh vật, các chất bao gồm axetyl-CoA và các chất chuyển hóa hữu dụng có nguồn gốc từ axetyl-CoA như rượu isopropyllic, etanol, axeton, axit xitic, axit itaconic, axit axetic, axit butyric, axit (poly-)3-hydroxybutyric, axit 3-hydroxyisobutyric, axit 3-aminoisobutyric, axit 2-hydroxyisobutyric, axit metacrylic, axit (poly)glutamic, axit glutamic, arginin,

ornithin, xitruulin, leuxin, isoleuxin, hoặc prolin, được sản xuất một cách hiệu quả.

Sáng chế đề xuất chu trình sản xuất axetyl-CoA đơn giản nhất và thực tế mà cố định CO<sub>2</sub> và chuyển hóa nó thành axetyl-CoA (Fig. 1).

Các phương án ưu tiên của chu trình sản xuất axetyl-CoA theo sáng chế bao gồm chu trình sản xuất axetyl-CoA được thể hiện trên Fig. 1 (dưới đây trong bản mô tả này có thể được gọi là "chu trình của Fig. 1").

Chu trình này liên quan đến 8 đến 10 loại enzym, tức là,

ít nhất một enzym được chọn từ nhóm bao gồm:

phosphoenolpyruvat carboxylaza;

phosphoenolpyruvat carboxykinaza, và

pyruvat carboxylaza và pyruvat kinaza;

malat dehydrogenaza;

malat thiokinaza;

metyl-CoA lyaza;

glyoxylat carboligaza;

ít nhất một enzym được chọn từ nhóm bao gồm:

hydroxypyruvat isomeraza và hydroxypyruvat reductaza; và

2-hydroxy-3-oxopropionat reductaza;

ít nhất một enzym được chọn từ nhóm bao gồm:

glycerat 2-kinaza; và

phosphoglycerat mutaza và glycerat 3-kinaza; và

enolaza.

(Phosphoenol)pyruvat carboxylaza hoặc phosphoenolpyruvat carboxykinaza có liên quan đến sự cố định cacbon dioxit. (Phosphoenol)pyruvat carboxylaza là enzym cố định cacbon dioxit có hoạt tính cao. Ví dụ, RubisCO được sử dụng trong quá trình quang hợp ở cây hoặc dạng tương tự được biết là có hoạt tính riêng nằm trong khoảng từ khoảng 3 U/mg đến 20 U/mg (J. Biol. Chem. 274(8) 5078-82(1999), Anal. Biochem. 153(1) 97-101, 1986). Mặt khác, (phosphoenol)pyruvat carboxylaza được báo cáo là có hoạt tính riêng

nằm trong khoảng từ 30 U/mg trong *Escherichia coli*, hoặc cao như 100 U/mg đến 150 U/mg (J. Biol. Chem. 247, 5785-5792 (1972); Biosci. Biotechnol. Biochem. 59, 140-142 (1995); Biochim Biophys Acta. 1475(3):191-206, 2000). Đôi với malat thiokinaza (mtk) mà tổng hợp malyl-CoA, nghiên cứu theo sáng chế tiết lộ rằng malat thiokinaza theo sáng chế có hoạt tính cao hơn so với hoạt tính của các enzym thông thường đã biết (J. Biol. Chem. 248(21) 7295-303, 1973). Chu trình của Fig. 1 bao gồm từ 8 đến 10 loại enzym, và, do đó, là chu trình đơn giản nhất trong số các chu trình sản xuất axetyl-CoA đã biết. Chỉ cần số lượng nhỏ các enzym được truyền cho vi sinh vật. Ngoài ra, chu trình của Fig. 1 không bao gồm enzym mà tiêu thụ axetyl-CoA. Do đó, có thể nói rằng chu trình của Fig. 1 là chu trình lý tưởng để cố định CO<sub>2</sub> và chuyển hóa nó thành axetyl-CoA.

Ưu điểm khác của chu trình của Fig. 1 là ở chỗ, vì chu trình này độc lập với tiến trình thủy phân glucoza, nên chu trình này có thể được kết hợp tự do với các tiến trình thủy phân glucoza khác nhau. Ví dụ, chu trình của Fig. 1 có thể được kết hợp dễ dàng với, tiến trình sản xuất NADPH với tốc độ sản xuất cao và thường được sử dụng trong sản xuất các chất (Công bố đơn vào pha quốc gia Nhật (JP-A) số 2007-510411), vì chu trình của Fig. 1 độc lập với tiến trình pentoza phosphat.

Trong chu trình của Fig. 1, mỗi trong số malat dehydrogenaza (mdh), 2-hydroxy-3-oxopropionat reductaza (glxR), và hydroxypyruvat reductaza (ycdW) tiêu thụ NADH (hoặc NADPH) làm năng lượng khử; mỗi trong số malat thiokinaza (mtk), glyxerat 3-kinaza (glxK), glyxerat 2-kinaza (garK), và pyruvat carboxylaza (pyc) tiêu thụ ATP; và pyruvat kinaza (pyk) sản xuất pyruvat.

Trong trường hợp trong đó phosphoenolpyruvat được sử dụng làm chất khởi đầu, phương trình được làm cân bằng đối với chu trình của Fig. 1 là: "phosphoenolpyruvat + 2CoA + CO<sub>2</sub> + 3NAD(P)H + 3ATP → 2axetyl-CoA + 3NAD(P)<sup>+</sup> + 3ADP".

Trong trường hợp trong đó pyruvat được sử dụng làm chất khởi đầu, phương trình được làm cân bằng là: "pyruvat + 2CoA + CO<sub>2</sub> + 3NAD(P)H + 4ATP → 2axetyl-CoA + 3NAD(P)<sup>+</sup> + 4ADP".

Tức là, chu trình của Fig. 1 đòi hỏi việc bổ sung phosphoenolpyruvat (hoặc pyruvat), NAD(P)H, và ATP để cố định CO<sub>2</sub> và chuyển hóa nó thành axetyl-CoA.

Trong số các tiến trình lên men mà sản xuất axetyl-CoA dưới dạng hợp chất trung gian, phương trình được làm cân bằng của các tiến trình tiêu thụ oxy trong quá trình lên men được liệt kê trong Bảng 1. Giả sử rằng, trong các tiến trình lên men này, coenzym khử

như NADH được sản xuất trong tiến trình này và coenzym khử này được chuyển hóa lại thành dạng được oxy hóa bởi tác động của oxy. Do đó, nếu có thể tiêu thụ coenzym khử đã được sản xuất bởi chu trình của Fig. 1 thay vì tiêu thụ oxy, có thể mong đợi rằng năng lượng khử được tạo ra trong quá trình lên men có thể được sử dụng một cách hiệu quả trong chu trình sản xuất axetyl-CoA để cố định CO<sub>2</sub> và chuyển hóa nó thành sản phẩm.

Ở đây, coenzym khử chỉ coenzym ở trạng thái khử và có liên quan trong phản ứng oxy hóa-khử, và ví dụ về coenzym khử bao gồm NADH, NADPH, FADH<sub>2</sub>, FMNH<sub>2</sub>, và coenzym quinon khử. Coenzym khử tốt hơn là NADH hoặc NADPH, tốt hơn nữa là NADH. Coenzym oxy hóa chỉ dạng được oxy hóa của coenzym khử, và ví dụ về coenzym oxy hóa bao gồm NAD<sup>+</sup>, NADP<sup>+</sup>, FAD, FMN, và coenzym quinon oxy hóa. Coenzym oxy hóa tốt hơn là NAD<sup>+</sup> hoặc NADP<sup>+</sup>, tốt hơn nữa là NAD<sup>+</sup>.

Bảng 1

Tên hợp chất	Phương trình lên men
Rượu isopropylic	$C_6H_{12}O_6 + H_2O + 3/2O_2 \rightarrow C_3H_8O + 3CO_2 + 3H_2O$
Axeton	$C_6H_{12}O_6 + 2O_2 \rightarrow C_3H_6O + 3H_2O + 3CO_2$
Axit glutamic	$C_6H_{12}O_6 + 3/2O_2 + NH_3 \rightarrow C_5H_9NO_4 + CO_2 + 3H_2O$
Glutamin	$C_6H_{12}O_6 + 3/2O_2 + 2NH_3 \rightarrow C_5H_{10}N_2O_3 + CO_2 + 4H_2O$
Arginin	$C_6H_{12}O_6 + 1/2O_2 + 4NH_3 \rightarrow C_6H_{14}N_2O_2 + 5H_2O$
Ornithin	$C_6H_{12}O_6 + 1/2O_2 + NH_3 \rightarrow C_5H_{12}N_2O_2 + 2H_2O + CO_2$
Xitrulin	$C_6H_{12}O_6 + 1/2O_2 + 3NH_3 \rightarrow C_6H_{13}N_3O_3 + 4H_2O$
Prolin	$C_6H_{12}O_6 + 1/2O_2 + NH_3 \rightarrow C_5H_9NO_2 + 3H_2O + CO_2$
Axit axetic	$C_6H_{12}O_6 + 2O_2 \rightarrow 2C_2H_4O_2 + 2CO_2 + 2H_2O$
Axit (poly-)3-hydroxybutyric	$C_6H_{12}O_6 + 3/2O_2 \rightarrow C_4H_8O_3 + 2CO_2 + 2H_2O$
Axit itaconic	$C_6H_{12}O_6 + 1,5O_2 \rightarrow C_5H_6O_4 + CO_2 + 3H_2O$
Axit critic	$C_6H_{12}O_6 + 3/2O_2 \rightarrow C_6H_8O_7 + 2H_2O$
Axit butyric	$C_6H_{12}O_6 + O_2 \rightarrow C_4H_8O_2 + 2H_2O + 2CO_2$
Leuxin (Isoleuxin)	$3/2C_6H_{12}O_6 + 3/2O_2 + NH_3 \rightarrow C_6H_{13}NO_2 + 4H_2O + 3CO_2$
Axit 4-aminobutyric	$C_6H_{12}O_6 + 3/2O_2 + NH_3 \rightarrow C_4H_9NO_2 + 3H_2O + 2CO_2$
Axit 4-hydroxybutyric	$C_6H_{12}O_6 + 3/2O_2 \rightarrow C_4H_8O_3 + 2H_2O + 2CO_2$

Như được thể hiện trong Bảng 1, quy trình lên men trong đó oxy có mặt bên phía trái của phương trình lên men, thường đòi hỏi lượng lớn oxy. Trong các trường hợp này, có thể cần phải thông khí lớn và/hoặc khuấy mạnh, điều này làm tăng chi phí thiết bị và chi phí năng lượng điện. Do đó, bằng cách đưa vào chu trình của Fig. 1, năng lượng khử dư có thể được tiêu thụ và sự thông khí lớn/khuấy có thể được làm giảm nhẹ, và chi phí của quá trình sản xuất lên men được mong đợi là có thể được làm giảm.

Để cung cấp năng lượng khử cho chu trình theo sáng chế, năng lượng khử có thể được cung cấp bằng cách bổ sung chất mà có thể tạo ra năng lượng khử, hoặc truyền năng lượng từ bên ngoài. Ví dụ cụ thể bao gồm sử dụng chất có mức độ khử cao hơn (ví dụ, hydro, sulfit, rượu, hoặc parafin) làm cơ chất; cung cấp năng lượng khử trực tiếp bởi sự nuôi cấy bằng điện; và cung cấp năng lượng khử bởi phản ứng quang hóa ở sinh vật. Khác với quy trình lên men được thể hiện trong Bảng 1, miễn là năng lượng khử có thể được cung cấp từ bên ngoài, có thể điều khiển tiến trình cố định cacbon dioxit dự định ngay cả trong quá trình lên men trong đó coenzym khử không được sản xuất.

Các khía cạnh của sáng chế được mô tả dưới đây.

"Cố định CO<sub>2</sub>" theo sáng chế chỉ sự chuyển hóa CO<sub>2</sub> được tạo ra trong quá trình chuyển hóa hydrat cacbon hoặc CO<sub>2</sub> được cung cấp từ bên ngoài thành hợp chất hữu cơ.

$\text{CO}_2$  có thể là  $\text{HCO}_3^-$ . Ở đây, "cố định  $\text{CO}_2$ " cũng có thể được gọi là "cố định cacbon dioxit".

Thuật ngữ "quy trình" trong bản mô tả này bao gồm quy trình độc lập, cũng như quy trình mà đạt được hiệu quả dự định của quy trình này mặc dù nó không thể được phân biệt rõ ràng với quy trình khác. Trong bản mô tả này, khoảng số được biểu thị bằng cách sử dụng từ "đến" nghĩa là khoảng bao gồm các giá trị số được đưa ra trước và sau từ "đến" là giá trị tối thiểu và giá trị cực đại, một cách tương ứng.

Theo sáng chế, viện dẫn đến lượng của mỗi thành phần trong hợp phần, khi hợp phần này bao gồm nhiều chất tương ứng với mỗi thành phần, lượng của mỗi thành phần này nghĩa là tổng lượng nhiều chất này, trừ khi có chỉ dẫn khác.

Như được sử dụng trong bản mô tả này, thuật ngữ "bất hoạt" chỉ tình trạng trong đó hoạt tính của enzym (ở đây, yếu tố mà bản thân chúng không có hoạt tính enzym cũng được bao gồm trong phạm vi của "enzym", trừ khi được nêu rõ là bị loại trừ) như được xác định bởi hệ xác định hiện có bất kỳ không lớn hơn 1/10 của hoạt tính ở vi sinh vật trước khi bắt hoạt, giả định rằng hoạt tính ở vi sinh vật trước khi bắt hoạt là 100.

Sự "giảm" hoạt tính enzym theo sáng chế nghĩa là tình trạng trong đó hoạt tính của enzym bị làm giảm một cách đáng kể bởi kỹ thuật tái tổ hợp di truyền đối với gen mã hóa enzym này so với hoạt tính trước khi xử lý như vậy.

Sự "tăng cường" "hoạt tính" theo sáng chế theo nghĩa rộng nghĩa là hoạt tính enzym trong các vi sinh vật trở nên cao hơn sau khi tăng cường so với hoạt tính enzym trước khi tăng cường.

Phương pháp để tăng cường không bị giới hạn một cách cụ thể miễn là hoạt tính của enzym sở hữu bởi vi sinh vật được tăng cường. Ví dụ về phương pháp này bao gồm tăng cường bởi gen enzym được đưa vào từ bên ngoài tế bào, tăng cường bởi sự biểu hiện được tăng cường của gen enzym bên trong tế bào, và sự kết hợp bất kỳ của các phương pháp này.

Ví dụ cụ thể về sự tăng cường bởi gen enzym được đưa vào từ bên ngoài tế bào bao gồm: đưa vào gen mã hóa enzym có hoạt tính có hoạt tính cao hơn so với enzym của vật chủ từ bên ngoài tế bào của vi sinh vật chủ bởi kỹ thuật tái tổ hợp di truyền, bằng cách đó bổ sung hoạt tính enzym của gen enzym đã được đưa vào; thay thế hoạt tính enzym đã được đưa vào cho hoạt tính enzym nội tại mà vật chủ có ban đầu; làm tăng số lượng bản sao của gen enzym của vật chủ hoặc gen enzym được đưa vào từ bên ngoài tế bào lên hai hoặc nhiều bản sao; và sự kết hợp bất kỳ của các phương pháp này.

Ví dụ cụ thể về tăng cường bởi sự biểu hiện được tăng cường của gen enzym ở vi sinh vật bao gồm: đưa trình tự bazơ mà tăng cường sự biểu hiện của gen enzym từ bên ngoài của vi sinh vật chủ vào bên trong vi sinh vật; thay thế gen khởi đầu khác cho gen khởi đầu của gen enzym mà vi sinh vật chủ có trên hệ gen của nó, nhờ đó làm tăng cường sự biểu hiện của gen enzym; và sự kết hợp bất kỳ của các phương pháp này.

Việc "truyền" "hoạt tính" theo sáng chế theo nghĩa rộng nghĩa là tạo ra hoạt tính của enzym dự định bằng cách đưa, từ bên ngoài, gen mã hóa enzym vào sinh vật không có gen mã hóa enzym dự định này. Phương pháp truyền hoạt tính không bị giới hạn một cách cụ thể miễn là hoạt tính của enzym dự định có thể được truyền cho vi sinh vật, và ví dụ về phương pháp như vậy bao gồm biến nạp với plasmid chứa gen enzym, đưa gen enzym vào hệ gen, và sự kết hợp bất kỳ của các phương pháp này.

Gen khởi đầu được sử dụng để "tăng cường" hoặc "truyền" "hoạt tính" không bị giới hạn một cách cụ thể miễn là gen khởi đầu này cho phép sự biểu hiện gen, và ví dụ về gen khởi đầu bao gồm gen khởi đầu cơ định và gen khởi đầu cảm ứng.

Việc vi sinh vật có gen mã hóa enzym dự định hay không, có thể được xác định, dựa vào, ví dụ, thông tin về gen của các chủng tương ứng được đăng ký ở KEGG (Kyoto Encyclopedia of Genes and Genomes; <http://www.genome.jp/kegg/>) hoặc NCBI (National Center for Biotechnology Information; <http://www.ncbi.nlm.nih.gov/gene/>). Theo sáng chế, chỉ có sự tạo thành gen của các chủng tương ứng được đăng ký ở KEGG hoặc NCBI được sử dụng.

Theo sáng chế, hoạt tính enzym có thể được truyền bằng cách đưa, từ bên ngoài, gen mã hóa enzym vào tế bào sử dụng kỹ thuật tái tổ hợp di truyền. Trong trường hợp này, gen enzym được đưa vào có thể là đồng loại hoặc khác loại với tế bào chủ.

Phương pháp chuẩn bị ADN hệ gen cần thiết để đưa gen từ bên ngoài tế bào vào tế bào, phân cắt và nối ADN, biến nạp, PCR (Phản ứng chuỗi polymeraza), thiết kế và tổng hợp các oligonucleotit được sử dụng làm đoạn mồi, v.v. có thể được thực hiện bởi các phương pháp thông thường đã biết rõ với người có hiểu biết trung bình về lĩnh vực kỹ thuật này. Các phương pháp này được mô tả trong Sambrook, J., et al., "Molecular Cloning A Laboratory Manual, Second Edition", Cold Spring Harbor Laboratory Press (1989), v.v..

Cụm từ "bởi kỹ thuật tái tổ hợp di truyền" theo sáng chế bao gồm sự biến đổi bất kỳ đổi với trình tự bazơ gây ra bởi sự cài xen ADN khác vào trình tự bazơ của gen nguyên thể, thế hoặc làm khuyết vị trí nhất định của gen, hoặc sự kết hợp bất kỳ của các phương pháp

này. Ví dụ, sự biến đổi có thể tạo ra từ sự đột biến.

Theo sáng chế, vi sinh vật trong đó hoạt tính của yếu tố hoặc enzym được làm bất hoạt chỉ vi sinh vật trong đó hoạt tính nguyên thê bị làm suy yếu bởi phương pháp nhất định được áp dụng từ bên ngoài tế bào đối với tế bào bên trong. Vi sinh vật như vậy có thể được tạo ra bởi, ví dụ, sự phá vỡ gen mã hóa protein hoặc enzym (sự phá vỡ gen).

Ví dụ về sự phá vỡ gen theo sáng chế bao gồm đưa vào đột biến đối với trình tự bazơ của gen, cài xen ADN khác vào trình tự bazơ, hoặc làm khuyết phần nhất định của gen, mà được tiến hành với ý định ngăn cho chức năng của gen không được thực hiện. Do kết quả của sự phá vỡ gen, ví dụ, gen trở nên không thể được phiên mã thành mARN, và gen cấu trúc ngừng không được dịch mã. Theo cách khác, do sự không hoàn thành của mARN đã được phiên mã, trình tự axit amin của protein cấu trúc đã được dịch mã bị làm đột biến hoặc làm khuyết, và, do đó, chức năng nội tại của protein cấu trúc trở nên không được thực hiện.

Biến thể phá vỡ gen có thể được chuẩn bị bằng cách sử dụng phương pháp bất kỳ miễn là có thể thu được biến thể phá vỡ trong đó enzym hoặc protein đích không được biểu hiện. Các phương pháp khác nhau để phá vỡ gen đã được báo cáo (nhân giống tự nhiên, bổ sung tác nhân gây đột biến, chiếu xạ UV, chiếu xạ bức xạ, sự phát sinh đột biến ngẫu nhiên, transposon, sự phá vỡ gen định hướng điểm). Xem xét sự phá vỡ chỉ gen cụ thể, sự phá vỡ gen bởi sự tái tổ hợp tương đồng là được ưu tiên. Phương pháp phá vỡ gen bởi sự tái tổ hợp tương đồng được mô tả trong J. Bacteriol., 161, 1219-1221 (1985), J. Bacteriol., 177, 1511-1519 (1995), Proc. Natl. Acad. Sci. U.S.A, 97, 6640-6645 (2000), và các tài liệu tương tự, và người có hiểu biết trung bình về lĩnh vực kỹ thuật này có thể dễ dàng thực hiện được sự tái tổ hợp tương đồng bằng cách sử dụng các phương pháp này hoặc áp dụng các phương pháp này.

"Vật chủ" theo sáng chế nghĩa là vi sinh vật ở trạng thái mà hiệu quả của sáng chế có thể được tạo ra do kết quả của việc đưa vào một hoặc nhiều gen từ bên ngoài vi sinh vật.

Cụ thể hơn, "vật chủ" theo sáng chế nghĩa là vi sinh vật mà có thể được làm cho có khả năng sản xuất axetyl-CoA từ nguyên liệu nguồn cacbon bằng cách sử dụng cách thức nhất định, bất kể việc vi sinh vật nội tại có khả năng bẩm sinh để sản xuất axetyl-CoA từ nguyên liệu nguồn cacbon hay không.

"Vật chủ" theo sáng chế có thể có tiến trình để sản xuất chất chuyển hóa hữu dụng. "Chất chuyển hóa hữu dụng" theo sáng chế được sử dụng làm tên chung cho các chất chuyển hóa chính trong các tiến trình chuyển hóa của các vi sinh vật, như rượu, các axit amin, các

axit hữu cơ, và các terpen. Vì sinh vật có thể là vi sinh vật bất kỳ miễn là có thể làm cho vi sinh vật này có khả năng sản xuất chất chuyển hóa hữu dụng bằng cách sử dụng cách thức bất kỳ, bất kể việc vi sinh vật nội tại có khả năng bẩm sinh để sản xuất chất chuyển hóa hữu dụng hay không.

"Chất chuyển hóa hữu dụng có nguồn gốc từ axetyl-CoA" theo sáng chế chỉ bất kỳ trong số các chất chuyển hóa khác nhau được sản xuất thông qua axetyl-CoA trong các tiến trình chuyển hóa. Ví dụ về chất chuyển hóa này bao gồm rượu như rượu isopropyllic, etanol, hoặc butanol; các axit amin như axit L-glutamic, L-glutamin, L-arginin, L-Ornithin, L-xitulin, L-leuxin, L-isoleuxin hoặc L-prolin; các axit hữu cơ như axit 3-hydroxybutyric, axit poly-3-hydroxybutyric, axit polyglutamic, axit 3-hydroxyisobutyric, axit 3-aminoisobutyric, axit 2-hydroxyisobutyric, axit metacrylic, axit xitic, axit axetic, axit propionic, axit butyric, axit caproic, hoặc axit mevalonic; và các terpen như isopren, squalen, steroit, hoặc carotenoit. Ví dụ khác về chất chuyển hóa bao gồm axeton. Vì sinh vật có thể là vi sinh vật bất kỳ miễn là có thể làm cho vi sinh vật này có khả năng sản xuất chất chuyển hóa hữu dụng có nguồn gốc từ axetyl-CoA bằng cách sử dụng cách thức nhất định, bất kể việc vi sinh vật nội tại có khả năng bẩm sinh để sản xuất chất chuyển hóa hữu dụng có nguồn gốc từ axetyl-CoA hay không.

"Sự sản xuất axetyl-CoA" theo sáng chế chỉ sự chuyển hóa chất bất kỳ thành axetyl-CoA trong tiến trình chuyển hóa. Vì axetyl-CoA là hợp chất trung gian chuyển hóa và được chuyển hóa nhanh chóng thành các chất khác nhau trong các tiến trình chuyển hóa, lượng biểu kiến của axetyl-CoA không nhất thiết tăng. Tuy nhiên, hiệu quả có thể được xác nhận gián tiếp bởi sự phát hiện nhẫn có nguồn gốc từ CO<sub>2</sub> trong chất có nguồn gốc từ axetyl-CoA, bởi sự tăng hiệu suất của chất có nguồn gốc từ axetyl-CoA so với sự tiêu thụ đường, hoặc bởi cách tương tự. Vì các yếu tố khác nhau (ví dụ, lượng coenzym, lượng cơ chất, hoặc sự thay đổi hiện tượng chuyển hóa gây ra bởi sự ức chế phản hồi) có liên quan đến sự chuyển hóa, nên lượng sản xuất axetyl-CoA không luôn luôn tỷ lệ thuận với lượng của mỗi chất có nguồn gốc từ axetyl-CoA. Tuy nhiên, trong trường hợp trong đó tiến trình để sản xuất chất cụ thể từ axetyl-CoA được tăng cường hoặc trường hợp trong đó tiến trình như vậy được tăng cường một cách nội tại (ví dụ, trong trường hợp vi sinh vật sản xuất rượu isopropyllic hoặc vi sinh vật sản xuất glutamat được mô tả dưới đây), hiệu quả chuyển hóa từ axetyl-CoA hầu như không bị tác động bởi các yếu tố bên ngoài, và, do đó, hiệu quả sản xuất chất cụ thể có thể được đánh giá dưới dạng chỉ số hiệu quả sản xuất axetyl-CoA.

Vì sinh vật sản xuất axetyl-CoA theo sáng chế bao gồm chu trình sản xuất axetyl-

CoA thu được bằng cách truyền ít nhất một loại hoạt tính enzym được chọn từ nhóm bao gồm malat thiokinaza, maryl-CoA lyaza, glyoxylat carboligaza, 2-hydroxy-3-oxopropionat reductaza, và hydroxypyruvat reductaza, cho vi sinh vật mà không có chức năng nào trong số các chức năng sau:

(a) chu trình cố định cacbon dioxit có phản ứng enzym từ malonyl-CoA thành malonat semialdehyt hoặc 3-hydroxypropionat;

(b) chu trình cố định cacbon dioxit có phản ứng enzym từ axetyl-CoA và CO<sub>2</sub> thành pyruvat;

(c) chu trình cố định cacbon dioxit có phản ứng enzym từ crotonyl-CoA và CO<sub>2</sub> thành etylmalonyl-CoA hoặc glutaconyl-CoA;

(d) chu trình cố định cacbon dioxit có phản ứng enzym từ CO<sub>2</sub> thành format; trong đó vi sinh vật này không có hoạt tính malat thiokinaza và maryl-CoA lyaza nội sinh bất kỳ.

Xét về hiệu quả sản xuất axetyl-CoA, vi sinh vật sản xuất axetyl-CoA tốt hơn là được truyền hoạt tính enzym của malat thiokinaza và maryl-CoA lyaza, tốt hơn nữa là được truyền hoạt tính enzym của malat thiokinaza, maryl-CoA lyaza, và glyoxylat carboligaza, tốt hơn nữa là được truyền hoạt tính enzym của malat thiokinaza, maryl-CoA lyaza, glyoxylat carboligaza, và 2-hydroxy-3-oxopropionat reductaza, và/hoặc hydroxypyruvat reductaza.

Cụm từ "không có (một cách tự nhiên)" ở đây nghĩa là vi sinh vật chủ thực chất không có thuộc tính trong tự nhiên.

Ở đây, "chu trình cố định cacbon dioxit có phản ứng enzym từ malonyl-CoA thành malonat semialdehyt hoặc 3-hydroxypropionat" chỉ các chu trình từ (1) đến (7) sau:

(1) chu trình được thể hiện trên Fig. 1 của WO 2011/099006, trong đó axetyl-CoA được chuyển hóa thành malonyl-CoA, 3-hydroxypropionat, propionyl-CoA, malat, và maryl-CoA, mà lại được chuyển hóa thành axetyl-CoA;

(2) chu trình được thể hiện trên Fig. 4A của WO 2011/099006, trong đó axetyl-CoA được chuyển hóa thành malonyl-CoA, malonat semialdehyt, β-alanin, malat, và maryl-CoA, mà lại được chuyển hóa thành axetyl-CoA;

(3) chu trình được thể hiện trên Fig. 4B, 16, hoặc 18 của WO 2011/099006, trong đó axetyl-CoA được chuyển hóa thành malonyl-CoA, hydroxypyropionat, (R)-lactat hoặc (S)-lactat, malat, và maryl-CoA, mà lại được chuyển hóa thành axetyl-CoA;

(4) chu trình được thể hiện trên Fig. 8 của WO 2011/099006, trong đó axetyl-CoA được chuyển hóa thành malonyl-CoA, malonat semialdehyt hoặc hydroxypropionat, pyruvat, malat, và maryl-CoA, mà lại được chuyển hóa thành axetyl-CoA;

(5) chu trình được thể hiện trên Fig. 9A, 9B, hoặc 9C của WO 2011/099006, trong đó axetyl-CoA được chuyển hóa thành malonyl-CoA, hydroxypropionat, 2-ketoglutarat, malat, và maryl-CoA, mà lại được chuyển hóa thành axetyl-CoA;

(6) chu trình được thể hiện trên Fig. 9D hoặc 9F của WO 2011/099006, trong đó axetyl-CoA được chuyển hóa thành malonyl-CoA, hydroxypropionat, methylmalonyl-CoA, malat, và maryl-CoA, mà lại được chuyển hóa thành axetyl-CoA; và

(7) chu trình được thể hiện trên Fig. 17 của WO 2011/099006, trong đó axetyl-CoA được chuyển hóa thành malonyl-CoA, malonat semialdehyt hoặc hydroxypropionat, methylmalonyl-CoA, pyruvat, oxaloacetat, malat, và maryl-CoA, mà lại được chuyển hóa thành axetyl-CoA.

Tất cả các chu trình cố định cacbon dioxit từ (1) đến (7) đã được mô tả ở trên có phản ứng enzym từ malonyl-CoA thành malonat semialdehyt hoặc từ malonyl-CoA thành 3-hydroxypropionat. Loại phản ứng này được xúc tác bởi malonat semialdehyt dehydrogenaza hoặc malonyl-CoA reductaza (WO 2011/099006). Tin rằng phản ứng khử của axit carboxylic hoặc (thio)este của nó, như khử succinyl-CoA hoặc khử malonyl-CoA, nhìn chung khó tiến hành dưới dạng phản ứng enzym và phải tránh dùng chúng làm các tiền trinh lên men khi có thể (Atsumi et al., Nature, 451,(3), 86-89, 2008; Yim et al., Nat. Chem. Biol., 7, 445-452, 2011).

"Chu trình cố định cacbon dioxit có phản ứng enzym từ axetyl-CoA và CO<sub>2</sub> thành pyruvat" trong bản mô tả này chỉ các chu trình từ (8) đến (10) sau:

(8) chu trình được thể hiện trên Fig. 1 của WO 2011/099006, trong đó axetyl-CoA được chuyển hóa thành pyruvat, phosphoenolpyruvat, oxaloacetat, malat, và maryl-CoA, mà lại được chuyển hóa thành axetyl-CoA;

(9) chu trình được thể hiện trên Fig. 7C, 7D hoặc 7E của WO 2011/099006, trong đó axetyl-CoA được chuyển hóa thành pyruvat, malat, và maryl-CoA, mà lại được chuyển hóa thành axetyl-CoA; và

(10) chu trình được thể hiện trên Fig. 9M của WO 2011/099006, trong đó axetyl-CoA được chuyển hóa thành pyruvat, 2-ketoglutarat, malat, và maryl-CoA, mà lại được

chuyển hóa thành axetyl-CoA.

Tất cả các chu trình cố định cacbon dioxit từ (8) đến (10) đều có phản ứng enzym chuyển hóa axetyl-CoA và CO<sub>2</sub> thành pyruvat. Phản ứng này được xúc tác bởi pyruvat synthaza (WO 2011/099006). Phản ứng tổng hợp của pyruvat bởi pyruvat synthaza đòi hỏi năng suất khử mạnh từ ferredoxin và diễn ra chậm, và chỉ diễn ra dưới các điều kiện khí nghiêm ngặt vì phản ứng là nhạy với oxy.

"Chu trình cố định cacbon dioxit có phản ứng enzym từ crotonyl-CoA và CO<sub>2</sub> thành etylmalonyl-CoA hoặc glutaconyl-CoA" trong bản mô tả này chỉ chu trình được thể hiện trên Fig. 9H hoặc 9J của WO 2011/099006, trong đó axetyl-CoA được chuyển hóa thành crotonyl-CoA, etylmalonyl-CoA hoặc glutaconyl-CoA, oxaloacetat, malat, và malyl-CoA, mà lại được chuyển hóa thành axetyl-CoA.

Sự chuyển hóa của crotonyl-CoA và CO<sub>2</sub> thành etylmalonyl-CoA hoặc glutaconyl-CoA được xúc tác bởi crotonyl-CoA carboxylaza-reductaza hoặc methylcrotonyl-CoA carboxylaza. Vì giá trị Km của crotonyl-CoA carboxylaza-reductaza đối với các cacbonat là cao (14 mM; PNAS 104(25) 10631-10636, 2007), nên hoạt tính đủ ở nồng độ cơ chất thấp không thể được mong đợi. Crotonyl-CoA, là cơ chất của crotonyl-CoA carboxylaza-reductaza, được sản xuất từ 3-hydroxybutyryl-CoA bởi phản ứng loại nước. Nhìn chung, enzym có liên quan trong phản ứng loại nước chủ yếu xúc tác phản ứng ngược (tức là, phản ứng hydrat hóa) trong môi trường chứa nước. Do đó, tốc độ sản xuất đủ cao của crotonyl-CoA không thể được mong đợi. Ngoài ra, hoạt tính riêng đã được báo cáo của methylcrotonyl-CoA carboxylaza là không cao như vậy (0,2 U/mg đến 0,6 U/mg; Arch Biochem Biophys. 310(1) 64-75, 1994), và tốc độ sản xuất đủ cao của crotonyl-CoA làm cơ chất không thể được mong đợi vì cùng lý do.

"Chu trình cố định cacbon dioxit có phản ứng enzym từ CO<sub>2</sub> thành format" trong bản mô tả này chỉ chu trình được thể hiện trên Fig. 5, 6, 13 hoặc 14 của WO 2009/046929, tức là, chu trình có tiến trình trong đó phản ứng diễn ra từ CO<sub>2</sub> thông qua format và serin, và oxaloacetat được chuyển hóa thành malat, malyl-CoA, và glyxerat, mà lại được chuyển hóa thành oxaloacetat.

Phản ứng enzym từ CO<sub>2</sub> thành format đòi hỏi năng suất khử mạnh, diễn ra chậm, và chỉ diễn ra dưới các điều kiện khí nghiêm ngặt vì phản ứng là nhạy với oxy.

Trong bản mô tả này, "không thể hiện chức năng" của chu trình cố định cacbon dioxit "mặc dù được truyền" có nghĩa là chu trình cố định cacbon dioxit không thể hiện chức năng

ngay cả khi hoạt tính của enzym dự định được truyền bằng cách đưa gen mã hóa enzym có hoạt tính này vào vi sinh vật không có gen mã hóa enzym dự định. Việc "chu trình cố định cacbon dioxit không thực hiện chức năng" có thể được xác nhận gián tiếp, ví dụ, bởi việc không phát hiện thấy nhẫn có nguồn gốc từ CO<sub>2</sub> trong chất chuyển hóa trong chu trình hoặc chất có nguồn gốc từ chất chuyển hóa này trong thử nghiệm sử dụng CO<sub>2</sub> đã được gắn nhẫn, hoặc bởi việc không có sự tăng hiệu suất của chất có nguồn gốc từ chất chuyển hóa trong chu trình so với sự tiêu thụ đường.

Chu trình sản xuất axetyl-CoA cần được tạo cấu trúc trong vi sinh vật sản xuất axetyl-CoA bao gồm malat thiokinaza, malyl-CoA lyaza, hydroxypyruvat reductaza, glyoxylat carboligaza, hoặc 2-hydroxy-3-oxopropionat reductaza. Ví dụ về chu trình sản xuất axetyl-CoA được thể hiện trên Fig. 1. Chu trình sản xuất axetyl-CoA không bao gồm enzym mà tiêu thụ axetyl-CoA, như axetyl-CoA carboxylaza hoặc pyruvat synthaza.

Trong chu trình sản xuất axetyl-CoA của Fig. 1, cacbon dioxit trước tiên được liên kết với phosphoenolpyruvat hoặc pyruvat bởi tác động của phosphoenolpyruvat carboxylaza (ppc), pyruvat carboxylaza (pyc), hoặc phosphoenolpyruvat carboxykinaza (pck), và được chuyển hóa thành oxaloacetat. Oxaloacetat được chuyển hóa thành malat bởi tác động của malat dehydrogenaza (mdh). Malat được chuyển hóa thành malyl-CoA (malat CoA) bởi tác động của malat thiokinaza (mtk). Malyl-CoA (malat CoA) được chuyển hóa thành axetyl-CoA và glyoxylat bởi tác động của malyl-CoA lyaza (Mcl). Glyoxylat được chuyển hóa thành 2-hydroxy-3-oxopropionat bởi tác động của glyoxylat carboligaza (gcl). 3-hydroxy-2-oxopropionat được chuyển hóa thành glycerat bởi tác động của 2-hydroxy-3-oxopropionat reductaza (glxR), hoặc theo cách khác, được chuyển hóa thành hydroxypyruvat bởi tác động của hydroxypyruvat isomeraza (hyi) và sau đó thành glycerat bởi tác động của hydroxypyruvat reductaza (ycdW). Glycerat được chuyển hóa thành 3-phosphoglycerat bởi tác động của glycerat 3-kinaza (glxK), hoặc được chuyển hóa thành 2-phosphoglycerat bởi tác động của glycerat 2-kinaza (garK). 3-phosphoglycerat được chuyển hóa thành 2-phosphoglycerat bởi tác động của phosphoglycerat mutaza (gpm). 2-phosphoglycerat được chuyển hóa thành phosphoenolpyruvat bởi tác động của enolaza (eno). Trong trường hợp trong đó pyruvat carboxylaza được bao gồm trong chu trình, phosphoenolpyruvat được chuyển hóa thành pyruvat bởi tác động của pyruvat kinaza (pyk).

Hoạt tính enzym được truyền cho vi sinh vật sản xuất axetyl-CoA không bị giới hạn một cách cụ thể miễn là chu trình sản xuất axetyl-CoA có thể được tạo cấu trúc chức năng nhờ hoạt tính này, và có thể được chọn lọc một cách thích hợp trong phạm vi được mô tả

trong bản mô tả này tùy thuộc vào vi sinh vật chủ.

Trong vi sinh vật trong đó chu trình khép kín không thể được tạo thành với bất kỳ trong số các tiền tình trên Fig. 1 vì sự vắng mặt một phần của các enzym trong chu trình của Fig. 1, (các) enzym vắng mặt này cần phải được cung cấp. Ví dụ, trong số các vi khuẩn *Escherichia, Escherichia coli* không có malat thiokinaza và malyl-CoA lyaza, vì vậy ít nhất hai enzym này cần phải được truyền.

Vì khuẩn *Pantoea* như *Pantoea ananatis* không có malat thiokinaza, malyl-CoA lyaza, và glyoxylat carboligaza, vì vậy ít nhất malat thiokinaza, malyl-CoA lyaza, và glyoxylat carboligaza cần phải được truyền.

Trong số các vi khuẩn coryneform, ví dụ, *Corynebacterium glutamicum* không có malat thiokinaza, malyl-CoA lyaza, glyoxylat carboligaza, 2-hydroxy-3-oxopropionat reductaza, và hydroxypyruvat reductaza, vì vậy ít nhất malat thiokinaza, malyl-CoA lyaza, glyoxylat carboligaza, và 2-hydroxy-3-oxopropionat reductaza, và/hoặc hydroxypyruvat reductaza cần phải được truyền.

Enzym mà tiêu thụ axetyl-CoA như được mô tả ở trên chỉ enzym mà sử dụng axetyl-CoA làm cơ chất và xúc tác sự chuyển hóa của axetyl-CoA thành chất khác. Ví dụ về enzym này bao gồm axetyl-CoA carboxylaza, mà được phân loại dưới dạng số mã enzym: 6.4.1.2 dựa trên báo cáo của Enzyme Commission of International Union of Biochemistry (I.U.B.) và xúc tác phản ứng chuyển hóa axetyl-CoA thành malonyl-CoA; và pyruvat synthaza, mà được phân loại dưới dạng số mã enzym: 1.2.7.1 và xúc tác phản ứng chuyển hóa exetyl-CoA thành pyruvat.

Chu trình bao gồm enzym mà tiêu thụ axetyl-CoA như được mô tả ở trên chỉ chu trình khép kín trong đó axetyl-CoA được chuyển hóa, thông qua chu trình này, thành axetyl-CoA lại bởi tác động của enzym mà tiêu thụ axetyl-CoA. Trong trường hợp trong đó chất được sản xuất bởi phản ứng chuyển hóa của enzym mà tiêu thụ axetyl-CoA được chuyển hóa tiếp thành sản phẩm khác mà không được chuyển hóa lại thành exetyl-CoA (ví dụ, trong trường hợp trong đó chất được chuyển hóa thông qua tiến trình sản xuất rượu isopropyllic thành sản phẩm cuối cùng, rượu isopropyllic), chu trình này là không khép kín, và, do đó, chu trình này bị loại trừ khỏi "chu trình bao gồm enzym mà tiêu thụ axetyl-CoA".

Chu trình khép kín chỉ tiền trình bắt đầu từ chất bất kỳ trong chu trình, trong đó chất này được chuyển hóa thông qua chu trình này thành chất khác và, cuối cùng, được chuyển hóa thành chất giống như chất ban đầu.

Malat thiokinaza là tên chung của các enzym được phân loại dưới dạng số mã enzym: 6.2.1.9 dựa trên báo cáo của Enzyme Commission of International Union of Biochemistry (I.U.B.), và xúc tác phản ứng liên kết malat với CoA và chuyển hóa malat thành malyl-CoA. Trong phản ứng này, một phân tử ATP được tiêu thụ, và một phân tử ADP và một phân tử phosphat được sản xuất. Malat thiokinaza có cấu trúc siêu phân tử lớn gồm khoảng 400 axit amin và cấu trúc siêu phân tử nhỏ gồm 300 axit amin. Trong gen này, cấu trúc siêu phân tử lớn thường được sau bởi cấu trúc siêu phân tử nhỏ. Ở đây, để thuận tiện, cấu trúc siêu phân tử lớn được gọi là mtkB, và cấu trúc siêu phân tử nhỏ được gọi là mtkA. ID có báo cáo rằng hoạt tính riêng của malat thiokinaza đã được tinh chế là, ví dụ, 2,5 U/mg (Anal Biochem. 227(2), 363-367, 1995).

Malat thiokinaza chủ yếu được tìm thấy trong tiến trình đồng hóa đối với các nguồn cacbon C1 như metan (J. Bacteriol. 176(23), 7398-7404, 1994) và tiến trình 3-hydroxypropionat (Arch. Microbiol., 151, 252-256, 1989), và khác biệt ở chỗ malyl-CoA lyaza có mặt trong vùng lân cận của nó trong hệ gen. Enzym này có thể thích hợp để sử dụng. Ví dụ về việc đánh giá hoạt tính của malat thiokinaza đã được tinh chế là đã biết đối với malat thiokinaza có nguồn gốc từ *Methylobacterium extorquens*, nhưng chỉ có một vài ví dụ về việc so sánh hoạt tính với trình tự thực tế. Ví dụ duy nhất về việc đánh giá hoạt tính cùng với trình tự là đã biết đối với enzym có nguồn gốc từ *Methylobacterium extorquens* AM1 (Số nộp lưu ngân hàng gen AAA62654 và AAA62655) (J. Bacteriol. 176(23), 7398-7404, 1994). Trong tài liệu này, gen mã hóa cho malat thiokinaza được tách dòng, và gen đã được tách dòng được đưa vào cùng chủng *Methylobacterium extorquens* để đánh giá hoạt tính. Tuy nhiên, khi các tác giả sáng chế tổng hợp trình tự này trên thực tế và tiến hành đánh giá, thì không thể phát hiện được hoạt tính. Do điều này, trình tự AAA62655 được so sánh với trình tự của malat thiokinaza có nguồn gốc từ *Methylobacterium extorquens* mới được thu nhận theo sáng chế (SEQ ID NO: 70). Kết quả là, đã phát hiện thấy rằng AAA62655 có khuyết đoạn lớn (36 axit amin) ở đầu tận carboxy, và ngắn bất thường so với trình tự của các malat thiokinaza khác (ví dụ, trên Fig. 3). Do đó, tin rằng trình tự loại không hoạt động sai được mô tả trong tài liệu nêu trên.

Sáng chế này, trên thực tế, là ví dụ được báo cáo lần đầu tiên trong đó malat thiokinaza được tách dòng trên thực tế và được biểu hiện bởi vi sinh vật của loài khác, và hoạt tính có liên quan với trình tự.

Ví dụ về malat thiokinaza bao gồm các malat thiokinaza có nguồn gốc từ *Methylobacterium* như *Methylobacterium extorquens* (SEQ ID NO:70 và 71), các malat

thiokinaza có nguồn gốc từ *Hyphomicrobium* như *Hyphomicrobium methylovorum* hoặc *Hyphomicrobium denitrificans*, các malat thiokinaza có nguồn gốc từ *Rhizobium* như *Rhizobium* sp. NGR234, các malat thiokinaza có nguồn gốc từ *Granulibacter* như *Granulibacter bethesdensis* (SEQ ID NO:107 và 108), các malat thiokinaza có nguồn gốc từ *Nitrosomonas* như *Nitrosomonas europaea*, các malat thiokinaza có nguồn gốc từ *Methylococcus* như *Methylococcus capsulatus*, và các malat thiokinaza có nguồn gốc từ Gammaproteobacteria.

Xét về hiệu quả sản xuất các chất hữu dụng được sản xuất thông qua axetyl-CoA, ví dụ cụ thể về trình tự axit amin được ưu tiên bao gồm trình tự axit amin có nguồn gốc từ *Hyphomicrobium* (SEQ ID NO:73, 74, 110, và 111), trình tự axit amin có nguồn gốc từ *Rhizobium* (SEQ ID NO:75 và 76), trình tự axit amin có nguồn gốc từ *Nitrosomonas* (SEQ ID NO:113 và 114), trình tự axit amin có nguồn gốc từ *Methylococcus* (SEQ ID NO:116 và 117), và trình tự axit amin có nguồn gốc từ Gammaproteobacteria (ví dụ, SEQ ID NO:118 và 119).

Malat thiokinaza có nguồn gốc từ *Hyphomicrobium* (SEQ ID NO:73, 74, 110, và 111), malat thiokinaza có nguồn gốc từ *Rhizobium* (SEQ ID NO:75 và 76) và malat thiokinaza có nguồn gốc từ *Nitrosomonas* (SEQ ID NO:113 và 114) có chung 65% đến 80% độ tương đồng trình tự với nhau. Malat thiokinaza có nguồn gốc từ *Methylococcus* (SEQ ID NO:116 và 117) có 70% đến 80% độ tương đồng trình tự với malat thiokinaza có nguồn gốc từ Gammaproteobacteria (ví dụ, SEQ ID NO:118 và 119).

Malat thiokinaza có ít nhất 70% độ tương đồng trình tự axit amin với mỗi trong số các trình tự amino của malat thiokinaza có nguồn gốc từ *Hyphomicrobium*, malat thiokinaza có nguồn gốc từ *Rhizobium*, malat thiokinaza có nguồn gốc từ *Nitrosomonas*, malat thiokinaza có nguồn gốc từ *Methylococcus*, và malat thiokinaza có nguồn gốc từ Gammaproteobacteria được mô tả trong bản mô tả này, và có hoạt tính malat thiokinaza có thể thích hợp để sử dụng để sản xuất axetyl-CoA hoặc sản xuất sản phẩm hữu dụng có nguồn gốc từ axetyl-CoA theo sáng chế.

Kết quả sáp hàng của malat thiokinaz như nêu trong các Ví dụ được thể hiện trên Fig. 2A và Fig. 2B (MtkB: cấu trúc siêu phân tử lớn của mtk; Fig. 2A và Fig. 2B được gọi chung dưới đây trong bản mô tả này là "Fig. 2") và Fig. 3A và Fig. 3B (MtkA: cấu trúc siêu phân tử nhỏ của mtk; Fig. 3A và Fig. 3B được gọi chung dưới đây trong bản mô tả này là "Fig. 3"). Như được thể hiện trên Fig. 2 và Fig. 3, đã phát hiện thấy rằng malat thiokinaza có trình tự chung tương đồng cao trên toàn bộ chiều dài, trong đó các axit amin giống nhau hoặc

tương đồng được bảo toàn.

Liên quan đến các axit amin, malat thiokinaza có nguồn gốc từ *Methylobacterium extorquens* (được biểu thị là Me trên Fig. 2 và Fig. 3), và malat thiokinaza có hoạt tính enzym cao có nguồn gốc từ *Rhizobium* sp. (được biểu thị là Rh trên Fig. 2 và Fig. 3), *Hyphomicrobium methylovorum* (được biểu thị là Hme trên Fig. 2 và Fig. 3), *Hyphomicrobium denitrificans* (được biểu thị là Hd trên Fig. 2 và Fig. 3), *Nitrosomonas europaea* (được biểu thị là Ne trên Fig. 2 và Fig. 3), *Methylococcus capsulatus* (được biểu thị là Mc trên Fig. 2 và Fig. 3), và Gammaproteobacteria (được biểu thị là gam trên Fig. 2 và Fig. 3) được phân loại thành 4 nhóm gồm nhóm thứ nhất đến nhóm thứ tư được mô tả dưới đây. Trên Fig. 2 và Fig. 3, các nhóm này được biểu thị bởi 4 loại ký hiệu, ".+##\*", một cách tương ứng.

Nhóm thứ nhất bao gồm các vị trí ở đó *Rhizobium* sp., *Hyphomicrobium methylovorum*, *Hyphomicrobium denitrificans*, *Nitrosomonas europaea*, *Methylococcus capsulatus*, và Gammaproteobacteria, mà có hoạt tính enzym cao, có các trình tự khác với trình tự của *Methylobacterium extorquens*, và được biểu thị bởi ký hiệu ".+" trên Fig. 2 và Fig. 3. Vị trí trình tự được mô tả theo vị trí trong trình tự axit amin của *Methylobacterium extorquens*.

Nhóm thứ nhì trong các MtkB (Fig. 2) bao gồm histidin, prolin hoặc lysin ở vị trí 18; arginin, axit glutamic, axit aspartic, hoặc alanin ở vị trí 21; tyrosin hoặc histidin ở vị trí 26; axit glutamic, alanin, hoặc arginin ở vị trí 29; arginin hoặc valin ở vị trí 34; arginin, serin hoặc axit glutamic ở vị trí 36; arginin, threonin, valin, hoặc glyxin ở vị trí 42; valin ở vị trí 44; axit aspartic, axit glutamic, histidin, isoleuxin, hoặc leuxin ở vị trí 66; histidin, lysin, hoặc axit glutamic ở vị trí 67; axit aspartic hoặc axit glutamic ở vị trí 74; serin, phenylalanin, alanin, hoặc axit glutamic ở vị trí 75; threonin, lysin, hoặc histidin ở vị trí 80; histidin hoặc prolin ở vị trí 84; glutamin, alanin, glyxin, hoặc lysin ở vị trí 89; leuxin hoặc valin ở vị trí 92; axit glutamic, alanin, hoặc glutamin ở vị trí 100; methionin, threonin, serin, hoặc valin ở vị trí 102; axit aspartic, asparagin, axit glutamic, histidin, hoặc serin ở vị trí 103; isoleuxin hoặc prolin ở vị trí 104; alanin, axit aspartic, lysin, hoặc glutamin ở vị trí 105; phenylalanin hoặc leuxin ở vị trí 112; isoleuxin ở vị trí 121; methionin, valin, hoặc threonin ở vị trí 122; serin hoặc alanin ở vị trí 127; serin, alanin, glutamin, hoặc axit glutamic ở vị trí 128; alanin, serin, threonin, axit glutamic, hoặc arginin ở vị trí 139; isoleuxin ở vị trí 144; arginin hoặc lysin ở vị trí 146; glyxin hoặc alanin ở vị trí 166; axit aspartic, axit glutamic, lysin, hoặc arginin ở vị trí 170; asparagin, prolin, axit aspartic, hoặc

glyxin ở vị trí 171; isoleuxin hoặc leuxin ở vị trí 173; glyxin, asparagin, prolin, hoặc alanin ở vị trí 175; arginin, lysin, histidin, hoặc glutamin ở vị trí 176; glyxin, alanin hoặc arginin ở vị trí 183; xystein hoặc isoleuxin ở vị trí 184; tyrosin, leuxin, hoặc lysin ở vị trí 191; alanin ở vị trí 193; arginin, axit glutamic, asparagin, hoặc serin ở vị trí 206; glyxin, lysin, asparagin, axit glutamic, hoặc prolin ở vị trí 207; axit aspartic, glutamin, axit glutamic, serin, hoặc lysin ở vị trí 208; axit glutamic ở vị trí 231; arginin ở vị trí 233; lysin, asparagin, hoặc leuxin ở vị trí 235; axit glutamic hoặc isoleuxin ở vị trí 238; threonin, isoleuxin, hoặc valin ở vị trí 243; tyrosin, alanin, hoặc axit glutamic ở vị trí 244; glyxin ở vị trí 249; axit aspartic ở vị trí 256; asparagin hoặc axit aspartic ở vị trí 258; isoleuxin, leuxin, hoặc phenylalanin ở vị trí 278; lysin hoặc asparagin ở vị trí 300; threonin, arginin, alanin, axit glutamic, hoặc glutamin ở vị trí 307; leuxin, valin, xystein, hoặc tyrosin ở vị trí 336; glyxin, axit aspartic, axit glutamic, glutamin, hoặc arginin ở vị trí 340; arginin hoặc leuxin ở vị trí 358; alanin hoặc axit aspartic ở vị trí 375; axit aspartic, lysin, axit glutamic, hoặc alanin ở vị trí 379; và tryptophan, alanin, arginin, hoặc valin ở vị trí 385.

Nhóm thứ nhất trong các MtkA (Fig. 3) bao gồm phenylalanin ở vị trí 16; lysin, arginin, axit glutamic, hoặc glutamin ở vị trí 19; isoleuxin hoặc histidin ở vị trí 20; arginin hoặc axit aspartic ở vị trí 30; glutamin, threonin, hoặc serin ở vị trí 46; alanin, serin, lysin, hoặc arginin ở vị trí 47; leuxin hoặc prolin ở vị trí 49; methionin, arginin, hoặc leuxin ở vị trí 51; axit aspartic hoặc axit glutamic ở vị trí 67; alanin hoặc valin ở vị trí 68; valin hoặc isoleuxin ở vị trí 71; prolin ở vị trí 74; isoleuxin ở vị trí 90; xystein, alanin, hoặc isoleuxin ở vị trí 93; valin ở vị trí 94; axit aspartic, alanin, hoặc serin ở vị trí 119; methionin, serin, hoặc xystein ở vị trí 121; isoleuxin, threonin, hoặc leuxin ở vị trí 124; alanin hoặc xystein ở vị trí 137; arginin, valin, hoặc asparagin ở vị trí 151; valin ở vị trí 155; alanin, arginin hoặc lysin ở vị trí 171; lysin, arginin, hoặc valin ở vị trí 193; methionin, valin, hoặc isoleuxin ở vị trí 195; axit glutamic, glutamin, arginin, hoặc lysin ở vị trí 197; alanin hoặc glyxin ở vị trí 223; leuxin hoặc arginin ở vị trí 224; alanin ở vị trí 226; methionin ở vị trí 230; phenylalanin, alanin hoặc axit glutamic ở vị trí 259; valin hoặc methionin ở vị trí 267; axit glutamic hoặc lysin ở vị trí 271; alanin, xystein, hoặc leuxin ở vị trí 273; threonin hoặc asparagin ở vị trí 280; serin hoặc alanin ở vị trí 282; alanin, lysin, glutamin, glyxin, hoặc axit glutamic ở vị trí 294; và methionin, glutamin, arginin, leuxin, hoặc histidin ở vị trí 295.

Malat thiokinaza có một hoặc nhiều trong số các trình tự axit amin này là được ưu tiên hơn xét về hoạt tính enzym.

Nhóm thứ hai bao gồm các trình tự chung đặc trưng đối với tất cả các *Rhizobium* sp.,

*Hyphomicrobium methylovorum*, *Hyphomicrobium denitrificans*, *Nitrosomonas europaea*, *Methylococcus capsulatus*, và Gammaproteobacteria, và được biểu thị bởi ký hiệu "+" trên Fig. 2 và Fig. 3. Các vị trí của các trình tự đặc trưng này được mô tả theo các vị trí trong trình tự axit amin của *Hyphomicrobium methylovorum*.

Nhóm thứ hai trong các MtkB (Fig. 2) bao gồm valin ở vị trí 43; isoleuxin ở vị trí 120; isoleuxin ở vị trí 143; alanin ở vị trí 192; axit glutamic ở vị trí 230; arginin ở vị trí 232; glyxin ở vị trí 248; và axit aspartic ở vị trí 255.

Nhóm thứ hai trong các MtkA (Fig. 3) bao gồm phenylalanin ở vị trí 16; prolin ở vị trí 74; isoleuxin ở vị trí 90; valin ở vị trí 94; valin ở vị trí 155; alanin ở vị trí 226; và methionin ở vị trí 230.

Vùng không có độ tương đồng, tức là, vùng không phải là các trình tự chung đặc trưng này và các trình tự chung được bảo toàn trong số các trình tự này, có thể có đột biến. Các malat thiokinaza có bất kỳ trong số các trình tự axit amin này là được ưu tiên hơn, xét về hoạt tính enzym.

Nhóm thứ ba bao gồm các trình tự chung đặc trưng đối với *Rhizobium* sp., *Hyphomicrobium methylovorum*, *Hyphomicrobium denitrificans*, và *Nitrosomonas europaea*, và được biểu thị bởi ký hiệu "#" trên Fig. 2 và Fig. 3. Các vị trí của các trình tự đặc trưng này được mô tả theo các vị trí trong trình tự axit amin của *Hyphomicrobium methylovorum*.

Nhóm thứ ba trong các MtkB (Fig. 2) bao gồm axit glutamic ở vị trí 29; arginin ở vị trí 34; isoleuxin ở vị trí 68; histidin ở vị trí 83; leuxin ở vị trí 91; leuxin ở vị trí 95; isoleuxin ở vị trí 103; phenylalanin ở vị trí 111; axit aspartic ở vị trí 141; glyxin ở vị trí 182; xystein ở vị trí 183; valin ở vị trí 252; lysin ở vị trí 299; valin ở vị trí 345; axit glutamic ở vị trí 354; arginin ở vị trí 357; và alanin ở vị trí 374.

Nhóm thứ ba trong các MtkA (Fig. 3) bao gồm isoleuxin ở vị trí 20; alanin ở vị trí 68; xystein ở vị trí 93; methionin ở vị trí 121; leuxin ở vị trí 123; alanin ở vị trí 137; leuxin ở vị trí 224; alanin ở vị trí 236; tyrosin ở vị trí 237; isoleuxin ở vị trí 238; axit glutamic ở vị trí 261; valin ở vị trí 267; leuxin ở vị trí 270; lysin ở vị trí 271; valin ở vị trí 275; isoleuxin ở vị trí 277; threonin ở vị trí 280; và serin ở vị trí 282.

Vùng không có độ tương đồng, tức là, vùng không phải là các trình tự chung đặc trưng này và các trình tự chung được bảo toàn trong số các trình tự này, có thể có đột biến. Các malat thiokinaza có bất kỳ trong số các trình tự axit amin này là được ưu tiên hơn xét

về hoạt tính enzym.

Nhóm thứ tư bao gồm các trình tự chung đặc trưng đối với *Methylococcus capsulatus* và Gammaproteobacteria, và được biểu thị bởi ký hiệu "\*" trên Fig. 2 và Fig. 3. Các vị trí của các trình tự chung đặc trưng này được mô tả theo các vị trí trong trình tự axit amin của *Methylococcus capsulatus*.

Nhóm thứ tư trong các MtkB (Fig. 2) bao gồm asparagin ở vị trí 2; tyrosin ở vị trí 15; prolin ở vị trí 18; tyrosin ở vị trí 26; axit aspartic ở vị trí 28; valin ở vị trí 34; axit glutamic ở vị trí 36; isoleuxin ở vị trí 38; glyxin ở vị trí 53; valin ở vị trí 60; alanin ở vị trí 63; serin ở vị trí 65; axit glutamic ở vị trí 67; axit aspartic ở vị trí 74; methionin ở vị trí 76; isoleuxin ở vị trí 114; glutamin ở vị trí 119; threonin ở vị trí 122; axit glutamic ở vị trí 128; axit glutamic ở vị trí 132; valin ở vị trí 136; lysin ở vị trí 143; valin ở vị trí 145; axit glutamic ở vị trí 147; isoleuxin ở vị trí 153; xystein ở vị trí 160; lysin ở vị trí 162; valin ở vị trí 163; alanin ở vị trí 166; isoleuxin ở vị trí 167; leuxin ở vị trí 173; methionin ở vị trí 174; glutamin ở vị trí 176; arginin ở vị trí 179; leuxin ở vị trí 180; methionin ở vị trí 181; isoleuxin ở vị trí 184; leuxin ở vị trí 194; glutamin ở vị trí 195; isoleuxin ở vị trí 203; valin ở vị trí 204; glyxin ở vị trí 205; leuxin ở vị trí 211; phenylalanin ở vị trí 218; asparagin ở vị trí 219; leuxin ở vị trí 237; axit glutamic ở vị trí 239; axit glutamic ở vị trí 240; valin ở vị trí 245; axit glutamic ở vị trí 246; glyxin ở vị trí 249; asparagin ở vị trí 253; alanin ở vị trí 256; alanin ở vị trí 277; histidin ở vị trí 281; axit glutamic ở vị trí 298; lysin ở vị trí 299; asparagin ở vị trí 302; xystein ở vị trí 304; isoleuxin ở vị trí 306; isoleuxin ở vị trí 330; leuxin ở vị trí 334; glutamin ở vị trí 336; serin ở vị trí 340; leuxin ở vị trí 341; phenylalanin ở vị trí 370; asparagin ở vị trí 375; axit aspartic ở vị trí 377; axit aspartic ở vị trí 378; alanin ở vị trí 381; và isoleuxin ở vị trí 386.

Nhóm thứ tư trong các MtkA (Fig. 3) bao gồm phenylalanin ở vị trí 4; valin ở vị trí 5; asparagin ở vị trí 6; histidin ở vị trí 8; serin ở vị trí 9; valin ở vị trí 11; isoleuxin ở vị trí 12; histidin ở vị trí 20; alanin ở vị trí 28; arginin ở vị trí 30; threonin ở vị trí 33; leuxin ở vị trí 56; axit aspartic ở vị trí 60; axit aspartic ở vị trí 72; valin ở vị trí 73; isoleuxin ở vị trí 91; arginin ở vị trí 96; valin ở vị trí 97; alanin ở vị trí 102; valin ở vị trí 107; isoleuxin ở vị trí 111; glutamin ở vị trí 114; arginin ở vị trí 117; glyxin ở vị trí 119; axit aspartic ở vị trí 121; threonin ở vị trí 129; prolin ở vị trí 130; threonin ở vị trí 134; axit glutamic ở vị trí 137; xystein ở vị trí 138; lysin ở vị trí 139; valin ở vị trí 140; asparagin ở vị trí 163; axit glutamic ở vị trí 168; leuxin ở vị trí 175; threonin ở vị trí 191; axit aspartic ở vị trí 192; valin ở vị trí 194; threonin ở vị trí 195; valin ở vị trí 196; alanin ở vị trí 199; valin ở vị trí 210; valin ở vị

trí 221; alanin ở vị trí 222; alanin ở vị trí 224; arginin ở vị trí 225; alanin ở vị trí 227; axit glutamic ở vị trí 260; threonin ở vị trí 263; alanin ở vị trí 266; methionin ở vị trí 268; axit aspartic ở vị trí 269; alanin ở vị trí 270; axit glutamic ở vị trí 272; leuxin ở vị trí 274; tyrosin ở vị trí 277; arginin ở vị trí 280; asparagin ở vị trí 281; alanin ở vị trí 283; isoleuxin ở vị trí 285; leuxin ở vị trí 290; arginin ở vị trí 291; alanin ở vị trí 292; và axit glutamic ở vị trí 295.

Vùng không có độ tương đồng, tức là, vùng không phải là các trình tự chung đặc trưng này và các trình tự chung được bảo toàn trong số các trình tự này, có thể có đột biến.

Các malat thiokinaza có bất kỳ trong số các trình tự axit amin này là được ưu tiên nhất xét về hoạt tính enzym.

Để làm gen mã hóa malat thiokinaza (mtk), ADN có trình tự bazơ của gen mã hóa malat thiokinaza thu được từ mỗi trong số các sinh vật có nguồn gốc enzym nêu trên, hoặc trình tự ADN tổng hợp mà được tổng hợp dựa trên trình tự bazơ đã biết của gen này, có thể được sử dụng.

Ví dụ được ưu tiên của nó bao gồm ADN có trình tự bazơ của gen có nguồn gốc từ *Methylobacterium* như *Methylobacterium extorquens* (SEQ ID NO: 67 và 68), *Hyphomicrobium* như *Hyphomicrobium methylovorum* hoặc *Hyphomicrobium denitrificans*, *Rhizobium* như *Rhizobium* sp. NGR234, *Granulibacter* như *Granulibacter bethesdensis*, *Nitrosomonas* như *Nitrosomonas europaea*, *Methylococcus* như *Methylococcus capsulatus*, hoặc Gammaproteobacteria.

Xét về hiệu quả sản xuất axetyl-CoA, ADN có trình tự bazơ của gen có nguồn gốc từ *Hyphomicrobium* (SEQ ID NO: 61, 62, 86, và 87), *Rhizobium* (ví dụ, SEQ ID NO: 63), *Granulibacter* (SEQ ID NO: 81 và 82), *Nitrosomonas* (SEQ ID NO: 91 và 92), *Methylococcus* (SEQ ID NO: 96 và 97), hoặc Gammaproteobacteria (SEQ ID NO: 102 và 103) là được ưu tiên.

Cụ thể, trình tự bazơ của gen có nguồn gốc từ *Hyphomicrobium* (SEQ ID NO: 61, 62, 86, và 87), *Rhizobium* mà việc sử dụng codon của nó được tối ưu hóa (ví dụ, SEQ ID NO: 63), *Nitrosomonas* (SEQ ID NO: 91 và 92), *Methylococcus* (SEQ ID NO: 96 và 97), hoặc Gammaproteobacteria (SEQ ID NO: 102 và 103) là được ưu tiên.

Malyl-CoA lyaza là enzym được phân loại dưới dạng số mã enzym: 4.1.3.24 dựa trên báo cáo của Enzyme Commission of International Union of Biochemistry (I.U.B.), và xúc tác phản ứng sản xuất glyoxylat và axetyl-CoA từ malyl-CoA. Ví dụ về malyl-CoA lyaza bao gồm các malyl-CoA lyaza có nguồn gốc từ *Methylobacterium* như

*Methylobacterium extorquens*, *Hyphomicrobium* như *Hyphomicrobium methylovorum* hoặc *Hyphomicrobium denitrificans*, *Chloroflexus* như *Chloroflexus aurantiacus*, *Nitrosomonas* như *Nitrosomonas europaea*, hoặc *Methylococcus capsulatus*.

Xét về hiệu quả sản xuất axetyl-CoA, ví dụ cụ thể về trình tự axit amin được ưu tiên bao gồm trình tự axit amin có nguồn gốc từ *Methylobacterium* (SEQ ID NO: 69), *Hyphomicrobium* (SEQ ID NO: 72 và 109), *Nitrosomonas* (SEQ ID NO: 112), hoặc *Methylococcus* (SEQ ID NO: 115).

Đã có báo cáo rằng hoạt tính riêng của malyl-CoA lyaza đã được tinh chế trong *Methylobacterium extorquens* là, ví dụ, 28,1 U/mg (Biochem. J. 139, 399-405, 1974).

Để làm gen mã hóa malyl-CoA lyaza (mcl), ADN có trình tự bazơ của gen mã hóa malyl-CoA lyaza thu được từ bất kỳ trong số các sinh vật có nguồn gốc enzym đã nêu ở trên, hoặc trình tự ADN tổng hợp mà được tổng hợp dựa trên trình tự bazơ đã biết của gen này, có thể được sử dụng. Ví dụ được ưu tiên của nó bao gồm ADN có trình tự bazơ của gen có nguồn gốc từ *Methylobacterium* như *Methylobacterium extorquens*, *Hyphomicrobium* như *Hyphomicrobium methylovorum* hoặc *Hyphomicrobium denitrificans*, hoặc *Chloroflexus* như *Chloroflexus aurantiacus*. Xét về hiệu quả sản xuất axetyl-CoA, ví dụ được ưu tiên hơn của nó bao gồm ADN có trình tự bazơ của gen có nguồn gốc từ *Methylobacterium* và gen có trình tự bazơ của gen có nguồn gốc từ *Hyphomicrobium*.

Ví dụ cụ thể về trình tự bazơ được ưu tiên của gen có nguồn gốc từ *Methylobacterium* bao gồm trình tự bazơ của gen có nguồn gốc từ *Methylobacterium extorquens* (SEQ ID NO: 66). Ví dụ cụ thể về trình tự bazơ được ưu tiên của gen có nguồn gốc từ *Hyphomicrobium* bao gồm trình tự bazơ của gen có nguồn gốc từ *Hyphomicrobium methylovorum* (SEQ ID NO: 60) hoặc *Hyphomicrobium denitrificans* (SEQ ID NO: 85). Ví dụ cụ thể về trình tự bazơ được ưu tiên của gen có nguồn gốc từ *Nitrosomonas* bao gồm trình tự bazơ của gen có nguồn gốc từ *Nitrosomonas europaea* (SEQ ID NO: 90). Ví dụ cụ thể về trình tự bazơ được ưu tiên của gen có nguồn gốc từ *Methylococcus* bao gồm trình tự bazơ của gen có nguồn gốc từ *Methylococcus capsulatus* (SEQ ID NO: 95).

Axetyl-CoA carboxylaza là tên chung của các enzym được phân loại dưới dạng số mã enzym: 6.4.1.2 dựa trên báo cáo của Enzyme Commission of International Union of Biochemistry (I.U.B.), và xúc tác phản ứng chuyển hóa axetyl-CoA và CO<sub>2</sub> thành malonyl-CoA.

Malonat semialdehyt dehydrogenaza được phân loại dưới dạng số mã enzym:

1.2.1.18 dựa trên báo cáo của Enzyme Commission of International Union of Biochemistry (I.U.B.), và xúc tác phản ứng chuyển hóa malonyl-CoA thành malonat semialdehyt.

Malonyl-CoA reductaza là tên chung của các enzym xúc tác phản ứng chuyển hóa malonyl-CoA thành malonat semialdehyt hoặc 3-hydroxypropionat.

Crotonyl-CoA carboxylaza-reductaza là tên chung của các enzym được phân loại dưới dạng số mã enzym: 1.3.1.85 dựa trên báo cáo của Enzyme Commission of International Union of Biochemistry (I.U.B.), và xúc tác chuyển hóa crotonyl-CoA thành etylmalonyl-CoA.

Methylcrotonyl-CoA carboxylaza là tên chung của các enzym được phân loại dưới dạng số mã enzym: 6.4.1.4 dựa trên báo cáo của Enzyme Commission of International Union of Biochemistry (I.U.B.), và xúc tác phản ứng chuyển hóa crotonyl-CoA thành glutaconyl-CoA.

Pyruvat synthaza là tên chung của các enzym được phân loại dưới dạng số mã enzym: 1.2.7.1 dựa trên báo cáo của Enzyme Commission of International Union of Biochemistry (I.U.B.), và xúc tác phản ứng chuyển hóa exetyl-CoA thành pyruvat.

Tốt hơn là, ở vi sinh vật sản xuất axetyl-CoA, hoạt tính của ít nhất một enzym được chọn từ nhóm bao gồm lactat dehydrogenaza, malat synthaza, và fumarat hydrataza được làm bất hoạt hoặc được làm giảm. Kết quả là, axetyl-CoA có thể được sản xuất một cách hiệu quả hơn.

Trong số các lactat dehydrogenaza, malat synthaza, và fumarat hydrataza đã nêu ở trên, mỗi trong số này là enzym đích mà hoạt tính của nó có thể được làm bất hoạt hoặc được làm giảm, malat synthaza xúc tác phản ứng chuyển hóa axetyl-CoA và glyoxylat thành malat. Phản ứng này là phản ứng ngược của phản ứng được xúc tác bởi malat thiokinaza và malyl-CoA lyaza. Do đó, tốt hơn nếu làm bất hoạt hoặc làm giảm hoạt tính của malat synthaza, vì phản ứng chuyển hóa axetyl-CoA và glyoxylat lại thành malat có thể được phong bế hoặc được làm giảm và hiệu suất của axetyl-CoA được cải thiện.

Trong số các lactat dehydrogenaza, malat synthaza, và fumarat hydrataza, hoạt tính của nó có thể được làm bất hoạt hoặc được làm giảm, tốt hơn là làm bất hoạt fumarat hydrataza xét về hiệu quả sản xuất axetyl-CoA. Việc làm bất hoạt fumarat hydrataza ngăn ngừa sự chuyển hóa malat thành các chất khác bao gồm fumarat và sự giảm lượng malat, và do đó cải thiện hiệu suất của axetyl-CoA.

Lactat dehydrogenaza (ldhA) là tên chung của các enzym được phân loại dưới dạng số mã enzym: 1.1.1.28 dựa trên báo cáo của Enzyme Commission of International Union of Biochemistry (I.U.B.), và xúc tác phản ứng chuyển hóa pyruvat thành lactat, hoặc chuyển hóa lactat thành pyruvat.

Isoxitrat lyaza (aceA) được phân loại dưới số mã enzym: 4.1.3.1 dựa trên báo cáo của Commission on Enzymes, International Union of Biochemistry (I.U.B.), và là tên chung của các enzym xúc tác phản ứng chuyển hóa isoxitrat thành succinat và glyoxylat.

Malat synthaza (aceB và glcB) là tên chung của các enzym được phân loại dưới dạng số mã enzym: 2.3.3.9 dựa trên báo cáo của Enzyme Commission of International Union of Biochemistry (I.U.B.), và xúc tác phản ứng chuyển hóa axetyl-CoA và glyoxylat thành malat và CoA. Tùy thuộc vào vi sinh vật, nhiều chất đồng phân của malat synthaza được mã hóa trong hệ gen. Hầu hết các chủng *Escherichia coli* có hai gen được đặt tên là aceB và glcB, một cách tương ứng, và cả hai gen này đều được mô tả trong bản mô tả này. Mỗi trong số các *Pantoea ananatis* và *Corynebacterium glutamicum* có một loại gen tương ứng với aceB hoặc glcB, và để thuận tiện, gen này được mô tả chung là aceB trong bản mô tả này.

Fumarat hydrataza (fum) là tên chung của các enzym được phân loại dưới dạng số mã enzym: 4.2.1.2 dựa trên báo cáo của Enzyme Commission of International Union of Biochemistry (I.U.B.), và xúc tác phản ứng chuyển hóa malat thành fumarat. Tùy thuộc vào vi sinh vật, nhiều chất đồng phân của fumarat hydrataza được mã hóa trong hệ gen. Ví dụ, *Escherichia coli* có ba loại fumarat hydrataza, là fumA, fumB, và fumC. *Pantoea ananatis* có fumA và fumC, và *Corynebacterium glutamicum* có fumC.

Phosphoenolpyruvat carboxylaza là tên chung của các enzym được phân loại dưới dạng số mã enzym: 4.1.1.31 dựa trên báo cáo của Enzyme Commission of International Union of Biochemistry (I.U.B.), và xúc tác phản ứng chuyển hóa phosphoenolpyruvat và cacbon dioxit thành oxaloacetat và phosphat. Ví dụ về phosphoenolpyruvat carboxylaza bao gồm các phosphoenolpyruvat carboxylaza có nguồn gốc từ vi khuẩn *Corynebacterium* như *Corynebacterium glutamicum*, vi khuẩn *Escherichia* như *Escherichia coli*, vi khuẩn *Pantoea* như *Pantoea ananatis*, vi khuẩn *Hyphomicrobium* như *Hyphomicrobium methylovorum*, vi khuẩn *Starkeya* như *Starkeya novella*, vi khuẩn *Rhodopseudomonas* như *Rhodopseudomonas sp.*, hoặc vi khuẩn *Streptomyces* như *Streptomyces coelicolor*.

Để làm gen mã hóa phosphoenolpyruvat carboxylaza (ppc), ADN có trình tự bazơ

của gen mã hóa phosphoenolpyruvat carboxylaza thu được từ bất kỳ trong số các sinh vật có nguồn gốc enzym đã nêu ở trên, hoặc trình tự ADN tổng hợp mà được tổng hợp dựa trên trình tự bazơ đã biết của gen này, có thể được sử dụng. Ví dụ được ưu tiên của nó bao gồm ADN có trình tự bazơ của gen có nguồn gốc từ vi khuẩn *Corynebacterium* như *Corynebacterium glutamicum*, vi khuẩn *Escherichia* như *Escherichia coli*, vi khuẩn *Pantoea* như *Pantoea ananatis*, vi khuẩn *Hyphomicrobium* như *Hyphomicrobium methylovorum*, vi khuẩn *Starkeya* như *Starkeya novella*, vi khuẩn *Rhodopseudomonas* như *Rhodopseudomonas sp.*, hoặc vi khuẩn *Streptomyces* như *Streptomyces coelicolor*.

Phosphoenolpyruvat carboxykinaza là tên chung của các enzym được phân loại dưới dạng số mã enzym: 4.1.1.32, số mã enzym: 4.1.1.38, hoặc số mã enzym: 4.1.1.49 dựa trên báo cáo của Enzyme Commission of International Union of Biochemistry (I.U.B.), và xúc tác phản ứng chuyển hóa phosphoenolpyruvat và cacbon dioxit thành oxaloacetat. Trong số các số mã enzym này, các enzym được phân loại dưới dạng số mã enzym: 4.1.1.32 có liên quan đến phản ứng chuyển hóa GDP thành GTP; các enzym được phân loại dưới dạng số mã enzym: 4.1.1.38 có liên quan đến phản ứng chuyển hóa phosphat thành pyrophosphat; và các enzym được phân loại dưới dạng số mã enzym: 4.1.1.49 có liên quan đến phản ứng chuyển hóa ADP thành ATP. Ví dụ về phosphoenolpyruvat carboxykinaza bao gồm các phosphoenolpyruvat carboxykinaza có nguồn gốc từ vi khuẩn *Actinobacillus* như *Actinobacillus succinogenes*, vi khuẩn *Mycobacterium* như *Mycobacterium smegmatis*, hoặc vi khuẩn *Trypanosoma* như *Trypanosoma brucei*.

Để làm gen mã hóa phosphoenolpyruvat carboxykinaza (pck), ADN có trình tự bazơ của gen mã hóa phosphoenolpyruvat carboxykinaza thu được từ bất kỳ trong số các sinh vật có nguồn gốc enzym đã nêu ở trên, hoặc trình tự ADN tổng hợp mà được tổng hợp dựa trên trình tự bazơ đã biết của gen này, có thể được sử dụng. Ví dụ được ưu tiên của nó bao gồm ADN có trình tự bazơ của gen có nguồn gốc từ *Actinobacillus* như *Actinobacillus succinogenes*, vi khuẩn *Mycobacterium* như *Mycobacterium smegmatis*, hoặc vi khuẩn *Trypanosoma* như *Trypanosoma brucei*.

Pyruvat carboxylaza là tên chung của các enzym được phân loại dưới dạng số mã enzym: 6.4.1.1 dựa trên báo cáo của Enzyme Commission of International Union of Biochemistry (I.U.B.), và xúc tác phản ứng chuyển hóa pyruvat và cacbon dioxit thành oxaloacetat. Phản ứng tiêu thụ ATP, và sản xuất ADP và phosphat. Ví dụ về pyruvat carboxylaza bao gồm các pyruvat carboxylaza có nguồn gốc từ vi khuẩn *Corynebacterium* như *Corynebacterium glutamicum*, hoặc vi khuẩn *Mycobacterium* như *Mycobacterium*

*smegmatis*.

Để làm gen mã hóa pyruvat carboxylaza (pyc), ADN có trình tự bazơ của gen mã hóa phosphoenolpyruvat carboxylaza thu được từ bất kỳ trong số các sinh vật có nguồn gốc enzym đã nêu ở trên, hoặc trình tự ADN tổng hợp mà được tổng hợp dựa trên trình tự bazơ đã biết của gen này, có thể được sử dụng. Ví dụ được ưu tiên của nó bao gồm ADN có trình tự bazơ của gen có nguồn gốc từ vi khuẩn *Corynebacterium* như *Corynebacterium glutamicum*, hoặc vi khuẩn *Mycobacterium* như *Mycobacterium smegmatis*.

Malat dehydrogenaza là tên chung của các enzym được phân loại dưới dạng số mã enzym: 1.1.1.37 dựa trên báo cáo của Enzyme Commission of International Union of Biochemistry (I.U.B.), và sử dụng NADH làm coenzym và xúc tác phản ứng sản xuất malat từ oxaloacetat. Ví dụ về malat dehydrogenaza bao gồm các malat dehydrogenaza có nguồn gốc từ vi khuẩn *Corynebacterium* như *Corynebacterium glutamicum*, hoặc vi khuẩn *Escherichia* như *Escherichia coli*.

Để làm gen mã hóa malat dehydrogenaza (mdh), ADN có trình tự bazơ của gen mã hóa malat dehydrogenaza thu được từ bất kỳ trong số các sinh vật có nguồn gốc enzym đã nêu ở trên, hoặc trình tự ADN tổng hợp mà được tổng hợp dựa trên trình tự bazơ đã biết của gen này, có thể được sử dụng. Ví dụ được ưu tiên của nó bao gồm ADN có trình tự bazơ của gen có nguồn gốc từ vi khuẩn *Corynebacterium* như *Corynebacterium glutamicum*, vi khuẩn *Escherichia* như *Escherichia coli*, hoặc vi khuẩn *Pantoea* như *Pantoea ananatis*.

Glyoxylat carbolicaza là tên chung của các enzym được phân loại dưới dạng số mã enzym: 4.1.1.47 dựa trên báo cáo của Enzyme Commission of International Union of Biochemistry (I.U.B.), và xúc tác phản ứng chuyển hóa hai phân tử glyoxylat thành một phân tử 2-hydroxy-3-oxopropionat. Phản ứng này được đi kèm bởi sự khử carboxyl một phân tử cacbon dioxit. Ví dụ về glyoxylat carbolicaza bao gồm các glyoxylat carbolicaza có nguồn gốc từ vi khuẩn *Escherichia* như *Escherichia coli*, hoặc vi khuẩn *Rhodococcus* như *Rhodococcus jostii*.

Để làm gen mã hóa glyoxylat carbolicaza (gcl), ADN có trình tự bazơ của gen mã hóa glyoxylat carbolicaza thu được từ bất kỳ trong số các sinh vật có nguồn gốc enzym đã nêu ở trên, hoặc trình tự ADN tổng hợp mà được tổng hợp dựa trên trình tự bazơ đã biết của gen này, có thể được sử dụng. Ví dụ được ưu tiên của nó bao gồm ADN có trình tự bazơ của gen có nguồn gốc từ vi khuẩn *Rhodococcus* như *Rhodococcus jostii*, hoặc vi khuẩn *Escherichia* như *Escherichia coli*.

2-hydroxy-3-oxopropionat reductaza là tên chung của các enzym được phân loại dưới dạng số mã enzym: 1.1.1.60 dựa trên báo cáo của Enzyme Commission of International Union of Biochemistry (I.U.B.), và sử dụng NADH làm coenzym và xúc tác phản ứng chuyển hóa 2-hydroxy-3-oxopropionat thành glyxerat. Ví dụ về 2-hydroxy-3-oxopropionat reductaza bao gồm các 2-hydroxy-3-oxopropionat reductaza có nguồn gốc từ vi khuẩn *Escherichia* như *Escherichia coli*.

Để làm gen mã hóa 2-hydroxy-3-oxopropionat reductaza (glxR), ADN có trình tự bazơ của gen mã hóa 2-hydroxy-3-oxopropionat reductaza thu được từ bất kỳ trong số các sinh vật có nguồn gốc enzym đã nêu ở trên, hoặc trình tự ADN tổng hợp mà được tổng hợp dựa trên trình tự bazơ đã biết của gen này, có thể được sử dụng. Ví dụ được ưu tiên của nó bao gồm ADN có trình tự bazơ của gen có nguồn gốc từ vi khuẩn *Escherichia* như *Escherichia coli*.

Hydroxypyruvat isomerasa là tên chung của các enzym được phân loại dưới dạng số mã enzym: 5.3.1.22 dựa trên báo cáo của Enzyme Commission of International Union of Biochemistry (I.U.B.), và xúc tác phản ứng đồng phân hóa 2-hydroxy-3-oxopropionat thành hydroxypyruvat. Ví dụ về hydroxypyruvat isomerasa bao gồm các hydroxypyruvat isomerasa có nguồn gốc từ vi khuẩn *Corynebacterium* như *Corynebacterium glutamicum*, vi khuẩn *Escherichia* như *Escherichia coli*, hoặc vi khuẩn *Pantoea* như *Pantoea ananatis*.

Để làm gen mã hóa hydroxypyruvat isomerasa (hyi), ADN có trình tự bazơ của gen mã hóa hydroxypyruvat isomerasa thu được từ bất kỳ trong số các sinh vật có nguồn gốc enzym đã nêu ở trên, hoặc trình tự ADN tổng hợp mà được tổng hợp dựa trên trình tự bazơ đã biết của gen này, có thể được sử dụng. Ví dụ được ưu tiên của nó bao gồm ADN có trình tự bazơ của gen có nguồn gốc từ vi khuẩn *Corynebacterium* như *Corynebacterium glutamicum*, vi khuẩn *Escherichia* như *Escherichia coli*, hoặc vi khuẩn *Pantoea* như *Pantoea ananatis*.

Hydroxypyruvat reductaza là tên chung của các enzym được phân loại dưới dạng số mã enzym: 1.1.1.81 dựa trên báo cáo của Enzyme Commission of International Union of Biochemistry (I.U.B.), và sử dụng NADH hoặc NADPH làm coenzym và xúc tác phản ứng chuyển hóa hydroxypyruvat thành glyxerat.

Ví dụ về hydroxypyruvat reductaza bao gồm các hydroxypyruvat reductaza có nguồn gốc từ vi khuẩn *Escherichia* như *Escherichia coli*, hoặc vi khuẩn *Pantoea* như *Pantoea ananatis*.

Để làm gen mã hóa hydroxypyruvat reductaza (*ycdW*), ADN có trình tự bazơ của gen mã hóa hydroxypyruvat reductaza thu được từ bất kỳ trong số các sinh vật có nguồn gốc enzym đã nêu ở trên, hoặc trình tự ADN tổng hợp được tổng hợp dựa trên trình tự bazơ đã biết của gen này, có thể được sử dụng. Ví dụ được ưu tiên của nó bao gồm ADN có trình tự bazơ của gen có nguồn gốc từ vi khuẩn *Escherichia* như *Escherichia coli*, hoặc vi khuẩn *Pantoea* như *Pantoea ananatis*.

Glyxerat 3-kinaza là tên chung của các enzym được phân loại dưới dạng số mã enzym: 2.7.1.31 dựa trên báo cáo của Enzyme Commission of International Union of Biochemistry (I.U.B.), và xúc tác phản ứng chuyển hóa glyxerat thành 3-phosphoglyxerat. Trong phản ứng này, một phân tử ATP được tiêu thụ, và một phân tử ADP và một phân tử phosphat được sản xuất. Ví dụ về glyxerat 3-kinaza bao gồm các glyxerat 3-kinaza có nguồn gốc từ vi khuẩn *Corynebacterium* như *Corynebacterium glutamicum*, hoặc vi khuẩn *Escherichia* như *Escherichia coli*.

Để làm gen mã hóa glyxerat 3-kinaza (*glxK*) theo sáng chế, ADN có trình tự bazơ của gen mã hóa glyxerat 3-kinaza thu được từ bất kỳ trong số các sinh vật có nguồn gốc enzym đã nêu ở trên, hoặc trình tự ADN tổng hợp mà được tổng hợp dựa trên trình tự bazơ đã biết của gen này, có thể được sử dụng. Ví dụ được ưu tiên của nó bao gồm ADN có trình tự bazơ của gen có nguồn gốc từ vi khuẩn *Corynebacterium* như *Corynebacterium glutamicum*, vi khuẩn *Escherichia* như *Escherichia coli*, hoặc vi khuẩn *Pantoea* như *Pantoea ananatis*.

Glyxerat 2-kinaza là tên chung của các enzym được phân loại dưới dạng số mã enzym: 2.7.1.165 dựa trên báo cáo của Enzyme Commission of International Union of Biochemistry (I.U.B.), và xúc tác phản ứng chuyển hóa glyxerat thành 2-phosphoglyxerat. Trong phản ứng này, một phân tử ATP được tiêu thụ, và một phân tử ADP và một phân tử phosphat được sản xuất. Ví dụ về glyxerat 2-kinaza bao gồm các glyxerat 2-kinaza có nguồn gốc từ vi khuẩn *Corynebacterium* như *Corynebacterium glutamicum*, hoặc vi khuẩn *Escherichia* như *Escherichia coli*.

Để làm gen mã hóa glyxerat 2-kinaza (*garK*) theo sáng chế, ADN có trình tự bazơ của gen mã hóa glyxerat 2-kinaza thu được từ bất kỳ trong số các sinh vật có nguồn gốc enzym đã nêu ở trên, hoặc trình tự ADN tổng hợp mà được tổng hợp dựa trên trình tự bazơ đã biết của gen này, có thể được sử dụng. Ví dụ được ưu tiên của nó bao gồm ADN có trình tự bazơ của gen có nguồn gốc từ vi khuẩn *Corynebacterium* như *Corynebacterium glutamicum*, vi khuẩn *Escherichia* như *Escherichia coli*, hoặc vi khuẩn *Pantoea* như

*Pantoea ananatis.*

Phosphoglyxerat mutaza là tên chung của các enzym được phân loại dưới dạng số mã enzym: 5.4.2.1 dựa trên báo cáo của Enzyme Commission of International Union of Biochemistry (I.U.B.), và xúc tác phản ứng chuyển hóa 3-phosphoglyxerat thành 2-phosphoglyxerat. Ví dụ về phosphoglyxerat mutaza bao gồm các phosphoglyxerat mutaza có nguồn gốc từ vi khuẩn *Corynebacterium* như *Corynebacterium glutamicum*, vi khuẩn *Escherichia* như *Escherichia coli*, hoặc vi khuẩn *Pantoea* như *Pantoea ananatis*.

Để làm gen mã hóa phosphoglyxerat mutaza (gpm), ADN có trình tự bazơ của gen mã hóa phosphoglyxerat mutaza thu được từ bất kỳ trong số các sinh vật có nguồn gốc enzym đã nêu ở trên, hoặc trình tự ADN tổng hợp mà được tổng hợp dựa trên trình tự bazơ đã biết của gen này, có thể được sử dụng. Ví dụ được ưu tiên của nó bao gồm ADN có trình tự bazơ của gen có nguồn gốc từ vi khuẩn *Corynebacterium* như *Corynebacterium glutamicum*, vi khuẩn *Escherichia* như *Escherichia coli*, hoặc vi khuẩn *Pantoea* như *Pantoea ananatis*.

Enolaza là tên chung của các enzym được phân loại dưới dạng số mã enzym: 4.2.1.11 dựa trên báo cáo của Enzyme Commission of International Union of Biochemistry (I.U.B.), và xúc tác phản ứng chuyển hóa 2-phosphoglyxerat thành phosphoenolpyruvat. Ví dụ về enolaza bao gồm các enolaza có nguồn gốc từ vi khuẩn *Corynebacterium* như *Corynebacterium glutamicum*, vi khuẩn *Escherichia* như *Escherichia coli*, hoặc vi khuẩn *Pantoea* như *Pantoea ananatis*.

Để làm gen mã hóa enolaza (eno), ADN có trình tự bazơ của gen mã hóa enolaza thu được từ bất kỳ trong số các sinh vật có nguồn gốc enzym đã nêu ở trên, hoặc trình tự ADN tổng hợp mà được tổng hợp dựa trên trình tự bazơ đã biết của gen này, có thể được sử dụng. Ví dụ được ưu tiên của nó bao gồm ADN có trình tự bazơ của gen có nguồn gốc từ vi khuẩn *Corynebacterium* như *Corynebacterium glutamicum*, vi khuẩn *Escherichia* như *Escherichia coli*, hoặc vi khuẩn *Pantoea* như *Pantoea ananatis*.

Pyruvat kinaza là tên chung của các enzym được phân loại dưới dạng số mã enzym: 2.7.1.40 dựa trên báo cáo của Enzyme Commission of International Union of Biochemistry (I.U.B.), và xúc tác phản ứng chuyển hóa phosphoenolpyruvat và ADP thành pyruvat và ATP. Ví dụ về pyruvat kinaza bao gồm các pyruvat kinaza có nguồn gốc từ vi khuẩn *Corynebacterium* như *Corynebacterium glutamicum*, vi khuẩn *Escherichia* như *Escherichia coli*, hoặc vi khuẩn *Pantoea* như *Pantoea ananatis*.

Để làm gen mã hóa pyruvat kinaza (pyk), ADN có trình tự bazơ của gen mã hóa pyruvat kinaza thu được từ bất kỳ trong số các sinh vật có nguồn gốc enzym đã nêu ở trên, hoặc trình tự ADN tổng hợp mà được tổng hợp dựa trên trình tự bazơ đã biết của gen này, có thể được sử dụng. Ví dụ được ưu tiên của nó bao gồm ADN có trình tự bazơ của gen có nguồn gốc từ vi khuẩn *Corynebacterium* như *Corynebacterium glutamicum*, vi khuẩn *Escherichia* như *Escherichia coli*, hoặc vi khuẩn *Pantoea* như *Pantoea ananatis*.

Vì sinh vật sản xuất axetyl-CoA có thể là vi sinh vật có, ngoài tiến trình để chuyển hóa axetyl-CoA thành chất chuyển hóa hữu dụng, tiến trình mà sản xuất chất chuyển hóa khác bằng cách sử dụng axetyl-CoA làm nguyên liệu thô, hoặc có thể là vi sinh vật mà hoạt tính enzym của nó liên quan đến tiến trình sản xuất chất chuyển hóa khác được tăng cường. Kết quả là, các chất chuyển hóa hữu dụng có nguồn gốc từ axetyl-CoA có thể được sản xuất từ nguyên liệu nguồn cacbon và cacbon dioxit, và hiệu suất của chất chuyển hóa hữu dụng có nguồn gốc từ axetyl-CoA có thể được làm tăng.

Vì sinh vật được sử dụng theo sáng chế không bị giới hạn một cách cụ thể miễn là vi sinh vật này không có chức năng nào trong số các chức năng sau:

(a) chu trình cố định cacbon dioxit có phản ứng enzym từ malonyl-CoA thành malonat semialdehyt hoặc 3-hydroxypropionat;

(b) chu trình cố định cacbon dioxit có phản ứng enzym từ axetyl-CoA và CO<sub>2</sub> thành pyruvat;

(c) chu trình cố định cacbon dioxit có phản ứng enzym từ crotonyl-CoA và CO<sub>2</sub> thành etylmalonyl-CoA hoặc glutaconyl-CoA;

(d) chu trình cố định cacbon dioxit có phản ứng enzym từ CO<sub>2</sub> thành format; trong đó vi sinh vật này không có hoạt tính malat thiokinaza và malyl-CoA lyaza nội sinh bất kỳ.

Ví dụ về vi sinh vật bao gồm vi sinh vật thuộc *Enterobacteriaceae* và vi sinh vật thuộc vi khuẩn coryneform. Ví dụ cụ thể về vi sinh vật bao gồm vi sinh vật thuộc *Enterobacteriaceae* như vi khuẩn *Escherichia* và vi khuẩn *Pantoea*; vi sinh vật thuộc vi khuẩn coryneform như vi khuẩn *Corynebacterium* và vi khuẩn *Brevibacterium*; nấm dạng sợi; và nấm tia.

Ví dụ cụ thể về vi sinh vật thuộc *Enterobacteriaceae* bao gồm vi khuẩn thuộc *Enterobacter*, *Erwinia*, *Escherichia*, *Klebsiella*, *Pantoea*, *Providencia*, *Salmonella*, *Serratia*, *Shigella*, *Morganella*, hoặc *Erwinia*. Trong số này, vi sinh vật thuộc *Escherichia*

và vi sinh vật thuộc *Pantoea* là được ưu tiên từ quan điểm về sự sản xuất hiệu quả các chất chuyển hóa hữu dụng.

Ví dụ về vi khuẩn *Corynebacterium* bao gồm *Corynebacterium glutamicum*.

Vi khuẩn *Escherichia* không bị giới hạn một cách cụ thể, và ví dụ về vi khuẩn này bao gồm *Escherichia coli*. Ví dụ cụ thể về *Escherichia coli* bao gồm *Escherichia coli* W3110 (ATCC 27325) và *Escherichia coli* MG1655 (ATCC 47076), có nguồn gốc từ chủng kiếu đại kiếu chuẩn K12, và *Escherichia coli* B (ATCC 11303) có nguồn gốc từ chủng kiếu đại kiếu chuẩn B.

Cả vi khuẩn *Escherichia* và vi khuẩn *Pantoea* đều thuộc Enterobacteriaceae, và có liên quan gần gũi với nhau (J. Gen. Appl. Microbiol. 43(6) 355-361 (1997); International Journal of Systematic Bacteriology, p1061-1067, 1997).

Trong những năm gần đây, một số vi khuẩn thuộc *Enterobacter* đã được phân loại lại thành *Pantoea agglomerans*, *Pantoea dispersa*, hoặc loại tương tự (International Journal of Systematic Bacteriology, July 39(3) 337-345, 1989).

Ngoài ra, một số vi khuẩn thuộc *Erwinia* đã được phân loại lại thành *Pantoea ananas* hoặc *Pantoea stewartii* (International Journal of Systematic Bacteriology, 43(1), 162-173, 1993).

Ví dụ về vi khuẩn *Enterobacter* bao gồm *Enterobacter agglomerans* và *Enterobacter aerogenes*. Cụ thể hơn, các chủng được minh họa trong Patent châu Âu số 952221 có thể được sử dụng. Ví dụ về các chủng đại diện của *Enterobacter* bao gồm *Enterobacter agglomerans* ATCC 12287.

Ví dụ về các chủng đại diện của vi khuẩn *Pantoea* bao gồm *Pantoea ananatis*, *Pantoea stewartii*, *Pantoea agglomerans*, và *Pantoea citrea*. Ví dụ cụ thể về các chủng này bao gồm các chủng sau.

- *Pantoea ananatis* AJ13355 (FERM BP-6614) (Patent châu Âu số 0952221)

- *Pantoea ananatis* AJ13356 (FERM BP-6615) (Patent châu Âu số 0952221)

Mặc dù các chủng này được mô tả là *Enterobacter agglomerans* trong Patent châu Âu số 0952221, các chủng này được phân loại lại thành *Pantoea ananatis* như được mô tả trên đây dựa trên phân tích trình tự bazơ của 16S rARN và dạng tương tự.

"Vi khuẩn coryneform" theo sáng chế chỉ vi sinh vật thuộc *Corynebacterium*, *Brevibacterium*, hoặc *Microbacterium*, như được định nghĩa trong Bergey's Manual of

Determinative Bacteriology, 8, 599 (1974).

Ví dụ về vi khuẩn coryneform còn bao gồm vi sinh vật mà đã được phân loại thành *Brevibacterium* nhưng được phân loại lại thành *Corynebacterium* (Int. J. Syst. Bacteriol., 41, 255, 1991), và các vi khuẩn có liên quan như vi sinh vật thuộc *Brevibacterium*. Ví dụ về vi khuẩn coryneform được liệt kê dưới đây.

Tức là, ví dụ về vi khuẩn coryneform bao gồm *Corynebacterium acetoacidophilum*, *Corynebacterium acetoglutamicum*, *Corynebacterium alkanolyticum*, *Corynebacterium callunae*, *Corynebacterium glutamicum*, *Corynebacterium lily*, *Corynebacterium melassecola*, *Corynebacterium thermoaminogenes*, *Corynebacterium herculis*, *Brevibacterium divaricatum*, *Brevibacterium flavum*, *Brevibacterium immariophilum*, *Brevibacterium lactofermentum*, *Brevibacterium roseum*, *Brevibacterium saccharolyticum*, *Brevibacterium thiogenitalis*, *Corynebacterium amoniacgenes*, *Brevibacterium album*, *Brevibacterium cerinum*, và *Microbacterium amoniacphilum*.

Ví dụ cụ thể của nó bao gồm các chủng sau.

*Corynebacterium acetoacidophilum* ATCC 13870, *Corynebacterium acetoglutamicum* ATCC 15806, *Corynebacterium alkanolyticum* ATCC 21511, *Corynebacterium callunae* ATCC 15991, *Corynebacterium glutamicum* ATCC 13020, ATCC 13032 và ATCC 13060, *Corynebacterium lily* ATCC 15990, *Corynebacterium melassecola* ATCC 17965, *Corynebacterium thermoaminogenes* AJ 12340 (FERM BP-1539), *Corynebacterium herculis* ATCC 13868, *Brevibacterium divaricatum* ATCC 14020, *Brevibacterium flavum* ATCC 13826, ATCC 14067, và AJ 12418 (FERM BP-2205), *Brevibacterium immariophilum* ATCC 14068, *Brevibacterium lactofermentum* (*Corynebacterium glutamicum*) ATCC 13869, *Brevibacterium roseum* ATCC 13825, *Brevibacterium saccharolyticum* ATCC 14066, *Brevibacterium thiogenitalis* ATCC 19240, *Corynebacterium amoniacgenes* ATCC 6871 và ATCC 6872, *Brevibacterium album* ATCC 15111, *Brevibacterium cerinum* ATCC 15112, và *Microbacterium amoniacphilum* ATCC 15354.

Trong trường hợp trong đó vi khuẩn *Escherichia* được sử dụng làm vi sinh vật, ví dụ được ưu tiên về vi sinh vật sản xuất axetyl-CoA theo sáng chế bao gồm vi khuẩn *Escherichia* sản xuất axetyl-CoA trong đó hoạt tính thiolaza, hoạt tính CoA transferaza, và hoạt tính axetoaxetat decarboxylaza được truyền hoặc được tăng cường.

Trong trường hợp trong đó vi khuẩn *Escherichia* được sử dụng làm vi sinh vật, ví

dụ được ưu tiên về vi sinh vật sản xuất axetyl-CoA theo sáng chế còn bao gồm vi khuẩn *Escherichia* sản xuất axetyl-CoA sản xuất trong đó hoạt tính thiolaza, hoạt tính CoA transferaza, hoạt tính axetoaxetat decarboxylaza, và hoạt tính dehydrogenaza rượu isopropyllic được truyền hoặc được tăng cường.

Thiolaza là tên chung của các enzym được phân loại dưới dạng số mã enzym: 2.3.1.9 dựa trên báo cáo của Enzyme Commission of International Union of Biochemistry (I.U.B.), và xúc tác phản ứng sản xuất axetoaxetyl-CoA từ axetyl-CoA.

Ví dụ về thiolaza bao gồm các thiolaza có nguồn gốc từ vi khuẩn *Clostridium* như *Clostridium acetobutylicum* hoặc *Clostridium beijerinckii*, vi khuẩn *Escherichia* như *Escherichia coli*, *Halobacterium* sp., vi khuẩn *Zoogloea* như *Zoogloea ramigera*, *Rhizobium* sp., vi khuẩn *Bradyrhizobium* như *Bradyrhizobium japonicum*, *Candida* như *Candida tropicalis*, vi khuẩn *Caulobacter* như *Caulobacter crescentus*, vi khuẩn *Streptomyces* như *Streptomyces collinus*, hoặc vi khuẩn *Enterococcus* như *Enterococcus faecalis*.

Để làm gen mã hóa thiolaza, ADN có trình tự bazơ của gen mã hóa thiolaza thu được từ bất kỳ trong số các sinh vật có nguồn gốc enzym đã nêu ở trên, hoặc trình tự ADN tổng hợp mà được tổng hợp dựa trên trình tự bazơ đã biết của gen này, có thể được sử dụng. Ví dụ được ưu tiên của nó bao gồm ADN có trình tự bazơ của gen có nguồn gốc từ vi khuẩn *Clostridium* như *Clostridium acetobutylicum* hoặc *Clostridium beijerinckii*; vi khuẩn *Escherichia* như *Escherichia coli*, *Halobacterium* sp., vi khuẩn *Zoogloea* như *Zoogloea ramigera*, *Rhizobium* sp., vi khuẩn *Bradyrhizobium* như *Bradyrhizobium japonicum*, *Candida* như *Candida tropicalis*, vi khuẩn *Caulobacter* như *Caulobacter crescentus*, vi khuẩn *Streptomyces* như *Streptomyces collinus*, hoặc vi khuẩn *Enterococcus* như *Enterococcus faecalis*. Ví dụ được ưu tiên hơn của nó bao gồm ADN có trình tự bazơ của gen có nguồn gốc từ sinh vật chưa có nhân điển hình như vi khuẩn *Clostridium* hoặc vi khuẩn *Escherichia*, và ADN có trình tự bazơ của gen có nguồn gốc từ *Clostridium acetobutylicum* hoặc *Escherichia coli* là được đặc biệt ưu tiên.

Axetoaxetat decarboxylaza là tên chung của các enzym được phân loại dưới dạng số mã enzym: 4.1.1.4 dựa trên báo cáo của Enzyme Commission of International Union of Biochemistry (I.U.B.), và xúc tác phản ứng sản xuất axeton từ axetoaxetat.

Ví dụ về axetoaxetat decarboxylaza bao gồm các axetoaxetat decarboxylaza có nguồn gốc từ vi khuẩn *Clostridium* như *Clostridium acetobutylicum* hoặc *Clostridium*

*beijerinckii*; hoặc vi khuẩn *Bacillus* như *Bacillus polymyxa*.

Để làm gen mã hóa axetoacetat decarboxylaza, ADN có trình tự bazơ của gen mã hóa axetoacetat decarboxylaza thu được từ sinh vật bất kỳ trong số các sinh vật có nguồn gốc enzym đã nêu ở trên, hoặc trình tự ADN tổng hợp mà được tổng hợp dựa trên trình tự bazơ đã biết của gen này, có thể được sử dụng. Ví dụ được ưu tiên của nó bao gồm ADN có trình tự bazơ của gen có nguồn gốc từ vi khuẩn *Clostridium* hoặc vi khuẩn *Bacillus*. Ví dụ cụ thể của nó bao gồm ADN có trình tự bazơ của gen có nguồn gốc từ *Clostridium acetobutylicum* hoặc *Bacillus polymyxa*. ADN tốt hơn nữa là ADN có trình tự bazơ của gen có nguồn gốc từ *Clostridium acetobutylicum*.

Để làm gen mã hóa axetoacetat decarboxylaza, ADN có trình tự bazơ của gen mã hóa axetoacetat decarboxylaza thu được từ bất kỳ trong số các sinh vật có nguồn gốc enzym đã nêu ở trên có thể được sử dụng. Ví dụ được ưu tiên của nó bao gồm ADN có trình tự bazơ của gen có nguồn gốc từ vi khuẩn *Clostridium* hoặc vi khuẩn *Bacillus*. Ví dụ cụ thể của nó bao gồm ADN có trình tự bazơ của gen có nguồn gốc từ *Clostridium acetobutylicum* hoặc *Bacillus polymyxa*. ADN tốt hơn nữa là ADN có trình tự bazơ của gen có nguồn gốc từ *Clostridium acetobutylicum*.

Dehydrogenaza rượu isopropyllic là tên chung của các enzym được phân loại dưới dạng số mã enzym: 1.1.1.80 dựa trên báo cáo của Enzyme Commission of International Union of Biochemistry (I.U.B.), và xúc tác phản ứng sản xuất rượu isopropyllic từ axeton.

Ví dụ về dehydrogenaza rượu isopropyllic bao gồm các dehydrogenaza rượu isopropyllic có nguồn gốc từ vi khuẩn *Clostridium* như *Clostridium beijerinckii*.

Để làm gen mã hóa dehydrogenaza rượu isopropyllic, ADN có trình tự bazơ của gen mã hóa dehydrogenaza rượu isopropyllic thu được từ bất kỳ trong số các sinh vật có nguồn gốc enzym đã nêu ở trên có thể được sử dụng. Ví dụ được ưu tiên của nó bao gồm ADN có trình tự bazơ của gen có nguồn gốc từ vi khuẩn *Clostridium*, như *Clostridium beijerinckii*.

CoA transferaza là tên chung của các enzym được phân loại dưới dạng số mã enzym: 2.8.3.8 dựa trên báo cáo của Enzyme Commission of International Union of Biochemistry (I.U.B.), và xúc tác phản ứng sản xuất axetoacetat từ axetoacetyl-CoA.

Ví dụ về CoA transferaza bao gồm các CoA transferaza có nguồn gốc từ vi khuẩn *Clostridium* như *Clostridium acetobutylicum* hoặc *Clostridium beijerinckii*; vi khuẩn *Roseburia* như *Roseburia intestinalis*; vi khuẩn *Faecalibacterium* như *Faecalibacterium prausnitzii*; vi khuẩn *Coprococcus*; các Trypanosoma như *Trypanosoma brucei*; hoặc vi

khuẩn *Escherichia* như *Escherichia coli*.

Để làm gen mã hóa CoA transferaza, ADN có trình tự bazơ của gen mã hóa CoA transferaza thu được từ bất kỳ trong số các sinh vật có nguồn gốc enzym đã nêu ở trên, hoặc trình tự ADN tổng hợp được tổng hợp dựa trên trình tự bazơ đã biết của gen này, có thể được sử dụng. Ví dụ được ưu tiên của nó bao gồm ADN có trình tự bazơ của gen có nguồn gốc từ vi khuẩn *Clostridium* như *Clostridium acetobutylicum*, vi khuẩn *Roseburia* như *Roseburia intestinalis*, vi khuẩn *Faecalibacterium* như *Faecalibacterium prausnitzii*, vi khuẩn *Coprococcus*, các Trypanosoma như *Trypanosoma brucei*, hoặc vi khuẩn *Escherichia* như *Escherichia coli*. Ví dụ được ưu tiên hơn của nó bao gồm ADN có trình tự bazơ của gen có nguồn gốc từ vi khuẩn *Clostridium* hoặc vi khuẩn *Escherichia*, và ADN có trình tự bazơ của gen có nguồn gốc từ *Clostridium acetobutylicum* hoặc *Escherichia coli* là được ưu tiên hơn nữa.

Từ quan điểm về hoạt tính enzym, tốt hơn là mỗi trong số bốn loại enzym nêu trên là enzym có nguồn gốc từ ít nhất một vi khuẩn được chọn từ nhóm bao gồm vi khuẩn *Clostridium*, vi khuẩn *Bacillus*, và vi khuẩn *Escherichia*. Cụ thể, trường hợp trong đó axetoaxetat decarboxylaza và dehydrogenaza rượu isopropyllic có nguồn gốc từ vi khuẩn *Clostridium*, và trong đó hoạt tính CoA transferaza và hoạt tính thiolaza có nguồn gốc từ vi khuẩn *Escherichia*, là được ưu tiên hơn.

Cụ thể, từ quan điểm về hoạt tính enzym, tốt hơn là mỗi trong số bốn loại enzym nêu trên có nguồn gốc từ bất kỳ trong số *Clostridium acetobutylicum*, *Clostridium beijerinckii*, hoặc *Escherichia coli*. Tốt hơn là axetoaxetat decarboxylaza là enzym có nguồn gốc từ *Clostridium acetobutylicum*, và mỗi trong số CoA transferaza và thiolaza có nguồn gốc từ *Clostridium acetobutylicum* hoặc *Escherichia coli*, và dehydrogenaza rượu isopropyllic có nguồn gốc từ *Clostridium beijerinckii*. Liên quan đến bốn loại enzym, tốt hơn là hoạt tính axetoaxetat decarboxylaza có nguồn gốc từ *Clostridium acetobutylicum*, và hoạt tính dehydrogenaza rượu isopropyllic có nguồn gốc từ *Clostridium beijerinckii*, và hoạt tính CoA transferaza và hoạt tính thiolaza có nguồn gốc từ *Escherichia coli*, từ quan điểm về hoạt tính enzym.

Gen mã hóa CoA transferaza (atoD và atoA) và gen mã hóa thiolaza (atoB) có nguồn gốc từ *Escherichia coli* tạo ra operon trên hệ gen của *Escherichia coli* theo thứ tự atoD, atoA, và atoB (Journal of Bacteriology Vol,169 pp 42-52 Lauren Sallus Jenkins et al.). Do đó, sự biểu hiện của gen mã hóa CoA transferaza và gen mã hóa thiolaza có thể được kiểm soát đồng thời bằng cách cài biến gen khởi đầu atoD.

Từ những gì nêu trên đây, khi hoạt tính CoA transferaza và hoạt tính thiolaza thu được từ các gen trong hệ gen của vật chủ *Escherichia coli*, tốt hơn nếu tăng cường sự biểu hiện của cả hai gen mã hóa enzym bằng cách, ví dụ, thay thế gen khởi đầu chịu trách nhiệm cho sự biểu hiện của cả hai gen mã hóa enzym bằng gen khởi đầu khác, từ quan điểm thu được khả năng sản xuất rượu isopropyllic. Ví dụ về gen khởi đầu được sử dụng để tăng cường sự biểu hiện của hoạt tính CoA transferaza và hoạt tính thiolaza bao gồm gen khởi đầu GAPDH có nguồn gốc từ *Escherichia coli* đã được mô tả ở trên.

Ví dụ về vi sinh vật sản xuất axetyl-CoA mà sản xuất chất chuyển hóa khác bằng cách sử dụng axetyl-CoA làm nguyên liệu thô bao gồm vi sinh vật thu được bằng cách truyền hoặc tăng cường, hoặc làm bất hoạt hoặc làm giảm, bất kỳ trong số các hoạt tính enzym đã được mô tả ở trên, sử dụng *Escherichia coli* có hệ thống sản xuất rượu isopropyllic (sau đây trong bản mô tả này được gọi là "*Escherichia coli* sản xuất rượu isopropyllic") làm vật chủ.

*Escherichia coli* sản xuất rượu isopropyllic có thể là *Escherichia coli* bất kỳ miễn là các gen tương ứng để truyền khả năng sản xuất rượu isopropyllic có thể được đưa vào hoặc được cải biến.

*Escherichia coli* tốt hơn nữa là *Escherichia coli* mà khả năng sản xuất rượu isopropyllic đã được truyền trước cho vi khuẩn này. Bằng cách sử dụng *Escherichia coli* này, rượu isopropyllic có thể được sản xuất một cách hiệu quả.

Ví dụ về *Escherichia coli* sản xuất rượu isopropyllic là *Escherichia coli* sản xuất rượu isopropyllic mà hoạt tính axetoaxetat decarboxylaza, hoạt tính dehydrogenaza rượu isopropyllic, hoạt tính CoA transferaza, và hoạt tính thiolaza đã được truyền cho vi khuẩn này để có khả năng sản xuất rượu isopropyllic từ nguyên liệu thô có nguồn gốc từ thực vật, và được mô tả trong, ví dụ, WO 2009/008377. Ví dụ khác về *Escherichia coli* sản xuất rượu isopropyllic bao gồm vi sinh vật được mô tả trong WO 2009/094485, WO 2009/094485, WO 2009/046929, hoặc WO 2009/046929.

*Escherichia coli* sản xuất rượu isopropyllic là *Escherichia coli* có hệ thống sản xuất rượu isopropyllic, và có khả năng sản xuất rượu isopropyllic nhờ kỹ thuật tái tổ hợp di truyền. Hệ thống sản xuất rượu isopropyllic có thể là hệ thống bất kỳ mà giúp cho *Escherichia coli* quan tâm có khả năng sản xuất rượu isopropyllic.

Trong *Escherichia coli* sản xuất rượu isopropyllic theo sáng chế, tốt hơn là, bốn hoạt tính enzym —hoạt tính axetoaxetat decarboxylaza, hoạt tính dehydrogenaza rượu

isopropylic, hoạt tính CoA transferaza, và hoạt tính thiolaza đã được mô tả ở trên — được truyền từ bên ngoài tế bào.

Theo sáng chế, ví dụ về *Escherichia coli* sản xuất rượu isopropylic có hệ thống sản xuất rượu isopropylic bao gồm biến thể pIPA/B và biến thể plaaa/B được mô tả trong WO 2009/008377. Ví dụ về *Escherichia coli* sản xuất rượu isopropylic còn bao gồm biến thể trong đó, trong số các enzym có liên quan đến sự sản xuất rượu isopropylic, hoạt tính CoA transferaza và hoạt tính thiolaza được tăng cường bằng cách tăng cường sự biểu hiện của các gen tương ứng trên hệ gen của *Escherichia coli*, và trong đó hoạt tính dehydrogenaza rượu isopropylic và hoạt tính axetoaxetat decarboxylaza được tăng cường bằng cách tăng cường sự biểu hiện của các gen tương ứng sử dụng plasmid hoặc các plasmid (đôi khi được gọi là "biến thể plB::atoDAB").

Theo sáng chế, *Escherichia coli* sản xuất rượu isopropylic có thể là *Escherichia coli* sản xuất rượu isopropylic bao gồm hệ thống sản xuất rượu isopropylic, trong đó hoạt tính của gen kìm hãm phiên mã GntR được làm bất hoạt, và *Escherichia coli* sản xuất rượu isopropylic bao gồm nhóm enzym phụ trợ có kiểu hoạt tính enzym mà nhờ nó duy trì hoặc tăng cường được khả năng sản xuất rượu isopropylic do sự bất hoạt hoạt tính GntR. Do đó, sự sản xuất rượu isopropylic có thể được làm tăng thêm.

Thuật ngữ "nhóm enzym phụ trợ" theo sáng chế chỉ một enzym hoặc hai hoặc nhiều enzym, mà ảnh hưởng đến khả năng sản xuất rượu isopropylic. Ngoài ra, hoạt tính của các enzym được bao gồm trong nhóm enzym phụ trợ được làm bất hoạt, được hoạt hóa, hoặc được tăng cường. Cụm từ "kiểu hoạt tính enzym của nhóm enzym phụ trợ" như được sử dụng trong bản mô tả này chỉ kiểu hoạt tính enzym của các enzym mà có khả năng duy trì hoặc làm tăng lượng sản xuất rượu isopropyl được cải thiện đạt được bởi sự bất hoạt hoạt tính GntR một mình, và bao gồm một enzym của hỗn hợp của hai hoặc nhiều enzym.

Ví dụ về kiểu hoạt tính enzym được ưu tiên của nhóm enzym phụ trợ bao gồm các kiểu sau:

(1) duy trì hoạt tính kiểu dài của glucoza-6-phosphat isomerasa (Pgi), glucoza-6-phosphat-1-dehydrogenaza (Zwf), và phosphogluconat dehydrogenaza (Gnd);

(2) bất hoạt hoạt tính glucoza-6-phosphat isomerasa (Pgi), và tăng cường hoạt tính glucoza-6-phosphat-1-dehydrogenaza (Zwf); và

(3) bất hoạt hoạt tính glucoza-6-phosphat isomerasa (Pgi), tăng cường hoạt tính glucoza-6-phosphat-1-dehydrogenaza (Zwf), và bất hoạt hoạt tính phosphogluconat

dehydrogenaza (Gnd).

Trong số này, kiểu hoạt tính enzym của nhóm enzym phụ trợ được mô tả trong mục (3) nêu trên là được ưu tiên hơn từ quan điểm về khả năng sản xuất rượu isopropylic.

Nhóm enzym phụ trợ và kiểu hoạt tính enzym của nó không bị giới hạn ở Nhóm enzym phụ trợ và kiểu hoạt tính enzym đã được nêu ở trên. Bất kỳ nhóm enzym phụ trợ và kiểu hoạt tính enzym của nó mà bao gồm sự bất hoạt hoạt tính GntR, và nhờ nó lượng sản xuất rượu isopropylic trong *Escherichia coli* sản xuất rượu isopropylic có thể được làm tăng, đều nằm trong phạm vi của sáng chế. Nhóm enzym phụ trợ không nhất thiết được cấu thành bởi nhiều enzym, và có thể được cấu thành bởi một enzym.

GntR chỉ yêu tố phiên mã mà điều hòa âm tính operon có liên quan đến sự chuyển hóa gluconat thông qua tiến trình Entner-Doudoroff. GntR là tên chung của các gen kìm hãm phiên mã GntR có tác dụng kìm hãm chức năng của hai nhóm gen (GntI và GntII), mà chịu trách nhiệm cho sự hấp thu và chuyển hóa của axit gluconic.

Glucoza-6-phosphat isomerasa (Pgi) là tên chung của các enzym được phân loại dưới dạng số mã enzym: 5.3.1.9 dựa trên báo cáo của Enzyme Commission of International Union of Biochemistry (I.U.B.), và xúc tác phản ứng sản xuất D-fructoza-6-phosphat từ D-glucoza-6-phosphat.

Glucoza-6-phosphat-1-dehydrogenaza (Zwf) được phân loại dưới dạng số mã enzym: 1.1.1.49 dựa trên báo cáo của Enzyme Commission of International Union of Biochemistry (I.U.B.) và xúc tác phản ứng sản xuất D-glucono-1,5-lacton-6-phosphat từ D-glucoza-6-phosphat.

Ví dụ về glucoza-6-phosphat-1-dehydrogenaza bao gồm các glucoza-6-phosphat-1-dehydrogenaza có nguồn gốc từ vi khuẩn *Deinococcus* như *Deinococcus radiophilus*; nấm *Aspergillus* như *Aspergillus niger* hoặc *Aspergillus aculeatus*; vi khuẩn *Acetobacter* như *Acetobacter hansenii*; vi khuẩn *Thermotoga* như *Thermotoga maritima*; nấm *Cryptococcus* như *Cryptococcus neoformans*; nấm *Dictyostelium* như *Dictyostelium discoideum*; *Pseudomonas* như *Pseudomonas fluorescens* hoặc *Pseudomonas aeruginosa*; *Saccharomyces* như *Saccharomyces cerevisiae*; vi khuẩn *Bacillus* như *Bacillus megaterium*; hoặc vi khuẩn *Escherichia* như *Escherichia coli*.

Để làm gen mã hóa glucoza-6-phosphat-1-dehydrogenaza (Zwf), ADN có trình tự bazơ của gen mã hóa thiolaza thu được từ bất kỳ trong số các sinh vật có nguồn gốc enzym đã nêu ở trên, hoặc trình tự ADN tổng hợp mà được tổng hợp dựa trên trình tự bazơ đã biết

của gen này, có thể được sử dụng. Ví dụ được ưu tiên của nó bao gồm ADN có trình tự bazơ của gen có nguồn gốc từ vi khuẩn *Deinococcus* như *Deinococcus radiophilus*, nấm *Aspergillus* như *Aspergillus niger* hoặc *Aspergillus aculeatus*; vi khuẩn *Acetobacter* như *Acetobacter hansenii*, vi khuẩn *Thermotoga* như *Thermotoga maritima*, nấm *Cryptococcus* như *Cryptococcus neoformans*, nấm *Dictyostelium* như *Dictyostelium discoideum*, *Pseudomonas* như *Pseudomonas fluorescens* hoặc *Pseudomonas aeruginosa*, *Saccharomyces* như *Saccharomyces cerevisiae*, vi khuẩn *Bacillus* như *Bacillus megaterium*, hoặc vi khuẩn *Escherichia* như *Escherichia coli*. Ví dụ được ưu tiên hơn của nó bao gồm ADN có trình tự bazơ của gen có nguồn gốc từ sinh vật chưa có nhân diễn hình như vi khuẩn *Deinococcus*, nấm *Aspergillus*, vi khuẩn *Acetobacter*, vi khuẩn *Thermotoga*, *Pseudomonas*, vi khuẩn *Bacillus*, hoặc vi khuẩn *Escherichia*. ADN tốt hơn nữa là ADN có trình tự bazơ của gen có nguồn gốc từ *Escherichia coli*.

Phosphogluconat dehydrogenaza (Gnd) là tên chung của các enzym được phân loại dưới dạng số mã enzym: 1.1.1.44 dựa trên báo cáo của Enzyme Commission of International Union of Biochemistry (I.U.B.), và xúc tác phản ứng sản xuất D-ribuloza-5-phosphat và CO<sub>2</sub> từ 6-phospho-D-gluconat.

Mỗi trong số các hoạt tính của các enzym này theo sáng chế có thể là hoạt tính được đưa từ bên ngoài tế bào vào tế bào, hoặc hoạt tính thu được bởi sự biểu hiện quá mức của gen mã hóa enzym mà vi khuẩn chủ có trên hệ gen của nó thông qua sự tăng cường hoạt tính gen khởi đầu đối với gen mã hóa enzym hoặc sự thay thế gen khởi đầu bằng gen khởi đầu khác.

*Escherichia coli* có hoạt tính enzym được tăng cường theo sáng chế chỉ *Escherichia coli* trong đó hoạt tính enzym được tăng cường nhờ phương pháp nhất định. Loại *Escherichia coli* này có thể được tạo cấu trúc bằng cách đưa gen mã hóa enzym hoặc protein từ bên ngoài tế bào vào tế bào bằng cách sử dụng plasmid nhờ công nghệ tái tổ hợp gen như được mô tả ở trên; hoặc bằng cách biểu hiện quá mức gen mã hóa enzym mà vi khuẩn chủ có trên hệ gen của nó thông qua sự tăng cường hoạt tính gen khởi đầu đối với gen mã hóa enzym hoặc thay thế gen khởi đầu này bằng gen khởi đầu khác; hoặc sự kết hợp của các phương pháp này.

Gen khởi đầu của gen thích hợp cho *Escherichia coli* sản xuất rượu isopropylid có thể là gen khởi đầu bất kỳ có khả năng kiểm soát sự biểu hiện của bất kỳ trong số các gen đã được mô tả ở trên. Gen khởi đầu của gen tốt hơn là gen khởi đầu hiệu nghiệm mà hoạt động chủ yếu ở vi sinh vật, và không nhạy với sự kìm hãm biểu hiện ngay cả trong điều

kiện có mặt glucoza. Ví dụ cụ thể của nó bao gồm gen khởi đầu của glyxeraldehyt-3-phosphat dehydrogenaza (sau đây trong bản mô tả này đôi khi được gọi là "GAPDH") hoặc gen khởi đầu của serin hydroxymethyltransferaza.

Gen khởi đầu trong *Escherichia coli* sản xuất rượu isopropylic nghĩa là vùng mà ARN polymeraza có yếu tố sigma liên kết với để bắt đầu phiên mã. Ví dụ, gen khởi đầu GAPDH có nguồn gốc từ *Escherichia coli* được mô tả ở các Bazơ số 397 đến 440 trong thông tin trình tự bazơ của số nộp lưu ngân hàng gen X02662.

Trong *Escherichia coli* sản xuất rượu isopropylic, lactat dehydrogenaza (LdhA) có thể bị phá vỡ. Sự phá vỡ lactat dehydrogenaza kìm hãm sự sản xuất lactat ngay cả trong các điều kiện nuôi cấy trong đó sự cung cấp oxy bị giới hạn, kết quả là, rượu isopropylic có thể được sản xuất một cách hiệu quả. "Các điều kiện trong đó sự cung cấp oxy bị giới hạn" nhìn chung có nghĩa là các điều kiện: 0,02 vvm đến 2,0 vvm (vvm: thể tích thông khí [mL]/thể tích chất lỏng [mL]/thời gian [phút]) ở tốc độ khuấy từ 200 đến 600 vòng/phút, khi chỉ sử dụng không khí làm nguồn khí.

Lactat dehydrogenaza (LdhA) chỉ enzym sản xuất D-lactat và NAD từ pyruvat và NADH.

Vi sinh vật sản xuất axetyl-CoA để sản xuất axeton có thể là vi sinh vật chỉ có hoạt tính thiolaza, hoạt tính CoA transferaza, và hoạt tính axetoacetat decarboxylaza trong số các hoạt tính trong hệ thống sản xuất rượu isopropylic. Tức là, khi sản xuất axeton bằng cách sử dụng vi sinh vật sản xuất axetyl-CoA, vi sinh vật không có hoạt tính dehydrogenaza rượu isopropylic có thể được sử dụng.

Ví dụ khác về tiến trình để sản xuất chất chuyển hóa khác bằng cách sử dụng axetyl-CoA làm nguyên liệu thô bao gồm tiến trình sản xuất glutamat từ axetyl-CoA. Ví dụ được ưu tiên về vi sinh vật có tiến trình sản xuất chất chuyển hóa khác hoặc vi sinh vật mà hoạt tính enzym của nó có liên quan trong tiến trình sản xuất chất chuyển hóa khác được tăng cường bao gồm vi sinh vật thu được bằng cách truyền hoặc tăng cường, hoặc làm bất hoạt các hoạt tính enzym trong tiến trình đã được mô tả ở trên mà sản xuất glutamat từ axetyl-CoA hoặc làm giảm hoạt tính enzym mà úc chế sự sản xuất glutamat từ axetyl-CoA bằng cách sử dụng vi sinh vật có tiến trình sản xuất một cách hiệu quả glutamat (sau đây trong bản mô tả này đôi khi được gọi là "vi sinh vật sản xuất glutamat") hoặc bằng cách sử dụng vi sinh vật sản xuất glutamat làm vật chủ.

Ví dụ về vi sinh vật sản xuất glutamat bao gồm các vi sinh vật đã nêu ở trên có khả

năng sản xuất các L-axit amin.

Ví dụ cụ thể về vi sinh vật sản xuất glutamat bao gồm, nhưng không giới hạn ở, vi khuẩn *Enterobacteriaceae* như vi khuẩn *Escherichia* hoặc vi khuẩn *Pantoea*, và vi khuẩn coryneform như *Corynebacterium glutamicum*.

Vi sinh vật sản xuất glutamat có thể là vi sinh vật bất kỳ mà cho phép sự đưa vào hoặc cải biến gen để truyền khả năng sản xuất glutamat. Tốt hơn nữa nếu vi sinh vật sản xuất glutamat là vi khuẩn *Pantoea* hoặc vi khuẩn coryneform mà khả năng sản xuất glutamat đã được truyền trước đó cho vi khuẩn này. Bằng cách sử dụng loại vi sinh vật này, glutamat có thể được sản xuất một cách hiệu quả hơn.

Ví dụ về phương pháp truyền khả năng sản xuất glutamat cho vi sinh vật bao gồm cải biến vi sinh vật sao cho sự biểu hiện của gen mã hóa enzym có liên quan đến sự sinh tổng hợp L-glutamat được làm tăng và/hoặc được biểu hiện quá mức. Ví dụ về enzym có liên quan đến sự sinh tổng hợp L-glutamat bao gồm glutamat dehydrogenaza, glutamin synthetaza, glutamat synthaza, isoxitrat dehydrogenaza, aconitat hydrataza, xitrat synthaza, phosphoenolpyruvat carboxylaza, pyruvat carboxylaza, pyruvat dehydrogenaza, pyruvat kinaza, phosphoenolpyruvat synthaza, enolaza, phosphoglyceromutaza, phosphoglycerat kinaza, glyxeraldehyt-3-phosphat dehydrogenaza, triozaphosphat isomerasa, fructozabisphosphat aldolaza, phosphofructokinaza, và glucoza-phosphat isomerasa. Trong số các enzym này, tốt hơn là một hoặc nhiều trong số xitrat synthaza, phosphoenolpyruvat carboxylaza, và glutamat dehydrogenaza có hoạt tính được làm tăng, và tốt hơn nữa là cả ba enzym này đều có hoạt tính được tăng cường.

Ví dụ về vi sinh vật sản xuất glutamat bao gồm vi sinh vật sản xuất glutamat được mô tả trong đơn yêu cầu cấp patent Nhật Bản (JP-A) số 2005-278643.

Vi sinh vật sản xuất L-glutamat được sử dụng có thể là vi sinh vật có khả năng tích lũy L-glutamat với lượng vượt quá nồng độ bão hòa của L-glutamat trong môi trường lỏng khi vi sinh vật được nuôi cấy trong các điều kiện có tính axit (sau đây trong bản mô tả này được gọi là "Khả năng tích lũy L-glutamat trong các điều kiện có tính axit"). Ví dụ, biến thể có độ bền tăng đối với L-glutamat trong môi trường có độ pH thấp có thể thu được nhờ phương pháp được mô tả trong Patent châu Âu số 1078989, nhờ đó tạo ra khả năng tích lũy L-glutamat với lượng vượt quá nồng độ bão hòa.

Ví dụ cụ thể về vi sinh vật có khả năng tích lũy L-glutamat nội tại trong các điều kiện có tính axit bao gồm *Pantoea ananatis* AJ13356 (FERM BP-6615) và AJ13601 (FERM

BP-7207) (xem Patent châu Âu số 0952221). *Pantoea ananatis* AJ13356 được nộp lưu với National Institute of Bioscience and Human-Technology, Agency of Industrial Science and Technology, Ministry of International Trade and Industry (tên hiện nay: International Patent Organism Depository, National Institute of Technology and Evaluation (IPOD, NITE); địa chỉ: Tsukuba Central 6, 1-1-1 Higashi, Tsukuba, Ibaraki 305-8566, Japan) dưới số truy cập FERM P-16645 vào ngày 19 tháng 2 năm 1998, và sau đó được chuyển đến cơ quan nộp lưu quốc tế theo hiệp ước Budapest với số truy cập FERM BP-6615 vào ngày 11 tháng 1 năm 1999. Chủng này được nhận diện là *Enterobacter agglomerans* và được nộp lưu là *Enterobacter agglomerans* AJ13355 khi được phân lập lần đầu tiên, nhưng, theo phân tích trình tự bazơ gần đây đối với 16S rARN và dạng tương tự, chủng này được phân loại là *Pantoea ananatis* (xem phần các Ví dụ dưới đây. Tương tự, AJ13356 và AJ13601 đều dưới đây tạo ra từ AJ13355 được nộp lưu ở cơ quan nộp lưu đều trên là *Enterobacter agglomerans*, nhưng các chủng này được mô tả là *Pantoea ananatis* trong bản mô tả này. AJ13601 được nộp lưu với National Institute of Bioscience and Human-Technology, Agency of Industrial Science and Technology, Ministry of International Trade and Industry (tên hiện nay: International Patent Organism Depository, National Institute of Technology and Evaluation (IPOD, NITE) dưới số truy cập FERM P-17156 vào ngày 18 tháng 8 năm 1999, và sau đó được chuyển đến cơ quan nộp lưu quốc tế theo hiệp ước Budapest với số truy cập FERM BP-7207 vào ngày 6 tháng 7 năm 2000.

Ví dụ khác về phương pháp truyền hoặc tăng cường khả năng sản xuất L-glutamat bao gồm phương pháp truyền độ bền đối với chất tương tự axit hữu cơ hoặc chất ức chế hô hấp, và phương pháp truyền độ nhạy đối với chất ức chế sự tổng hợp thành tế bào. Ví dụ cụ thể về phương pháp bao gồm truyền độ bền đối với axit monofloaxetic (JP-A số S50-113209), truyền độ bền đối với adenin hoặc độ bền đối với thymin (JP-A số S57-065198), làm yếu ureaza (JP-A số S52-038088), truyền độ bền đối với axit malonic (JP-A số S52-038088), truyền độ bền đối với benzopyron hoặc naphthoquinon (JP-A số S56-001889), truyền độ bền đối với HOQNO (JP-A số S56-140895 A), truyền độ bền đối với axit  $\alpha$ -ketomalonic (JP-A số S57-002689 A), truyền độ bền đối với guanidin (JP-A số S56-035981), và phương pháp truyền độ bền đối với penixilin (JP-A số H04-088994).

Ví dụ cụ thể về vi sinh vật có tính bền bao gồm các chủng sau.

·*Brevibacterium flavum* AJ3949 (FERM BP-2632; xem JP-A số S50-113209)

·*Corynebacterium glutamicum* AJ11628 (FERM P-5736; xem JP-A số S57-065198)

- *Brevibacterium flavum* AJ11355 (FERM P-5007; xem JP-A số S56-001889)
- *Corynebacterium glutamicum* AJ11368 (FERM P-5020; xem JP-A S56-001889)
- *Brevibacterium flavum* AJ11217 (FERM P-4318; xem JP-A số S57-002689)
- *Corynebacterium glutamicum* AJ11218 (FERM P-4319; xem JP-A số S57-002689)
- *Brevibacterium flavum* AJ11564 (FERM P-5472; xem JP-A số S56-140895)
- *Brevibacterium flavum* AJ11439 (FERM P-5136; xem JP-A số S56-035981)
- *Corynebacterium glutamicum* H7684 (FERM BP-3004; xem JP-A số H04-088994)
- *Brevibacterium lactofermentum* AJ11426 (FERM P-5123; xem JP-A số S56-048890)
- *Corynebacterium glutamicum* AJ11440 (FERM P-5137; xem JP-A số S56-048890)
- *Brevibacterium lactofermentum* AJ11796 (FERM P-6402; xem JP-A số S58-158192)

Ví dụ được ưu tiên về vi sinh vật có khả năng sản xuất L-glutamin bao gồm vi sinh vật trong đó hoạt tính glutamat dehydrogenaza được tăng cường, vi sinh vật trong đó hoạt tính glutamin synthetaza (glnA) được tăng cường, và vi sinh vật trong đó gen mã hóa glutaminaza bị phá vỡ (Patent châu Âu số 1229121 và 1424398). Việc tăng cường hoạt tính glutamin synthetaza cũng có thể đạt được bằng cách phá vỡ glutamin adenylyl transferaza (glnE) hoặc phá vỡ protein điều hòa PII (glnB). Ví dụ được ưu tiên khác về vi sinh vật sản xuất L-glutamin bao gồm biến thể thuộc giống *Escherichia*, và biến thể chứa glutamin synthetaza đột biến trong đó gốc tyrosin ở vị trí 397 trong glutamin synthetaza được thay thế bằng gốc axit amin khác (Đơn yêu cầu cấp patent Mỹ đã được công bố số 2003-0148474).

Phương pháp khác để truyền hoặc tăng cường khả năng sản xuất L-glutamin bao gồm truyền độ bền đối với 6-diazo-5-oxo-norleuxin (JP-A số H03-232497), truyền độ bền đối với chất tương tự purin và độ bền đối với methionin sulfoxit (JP-A số S61-202694), và truyền độ bền đối với axit α-ketomaleic (JP-A số S56-151495). Ví dụ cụ thể về vi khuẩn coryneform có khả năng sản xuất L-glutamin bao gồm các vi sinh vật sau.

- *Brevibacterium flavum* AJ11573 (FERM P-5492; JP-A số S56-161495)
- *Brevibacterium flavum* AJ11576 (FERM BP-10381; JP-A số S56-161495)
- *Brevibacterium flavum* AJ12212 (FERM P-8123; JP-A số S61-202694)

Ví dụ được ưu tiên về các vi sinh vật sản xuất prolin, leuxin, isoleuxin, valin, arginin, xitruulin, ornithin, và/hoặc axit polyglutamic bao gồm vi sinh vật được mô tả trong JP-A số 2010-41920. Vi sinh vật sản xuất axit axetic, axit (poly)3-hydroxybutyric, axit itaconic, axit xitic, và/hoặc axit butyric được mô tả trong Fermentation Handbook (Kyoritsu Shuppan Co., Ltd.).

Ví dụ về các vi sinh vật sản xuất axit 4-aminobutyric bao gồm vi sinh vật trong đó glutamat decarboxylaza được đưa vào vi sinh vật sản xuất glutamat, như các vi sinh vật được mô tả trong JP-A số 2011-167097.

Ví dụ về các vi sinh vật sản xuất axit 4-hydroxybutyric bao gồm vi sinh vật trong đó glutamat decarboxylaza, transaminaza, và/hoặc aldehyt dehydrogenaza được đưa vào vi sinh vật sản xuất glutamat, như các vi sinh vật được mô tả trong JP-A số 2009-171960.

Ví dụ về các vi sinh vật sản xuất axit 3-hydroxyisobutyric bao gồm vi sinh vật mà tiến trình mô tả trong WO 2009/135074 hoặc WO 2008/145737 được đưa vào đó.

Ví dụ về các vi sinh vật sản xuất axit 2-hydroxyisobutyric bao gồm vi sinh vật mà tiến trình mô tả trong WO 2009/135074 hoặc WO 2009/156214 được đưa vào đó.

Ví dụ về các vi sinh vật sản xuất axit 3-aminoisobutyric hoặc axit metacrylic bao gồm vi sinh vật mà tiến trình mô tả trong WO 2009/135074 được đưa vào đó.

Vi sinh vật theo sáng chế là vi sinh vật được tạo cấu trúc để có chu trình sản xuất axetyl-CoA của Fig. 1. bằng cách truyền ít nhất cả hai enzym malat thiokinaza và malyl-CoA lyaza. Do đó, vi sinh vật vốn có malat thiokinaza và malyl-CoA lyaza không được bao gồm trong vi sinh vật sản xuất axetyl-CoA theo sáng chế.

Ví dụ về vi sinh vật vốn có Mtk và mcl bao gồm vi sinh vật methanotrophic như *Methylobacterium extorquens*. Vì hệ vectơ thích hợp cho vi sinh vật methanotrophic hoặc các kỹ thuật để cải biến các gen trong hệ gen của vi sinh vật methanotrophic đã không được phát triển, nên thao tác di truyền đối với các vi sinh vật là khó khăn hơn so với vi sinh vật công nghiệp như *Escherichia coli* và *Corynebacterium*. Ngoài ra, các vi sinh vật này sinh trưởng chậm trong nhiều trường hợp và do đó không thích hợp để sản xuất các chất chuyển hóa hữu dụng.

Phương pháp sản xuất axetyl-CoA, axeton, rượu isopropyllic, hoặc glutamat theo sáng chế bao gồm sản xuất axetyl-CoA, axeton, rượu isopropyllic, hoặc glutamat dưới dạng sản phẩm quan tâm từ nguyên liệu nguồn cacbon sử dụng vi sinh vật sản xuất axetyl-CoA

đã được mô tả ở trên. Tức là, phương pháp sản xuất axetyl-CoA bao gồm: nuôi cấy vi sinh vật sản xuất axetyl-CoA ở trạng thái trong đó vi sinh vật sản xuất axetyl-CoA tiếp xúc với nguyên liệu nguồn cacbon (sau đây trong bản mô tả này, được gọi là quy trình nuôi cấy), và thu gom sản phẩm quan tâm (axetyl-CoA, axeton, rượu isopropyllic, hoặc glutamat) thu được sau khi tiếp xúc (sau đây trong bản mô tả này, được gọi là quy trình thu gom).

Theo phương pháp sản xuất axetyl-CoA, vì vi sinh vật sản xuất axetyl-CoA được nuôi cấy ở trạng thái trong đó vi sinh vật sản xuất axetyl-CoA tiếp xúc với nguyên liệu nguồn cacbon, nên nguyên liệu nguồn cacbon này được đồng hóa bởi vi sinh vật sản xuất axetyl-CoA, và sản phẩm quan tâm có thể được sản xuất một cách hiệu quả trong khi cacbon dioxit được cố định.

Nguyên liệu nguồn cacbon không bị giới hạn miễn là nguyên liệu này chứa nguồn cacbon có thể được đồng hóa bởi vi sinh vật, và nguyên liệu này tốt hơn là nguyên liệu thô có nguồn gốc từ thực vật.

Theo sáng chế, nguyên liệu thô có nguồn gốc từ thực vật chỉ các cơ quan như rễ, thân, thân cây, cành, lá, hoa, và hạt; phần chính của cây chứa các cơ quan này; và sản phẩm phân hủy của các cơ quan của cây, và còn bao gồm các nguồn cacbon mà có thể được sử dụng làm nguồn cacbon bởi vi sinh vật trong quá trình nuôi cấy trong số các nguồn cacbon thu được từ phần chính của cây, cơ quan của cây và sản phẩm phân hủy của nó.

Ví dụ phổ biến về các nguồn cacbon trong nguyên liệu thô có nguồn gốc từ thực vật bao gồm đường như tinh bột, sucroza, glucoza, fructoza, xyloza, và arabinosa; sản phẩm phân hủy thực vật dạng thảo mộc và có chất gỗ hoặc chất thủy phân xenluloza, mỗi trong số này chứa các thành phần nêu trên với lượng lớn; và tổ hợp của chúng. Nguồn cacbon theo sáng chế có thể còn bao gồm glyxerin và axit béo có nguồn gốc từ dầu thực vật.

Ví dụ được ưu tiên về nguyên liệu thô có nguồn gốc từ thực vật bao gồm các cây trồng nông nghiệp như ngũ cốc, ngô, lúa, lúa mì, đậu tương, mía, củ cải đường, cây bông, và các cây tương tự, và tổ hợp của chúng. Dạng của nó để làm nguyên liệu thô không bị giới hạn một cách cụ thể, và có thể là sản phẩm thô, nước ép, sản phẩm được ép, hoặc các sản phẩm tương tự. Theo cách khác, nguyên liệu thô có nguồn gốc từ thực vật có thể ở dạng mà chỉ gồm nguồn cacbon đã được mô tả ở trên.

Trong quy trình nuôi cấy, sự tiếp xúc giữa vi sinh vật sản xuất axetyl-CoA và nguyên liệu thô có nguồn gốc từ thực vật nhìn chung được tạo ra bằng cách nuôi cấy vi sinh vật sản xuất axetyl-CoA trong môi trường nuôi cấy chứa nguyên liệu thô có nguồn gốc từ thực vật.

Mật độ tiếp xúc giữa nguyên liệu thô có nguồn gốc từ thực vật và vi sinh vật sản xuất axetyl-CoA có thể thay đổi tùy thuộc vào hoạt tính của vi sinh vật sản xuất axetyl-CoA. Nhìn chung, nồng độ của nguyên liệu thô có nguồn gốc từ thực vật trong môi trường nuôi cấy có thể là nồng độ sao cho nồng độ đường ban đầu ở dạng glucoza có thể được điều chỉnh bằng 20% theo khối lượng hoặc thấp hơn so với tổng khối lượng của hỗn hợp. Từ quan điểm về độ dung nạp đường của vi sinh vật sản xuất axetyl-CoA, nồng độ đường ban đầu tốt hơn nếu được điều chỉnh bằng 15% theo khối lượng hoặc thấp hơn. Các thành phần khác có thể được bổ sung với các lượng bổ sung thông thường đối với môi trường nuôi cấy vi sinh vật, mà không bị giới hạn một cách cụ thể.

Hàm lượng của vi sinh vật sản xuất axetyl-CoA trong môi trường nuôi cấy có thể thay đổi theo loại và hoạt tính của vi sinh vật, và lượng chất lỏng vi khuẩn tiền nuôi cấy (OD 660nm=4 đến 8) được bổ sung khi bắt đầu nuôi cấy nhìn chung có thể được điều chỉnh nằm trong khoảng từ 0,1% theo khối lượng đến 30% theo khối lượng so với chất lỏng nuôi cấy, và tốt hơn nếu được điều chỉnh nằm trong khoảng từ 1% theo khối lượng đến 10% theo khối lượng so với chất lỏng nuôi cấy từ quan điểm kiểm soát điều kiện nuôi cấy.

Môi trường được sử dụng để nuôi cấy vi sinh vật sản xuất axetyl-CoA có thể là môi trường nuôi cấy bất kỳ thường được sử dụng mà bao gồm nguồn cacbon, nguồn nitơ, và ion vô cơ, và ngoài ra còn bao gồm yếu tố vết vô cơ, axit nucleic, và vitamin, v.v., cần thiết cho vi sinh vật để sản xuất sản phẩm quan tâm, mà không bị giới hạn một cách cụ thể.

Điều kiện nuôi cấy cho quy trình nuôi cấy không bị giới hạn một cách cụ thể, và nuôi cấy có thể được thực hiện, ví dụ, trong các điều kiện ưa khí ở độ pH và nhiệt độ được kiểm soát một cách thích hợp trong khoảng pH từ 4 đến 9, tốt hơn là pH từ 6 đến 8, và trong khoảng nhiệt độ từ 20°C đến 50°C, tốt hơn là từ 25°C đến 42°C.

Thể tích thông khí của khí vào hỗn hợp đã được mô tả ở trên không bị giới hạn một cách cụ thể. Khi chỉ sử dụng không khí làm nguồn khí, thể tích thông khí nhìn chung nằm trong khoảng từ 0,02 vvm đến 2,0 vvm (vvm: thể tích thông khí [mL]/thể tích chất lỏng [mL]/thời gian [phút]) ở tốc độ nằm trong khoảng từ 50 đến 600 vòng/phút. Từ quan điểm kìm hãm tổn hại vật lý đối với *Escherichia coli*, tiến hành thông khí tốt hơn là ở thể tích thông khí nằm trong khoảng từ 0,1 vvm đến 2,0 vvm, tốt hơn nữa là nằm trong khoảng từ 0,1 vvm đến 1,0 vvm.

Quy trình nuôi cấy có thể được tiếp tục từ lúc bắt đầu nuôi cấy cho đến khi nguyên liệu nguồn cacbon trong hỗn hợp bị cạn kiệt, hoặc cho đến khi hoạt tính của vi sinh vật sản

xuất axetyl-CoA biến mất. Khoảng thời gian của quy trình nuôi cấy có thể thay đổi theo số lượng và hoạt tính của vi sinh vật sản xuất axetyl-CoA trong hỗn hợp và lượng của nguyên liệu nguồn cacbon. Nhìn chung, khoảng thời gian này có thể là ít nhất một giờ, và tốt hơn là ít nhất bốn giờ. Khoảng thời gian của quy trình nuôi cấy có thể được tiếp tục một cách không giới hạn nhờ bổ sung mới nguyên liệu nguồn cacbon hoặc vi sinh vật sản xuất axetyl-CoA. Tuy nhiên, từ quan điểm về hiệu quả của quy trình, khoảng thời gian này nhìn chung có thể được điều chỉnh bằng 5 ngày hoặc ít hơn, tốt hơn là bằng 72 giờ hoặc ít hơn. Đối với các điều kiện khác, các điều kiện được sử dụng để nuôi cấy thông thường có thể được áp dụng.

Các phương pháp thu gom sản phẩm quan tâm tích lũy trong môi trường nuôi cấy không bị giới hạn một cách cụ thể. Ví dụ, có thể sử dụng phương pháp bao gồm loại bỏ tế bào vi sinh vật khỏi môi trường nuôi cấy, ví dụ, bằng cách phân tách bằng ly tâm, và sau đó tách sản phẩm quan tâm sử dụng phương pháp phân tách thông thường như chưng cất hoặc phân tách màng trong các điều kiện thích hợp cho loại sản phẩm quan tâm.

Phương pháp sản xuất axetyl-CoA theo sáng chế có thể còn bao gồm, trước quy trình nuôi cấy, quy trình tiền nuôi cấy để đạt được số lượng tế bào thích hợp và/hoặc trạng thái hoạt hóa thích hợp của vi sinh vật sản xuất axetyl-CoA được sử dụng. Quy trình tiền nuôi cấy có thể là sự nuôi cấy bất kỳ được tiến hành trong các điều kiện thường được sử dụng thích hợp cho loại vi sinh vật sản xuất axetyl-CoA.

Vi sinh vật sản xuất axetyl-CoA sử dụng trong phương pháp sản xuất axeton tốt hơn là vi sinh vật sản xuất axetyl-CoA có hoạt tính thiolaza, hoạt tính CoA transferaza, và hoạt tính axetoaxetat decarboxylaza, đã được mô tả ở trên là khía cạnh được ưu tiên của vi sinh vật sản xuất axetyl-CoA, từ quan điểm về hiệu quả sản xuất axeton.

Vi sinh vật sản xuất axetyl-CoA được sử dụng trong phương pháp sản xuất rượu isopropylic tốt hơn là vi sinh vật sản xuất axetyl-CoA có hoạt tính thiolaza, hoạt tính CoA transferaza, hoạt tính axetoaxetat decarboxylaza, và hoạt tính dehydrogenaza rượu isopropylic, đã được mô tả ở trên là khía cạnh được ưu tiên của vi sinh vật sản xuất axetyl-CoA, từ quan điểm về hiệu quả sản xuất rượu isopropylic.

Phương pháp sản xuất rượu isopropylic hoặc phương pháp sản xuất axeton tốt hơn là bao gồm quy trình nuôi cấy trong đó vi sinh vật sản xuất axetyl-CoA được nuôi cấy trong khí khí được cung cấp vào hỗn hợp chứa vi sinh vật sản xuất axetyl-CoA và nguyên liệu nguồn cacbon; và quy trình thu gom để thu gom sản phẩm quan tâm, trong đó rượu

isopropyllic hoặc axeton được sản xuất nhờ quy trình nuôi cấy này được tách và được thu gom từ hỗn hợp này.

Theo phương pháp sản xuất rượu isopropyllic hoặc phương pháp sản xuất axeton, vi sinh vật sản xuất axetyl-CoA được nuôi cấy trong khi khí được cung cấp vào hỗn hợp (nuôi cấy thông khí). Trong nuôi cấy thông khí này, rượu isopropyllic được sản xuất hoặc axeton được sản xuất được giải phóng vào hỗn hợp, và được làm bay hơi khỏi hỗn hợp. Kết quả là, rượu isopropyllic được sản xuất hoặc axeton được sản xuất có thể được tách một cách dễ dàng khỏi hỗn hợp. Ngoài ra, vì rượu isopropyllic được sản xuất hoặc axeton được sản xuất được tách liên tục khỏi hỗn hợp, nên sự tăng nồng độ của rượu isopropyllic hoặc axeton trong hỗn hợp có thể được kìm hãm. Do đó, có thể không cần thiết đặc biệt tập trung vào độ dung nạp của vi sinh vật sản xuất axetyl-CoA đối với rượu isopropyllic hoặc axeton.

Hỗn hợp trong phương pháp này có thể chủ yếu bao gồm môi trường cơ bản nhìn chung thường được sử dụng trong nuôi cấy vi sinh vật chủ. Đối với điều kiện nuôi cấy, các điều kiện nuôi cấy đã được mô tả ở trên sẽ được áp dụng.

Trong quy trình thu gom, rượu isopropyllic hoặc axeton được sản xuất trong quy trình nuôi cấy và được tách khỏi hỗn hợp được thu gom. Phương pháp thu gom có thể là phương pháp bất kỳ có khả năng thu gom rượu isopropyllic hoặc axeton ở trạng thái khí hoặc giọt nhỏ được làm bay hơi khỏi hỗn hợp bởi sự nuôi cấy thông thường. Ví dụ về phương pháp thu gom bao gồm phương pháp thu gom vào bộ phận thu gom như đồ chứa kín khí thường được sử dụng. Cụ thể, phương pháp này tốt hơn là bao gồm cho dung dịch thu hồi để thu hồi rượu isopropyllic hoặc axeton tiếp xúc với rượu isopropyllic hoặc axeton được tách khỏi hỗn hợp, từ quan điểm về việc chỉ thu gom rượu isopropyllic hoặc axeton với độ tinh khiết cao.

Trong phương pháp sản xuất rượu isopropyllic hoặc phương pháp sản xuất axeton, rượu isopropyllic hoặc axeton có thể được thu gom ở trạng thái trong đó rượu isopropyllic hoặc axeton được hòa tan trong dung dịch thu hồi hoặc hỗn hợp. Ví dụ về phương pháp thu gom bao gồm phương pháp được mô tả trong WO 2009/008377. Rượu isopropyllic hoặc axeton được thu gom có thể được xác nhận bằng cách sử dụng biện pháp phát hiện thông thường như HPLC. Rượu isopropyllic được thu gom có thể được tinh chế tiếp, nếu cần. Ví dụ về phương pháp tinh chế bao gồm chưng cất, v.v..

Trong trường hợp trong đó rượu isopropyllic hoặc axeton được thu gom là ở trạng thái dung dịch gốc nước, thì phương pháp sản xuất rượu isopropyllic hoặc phương pháp sản

xuất axeton có thể còn bao gồm quy trình loại nước ngoài quy trình thu gom. Việc loại nước của rượu isopropyllic hoặc axeton có thể được tiến hành bởi phương pháp thông thường.

Ví dụ về thiết bị thích hợp cho phương pháp sản xuất rượu isopropyllic hoặc axeton trong đó rượu isopropyllic hoặc axeton có thể được thu gom ở trạng thái được hòa tan trong dung dịch thu hồi hoặc hỗn hợp bao gồm thiết bị sản xuất được thể hiện trên Fig. 1 của WO 2009/008377.

Trong thiết bị sản xuất này, đường ống bơm để bơm khí từ bên ngoài thiết bị được nối với thùng nuôi cây chứa môi trường nuôi cây bao gồm vi sinh vật được sử dụng và nguyên liệu thô có nguồn gốc từ thực vật, nhờ đó có thể thông khí cho môi trường nuôi cây.

Thùng thu hồi chứa dung dịch thu hồi dưới dạng chất lỏng thu hồi được nối với thùng nuôi cây thông qua ống nối. Khí hoặc chất lỏng mà đã chuyển đến thùng thu hồi tiếp xúc với dung dịch thu hồi, và xuất hiện sự sủi bọt.

Kết quả là, rượu isopropyllic hoặc axeton, mà đã được sản xuất trong thùng nuôi cây bằng cách nuôi cây trong điều kiện thông khí, được làm bay hơi do sự thông khí, và, do đó, được tách một cách dễ dàng khỏi môi trường nuôi cây, và được thu hồi trong dung dịch thu hồi trong thùng thu hồi. Kết quả là, rượu isopropyllic hoặc axeton có thể được sản xuất ở trạng thái tinh khiết hơn theo cách đơn giản và liên tục.

Phương pháp sản xuất glutamat theo sáng chế bao gồm sản xuất glutamat làm sản phẩm quan tâm từ nguyên liệu nguồn cacbon sử dụng vi sinh vật sản xuất axetyl-CoA đã được mô tả ở trên. Cụ thể, phương pháp sản xuất glutamat bao gồm nuôi cây vi sinh vật sản xuất axetyl-CoA ở trạng thái trong đó vi sinh vật sản xuất axetyl-CoA tiếp xúc với nguyên liệu nguồn cacbon (sau đây trong bản mô tả này, được gọi là quy trình nuôi cây), và thu gom sản phẩm quan tâm (glutamat) thu được sau khi tiếp xúc (sau đây trong bản mô tả này, được gọi là quy trình thu gom).

Theo phương pháp sản xuất glutamat, vì vi sinh vật sản xuất axetyl-CoA được nuôi cây ở trạng thái trong đó vi sinh vật sản xuất axetyl-CoA tiếp xúc với nguyên liệu nguồn cacbon, nguyên liệu nguồn cacbon này được đồng hóa bởi vi sinh vật sản xuất axetyl-CoA, và sản phẩm quan tâm có thể được sản xuất một cách hiệu quả trong khi cacbon dioxit được cố định.

Môi trường nuôi cây được sử dụng để nuôi cây có thể là môi trường nuôi cây bất kỳ thường được sử dụng bao gồm nguồn cacbon, nguồn nitơ, và muối vô cơ; và chất dinh dưỡng vết hữu cơ như axit amin hoặc vitamin khi cần. Môi trường nuôi cây tổng hợp hoặc

môi trường nuôi cấy tự nhiên có thể được sử dụng. Nguồn cacbon và nguồn nitơ được sử dụng trong môi trường nuôi cấy có thể thuộc loại bất kỳ mà có thể được sử dụng bởi vi sinh vật được nuôi cấy.

Ví dụ về nguyên liệu nguồn cacbon có thể được sử dụng bao gồm đường như glucoza, glycerol, fructoza, sucroza, maltoza, manzoza, galactoza, dịch thủy phân tinh bột, và rỉ đường; và các axit hữu cơ như axit axetic hoặc axit xitic, và rượu như etanol có thể được sử dụng riêng rẽ hoặc kết hợp với các nguồn cacbon khác.

Ví dụ về nguồn nitơ có thể được sử dụng bao gồm amoniac, các muối amoni như amoni sulfat, amoni cacbonat, amoni clorua, amoni phosphat, hoặc amoni axetat, và muối của axit nitric.

Ví dụ về chất vi dinh dưỡng hữu cơ có thể được sử dụng bao gồm các axit amin, vitamin, axit béo, và axit nucleic; và pepton, casamino axit, chất chiết nấm men, và dịch thủy phân protein đậu tương, mỗi trong số này chứa các thành phần nêu trên. Trong trường hợp trong đó sử dụng thê đột biến khuyết dưỡng mà đòi hỏi axit amin và các chất tương tự cho sự sinh trưởng, tốt hơn là cung cấp chất dinh dưỡng được yêu cầu.

Ví dụ về muối vô cơ có thể được sử dụng bao gồm muối của axit phosphoric, muối magie, muối canxi, muối sắt, và muối mangan.

Việc nuôi cấy tốt hơn là được tiến hành ở nhiệt độ lên men nằm trong khoảng từ 20°C đến 45°C ở độ pH nằm trong khoảng 3 đến 9 trong điều kiện thông khí. Để điều chỉnh độ pH, chất vô cơ hoặc hữu cơ, axit hoặc kiềm, khí amoniac, v.v. có thể được sử dụng. L-axit amin được tích lũy trong môi trường nuôi cấy hoặc trong tế bào bởi sự nuôi cấy vi sinh vật tốt hơn là trong 10 giờ đến 120 giờ trong các điều kiện này.

Trong trường hợp trong đó L-axit amin quan tâm là L-glutamat, việc nuôi cấy có thể được thực hiện sao cho L-glutamat sản xuất được được kết tủa và được tích lũy trong môi trường nuôi cấy, bằng cách sử dụng môi trường lỏng mà các điều kiện của nó được điều chỉnh để làm kết tủa L-glutamat. Ví dụ, các điều kiện để làm kết tủa L-glutamat có thể là độ pH nằm trong khoảng từ 5,0 đến 4,0, tốt hơn là độ pH nằm trong khoảng từ 4,5 đến 4,0, tốt hơn nữa là độ pH nằm trong khoảng từ 4,3 đến 4,0, tốt hơn nữa là độ pH bằng 4,0. Để đạt được cả sự sinh trưởng tăng trong các điều kiện có tính axit và sự kết tủa hiệu quả của L-glutamat, độ pH tốt hơn là từ 5,0 đến 4,0, tốt hơn nữa là từ 4,5 đến 4,0, tốt hơn nữa là từ 4,3 đến 4,0. Việc nuôi cấy ở độ pH đã được mô tả ở trên có thể được thực hiện trong toàn bộ thời gian nuôi cấy hoặc trong một phần của khoảng thời gian nuôi cấy.

L-axit amin có thể được thu gom từ chất lỏng nuôi cấy sau khi kết thúc nuôi cấy theo phương pháp thu gom đã biết. Ví dụ, việc thu gom có thể được thực hiện bởi phương pháp trong đó sự kết tinh theo nồng độ được tiến hành sau khi loại bỏ tế bào vi khuẩn khỏi môi trường nuôi cấy, hoặc bởi sắc ký trao đổi ion. Trong trường hợp trong đó việc nuôi cấy được tiến hành trong các điều kiện mà cho phép sự kết tủa của L-glutamat trong môi trường nuôi cấy, L-glutamat được kết tủa vào môi trường nuôi cấy có thể được thu gom bằng cách phân tách bằng ly tâm, lọc, hoặc các phương pháp tương tự. Trong các trường hợp này, L-glutamat vẫn còn được hòa tan trong môi trường nuôi cấy có thể được kết tinh, và L-glutamat đã được kết tinh có thể được phân tách cùng nhau.

Ví dụ về phương pháp sản xuất prolin, leuxin, isoleuxin, valin, arginin, xitrulin, ornithin, axit axetic, axit (poly)3-hydroxybutyric, axit itaconic, axit xitic, axit butyric, hoặc axit polyglutamic bao gồm các phương pháp được mô tả trong Fermentation Handbook (Kyoritsu Shuppan Co., Ltd.).

Ví dụ về phương pháp sản xuất axit 4-aminobutyric bao gồm phương pháp sản xuất sử dụng vi sinh vật thu được bằng cách đưa glutamat decarboxylaza vào vi sinh vật sản xuất glutamat, và được mô tả, ví dụ, JP-A số 2011-167097.

Ví dụ về phương pháp sản xuất axit 4-hydroxybutyric bao gồm phương pháp sản xuất sử dụng vi sinh vật thu được bằng cách đưa glutamat decarboxylaza, aminotransferaza, và aldehyt dehydrogenaza vào vi sinh vật sản xuất glutamat, và được mô tả trong, ví dụ, JP-A số 2009-171960.

Ví dụ về phương pháp sản xuất axit 3-hydroxyisobutyric bao gồm phương pháp sản xuất sử dụng vi sinh vật mà tiến trình mô tả trong, ví dụ, WO 2009/135074 hoặc WO 2008/145737 được đưa vào vi sinh vật này.

Ví dụ về phương pháp sản xuất axit 2-hydroxyisobutyric bao gồm phương pháp sản xuất sử dụng vi sinh vật mà tiến trình mô tả trong, ví dụ, WO 2009/135074 hoặc WO 2009/156214 được đưa vào vi sinh vật này.

Ví dụ về phương pháp sản xuất axit 3-aminoisobutyric hoặc axit metacrylic bao gồm phương pháp sản xuất sử dụng vi sinh vật mà tiến trình mô tả trong, ví dụ, WO 2009/135074 được đưa vào vi sinh vật này.

### **Ví dụ thực hiện sáng chế**

Dưới đây trong bản mô tả này, các ví dụ về sáng chế được mô tả chi tiết. Tuy nhiên,

sáng chế không bị giới hạn ở các ví dụ này.

#### Ví dụ 1

Chuẩn bị biến thể *Escherichia coli* B, được tăng cường hệ gen atoD

Toàn bộ trình tự của ADN hệ gen của *Escherichia coli* MG1655 đã được biết (Số nộp lưu ngân hàng gen U00096), và trình tự bazơ của gen mã hóa cấu trúc siêu phân tử CoA transferaza α (sau đây trong bản mô tả này đôi khi được viết tắt là "atoD") của *Escherichia coli* MG1655 cũng đã được báo cáo. Tức là, atoD được mô tả trong 2321469 đến 2322131 của trình tự hệ gen của *Escherichia coli* MG1655, mà được mô tả dưới số nộp lưu ngân hàng gen U00096.

Để làm trình tự bazơ của gen khởi đầu cần thiết để biểu hiện gen đã được mô tả ở trên, có thể sử dụng trình tự gen khởi đầu của glyxeraldehyt-3-phosphat dehydrogenaza (sau đây trong bản mô tả này đôi khi được gọi là "GAPDH") có nguồn gốc từ *Escherichia coli*, mà được mô tả trong 397 đến 440 trong thông tin trình tự bazơ với số nộp lưu ngân hàng gen X02662. Để thu được gen khởi đầu GAPDH, tiến hành khuếch đại bằng phương pháp PCR bằng cách sử dụng ADN hệ gen của *Escherichia coli* MG1655 làm khuôn và sử dụng CGCTCAATTGCAATGATTGACACGATTCCG (SEQ ID NO: 1) và ACAGAATTGCTATTGTTAGTGAATAAAAGG (SEQ ID NO: 2) làm các đoạn mồi và mảnh ADN thu được được tiêu hóa bằng các enzym giới hạn *MfeI* và *EcoRI*, nhờ đó thu được mảnh ADN khoảng 100 bp mã hóa gen khởi đầu GAPDH. Trộn mảnh ADN thu được và mảnh thu được bằng cách tiêu hóa plasmit pUC19 (Số nộp lưu ngân hàng gen X02514) bằng enzym giới hạn *EcoRI* sau đó là xử lý bằng phosphataza kiềm, và các mảnh đã trộn được nối bằng cách sử dụng ligaza. Sau đó, các tế bào khả biến *Escherichia coli* DH5α (DNA-903, do Toyobo Co., Ltd. sản xuất) được biến nạp với sản phẩm nối, và thu các thế biến nạp sinh trưởng trên đĩa thạch LB chứa 50 µg/mL ampicilin. 10 khuẩn lạc thu được được nuôi cấy riêng rẽ ở nhiệt độ 37°C qua đêm trong môi trường lỏng LB chứa 50 µg/mL ampicilin, và các plasmit được thu hồi, và chọn các plasmit từ đó gen khởi đầu GAPDH không được cắt ra khi được tiêu hóa bằng các enzym giới hạn *EcoRI* và *KpnI*. Ngoài ra, trình tự ADN của nó được kiểm tra, và plasmit trong đó gen khởi đầu GAPDH được cài xen một cách thích hợp được đặt tên là pGAP. pGAP thu được được tiêu hóa bằng các enzym giới hạn *EcoRI* và *KpnI*.

Ngoài ra, để thu được atoD, tiến hành khuếch đại bằng phương pháp PCR bằng cách sử dụng ADN hệ gen của *Escherichia coli* MG1655 làm khuôn và sử dụng

CGAATTCTGGTGGAACATATGAAAACAAAATTGATGACATTACAAGA C (SEQ ID NO: 3) và GCGGTACCTTATTGCTCTCCTGTGAAACG (SEQ ID NO: 4)

làm các đoạn mồi, và mảnh ADN thu được được tiêu hóa bằng các enzym giới hạn *EcoRI* và *KpnI*, nhờ đó thu được mảnh *atoD* khoảng 690 bp. Mảnh ADN này được trộn với pGAP mà trước đây đã được tiêu hóa bằng các enzym giới hạn *EcoRI* và *KpnI*. Các mảnh đã trộn được nối bằng cách sử dụng ligaza. Sau đó, các tế bào khả biến *Escherichia coli* DH5 $\alpha$  (DNA-903, do Toyobo Co., Ltd. sản xuất) được biến nạp với sản phẩm nối, và thu các thể biến nạp sinh trưởng trên đĩa thạch LB chứa 50  $\mu$ g/mL ampicilin. Plasmit được thu hồi từ các tế bào vi khuẩn thu được, và xác nhận được rằng *atoD* được cài xen một cách thích hợp. Plasmit thu được được đặt tên là pGAPatoD.

Ở đây, *Escherichia coli* MG1655 có sẵn từ Bộ sưu tập chủng chuẩn Hoa Kỳ (American Type Culture Collection).

Như được mô tả ở trên, trình tự bazơ của *atoD* trong ADN hệ gen của *Escherichia coli* MG1655 cũng đã được báo cáo. PCR được tiến hành bằng cách sử dụng ADN hệ gen của *Escherichia coli* MG1655 làm khuôn và sử dụng GCTCTAGATGCTGAAATCCACTAGTCTTGTC (SEQ ID NO: 5) và TACTGCAGCGTTCCAGCACCTTATCAACC (SEQ ID NO: 6) làm các đoạn mồi, mà được chuẩn bị dựa trên thông tin về gen của vùng kẹp bên 5' của *atoD* của *Escherichia coli* MG1655, kết quả là, mảnh ADN khoảng 1,1 kbp được khuếch đại.

Ngoài ra, PCR được tiến hành bằng cách sử dụng vectơ biểu hiện pGAPatoD đã được chuẩn bị trên đây làm khuôn, và sử dụng GGTCTAGAGCAATGATTGACACGATTCCG (SEQ ID NO: 7) được chuẩn bị dựa trên thông tin trình tự của gen khởi đầu GAPDH của *Escherichia coli* MG1655 và đoạn mồi của SEQ ID NO:4 được chuẩn bị dựa trên thông tin trình tự của *atoD* của *Escherichia coli* MG1655, kết quả là, thu được mảnh ADN khoảng 790 bp có gen khởi đầu GAPDH và *atoD*.

Các mảnh thu được trên đây được tiêu hóa bằng các enzym giới hạn *PstI* và *XbaI*, và *XbaI* và *KpnI*, một cách tương ứng, và các mảnh thu được được trộn với mảnh thu được bằng cách tiêu hóa plasmit nhạy với nhiệt độ pTH18cs1 (Số nộp lưu ngân hàng gen AB019610) [Hashimoto-Gotoh, T., Gene, 241, 185-191 (2000)] bằng *PstI* và *KpnI*, và các mảnh đã trộn được nối bằng cách sử dụng ligaza. Sau đó, các tế bào DH5 $\alpha$  được biến nạp với sản phẩm nối, và thu các thể biến nạp sinh trưởng trên đĩa thạch LB chứa 10  $\mu$ g/ml cloramphenicol ở nhiệt độ 30°C. Các khuẩn lạc thu được được nuôi cấy ở nhiệt độ 30°C

qua đêm trong môi trường lỏng LB chứa 10 µg/ml cloramphenicol, và các plasmid được thu hồi từ các tế bào vi khuẩn thu được. *Escherichia coli* B (ATCC 11303) được biến nạp với plasmid, và được nuôi cấy ở nhiệt độ 30°C qua đêm trên đĩa thạch LB chứa 10 µg/ml cloramphenicol, kết quả là, thu được các thế biến nạp. Các thế biến nạp thu được được cấy vào môi trường lỏng LB chứa 10 µg/ml cloramphenicol, và được nuôi cấy ở nhiệt độ 30°C qua đêm. Các tế bào vi khuẩn đã được nuôi cấy thu được được cấp vào đĩa thạch LB chứa 10 µg/ml cloramphenicol và được nuôi cấy ở nhiệt độ 42°C, kết quả là, thu được các khuẩn lạc. Các khuẩn lạc thu được được nuôi cấy trong môi trường lỏng LB không chứa chất kháng sinh ở nhiệt độ 30°C trong 2 giờ, và giống cấy thu được sau đó được cấp vào đĩa thạch LB không chứa chất kháng sinh, kết quả là, thu được các khuẩn lạc sinh trưởng ở nhiệt độ 42°C.

Từ các khuẩn lạc đã xuất hiện, 100 khuẩn lạc được chọn ngẫu nhiên, và mỗi khuẩn lạc được sinh trưởng riêng rẽ trên cả đĩa thạch LB không có chất kháng sinh và đĩa thạch LB chứa 10 µg/ml cloramphenicol, và các dòng vô tính nhạy với cloramphenicol được chọn. Ngoài ra, mảnh khoảng 790 bp chứa gen khởi đầu GAPDH và atoD được khuếch đại bằng PCR, từ ADN nhiễm sắc thể của các dòng vô tính này, và chọn biến thể trong đó vùng gen khởi đầu atoD được thay thế bằng gen khởi đầu GAPDH. Sau đó, dòng vô tính thỏa mãn các điều kiện nêu trên được đặt tên là biến thể *Escherichia coli* B, được tăng cường hệ gen atoD (sau đây trong bản mô tả này đôi khi được viết tắt là "Biến thể B::atoDAB").

Ở đây, *Escherichia coli* B (ATCC 11303) có sẵn từ bộ sưu tập chủng chuẩn Hoa Kỳ (American Type Culture Collection), một ngân hàng của các tế bào, vi sinh vật, và gen.

#### Ví dụ 2

Chuẩn bị biến thể *Escherichia coli* B, được tăng cường hệ gen atoD, được làm khuyết gen pgi

Toàn bộ trình tự của ADN hệ gen của *Escherichia coli* MG1655 đã được biết (Số nộp lưu ngân hàng gen U00096), và trình tự bazơ của gen mã hóa phosphoglucoza isomeraza (sau đây trong bản mô tả này đôi khi được gọi là "pgi") của *Escherichia coli* cũng đã được báo cáo (Số nộp lưu ngân hàng gen X15196). Để tách dòng vùng kẹp bên trình tự bazơ của gen mã hóa pgi (1650 bp), bốn loại đoạn mồi oligonucleotit được biểu thị bởi CAGGAATTCGCTATATCTGGCTCTGCACG (SEQ ID NO: 8), CAGTCTAGAGCAATACTCTTGATTTGAG (SEQ ID NO: 9), CAGTCTAGATCATCGATATGTAGGCC (SEQ ID NO: 10), và

GACCTGCAGATCATCCGTCAGCTGTACGC (SEQ ID NO: 11) được tổng hợp. Đoạn mồi của SEQ ID NO: 8 có vùng nhận biết *EcoRI* ở phía đầu 5' của nó, mỗi trong số các đoạn mồi của SEQ ID NO: 9 và 10 có vị trí nhận biết *XbaI* ở phía đầu 5' của nó, và đoạn mồi của SEQ ID NO: 11 có vị trí nhận biết *PstI* ở phía đầu 5' của nó.

ADN hệ gen của *Escherichia coli* MG1655 (ATCC 700926) được chuẩn bị, và PCR được tiến hành bằng cách sử dụng ADN hệ gen thu được làm khuôn và sử dụng cặp đoạn mồi của SEQ ID NO: 8 và SEQ ID NO: 9, kết quả là, mảnh ADN khoảng 1,0 kb (sau đây trong bản mô tả này đôi khi được gọi là "mảnh pgi-L") được khuếch đại. Ngoài ra, PCR được tiến hành bằng cách sử dụng cặp đoạn mồi của SEQ ID NO: 10 và SEQ ID NO: 11, kết quả là, mảnh ADN khoảng 1,0 kb (sau đây trong bản mô tả này đôi khi được gọi là "mảnh pgi-R") được khuếch đại. Các mảnh ADN này được tách riêng bằng cách điện di trên agarosa, và được thu hồi. Mảnh pgi-L được tiêu hóa bằng *EcoRI* và *XbaI*, và mảnh pgi-R được tiêu hóa bằng *XbaI* và *PstI*. Hai loại mảnh đã được tiêu hóa và mảnh thu được bằng cách tiêu hóa plasmit nhạy với nhiệt độ pTH18cs1 (Số nộp lưu ngân hàng gen AB019610) bằng *EcoRI* và *PstI* được trộn, và được để cho phản ứng bằng cách sử dụng T4 ADN ligaza. Sau đó, các tế bào khả biến *Escherichia coli* DH5 $\alpha$  (do Toyobo Co., Ltd. sản xuất) được biến nạp với sản phẩm nối, và thu các thể biến nạp sinh trưởng trên đĩa thạch LB chứa 10  $\mu$ g/ml cloramphenicol ở nhiệt độ 30°C. Plasmit được thu hồi từ các thể biến nạp thu được, và xác nhận được rằng hai mảnh — mảnh vùng kẹp bên 5' ở phía trên và mảnh vùng kẹp bên 3' ở phía dưới của gen mã hóa pgi — được cài xen một cách thích hợp trong pTH18cs1. Plasmit thu được được tiêu hóa bằng *XbaI*, và sau đó được thực hiện xử lý làm cùn đầu bằng T4 ADN polymeraza. Mảnh ADN thu được được trộn với gen kháng kanamycin thu được bằng cách tiêu hóa plasmit pUC4K (Số nộp lưu ngân hàng gen X06404) (Pharmacia) bằng *EcoRI* và thực hiện xử lý làm cùn đầu đối với sản phẩm thu được bằng T4 ADN polymeraza, và các mảnh đã trộn được nối bằng cách sử dụng T4 ADN ligaza. Tiếp theo, các tế bào khả biến *Escherichia coli* DH5 $\alpha$  được biến nạp với sản phẩm nối, và thu các thể biến nạp sinh trưởng trên đĩa thạch LB chứa 10  $\mu$ g/ml cloramphenicol và 50  $\mu$ g/ml kanamycin ở nhiệt độ 30°C. Plasmit được thu hồi từ các thể biến nạp thu được, và xác nhận được rằng gen kháng kanamycin được cài xen một cách thích hợp giữa mảnh vùng kẹp bên 5' ở phía trên và mảnh vùng kẹp bên 3' ở phía dưới của gen mã hóa pgi. Plasmit thu được được đặt tên là pTH18cs1-pgi.

Ở đây, *Escherichia coli* MG1655 có thể thu được từ bộ sưu tập chủng chuẩn Hoa Kỳ (American Type Culture Collection).

Biến thể B::atoDAB chuẩn bị được trong Ví dụ 1 được biến nạp với plasmid thu được theo cách như vậy pTH18cs1-pgi, và được nuôi cấy ở nhiệt độ 30°C qua đêm trên đĩa thạch LB chứa 10 µg/ml cloramphenicol và 50 µg/ml kanamycin, kết quả là, thu được các thẻ biến nạp. Các thẻ biến nạp thu được được cấy vào môi trường lỏng LB chứa 50 µg/ml kanamycin, và được nuôi cấy ở nhiệt độ 30°C qua đêm. Tiếp theo, một phần chất lỏng nuôi cấy thu được được cấp vào đĩa thạch LB chứa 50 µg/ml kanamycin, kết quả là, thu được các khuẩn lạc sinh trưởng ở nhiệt độ 42°C. Các khuẩn lạc thu được được nuôi cấy ở nhiệt độ 30°C trong 24 giờ trong môi trường lỏng LB chứa 50 µg/ml kanamycin, và được cấp vào đĩa thạch LB chứa 50 µg/ml kanamycin, kết quả là, thu được các khuẩn lạc sinh trưởng ở nhiệt độ 42°C.

Từ các khuẩn lạc xuất hiện, 100 khuẩn lạc được chọn ngẫu nhiên, và mỗi khuẩn lạc được sinh trưởng riêng rẽ trên đĩa thạch LB chứa 50 µg/ml kanamycin và đĩa thạch LB chứa 10 µg/ml cloramphenicol, và chọn các dòng vô tính nhạy với cloramphenicol chỉ sinh trưởng trên đĩa thạch LB chứa kanamycin. Ngoài ra, ADN nhiễm sắc thể của các dòng vô tính đích này được khuếch đại bằng PCR, và chọn biến thể từ đó mảnh khoảng 3,3 kbp, mà biểu thị sự thay thế gen pgi bằng gen kháng kanamycin, có thể được khuếch đại. Biến thể thu được được đặt tên là biến thể *Escherichia coli* B, được tăng cường hệ gen atoD, được làm khuyết gen pgi (sau đây trong bản mô tả này đôi khi được viết tắt là "biến thể B::atoDABΔpgi").

Ở đây, *Escherichia coli* MG1655 và *Escherichia coli* B có sẵn từ bộ sưu tập chủng chuẩn Hoa Kỳ (American Type Culture Collection).

### Ví dụ 3

Chuẩn bị biến thể *Escherichia coli* B :: được tăng cường hệ gen atoD, được làm khuyết gen pgi, được làm khuyết gen gntR

Toàn bộ trình tự của ADN hệ gen của *Escherichia coli* B đã được biết (Số nộp lưu ngân hàng gen CP000819), và trình tự bazơ mã hóa GntR được mô tả trong 3509184 đến 3510179 của trình tự hệ gen của *Escherichia coli* B, mà được mô tả với Số nộp lưu ngân hàng gen CP000819. Để tách dòng vùng kép bên trình tự bazơ của gen mã hóa GntR (gntR), bốn loại đoạn mồi oligonucleotit được biểu thị bởi  
GGAATTGGGTCAATTTCACCCCTATC (SEQ ID NO: 12),  
GTGGGCCGTCTGAAGGTACAAAGAGATAAGATTCTC (SEQ ID NO: 13),  
CTCTTTGTACCTTCAGGACGGCCCACAAATTGAAG (SEQ ID NO: 14), và  
GGAATTCCCAGCCCCGCAAGGCCGATGGC (SEQ ID NO: 15) được tổng hợp. Mỗi

trong số các đoạn mồi của SEQ ID NO: 12 và 13 có vị trí nhận biết *EcoRI* ở phía đầu 5' của nó.

ADN hệ gen của *Escherichia coli* B (Số nộp lưu ngân hàng gen CP000819) được chuẩn bị, và PCR được tiến hành bằng cách sử dụng ADN hệ gen thu được làm khuôn và cặp đoạn mồi của SEQ ID NO: 12 và SEQ ID NO: 13, kết quả là, mảnh ADN khoảng 1,0 kb (sau đây trong bản mô tả này đôi khi được gọi là "mảnh gntR-L") được khuếch đại. Ngoài ra, PCR được tiến hành bằng cách sử dụng cặp đoạn mồi của SEQ ID NO: 14 và SEQ ID NO: 15, kết quả là, mảnh ADN khoảng 1,0 kb (sau đây trong bản mô tả này đôi khi được gọi là "mảnh gntR-R") được khuếch đại. Các mảnh ADN này được tách riêng bằng cách điện di trên agarosa, và được thu hồi. PCR được tiến hành bằng cách sử dụng các mảnh gntR-L và gntR-R làm khuôn và sử dụng cặp đoạn mồi của SEQ ID NO: 12 và SEQ ID NO: 15, kết quả là, mảnh ADN khoảng 2,0 kbp (sau đây trong bản mô tả này đôi khi được gọi là "mảnh gntR-LR") được khuếch đại. Mảnh gntR-LR này được tách riêng bằng cách điện di trên agarosa, được thu hồi, được tiêu hóa bằng *EcoRI*, và được trộn với mảnh thu được bằng cách tiêu hóa plasmit nhạy với nhiệt độ pTH18cs1 (Số nộp lưu ngân hàng gen AB019610) bằng *EcoRI*. Các mảnh đã được trộn được để cho phản ứng bằng cách sử dụng T4 ADN ligaza. Sau đó, các tế bào khả biến *Escherichia coli* DH5 $\alpha$  (do Toyobo Co., Ltd. sản xuất) được biến nạp với sản phẩm nối, và thu các thê biến nạp sinh trưởng trên đĩa thạch LB chứa 10  $\mu$ g/ml cloramphenicol ở nhiệt độ 30°C. Plasmit được thu hồi từ các thê biến nạp thu được, và xác nhận được rằng mảnh gntLR được cài xen một cách thích hợp trong pTH18cs1. Plasmit thu được được đặt tên là pTH18cs1-gntR.

Biến thê *Escherichia coli* B::atoDAB $\Delta$ pgi chuẩn bị được trong Ví dụ 2 được biến nạp với plasmit pTH18cs1-gntR thu được theo cách như vậy, và được nuôi cấy ở nhiệt độ 30°C qua đêm trên đĩa thạch LB chứa 10  $\mu$ g/ml cloramphenicol, kết quả là, thu được các thê biến nạp. Các thê biến nạp thu được được cấy vào môi trường lỏng LB chứa 10  $\mu$ g/ml cloramphenicol, và được nuôi cấy ở nhiệt độ 30°C qua đêm. Tiếp theo, một phần chất lỏng nuôi cấy được cấp vào đĩa thạch LB chứa 10  $\mu$ g/ml cloramphenicol, kết quả là, thu được các khuẩn lạc sinh trưởng ở nhiệt độ 42°C. Các khuẩn lạc thu được được nuôi cấy ở nhiệt độ 30°C trong 24 giờ trong môi trường lỏng LB, và được cấp vào đĩa thạch LB, kết quả là, thu được các khuẩn lạc sinh trưởng ở nhiệt độ 42°C.

Từ các khuẩn lạc xuất hiện, 100 khuẩn lạc được chọn ngẫu nhiên, và mỗi khuẩn lạc được sinh trưởng riêng rẽ trên đĩa thạch LB và đĩa thạch LB chứa 10  $\mu$ g/ml cloramphenicol, và các dòng vô tính nhạy với cloramphenicol được chọn. Ngoài ra, ADN nhiễm sắc thể của

các dòng vô tính đích này được khuếch đại bằng PCR, và chọn biến thể từ đó mảnh khoảng 2,0 kbp, mà biểu thị sự làm khuyết gen gntR, có thể được khuếch đại. Biến thể thu được được đặt tên là biến thể *Escherichia coli* B, được tăng cường hệ gen atoD, được làm khuyết gen pgi, được làm khuyết gen gntR (sau đây trong bản mô tả này đôi khi được viết tắt là "biến thể B::atoDABΔpgiΔgntR").

#### Ví dụ 4

Chuẩn bị biến thể *Escherichia coli* B, được tăng cường hệ gen atoD, được làm khuyết gen pgi, được làm khuyết gen gntR, được làm khuyết gen gnd

Để tách dòng vùng kẹp bên trình tự bazơ của gen mã hóa phosphogluconat dehydrogenaza (gnd), bốn loại đoạn mồi oligonucleotit được biểu thị bởi CGCCATATGAATGGCGCGGCGGGGCCGGTGG (SEQ ID NO: 16), TGGAGCTCTGTTACTCCTGTCAAGGGGG (SEQ ID NO: 17), TGGAGCTCTGATTAAATCAACAAATAAAATTG (SEQ ID NO: 18), và CGGGATCCACCACCATAACCAAACGACGG (SEQ ID NO: 19) được tổng hợp. Đoạn mồi của SEQ ID NO: 16 có vị trí nhận biết *NdeI* ở phía đầu 5' của nó, và mỗi trong số các đoạn mồi của SEQ ID NO: 17 và 18 có vị trí nhận biết *SacI* ở phía đầu 5' của nó. Ngoài ra, đoạn mồi của SEQ ID NO: 19 có vị trí nhận biết *BamHI* ở phía đầu 5' của nó.

ADN hệ gen của *Escherichia coli* B (Số nộp lưu ngân hàng genCP000819) được chuẩn bị, và PCR được tiến hành bằng cách sử dụng cặp đoạn mồi của SEQ ID NO: 16 và SEQ ID NO: 17, kết quả là, mảnh ADN khoảng 1,0 kb (sau đây trong bản mô tả này đôi khi được gọi là "mảnh gnd-L") được khuếch đại. Ngoài ra, PCR được tiến hành bằng cách sử dụng cặp đoạn mồi của SEQ ID NO: 18 và SEQ ID NO: 19, kết quả là, mảnh ADN khoảng 1,0 kb (sau đây trong bản mô tả này đôi khi được gọi là "mảnh gnd-R") được khuếch đại. Các mảnh ADN này được tách riêng bằng cách điện di trên agarosa, và được thu hồi. Mảnh gnd-L được tiêu hóa bằng *NdeI* và *SacI*, và mảnh gnd-R được tiêu hóa bằng *SacI* và *BamHI*. Hai loại mảnh đã được tiêu hóa này được trộn với mảnh thu được bằng cách tiêu hóa plasmit nhạy với nhiệt độ pTH18cs1 (Số nộp lưu ngân hàng gen AB019610) bằng *NdeI* và *BamHI*, và các mảnh đã được trộn được để cho phản ứng bằng cách sử dụng T4 ADN ligaza. Sau đó, các té bào khả biến (do Toyobo Co., Ltd. sản xuất) được biến nạp với sản phẩm nối, và thu các thế biến nạp sinh trưởng trên đĩa thạch LB chứa 10 µg/ml cloramphenicol ở nhiệt độ 30°C. Plasmit được thu hồi từ các thế biến nạp thu được, và xác nhận được rằng hai mảnh — mảnh vùng kẹp bên 5' ở phía trên và mảnh vùng kẹp bên 3' ở phía dưới của gen mã hóa gnd — được cài xen một cách thích hợp trong pTH18cs1. Plasmit thu được được

đặt tên là pTH18cs1-gnd.

Biến thể *Escherichia coli* B::atoDABΔpgiΔgntR chuẩn bị được trong Ví dụ 3 được biến nạp với plasmid pTH18cs1-gnd thu được theo cách như vậy, và được nuôi cấy ở nhiệt độ 30°C qua đêm trên đĩa thạch LB chứa 10 µg/ml cloramphenicol, kết quả là, thu được các thê biến nạp. Các thê biến nạp thu được được cấy vào môi trường lỏng LB chứa 10 µg/ml cloramphenicol, và được nuôi cấy ở nhiệt độ 30°C qua đêm. Tiếp theo, một phần của chất lỏng nuôi cấy này được cấp vào đĩa thạch LB chứa 10 µg/ml kanamycin, kết quả là, thu được các khuẩn lạc sinh trưởng ở nhiệt độ 42°C. Các khuẩn lạc thu được được nuôi cấy ở nhiệt độ 30°C trong 24 giờ trong môi trường lỏng LB, và được cấp vào đĩa thạch LB, kết quả là, thu được các khuẩn lạc sinh trưởng ở nhiệt độ 42°C.

Từ các khuẩn lạc xuất hiện, 100 khuẩn lạc được chọn ngẫu nhiên, và mỗi khuẩn lạc được sinh trưởng riêng rẽ trên đĩa thạch LB và đĩa thạch LB chứa 10 µg/ml cloramphenicol, và các dòng vô tính nhạy với cloramphenicol được chọn. Ngoài ra, ADN nhiễm sắc thê của các dòng vô tính đích này được khuếch đại bằng PCR, và chọn biến thể từ đó mảnh khoảng 2,0 kbp, mà biểu thị sự làm khuyết gen gnd, có thể được khuếch đại. Biến thể thu được được đặt tên là biến thể *Escherichia coli* B, được tăng cường hệ gen atoD, được làm khuyết gen pgi, được làm khuyết gen gntR, được làm khuyết gen gnd (biến thể B::atoDABΔpgiΔgntRΔgnd).

#### Ví dụ 5

Chuẩn bị biến thể *Escherichia coli* B, được tăng cường hệ gen atoD, được làm khuyết gen pgi, được làm khuyết gen gntR, được làm khuyết gen gnd, được làm khuyết gen ldhA

Để tách dòng vùng kẹp bên trình tự bazơ của gen mã hóa D-lactat dehydrogenaza (sau đây trong bản mô tả này đôi khi được viết tắt là "ldhA") (990 bp), bốn loại đoạn mồi oligonucleotit được biểu thị bởi GGAATTCTGACCATCGCTTACGGTCAATTG (SEQ ID NO: 20), GAGCGGCAAGAAAGACTTCTCCAGTGATGTTG (SEQ ID NO: 21), GGAGAAAGTCTTCTTGCCTCCCTGCAAC (SEQ ID NO: 22), và GGAATTCTTAGCAAATGGCTTCTTC (SEQ ID NO: 23) được tổng hợp. Mỗi trong số các đoạn mồi của SEQ ID NO: 20 và 23 có vị trí nhận biết EcoRI ở phía đầu 5' của nó.

ADN hệ gen của *Escherichia coli* B (Số nộp lưu ngân hàng gen CP000819) được chuẩn bị, và PCR được tiến hành bằng cách sử dụng ADN hệ gen thu được làm khuôn và cặp đoạn mồi của SEQ ID NO: 20 và SEQ ID NO: 21, kết quả là, mảnh ADN khoảng 1,0

kb (sau đây trong bản mô tả này đôi khi được gọi là "mảnh ldhA-L") được khuếch đại. Ngoài ra, PCR được tiến hành bằng cách sử dụng cặp đoạn mồi của SEQ ID NO: 22 và SEQ ID NO: 23, kết quả là, mảnh ADN khoảng 1,0 kb (sau đây trong bản mô tả này đôi khi được gọi là "mảnh ldhA-R") được khuếch đại. Các mảnh ADN này được tách riêng bằng cách điện di trên agarosa, và được thu hồi. PCR được tiến hành bằng cách sử dụng các mảnh ldhA-L và ldhA-R làm khuôn và sử dụng cặp đoạn mồi của SEQ ID NO: 20 và SEQ ID NO: 23, kết quả là, mảnh ADN khoảng 2,0 kbp (sau đây trong bản mô tả này đôi khi được gọi là "mảnh ldhA-LR") được khuếch đại. Mảnh ldhA-LR này được tách riêng bằng cách điện di trên agarosa, được thu hồi, được tiêu hóa bằng EcoRI, và được trộn với mảnh thu được bằng cách tiêu hóa plasmit nhạy với nhiệt độ pTH18cs1 (Số nộp lưu ngân hàng gen AB019610) bằng EcoRI. Các mảnh đã được trộn được để cho phản ứng bằng cách sử dụng T4 ADN ligaza. Sau đó, các tế bào khả biến *Escherichia coli* DH5 $\alpha$  (do Toyobo Co., Ltd. sản xuất) được biến nạp với sản phẩm nối, và thu các thể biến nạp sinh trưởng trên đĩa thạch LB chứa 10  $\mu$ g/ml cloramphenicol ở nhiệt độ 30°C. Plasmit được thu hồi từ các thể biến nạp thu được, và xác nhận được rằng mảnh ldhA-LR được cài xen một cách thích hợp trong pTH18cs1. Plasmit thu được được đặt tên là pTH18cs1-ldhA.

Biến thể *Escherichia coli* B::atoDAB $\Delta$ pgi $\Delta$ gntR $\Delta$ gnd chuẩn bị được trong Ví dụ 4 được biến nạp với plasmit pTH18cs1-ldhA thu được theo cách như vậy, và được nuôi cấy ở nhiệt độ 30°C qua đêm trên đĩa thạch LB chứa 10  $\mu$ g/ml cloramphenicol, kết quả là, thu được các thể biến nạp. Các thể biến nạp thu được được cấy vào môi trường lỏng LB chứa 10  $\mu$ g/ml cloramphenicol, và được nuôi cấy ở nhiệt độ 30°C qua đêm. Tiếp theo, một phần chất lỏng nuôi cấy được cấp vào đĩa thạch LB chứa 10  $\mu$ g/ml cloramphenicol, kết quả là, thu được các khuẩn lạc sinh trưởng ở nhiệt độ 42°C. Các khuẩn lạc thu được được nuôi cấy ở nhiệt độ 30°C trong 24 giờ trong môi trường lỏng LB, và được cấp vào đĩa thạch LB, kết quả là, thu được các khuẩn lạc sinh trưởng ở nhiệt độ 42°C.

Từ các khuẩn lạc xuất hiện, 100 khuẩn lạc được chọn ngẫu nhiên, và mỗi khuẩn lạc được sinh trưởng riêng rẽ trên đĩa thạch LB và đĩa thạch LB chứa 10  $\mu$ g/ml cloramphenicol, và các dòng vô tính nhạy với cloramphenicol được chọn. Ngoài ra, ADN nhiễm sắc thể của các dòng vô tính đích này được khuếch đại bằng PCR, và chọn biến thể từ đó mảnh khoảng 2,0 kbp, mà biểu thị sự làm khuyết gen ldhA, có thể được khuếch đại. Biến thể thu được được đặt tên là biến thể *Escherichia coli* B, được tăng cường hệ gen atoD, được làm khuyết gen pgi, được làm khuyết gen gntR, được làm khuyết gen gnd, được làm khuyết gen ldhA (sau đây trong bản mô tả này đôi khi được viết tắt là "biến thể

B::atoDABΔpgiΔgntRΔgndΔldhA").

#### Ví dụ 6

Chuẩn bị biến thể *Escherichia coli* B, được tăng cường hệ gen atoD, được làm khuyết gen pgi, được làm khuyết gen gntR, được làm khuyết gen gnd, được làm khuyết gen ldhA, được làm khuyết gen aceBA

Để tách dòng vùng kép bên trình tự bazơ của gen mã hóa isoxitrat lyaza và gen mã hóa malat synthaza (sau đây trong bản mô tả này đôi khi được viết tắt là "aceBA") (2936 bp), bốn loại đoạn mồi oligonucleotit được biểu thị bởi GGAATTCAATTCTAGCTGTTGCATCGATT (SEQ ID NO: 24), CGGTTGTTGCCGTGCAGCTCCTCGTCATGGATC (SEQ ID NO: 25), GGAGCTGCACGGCAACAAACAACCGTTGCTGACTG (SEQ ID NO: 26), và GGAATTCCAGGCAGGTATCAATAAAC (SEQ ID NO: 27) được tổng hợp. Mỗi trong số các đoạn mồi của SEQ ID NO: 24 và 27 có vị trí nhận biết EcoRI ở phía đầu 5' của nó.

ADN hệ gen của *Escherichia coli* B (Số nộp lưu ngân hàng gen CP000819) được chuẩn bị, và PCR được tiến hành bằng cách sử dụng ADN hệ gen thu được làm khuôn và cặp đoạn mồi của SEQ ID NO: 24 và SEQ ID NO: 25, kết quả là, mảnh ADN khoảng 1,0 kb (sau đây trong bản mô tả này đôi khi được gọi là "mảnh aceBA-L") được khuếch đại. Ngoài ra, PCR được tiến hành bằng cách sử dụng cặp đoạn mồi của SEQ ID NO: 26 và SEQ ID NO: 27, kết quả là, mảnh ADN khoảng 1,0 kb (sau đây trong bản mô tả này đôi khi được gọi là "mảnh aceBA-R") được khuếch đại. Các mảnh ADN này được tách riêng bằng cách điện di trên agarosa, và được thu hồi. PCR được tiến hành bằng cách sử dụng mảnh aceBA-L và aceBA-R làm khuôn và sử dụng cặp đoạn mồi của SEQ ID NO: 24 và SEQ ID NO: 27, kết quả là, mảnh ADN khoảng 2,0 kbp (sau đây trong bản mô tả này đôi khi được gọi là "mảnh aceBA-LR") được khuếch đại. Mảnh aceBA-LR này được tách riêng bằng cách điện di trên agarosa, được thu hồi, được tiêu hóa bằng EcoRI, và được trộn với mảnh thu được bằng cách tiêu hóa plasmit nhạy với nhiệt độ pTH18cs1 (Số nộp lưu ngân hàng gen AB019610) bằng EcoRI. Các mảnh đã được trộn được để cho phản ứng bằng cách sử dụng T4 ADN ligaza. Sau đó, các tế bào khả biến *Escherichia coli* DH5α (do Toyobo Co., Ltd. sản xuất) được biến nạp với sản phẩm nội, và thu các thể biến nạp sinh trưởng trên đĩa thạch LB chứa 10 µg/ml cloramphenicol ở nhiệt độ 30°C. Plasmit được thu hồi từ các thể biến nạp thu được, và xác nhận được rằng mảnh aceBA-LR được cài xen một cách thích hợp trong pTH18cs1. Plasmit thu được được đặt tên là pTH18cs1-aceBA.

Biến thể *Escherichia coli* B::atoDABΔpgiΔgntRΔgndΔldhA chuẩn bị được trong Ví dụ 5 được biến nạp với plasmid pTH18cs1-aceBA thu được theo cách như vậy, và được nuôi cấy ở nhiệt độ 30°C qua đêm trên đĩa thạch LB chứa 10 µg/ml cloramphenicol, kết quả là, thu được các thế biến nạp. Các thế biến nạp thu được được cấy vào môi trường lỏng LB chứa 10 µg/ml cloramphenicol, và được nuôi cấy ở nhiệt độ 30°C qua đêm. Tiếp theo, một phần chất lỏng nuôi cấy được cấp vào đĩa thạch LB chứa 10 µg/ml cloramphenicol, kết quả là, thu được các khuẩn lạc sinh trưởng ở nhiệt độ 42°C. Các khuẩn lạc thu được được nuôi cấy ở nhiệt độ 30°C trong 24 giờ trong môi trường lỏng LB, và được cấp vào đĩa thạch LB, kết quả là, thu được các khuẩn lạc sinh trưởng ở nhiệt độ 42°C.

Từ các khuẩn lạc xuất hiện, 100 khuẩn lạc được chọn ngẫu nhiên, và mỗi khuẩn lạc được sinh trưởng riêng rẽ trên đĩa thạch LB và đĩa thạch LB chứa 10 µg/ml cloramphenicol, và các dòng vô tính nhạy với cloramphenicol được chọn. Ngoài ra, ADN nhiễm sắc thể của các dòng vô tính đích này được khuếch đại bằng PCR, và chọn biến thể từ đó mảnh khoảng 2,0 kbp, mà biểu thị sự làm khuyết gen aceBA, có thể được khuếch đại. Biến thể thu được được đặt tên là biến thể *Escherichia coli* B, được tăng cường hệ gen atoD, được làm khuyết gen pgi, được làm khuyết gen gntR, được làm khuyết gen gnd, được làm khuyết gen ldhA, được làm khuyết gen aceBA (sau đây trong bản mô tả này đôi khi được viết tắt là "biến thể B::atoDABΔpgiΔgntRΔgndΔldhAΔaceB").

#### Ví dụ 7

Chuẩn bị biến thể *Escherichia coli* B, được tăng cường hệ gen atoD, được làm khuyết gen pgi, được làm khuyết gen gntR, được làm khuyết gen gnd, được làm khuyết gen ldhA, được làm khuyết gen aceBA, được làm khuyết gen glcB

Để tách dòng vùng kẹp bên trình tự bazơ của gen mã hóa malat synthaza G (sau đây trong bản mô tả này đôi khi được viết tắt là "glcB") (723 bp), bốn loại đoạn mồi oligonucleotit được biểu thị bởi GGAATTCCAGGAGAAAGGGCTGGCACGGG (SEQ ID NO: 28), CTTTTTGACGCTATGTTATCTCCTCGTTTCGC (SEQ ID NO: 29), GAGATAAACATAGCGTAAAAAAGCCCCGGC (SEQ ID NO: 30), và GGAATTCCGTCCATCATTGCTACCAGCC (SEQ ID NO: 31) được tổng hợp. Mỗi trong số các đoạn mồi của SEQ ID NO: 28 và 31 có vị trí nhận biết EcoRI ở phía đầu 5' của nó.

ADN hệ gen của *Escherichia coli* B (Số nộp lưu ngân hàng gen CP000819) được chuẩn bị, và PCR được tiến hành bằng cách sử dụng ADN hệ gen thu được làm khuôn và cặp đoạn mồi của SEQ ID NO: 28 và SEQ ID NO: 29, kết quả là, mảnh ADN khoảng 1,0

kb (sau đây trong bản mô tả này đôi khi được gọi là "mảnh glcB-L") được khuếch đại. Ngoài ra, PCR được tiến hành bằng cách sử dụng cặp đoạn mồi của SEQ ID NO: 30 và SEQ ID NO: 31, kết quả là, mảnh ADN khoảng 1,0 kb (sau đây trong bản mô tả này đôi khi được gọi là "mảnh glcB-R") được khuếch đại. Các mảnh ADN này được tách riêng bằng cách điện di trên agarosa, và được thu hồi. PCR được tiến hành bằng cách sử dụng các mảnh glcB-L và glcB-R làm khuôn và sử dụng cặp đoạn mồi của SEQ ID NO: 28 và SEQ ID NO: 31, kết quả là, mảnh ADN khoảng 2,0 kbp (sau đây trong bản mô tả này đôi khi được gọi là "mảnh glcB-LR") được khuếch đại. Mảnh glcB-LR được tách riêng bằng cách điện di trên agarosa, được thu hồi, được tiêu hóa bằng *EcoRI*, và được trộn với mảnh thu được bằng cách tiêu hóa plasmit nhạy với nhiệt độ pTH18cs1 (Số nộp lưu ngân hàng gen AB019610) bằng *EcoRI*. Các mảnh đã được trộn được để cho phản ứng bằng cách sử dụng T4 ADN ligaza. Sau đó, *Escherichia coli* DH5 $\alpha$  các tế bào khả biến (do Toyobo Co., Ltd. sản xuất) được biến nạp với sản phẩm nối, và thu các thể biến nạp sinh trưởng trên đĩa thạch LB chứa 10  $\mu$ g/ml cloramphenicol ở nhiệt độ 30°C. Plasmit được thu hồi từ các thể biến nạp thu được, và xác nhận được rằng mảnh glcB-LR được cài xen một cách thích hợp trong pTH18cs1. Plasmit thu được được đặt tên là pTH18cs1-glcB.

Biến thể *Escherichia coli* B::atoDAB $\Delta$ pgi $\Delta$ gntR $\Delta$ gnd $\Delta$ ldhA $\Delta$ aceB được điều chế trong Ví dụ 6 được biến nạp với plasmit pTH18cs1-glcB thu được theo cách như vậy, và được nuôi cấy ở nhiệt độ 30°C qua đêm trên đĩa thạch LB chứa 10  $\mu$ g/ml cloramphenicol, kết quả là, thu được các thể biến nạp. Các thể biến nạp thu được được cấy vào môi trường lỏng LB chứa 10  $\mu$ g/ml cloramphenicol, và được nuôi cấy ở nhiệt độ 30°C qua đêm. Tiếp theo, một phần chất lỏng nuôi cấy được cấp vào đĩa thạch LB chứa 10  $\mu$ g/ml cloramphenicol, kết quả là, thu được các khuẩn lạc sinh trưởng ở nhiệt độ 42°C. Các khuẩn lạc thu được được nuôi cấy ở nhiệt độ 30°C trong 24 giờ trong môi trường lỏng LB, và được cấp vào đĩa thạch LB, kết quả là, thu được các khuẩn lạc sinh trưởng ở nhiệt độ 42°C.

Từ các khuẩn lạc xuất hiện, 100 khuẩn lạc được chọn ngẫu nhiên, và mỗi khuẩn lạc được sinh trưởng riêng rẽ trên đĩa thạch LB và đĩa thạch LB chứa 10  $\mu$ g/ml cloramphenicol, và các dòng vô tính nhạy với cloramphenicol được chọn. Ngoài ra, ADN nhiễm sắc thể của các dòng vô tính đích này được khuếch đại bằng PCR, và chọn biến thể từ đó mảnh khoảng 2,0 kbp, mà biểu thị sự làm khuyết gen glcB, có thể được khuếch đại. Biến thể thu được được đặt tên là biến thể *Escherichia coli* B, được tăng cường hệ gen atoD, được làm khuyết gen pgi, được làm khuyết gen gntR, được làm khuyết gen gnd, được làm khuyết gen ldhA, được làm khuyết gen aceBA, được làm khuyết gen glcB (sau đây trong bản mô tả này đôi

khi được viết tắt là "biến thể B::atoDABΔpgiΔgntRΔgndΔldhAΔaceBAΔglcB").

#### Ví dụ 8

Chuẩn bị biến thể *Escherichia coli* B, được tăng cường hệ gen atoD, được làm khuyết gen pgi, được làm khuyết gen gntR, được làm khuyết gen gnd, được làm khuyết gen ldhA, được làm khuyết gen aceBA, được làm khuyết gen glcB, được làm khuyết gen fumAC

Để tách dòng vùng kép bên trình tự bazơ của gen mã hóa fumarat hydrataza A và gen mã hóa fumarat hydrataza C (sau đây trong bản mô tả này đôi khi được viết tắt là "fumAC") (3193 bp), bốn loại đoạn mồi oligonucleotit được biểu thị bởi CGCCATATGATGCCAGCGCGGGATTTC (SEQ ID NO: 32), CGAGCTCTGTTCTCACTTACTGCCTGG (SEQ ID NO: 33), ATGAGCTCTCTGCAACATACAGGTGCAG (SEQ ID NO: 34), và CGGGATCCACTACGCGCACGATGGTCAAG (SEQ ID NO: 35) được tổng hợp. Đoạn mồi của SEQ ID NO: 32 có vị trí nhận biết *NdeI* ở phía đầu 5' của nó. Mỗi trong số các đoạn mồi của SEQ ID NO: 33 và 34 có vị trí nhận biết *SacI* ở phía đầu 5' của nó. Đoạn mồi của SEQ ID NO: 35 có vị trí nhận biết *BamHI* ở phía đầu 5' của nó.

ADN hệ gen của *Escherichia coli* B (Số nộp lưu ngân hàng gen CP000819) được chuẩn bị, và PCR được tiến hành bằng cách sử dụng ADN hệ gen thu được làm khuôn và cặp đoạn mồi của SEQ ID NO: 32 và SEQ ID NO: 33, kết quả là, mảnh ADN khoảng 1,0 kb (sau đây trong bản mô tả này đôi khi được gọi là "mảnh fumA-L") được khuếch đại. Ngoài ra, PCR được tiến hành bằng cách sử dụng cặp đoạn mồi của SEQ ID NO: 34 và SEQ ID NO: 35, kết quả là, mảnh ADN khoảng 1,0 kb (sau đây trong bản mô tả này đôi khi được gọi là "mảnh fumC-R") được khuếch đại. Các mảnh ADN này được tách riêng bằng cách điện di trên agarosa, và được thu hồi. Mảnh fumA-L được tiêu hóa bằng *NdeI* và *SacI*, và mảnh fumC-R được tiêu hóa bằng *SacI* và *BamHI*. Các mảnh đã được tiêu hóa này được trộn với mảnh thu được bằng cách tiêu hóa plasmit nhạy với nhiệt độ pTH18cs1 (Số nộp lưu ngân hàng gen AB019610) bằng *NdeI* và *BamHI*. Các mảnh đã được trộn được để cho phản ứng bằng cách sử dụng T4 ADN ligaza. Sau đó, các tế bào khả biến *Escherichia coli* DH5 $\alpha$  (do Toyobo Co., Ltd. sản xuất) được biến nạp với sản phẩm nối, và thu các thể biến nạp sinh trưởng trên đĩa thạch LB chứa 10  $\mu$ g/ml cloramphenicol ở nhiệt độ 30°C. Plasmit được thu hồi từ các thể biến nạp thu được, và xác nhận được rằng mảnh fumA-L và mảnh fumC-R được cài xen một cách thích hợp trong pTH18cs1. Plasmit thu được được đặt tên là pTH18cs1-fumAC.

Biến thể *Escherichia coli* B::atoDABΔpgiΔgntRΔgndΔldhAΔaceBAΔglcB được điều chế trong Ví dụ 7 được biến nạp với plasmid pTH18cs1-fumAC thu được theo cách như vậy, và được nuôi cấy ở nhiệt độ 30°C qua đêm trên đĩa thạch LB chứa 10 µg/ml cloramphenicol, kết quả là, thu được các biến thể biến nạp. Các biến thể biến nạp thu được được cấy vào môi trường lỏng LB chứa 10 µg/ml cloramphenicol, và được nuôi cấy ở nhiệt độ 30°C qua đêm. Tiếp theo, một phần chất lỏng nuôi cấy được cấp vào đĩa thạch LB chứa 10 µg/ml cloramphenicol, kết quả là, thu được các khuẩn lạc sinh trưởng ở nhiệt độ 42°C. Các khuẩn lạc thu được được nuôi cấy ở nhiệt độ 30°C trong 24 giờ trong môi trường lỏng LB, và được cấp vào đĩa thạch LB, kết quả là, thu được các khuẩn lạc sinh trưởng ở nhiệt độ 42°C.

Từ các khuẩn lạc xuất hiện, 100 khuẩn lạc được chọn ngẫu nhiên, và mỗi khuẩn lạc được sinh trưởng riêng rẽ trên đĩa thạch LB và đĩa thạch LB chứa 10 µg/ml cloramphenicol, và các dòng vô tính nhạy với cloramphenicol được chọn. Ngoài ra, ADN nhiễm sắc thể của các dòng vô tính đích này được khuếch đại bằng PCR, và chọn biến thể từ đó mảnh khoảng 2,0 kbp, mà biểu thị sự làm khuyết gen fumAC, có thể được khuếch đại. Biến thể thu được được đặt tên là biến thể *Escherichia coli* B, được tăng cường hệ gen atoD, được làm khuyết gen pgi, được làm khuyết gen gntR, được làm khuyết gen gnd, được làm khuyết gen ldhA, được làm khuyết gen aceBA, được làm khuyết gen glcB, được làm khuyết gen fumAC (sau đây trong bản mô tả này đôi khi được viết tắt là "biến thể B::atoDABΔpgiΔgntRΔgndΔldhAΔaceBAΔglcBΔfumAC").

#### Ví dụ 9

##### Chuẩn bị plasmid plaz

Axetoaxetat decarboxylaza của vi khuẩn *Clostridium* được mô tả với Số nộp lưu ngân hàng gen M55392, và dehydrogenaza rượu isopropylic của vi khuẩn *Clostridium* được mô tả với Số nộp lưu ngân hàng gen AF157307.

Để làm trình tự bazơ của gen khởi đầu cần thiết để biểu hiện nhóm gen đã được mô tả ở trên, có thể sử dụng trình tự gen khởi đầu của glyxeraldehyt-3-phosphat dehydrogenaza (sau đây trong bản mô tả này đôi khi được gọi là "GAPDH") từ *Escherichia coli*, được mô tả ở 397 đến 440 trong thông tin trình tự bazơ với số nộp lưu ngân hàng gen X02662.

Để thu được gen khởi đầu GAPDH, tiến hành khuếch đại bằng phương pháp PCR bằng cách sử dụng ADN hệ gen của *Escherichia coli* MG1655 làm khuôn và sử dụng CGAGCTACATATGCAATGATTGACACGATTCCG (SEQ ID NO: 36) và CGCGCGCATGCTATTGTTAGTGAATAAAAGG (SEQ ID NO: 37), và mảnh ADN thu

được đƣợc tiêu hóa bằng các enzym giới hạn *NdeI* và *SphI*, kết quả là, thu đƣợc mảnh ADN khoảng 110 bp tương ứng với gen khởi đầu GAPDH. Mảnh ADN thu đƣợc đƣợc trộn với mảnh thu đƣợc bằng cách tiêu hóa plasmit pBR322 (Sô nộp lưu ngân hàng gen J01749) bằng các enzym giới hạn *NdeI* và *SphI*, và các mảnh đã trộn đƣợc nối bằng cách sử dụng ligaza. Sau đó, các tế bào khả biến *Escherichia coli* DH5 $\alpha$  (Toyobo Co., Ltd., DNA-903) đƣợc biến nạp với sản phẩm nối, và thu các thĕ biến nạp sinh trưởng trên đĩa thạch LB chứa 50  $\mu$ g/mL ampixilin. Các khuần lạc thu đƣợc đƣợc nuôi cấy ở nhiệt độ 37°C qua đêm trong môi trường lỏng LB chứa 50  $\mu$ g/mL ampixilin, và plasmit pBRgapP đƣợc thu hồi từ tế bào vi khuần thu đƣợc.

Để thu đƣợc gen mã hóa dehydrogenaza rượu isopropyllic, tiến hành khuếch đại bằng phương pháp PCR bằng cách sử dụng ADN hệ gen của *Clostridium beijerinckii* NRRL B-593 làm khuôn và sử dụng AATATGCATGCTGGTGGAACATATGAAAGGTTTGCA ATGCTAGG (SEQ ID NO: 38) và ACGCGTCGACTTATAATATAACTA CTGCTTTAATTAAAGTC (SEQ ID NO: 39), và mảnh ADN thu đƣợc đƣợc tiêu hóa bằng các enzym giới hạn *SphI* và *SalI*, kết quả là, thu đƣợc mảnh dehydrogenaza rượu isopropyllic khoảng 1,1 kbp. Mảnh ADN thu đƣợc đƣợc trộn với mảnh thu đƣợc bằng cách tiêu hóa plasmit pUC119 bằng các enzym giới hạn *SphI* và *SalI*, và các mảnh này đƣợc nối với nhau bằng cách sử dụng ligaza. Sau đó, các tế bào khả biến *Escherichia coli* DH5 $\alpha$  đƣợc biến nạp với sản phẩm nối, và thu các thĕ biến nạp sinh trưởng trên đĩa thạch LB chứa 50  $\mu$ g/mL ampixilin. Các khuần lạc thu đƣợc đƣợc nuôi cấy ở nhiệt độ 37°C qua đêm trong môi trường lỏng LB chứa 50  $\mu$ g/mL ampixilin, và plasmit đƣợc thu hồi từ tế bào vi khuần thu đƣợc. Sự cài xen đúng của IPAdh đƣợc xác nhận, và plasmit thu đƣợc đƣợc đặt tên là pUC-I.

Mảnh có IPAdh thu đƣợc bằng cách tiêu hóa plasmit pUC-I bằng các enzym giới hạn *SphI* và *EcoRI* đƣợc trộn với mảnh thu đƣợc bằng cách tiêu hóa plasmit pBRgapP bằng các enzym giới hạn *SphI* và *EcoRI*, và các mảnh đã trộn đƣợc nối bằng cách sử dụng ligaza. Sau đó, các tế bào khả biến *Escherichia coli* DH5 $\alpha$  đƣợc biến nạp với sản phẩm nối, và thu các thĕ biến nạp sinh trưởng trên đĩa thạch LB chứa 50  $\mu$ g/mL ampixilin. Các khuần lạc thu đƣợc đƣợc nuôi cấy ở nhiệt độ 37°C qua đêm trong môi trường lỏng LB chứa 50  $\mu$ g/mL ampixilin, và các plasmit đƣợc thu hồi từ các tế bào vi khuần thu đƣợc, và xác nhận đƣợc rằng IPAdh đƣợc cài xen một cách thích hợp. Plasmit thu đƣợc đƣợc đặt tên là pGAP-I.

Để thu đƣợc gen mã hóa axetoaxetat decarboxylaza, tiến hành khuếch đại bằng phương pháp PCR bằng cách sử dụng ADN hệ gen của *Clostridium acetobutylicum* ATCC 824 làm khuôn và sử dụng ACGCGTCGACGCTGGTGGAACATATGTTA

AAGGATGAAGTAATTAAACAAATTAGC (SEQ ID NO: 40) và GCTCTAGAGGTACCTTACTTAAGATAATCATATATAACTTCAGC (SEQ ID NO: 41), và mảnh ADN thu được được tiêu hóa bằng các enzym giới hạn *SalI* và *XbaI*, kết quả là, thu được mảnh axetoaxetat decarboxylaza khoảng 700 bp. Mảnh ADN thu được được trộn với mảnh thu được bằng cách tiêu hóa plasmit pGAP-I đã được chuẩn bị ở trên bằng các enzym giới hạn *SalI* và *XbaI*, và các mảnh đã trộn được nối bằng cách sử dụng ligaza. Sau đó, các tế bào khả biến *Escherichia coli* DH5 $\alpha$  được biến nạp với sản phẩm nối, và thu các thể biến nạp sinh trưởng trên đĩa thạch LB chứa 50  $\mu$ g/mL ampixilin. Các khuẩn lạc thu được được nuôi cấy ở nhiệt độ 37°C qua đêm trong môi trường lỏng LB chứa 50  $\mu$ g/mL ampixilin, và các plasmit được thu hồi từ các tế bào vi khuẩn thu được, và xác nhận được rằng adc được cài xen đúng. Plasmit thu được được đặt tên là pIa.

Để thu được gen mã hóa glucoza-6-phosphat-1-dehydrogenaza (zwf), tiến hành khuếch đại bằng phương pháp PCR bằng cách sử dụng ADN hệ gen của *Escherichia coli* B (Số nộp lưu ngân hàng gen CP000819) làm khuôn và sử dụng GCTCTAGACGGAGAAAGTCTTATGGCGGTAAACGCAAACAGCCCAGG (SEQ ID NO: 42) và CGGGATCCGGAGAAAGTCTTATGAAGCAAACAGTTATATGCC (SEQ ID NO: 43), và mảnh ADN thu được được tiêu hóa bằng các enzym giới hạn *BamHI* và *XbaI*, kết quả là, thu được mảnh glucoza-6-phosphat-1-dehydrogenaza khoảng 1500 bp. Mảnh ADN thu được được trộn với mảnh thu được bằng cách tiêu hóa plasmit pIa đã được chuẩn bị ở trên bằng các enzym giới hạn *BamHI* và *XbaI*, và các mảnh đã trộn được nối bằng cách sử dụng ligaza. Sau đó, các tế bào khả biến *Escherichia coli* DH5 $\alpha$  được biến nạp với sản phẩm nối, và thu các thể biến nạp sinh trưởng trên đĩa thạch LB chứa 50  $\mu$ g/mL ampixilin. Các khuẩn lạc thu được được nuôi cấy ở nhiệt độ 37°C qua đêm trong môi trường lỏng LB chứa 50  $\mu$ g/mL ampixilin, và plasmit này được đặt tên là pIaz.

#### Ví dụ 10

##### Chuẩn bị plasmit pMWGKC

Tiến hành khuếch đại bằng phương pháp PCR bằng cách sử dụng pBRgapP làm khuôn và sử dụng CCGCTCGAGCATATGCTGTCGCAATGATTGACACG (SEQ ID NO: 44) và GCTATTCCATATGCAGGGTTATTGTCTCATGAGC (SEQ ID NO: 45), và mảnh ADN thu được được phosphoryl hóa bằng cách sử dụng T4 Polynucleotit kinaza (Takara), kết quả là, thu được mảnh AND chứa gen khởi đầu GAPDH. Ngoài ra, plasmit pMW119 (Số nộp lưu ngân hàng gen AB005476) được xử lý bằng enzym giới hạn *NdeI*, và mảnh ADN thu được được thực hiện xử lý làm cùn đầu bằng KOD cộng với ADN polymeraza

(Takara), kết quả là, thu được mảnh ADN chứa gốc sao chép của pMW119 thu được. Mảnh ADN chứa gen khởi đầu GAPDH và mảnh ADN chứa gốc sao chép của pMW119 được trộn, và các mảnh đã trộn được nối bằng cách sử dụng ligaza. Sau đó, các tế bào khả biến *Escherichia coli* DH5 $\alpha$  được biến nạp với sản phẩm nối, và thu các thể biến nạp sinh trưởng trên đĩa thạch LB chứa 50  $\mu$ g/mL ampicillin. Các khuẩn lạc thu được được nuôi cấy ở nhiệt độ 37°C qua đêm trong môi trường lỏng LB chứa 50  $\mu$ g/mL ampicillin, và plasmid pMWG được thu hồi từ tế bào vi khuẩn thu được.

Để thu được gen kháng cloramphenicol, tiến hành khuếch đại bằng phương pháp PCR bằng cách sử dụng pTH18cs1 (Số nộp lưu ngân hàng genAB019610) làm khuôn và sử dụng TCGGCACGTAAGAGGTTCC (SEQ ID NO: 46) và CGGGTCGAATTGCTTCG (SEQ ID NO: 47), và mảnh ADN thu được được phosphoryl hóa bằng cách sử dụng T4 Polynucleotid kinase (Takara), kết quả là, thu được mảnh ADN chứa gen kháng cloramphenicol. Ngoài ra, tiến hành khuếch đại bằng phương pháp PCR bằng cách sử dụng pMWG làm khuôn và sử dụng CTAGATCTGACAGTAAGACGGGTAAGCC (SEQ ID NO: 48) và CTAGATCTCAGGGTTATTGTCTCATGAGC (SEQ ID NO: 49). Mảnh ADN thu được được trộn với mảnh ADN chứa gen kháng cloramphenicol, và các mảnh đã trộn được nối bằng cách sử dụng ligaza. Sau đó, các tế bào khả biến *Escherichia coli* DH5 $\alpha$  được biến nạp với sản phẩm nối, và thu các thể biến nạp sinh trưởng trên đĩa thạch LB chứa 25  $\mu$ g/mL cloramphenicol. Các khuẩn lạc thu được được nuôi cấy ở nhiệt độ 37°C qua đêm trong môi trường lỏng LB chứa 25  $\mu$ g/mL cloramphenicol, và plasmid thu được được đặt tên là pMWGC.

Tiến hành khuếch đại bằng phương pháp PCR bằng cách sử dụng gen pMWGC làm khuôn và sử dụng CCTTGTTAAAGGCTTAAGATCTCCAGTGGACAAACTATGCC (SEQ ID NO: 50) và GGCATAGTTGTCCACTGGAAGATCTAAAGCCTTAACCAAAGG (SEQ ID NO: 51). Sau đó, các tế bào khả biến *Escherichia coli* DH5 $\alpha$  được biến nạp với mảnh ADN thu được, và thu các thể biến nạp sinh trưởng trên đĩa thạch LB chứa 25  $\mu$ g/mL cloramphenicol. Các khuẩn lạc thu được được nuôi cấy ở nhiệt độ 37°C qua đêm trong môi trường lỏng LB chứa 25  $\mu$ g/mL cloramphenicol, và plasmid pMWGKC được thu hồi từ tế bào vi khuẩn thu được.

#### Ví dụ 11

Tạo cấu trúc plasmid biểu hiện cho Malat Thiokinaza có nguồn gốc từ *Methylobacterium extorquens* IAM12632

*Methylobacterium extorquens* IAM 12632 được mua từ IAM Culture Collection, Institute of Molecular and Cellular Biosciences, the University of Tokyo. IAM 12632 được nuôi cấy trong môi trường (môi trường số: 352, NBRC), và ADN nhiễm sắc thể thu được từ đó bằng cách sử dụng bộ kit DNeasy Blood & Tissue Kit (QIAGEN).

PCR được tiến hành bằng cách sử dụng ADN nhiễm sắc thể của *Methylobacterium extorquens* IAM 12632 làm khuôn và sử dụng AAAAGGCGGAATTCACAAAAAGGATAAAACAATGGACGTTACGAGTACCAA GCC (SEQ ID NO: 52) và CATGCCTGCAGGTCGACTCTAGAGGCGAGGTTCTTTCCGGACTC (SEQ ID NO: 53) làm các đoạn mồi, kết quả là, thu được mảnh malat thiokinaza. Ngoài ra, PCR được tiến hành bằng cách sử dụng ADN nhiễm sắc thể của *Methylobacterium extorquens* làm khuôn và sử dụng

GGATCCTCTAGACTGGTCCAATATGAGCTTCACCCTGATCCAGCAG (SEQ ID NO: 54) và GGCATGCAAGCTTTACTTTCCGCCATCGCGTC (SEQ ID NO: 55)

làm các đoạn mồi, kết quả là, thu được mảnh malyl-CoA lyaza. Mảnh malat thiokinaza và mảnh malyl-CoA lyaza của *Methylobacterium extorquens* được nối với pMWGKC, và plasmit thu được được đặt tên là pMWGKC\_mtk(Mex)\_mcl.

pMWGKC\_mtk(Mex)\_mcl chứa trình tự bazơ của gen mcl (SEQ ID NO: 66), trình tự bazơ của gen mtkA (SEQ ID NO: 67), và trình tự bazơ của gen mtkB (SEQ ID NO: 68) có nguồn gốc từ *Methylobacterium extorquens*. Trình tự axit amin của mcl, mtkA, và mtkB có nguồn gốc từ *Methylobacterium extorquens* được thể hiện trong SEQ ID NO: 69, SEQ ID NO: 70, và SEQ ID NO: 71, một cách tương ứng.

#### Ví dụ 12

Tạo cấu trúc plasmit biểu hiện cho Malat Thiokinaza có nguồn gốc từ *Hypomicrobium methylovorum* NBRC 14180

*Hypomicrobium methylovorum* NBRC 14180 được mua từ NBRC (Biological Resource Center, Biotechnology Field, National Institute of Technology and Evaluation). NBRC 14180 được nuôi cấy trong môi trường (môi trường số: 233, NBRC), và ADN nhiễm sắc thể thu được từ đó bằng cách sử dụng bộ kit DNeasy Blood & Tissue Kit (QIAGEN).

Đoạn mồi (SEQ ID NO: 56) được chuẩn bị dựa trên trình tự ADN của vùng đầu tận

N của serin-glyoxylat aminotransferaza của NBRC 14180 (Số nộp lưu ngân hàng gen D13739).

Dựa trên trình tự axit amin của phosphoenolpyruvat carboxylaza của *Hyphomicrobium denitrificans*

(<http://www.ncbi.nlm.nih.gov/nuccore/300021538?from=3218417&to=3221272&report=gbw> ithparts), độ tương đồng trình tự được so sánh bằng cách sử dụng công cụ tìm kiếm độ tương đồng của NCBI (National Center for Biotechnology Information) ([http://blast.ncbi.nlm.nih.gov/Blast.cgi?PROGRAM=blastp&BLAST\\_PROGRAMS=blastp&PAGE\\_TYPE=BlastSearch&SHOW\\_DEFAULTS=on&LINK\\_LOC=blasthome](http://blast.ncbi.nlm.nih.gov/Blast.cgi?PROGRAM=blastp&BLAST_PROGRAMS=blastp&PAGE_TYPE=BlastSearch&SHOW_DEFAULTS=on&LINK_LOC=blasthome)).

Đoạn mồi (SEQ ID NO: 57) được chuẩn bị dựa trên trình tự axit amin có độ tương đồng cao.

PCR được tiến hành bằng cách sử dụng các đoạn mồi của SEQ ID NO:56 và SEQ ID NO:57 thu được như được mô tả ở trên và ADN nhiễm sắc thể thu được ở trên làm khuôn. Mảnh thu được được nối với ADN chuẩn bị được bằng cách tiêu hóa pUC19 bằng *Sma*I, nhờ đó một phần của gen mã hóa phosphoenolpyruvat carboxylaza được tách dòng từ gen mã hóa serin-glyoxylat aminotransferaza có nguồn gốc từ *Hyphomicrobium methylovorum* NBRC 14180. Sau khi xác nhận trình tự của dòng vô tính, các đoạn mồi (SEQ ID NO: 58 và 59) được chuẩn bị.

PCR được tiến hành bằng cách sử dụng ADN nhiễm sắc thể của *Hyphomicrobium methylovorum* NBRC 14180 làm khuôn và các đoạn mồi của SEQ ID NO: 58 và 59 thu được như được mô tả ở trên, và ADN thu được được tiêu hóa bằng *Eco*RI và *Xba*I, kết quả là, thu được mảnh ADN chứa các gen mcl và mtk của *Hyphomicrobium*. Ngoài ra, plasmid pMWGKC\_mtk(Mex)\_mcl đã được mô tả ở trên được tiêu hóa, và mảnh khoảng 4,3 kb chứa mcl được thu hồi. Mảnh thu được này được nối với mảnh ADN chứa các gen mcl và mtk của *Hyphomicrobium*. Plasmid thu được được đặt tên là pMWGKC\_mcl(Hme)\_mtk(Hme)\_mcl.

pMWGKC\_mcl(Hme)\_mtk(Hme)\_mcl chứa trình tự bazơ của gen mcl (SEQ ID NO: 60), trình tự bazơ của gen mtkA (SEQ ID NO: 61), và trình tự bazơ của gen mtkB (SEQ ID NO: 62) có nguồn gốc từ *Hyphomicrobium methylovorum*. Trình tự axit amin của mcl, mtkA, và mtkB có nguồn gốc từ *Hyphomicrobium methylovorum* là như được thể hiện trong SEQ ID NO: 72, SEQ ID NO: 73 và SEQ ID NO: 74, một cách tương ứng.

Ví dụ 13

Tạo cấu trúc plasmit biểu hiện cho Malat Thiokinaza có nguồn gốc từ *Rhizobium* sp. NGR234

Dựa trên thông tin trình tự axit amin của cấu trúc siêu phân tử beta malat thiokinaza (Sô nopol lưu ngân hàng gen ACP26381) và cấu trúc siêu phân tử alpha succinyl-CoA synthetaza (Sô nopol lưu ngân hàng gen ACP26382) của *Rhizobium* sp. NGR234, chiều dài đầy đủ của gen mã hóa malat thiokinaza được tổng hợp (SEQ ID NO: 63). Gen thu được được tiêu hóa bằng *NdeI* và *XbaI*, và được nối với pMWGKC đã được tiêu hóa bằng *NdeI* và *XbaI*. Plasmit thu được được đặt tên là pMWGKC\_mtk(Rhi). Ngoài ra, PCR được tiến hành bằng cách sử dụng ADN nhiễm sắc thể của *Methylobacterium extorquens* làm khuôn và các đoạn mồi của SEQ ID NO: 64 và 65, và ADN thu được được tiêu hóa bằng *XbaI* và *HindIII*. Mảnh thu được được thực hiện xử lý làm cùn đầu, và được nối với gen thu được bằng cách tiêu hóa MWGKC\_mtk(Rhi) bằng *XbaI* và thực hiện xử lý làm cùn đầu đối với mảnh thu được và xử lý phosphoryl hóa. Plasmit thu được trong đó gen mtk và gen mcl được đưa vào theo cùng hướng được đặt tên là pMWGKC\_mtk(Rhi)\_mcl. Trình tự axit amin của mtkA và mtkB có nguồn gốc từ *Rhizobium* sp. là như được thể hiện trong SEQ ID NO: 75 và SEQ ID NO: 76, một cách tương ứng.

Ví dụ 14

Chuẩn bị biến thể sản xuất rượu isopropylic được đưa vào Malat Thiokinaza và Malyl-CoA Lyaza

Các tế bào khả biến của biến thể *Escherichia coli* B (atoDAB, Δpgi\_gntR\_gnd\_ldhA\_aceBA\_glcB\_fumAC) chuẩn bị được trong Ví dụ 8 được biến nạp với plasmit pIaz chuẩn bị được trong Ví dụ 9 và mỗi trong số các plasmit này biểu hiện mtk và mcl. Các thể biến nạp sinh trưởng trên đĩa thạch LB chứa 25 mg/L cloramphenicol và 100 mg/L ampicillin được đặt tên như sau (xem Bảng 2).

Số biến thể trong Bảng 2 biểu thị biến thể được điều chế bằng cách đưa pIaz và mỗi trong số các plasmit được mô tả trong Bảng 2 vào biến thể *Escherichia coli* B (atoDAB, Δpgi\_gntR\_gnd\_ldhA\_aceBA\_glcB\_fumAC).

Bảng 2

Số biến thể	Plasmit	Nguồn gốc mtk	Nguồn gốc mcl
MT-1	pMWGKC_mtk(Mex)_mcl	Methylobacterium extorquens	Methylobacterium extorquens
MT-2	pMWGKC_mcl(Hme)_mtk(Hme)_mcl	Hyphomicrobium methylovorum	Methylobacterium extorquens, Hyphomicrobium methylovorum
MT-3	pMWGKC_mtk(Rhi)_mcl	Rhizobium sp. NGR234	Methylobacterium extorquens
Đối chứng	pMWGKC	Không có	Không có

## Ví dụ 15

Xác nhận việc đưa CO<sub>2</sub> được gắn nhãn <sup>13</sup>C vào rượu isopropyllic

100 ml môi trường LB lỏng được bổ sung vào bình Erlenmeyer dung tích 500 ml được lắp van đổi hướng, và được vô trùng bằng cách hấp ở nhiệt độ 121°C trong 20 phút. Ampixilin được bổ sung vào môi trường đã được vô trùng để có nồng độ cuối cùng bằng 50 µg/ml, và cloramphenicol được bổ sung để có nồng độ cuối cùng bằng 34 µg/ml. Tiếp theo, một vòng platin của mỗi trong số các biến thể được thể hiện trong Bảng 2 có tiến trình cố định cacbon dioxit được đưa vào đó được cấy vào môi trường này, và được nuôi cấy ở nhiệt độ 30°C và 130 vòng/phút trong khoảng 20 giờ. Chỉ có các tế bào vi khuẩn được tách từ chất lỏng nuôi cấy bằng cách ly tâm (5000 G trong 15 phút), và sau đó các tế bào vi khuẩn đã tách được tái tạo huyền phù trong 10 mL nước muối sinh lý, nhờ đó thu được huyền phù vi khuẩn tương ứng.

Trong bình Erlenmeyer dung tích 100mL, 30 mL môi trường tối thiểu M9 chứa 100 mM natri hydro cacbonat được gắn nhãn <sup>13</sup>C, 50 g/L glucoza, 34 µg/ml cloramphenicol, và 50 µg/ml ampixilin được điều chế. 3 mL huyền phù vi khuẩn thu được ở trên được cấy vào môi trường này, và được nuôi cấy ở nhiệt độ 30°C, 100 vòng/phút trong 24 giờ, trong khi bình được bít kín bằng nút silicon. Chất lỏng nuôi cấy thu được được lọc trong điều kiện áp suất giảm sử dụng thiết bị lọc màng PTFE ưa nước (H050A047A, cỡ lỗ: 0,5 µm; đường kính: 47 mm; do ADVANTEC sản xuất) đặt trong thiết bị giữ bộ lọc để lọc trong điều kiện áp suất giảm (KGS-47; do ADVANTEC sản xuất), nhờ đó tách tế bào vi khuẩn từ dịch nổi bề mặt nuôi cấy.

Thiết bị lọc màng mà tế bào vi khuẩn được gắn vào đó được ngâm ngay trong 1,6

mL metanol (loại LC/MS) đã được làm lạnh xuống nhiệt độ -20°C và được khuấy, và màng được để yên ở nhiệt độ -20°C trong 1 giờ. Sau đó, 1,6 mL cloroform (loại HPLC) đã được làm lạnh xuống nhiệt độ -20°C và 0,64 mL nước tinh khiết đã được làm lạnh xuống nhiệt độ 4°C được bổ sung vào đó, sau đó là trộn-lắc xoáy trong 30 giây. Tiếp theo, dịch nồi bè mặt được thu gom bằng cách phân tách bằng ly tâm ở nhiệt độ 4°C, nhờ đó thu được chất chiết metanol của tế bào vi khuẩn. Chất chiết thu được được phân tích bằng LC-MS/MS và sự phân bố khối lượng phân tử của axetyl-CoA trong tế bào vi khuẩn được xác định. Các kết quả được thể hiện trong Bảng 3. Sự phân bố khối lượng phân tử của axetyl-CoA được tính toán bằng cách xác định tỷ lệ của các đỉnh của phép đo phổ khối ở khối lượng phân tử bằng 808, 809, và 810 là M+0, M+1, và M+2, một cách tương ứng.

Từ dịch nồi bè mặt nuôi cấy thu được ở trên, rượu và axeton được thu hồi một cách riêng rẽ với nồng độ cao bằng cách chưng cất, và được sử dụng làm nguyên liệu thô để xác định sự phân bố khối lượng phân tử. Sự phân bố khối lượng phân tử của rượu isopropyllic và etanol trong dịch nồi bè mặt nuôi cấy được phân tích bằng GC-MS. Các kết quả được thể hiện trong Bảng 4 và 5. Sự phân bố khối lượng phân tử của rượu isopropyllic (IPA) (Bảng 4) được tính toán bằng cách xác định tỷ lệ của các đỉnh của phép đo phổ khối ở khối lượng phân tử bằng 117, 118, và 119 là M+0, M+1, và M+2, một cách tương ứng. Sự phân bố khối lượng phân tử của etanol (EtOH) (Bảng 5) được tính toán bằng cách xác định tỷ lệ của các đỉnh của phép đo phổ khối ở khối lượng phân tử bằng 103, 104, và 105 là M+0, M+1, và M+2, một cách tương ứng.

Bảng 3

Tên mẫu	M+0	M+1	M+2
MT-1	0,80	0,14	0,06
MT-2	0,76	0,18	0,06
Đối chứng	0,81	0,13	0,06

Bảng 4

Tên mẫu	M+0	M+1	M+2
MT-1	$0,87 \pm 0,01$	$0,10 \pm 0,01$	$0,03 \pm 0,00$
MT-2	$0,84 \pm 0,00$	$0,12 \pm 0,00$	$0,04 \pm 0,00$
IPA có sẵn trên thị trường	$0,87 \pm 0,00$	$0,10 \pm 0,00$	$0,04 \pm 0,00$

Bảng 5

Tên mẫu	M+0	M+1	M+2
MT-1	$0,87 \pm 0,00$	$0,09 \pm 0,00$	$0,04 \pm 0,00$
MT-2	$0,85 \pm 0,01$	$0,11 \pm 0,01$	$0,04 \pm 0,00$
EtOH có sẵn trên thị trường	$0,88 \pm 0,00$	$0,09 \pm 0,00$	$0,03 \pm 0,00$

trường		
--------	--	--

Như được thể hiện trong Bảng 3, biến thể MT-1 và biến thể MT-2 có tỷ lệ cao của axetyl-CoA mà  $^{13}\text{C}$  không được kết hợp vào đó (M+0) và tỷ lệ cao của axetyl-CoA mà một nguyên tử  $^{13}\text{C}$  được kết hợp vào đó (M+1), so với chủng đối chứng. Cụ thể, tỷ lệ của M+1 là cao trong biến thể MT-2. Từ kết quả này, đã phát hiện thấy rằng cacbon có nguồn gốc từ cacbonat đã được gắn nhãn  $^{13}\text{C}$  được kết hợp vào axetyl-CoA trong biến thể MT-1 và biến thể MT-2, và hiệu quả này là đặc biệt rõ rệt đối với biến thể MT-2.

Hơn nữa, biến thể MT-2 có tỷ lệ thấp của rượu isopropyllic hoặc etanol mà  $^{13}\text{C}$  không được kết hợp vào đó (M+0) và tỷ lệ cao của rượu isopropyllic hoặc etanol mà một nguyên tử  $^{13}\text{C}$  được kết hợp vào đó (M+1), so với rượu isopropyllic hoặc etanol có sẵn trên thị trường (Bảng 4 và Bảng 5). Từ kết quả này, đã phát hiện thấy rằng cacbon có nguồn gốc từ cacbonat đã được gắn nhãn  $^{13}\text{C}$  cũng được kết hợp vào rượu isopropyllic hoặc etanol trong biến thể MT-2.

#### Ví dụ 16

##### Xác định hoạt tính sản xuất glyoxylat sử dụng malat làm cơ chất

Các biến thể biểu hiện mtk và mcl đã được mô tả ở trên được nuôi cấy trong 2 mL môi trường LB chứa 25  $\mu\text{g}/\text{ml}$  cloramphenicol và 100  $\mu\text{g}/\text{ml}$  ampicillin. Dung dịch enzym khô được chiết theo phương pháp sau. Tức là, tế bào vi khuẩn trong pha sinh trưởng hàm số mũ được thu gom bằng cách ly tâm, và được rửa bằng đệm MOPS-K 200 mM (pH 7,7) và sau đó được hòa tan trong đệm MOPS-K, sau đó là khuấy âm. Dịch nổi bề mặt thu được bởi sự phân tách bằng ly tâm (12.000 vòng/phút trong 2 phút) được sử dụng làm dung dịch enzym khô.

Nồng độ protein trong dung dịch enzym khô được xác định dựa trên đường cong hiệu chuẩn được tạo ra với các giá trị OD ở 595 nm được xác định bằng thiết bị đọc đĩa UV (Molecular Devices, SpectraMax 190) sử dụng dung dịch enzym khô và nồng độ đã biết của BSA để tạo ra đường cong hiệu chuẩn, mỗi trong số này đã được cho phản ứng với chất phản ứng Quick Start Bradford Dye Reagent (do Bio-Rad Laboratories, Inc. sản xuất) và được hiện màu.

Hoạt tính enzym trong dung dịch được xác định theo quy trình sau. Cụ thể, đệm MOPS-K (pH 7,7), phenylhydrazin 3,5 mM, MgCl<sub>2</sub> 10 mM, ATP 3 mM, CoA 0,3 mM, và 10% theo khối lượng dung dịch enzym khô được trộn trong vi lõi và hỗn hợp được ủ ở nhiệt độ trong phòng trong 30 phút. Để làm giá trị nền, sự thay đổi của giá trị OD ở 324 nm theo

thời gian được xác định sử dụng thiết bị đọc đĩa UV. Dung dịch natri (S)-L-malat (pH 7,5) được bổ sung vào hỗn hợp này để có nồng độ cuối cùng bằng 5 mM, và sự thay đổi của giá trị OD ở 324 nm theo thời gian được xác định. Để tạo ra đường cong hiệu chuẩn đối với glyoxylat, glyoxylat được bổ sung vào đệm nêu trên và hỗn hợp được để yên trong 5 phút ở nhiệt độ trong phòng và sau đó các giá trị OD ở 324 nm được xác định. Đối với giá trị của hoạt tính enzym, độ dốc giá trị nền được trừ khỏi độ dốc của giá trị OD ở 324 nm sau khi bổ sung natri (S)-L-malat, và giá trị thu được được chuyển hóa thành tốc độ tiêu thụ glyoxylat dựa trên đường cong hiệu chuẩn đối với glyoxylat. Hoạt tính enzym cho mỗi protein được xác định bằng cách chia tốc độ tiêu thụ glyoxylat cho nồng độ protein (Bảng 6).

Như được thể hiện trong Bảng 6, xác nhận được rằng tất cả các biến thể MT-1, MT-2, và MT-3 đều có hoạt tính enzym. Đã phát hiện thấy rằng biến thể MT-2 và biến thể MT-3 có hoạt tính enzym cao hơn so với biến thể MT-1. Trái lại, không có hoạt tính enzym được thể hiện trong mẫu đối chứng.

Bảng 6

Tên mẫu	Hoạt tính (nmol/phút/mg protein)
MT-1	2 ± 0
MT-2	29 ± 0
MT-3	23 ± 0
Đối chứng	0 ± 0

Ví dụ 17

Số lượng tế bào sống sót và tỷ lệ giữ được plasmit ở biến thể được đưa vào Malat Thiokinaza và Metyl-CoA lyaza

Trong bình Erlenmeyer dung tích 100mL, 30 mL môi trường tối thiểu M9 hoặc môi trường LB mỗi môi trường chứa 50 g/L glucoza, 30 µg/ml cloramphenicol, và 100 µg/ml ampicillin được điều chế. Mỗi trong số các biến thể nêu trên biểu hiện mtk và mcl được cấy vào môi trường tối thiểu M9 hoặc môi trường LB và được nuôi cấy ở nhiệt độ 30°C, 100 vòng/phút trong 24 giờ, trong khi bình được bít kín bằng nút silicon. Chất lỏng nuôi cấy được pha loãng bằng nước, và 100 µL chất lỏng nuôi cấy đã được pha loãng được cấp vào đĩa LB không có chất kháng sinh. Tổng số lượng tế bào sống sót được đếm. Ngoài ra, chất lỏng nuôi cấy đã được pha loãng được cấp vào đĩa LB chứa 30 µg/ml cloramphenicol, và đếm số lượng tế bào vi khuẩn giữ lại plasmit chứa mtk (smt) và mcl.

Như được thể hiện trong Bảng 7, đã phát hiện thấy rằng mỗi trong số biến thể MT-

2 và biến thể MT-3 có số lượng tế bào sống sót cao hơn trong chất lỏng nuôi cấy và sinh trưởng tốt hơn, so với biến thể MT-1. Các plasmit chứa mtk và mcl được duy trì ổn định trong tất cả các biến thể MT-1, MT-2, và MT-3.

Bảng 7

Tên mẫu	Môi trường	Tổng số lượng tế bào sống sót	Số lượng các tế bào có plasmit mtk-mcl
MT-1	M9	$1,3 \times 10^6$ /mL	$0,8 \times 10^6$ /mL
MT-2	M9	$6,8 \times 10^8$ /mL	$9,1 \times 10^8$ /mL
MT-3	LB	$2,6 \times 10^9$ /mL	$9,2 \times 10^9$ /mL

Ví dụ 18

Tạo cấu trúc plasmit biểu hiện cho malat thiokinaza có nguồn gốc từ *Granulibacter bethesdensis* BAA-1260

ADN hệ gen của *Granulibacter bethesdensis* BAA-1260D-5 được mua từ ATCC.

PCR được tiến hành bằng cách sử dụng ADN hệ gen của *Granulibacter bethesdensis* làm khuôn và sử dụng CCCTGAGGAGGGTCCAAGAGATGGACGTCCATGAGTACCA (SEQ ID NO: 77) và GCTCTAGATCAGGCTGCCTGACGCCA (SEQ ID NO: 78) làm các đoạn mồi, kết quả là, thu được mảnh mtk của *Granulibacter*. Ngoài ra, PCR được tiến hành bằng cách sử dụng pMWGKC\_mcl(Hme)\_mtk(Hme)\_mcl chuẩn bị được trong Ví dụ 12 làm khuôn và sử dụng GGAATTCACAAAAAGGATAAAA (SEQ ID NO: 79) và TGGTACTCATGGACGTCCATCTCTGGACCCTCCTCAGGG (SEQ ID NO: 80) làm các đoạn mồi, kết quả là, thu được mảnh mcl của *Hypomicrobium*. PCR được tiến hành bằng cách sử dụng mảnh mtk của *Granulibacter* thu được và mảnh mcl của *Hypomicrobium* làm khuôn và các đoạn mồi của SEQ ID NO: 79 và SEQ ID NO: 78, nhờ đó thu được mảnh ADN chứa mcl từ *Hypomicrobium* và gen mảnh mtk từ *Granulibacter*. Mảnh ADN thu được được tiêu hóa bằng các enzym giới hạn *EcoRI* và *XbaI*, và được nối với plasmit pMWGKC được điều chế trong Ví dụ 10. Plasmit thu được được đặt tên là pMWGKC\_mcl(Hme)\_mtk(Gb).

pMWGKC\_mcl(Hme)\_mtk(Gb) chứa gen mtkA (SEQ ID NO: 81) và gen mtkB (SEQ ID NO: 82) có nguồn gốc từ *Granulibacter bethesdensis*. Trình tự axit amin của mtkA và mtkB có nguồn gốc từ *Granulibacter bethesdensis* được thể hiện trong SEQ ID NO: 107 và SEQ ID NO: 108, một cách tương ứng.

Ví dụ 19

Tạo cấu trúc plasmit biểu hiện cho malat thiokinaza có nguồn gốc từ *Hyphomicrobium denitrificans* DSM 1869

*Hyphomicrobium denitrificans* DSM 1869 được mua từ DSMZ (Deutsche Sammlung von Mikroorganismen und Zellkulturen GmbH, Germany). DSM1869 được nuôi cấy trong môi trường (môi trường số: 803, DSMZ), và ADN nhiễm sắc thể thu được từ đó bằng cách sử dụng bộ kit DNeasy Blood & Tissue Kit (QIAGEN).

PCR được tiến hành bằng cách sử dụng ADN nhiễm sắc thể của *Hyphomicrobium denitrificans* làm khuôn và sử dụng ACCAGGGAATTCACAAAAAGGATAAAACAATGAGCTATACCCTCTACCCAACC GTAAGC (SEQ ID NO: 83) và GCCCACTCTAGATCAGGCAACTTTTCTGCTTGCCGAGAAC (SEQ ID NO: 84) làm các đoạn mồi, kết quả là, thu được mảnh mcl-mtk của *Hyphomicrobium*. Mảnh thu được được nối với plasmit pMWGKC\_mcl(Hme)\_mtk(Hme)\_mcl được điều chế trong Ví dụ 12. Plasmit thu được được đặt tên là pMWGKC\_mcl(Hde)\_mtk(Hde)\_mcl.

pMWGKC\_mcl(Hde)\_mtk(Hde)\_mcl chứa trình tự bazơ của gen mcl (SEQ ID NO: 85), trình tự bazơ của gen mtkA (SEQ ID NO: 86), và trình tự bazơ của gen mtkB (SEQ ID NO: 87) có nguồn gốc từ *Hyphomicrobium denitrificans*. Trình tự axit amin của mcl, mtkA, và mtkB có nguồn gốc từ *Hyphomicrobium denitrificans* được thể hiện trong SEQ ID NO: 109, SEQ ID NO: 110, và SEQ ID NO: 111, một cách tương ứng.

#### Ví dụ 20

Tạo cấu trúc plasmit biểu hiện cho malat thiokinaza có nguồn gốc từ *Nitrosomonas europaea* NBRC 14298

*Nitrosomonas europaea* NBRC 14298 được mua từ NBRC (Biological Resource Center, NITE). NBRC 14298 được nuôi cấy trong môi trường (môi trường số: 829, NBRC), và ADN nhiễm sắc thể thu được từ đó bằng cách sử dụng bộ kit DNeasy Blood & Tissue Kit (QIAGEN).

PCR được tiến hành bằng cách sử dụng ADN nhiễm sắc thể của *Nitrosomonas europaea* làm khuôn và sử dụng GCGGGGGAATTCACAAAAAGGATAAAACAATGAGTCATACCCTGTATGAACCA AAACACC (SEQ ID NO: 88) và CAGGCGTCTAGATTAGAGTCCGCCAGAACTTTGCGACG (SEQ ID NO: 89) làm các đoạn mồi, kết quả là, thu được mảnh mtk của *Nitrosomonas europaea*. Mảnh thu được

được nối với plasmit pMWGKC\_mcl(Hme)\_mtk(Hme)\_mcl chuẩn bị được trong Ví dụ 12. Plasmit thu được được đặt tên là pMWGKC\_mcl(Ne)\_mtk(Ne)\_mcl.

pMWGKC\_mcl(Ne)\_mtk(Ne)\_mcl chứa trình tự bazơ của gen mcl (SEQ ID NO: 90), trình tự bazơ của gen mtkA (SEQ ID NO: 91), và trình tự bazơ của gen mtkB (SEQ ID NO: 92) có nguồn gốc từ *Nitrosomonas europaea*. Trình tự axit amin của mcl, mtkA, và mtkB có nguồn gốc từ *Nitrosomonas europaea* được thể hiện trong SEQ ID NO: 112, SEQ ID NO: 113, và SEQ ID NO: 114, một cách tương ứng.

#### Ví dụ 21

Tạo cấu trúc plasmit biểu hiện cho malat thiokinaza có nguồn gốc từ *Methylococcus capsulatus* ATCC 33009

ADN hệ gen của *Methylococcus capsulatus* ATCC 33009D-5 được mua từ ATCC.

PCR được tiến hành bằng cách sử dụng ADN nhiễm sắc thể của *Methylococcus capsulatus* làm khuôn và sử dụng GGAATTCCATATGGCTGTTAAAATCGTCTAC (SEQ ID NO: 93) và GCTCTAGATCTAGAACATCTGATTCCGTGTT (SEQ ID NO: 94) làm các đoạn mồi, kết quả là, thu được mảnh mcl-mtk của *Methylococcus*. Mảnh thu được được nối với plasmit pMWGKC chuẩn bị được trong Ví dụ 10, hoặc được nối với plasmit pMWGC chuẩn bị được trong Ví dụ 10. Plasmit thu được được đặt tên là pMWGKC\_mcl(Mc)\_mtk(Mc) or pMWGC\_mcl(Mc)\_mtk(Mc).

Mỗi trong số pMWGKC\_mcl(Mc)\_mtk(Mc) và pMWGC\_mcl(Mc)\_mtk(Mc) chứa trình tự bazơ của gen mcl (SEQ ID NO: 95), trình tự bazơ của gen mtkA (SEQ ID NO: 96), và trình tự bazơ của gen mtkB (SEQ ID NO: 97) có nguồn gốc từ *Methylococcus capsulatus*. Trình tự axit amin của mcl, mtkA, và mtkB có nguồn gốc từ *Methylococcus capsulatus* được thể hiện trong SEQ ID NO: 115, SEQ ID NO: 116, và SEQ ID NO: 117, một cách tương ứng.

#### Ví dụ 22

Tạo cấu trúc plasmit biểu hiện cho malat thiokinaza có nguồn gốc từ Gamma pProteobacterium chưa được nuôi cấy (GenBank: AP011641.1)

Để thu được mtk có nguồn gốc từ gamma proteobacterium chưa được nuôi cấy, mtk có nguồn gốc từ gamma proteobacterium được thiết kế dựa trên trình tự axit amin của GenBank: AP011641.1, và mảnh ADN (SEQ ID NO: 98) sau được điều chế bởi quy trình tổng hợp ADN.

PCR được tiến hành bằng cách sử dụng mảnh ADN đã được điều chế làm khuôn và sử dụng GTTGAACGAGGAGATCGTCATGAACATTACGAATATCA (SEQ ID NO: 99) và GCTCTAGATTAGCCAGAAACTGCAGATCC (SEQ ID NO: 100) làm các đoạn mồi, kết quả là, thu được mảnh mtk của gamma proteobacterium. Ngoài ra, PCR được tiến hành bằng cách sử dụng pMWGKC\_mcl(Mc)\_mtk(Mc) hoặc pMWGC\_mcl(Mc)\_mtk(Mc) được điều chế trong Ví dụ 21 làm khuôn và sử dụng các đoạn mồi của SEQ ID NO: 93 và TGATATTCTGAATGTTCATGGACGATCTCCTCGTTAAC (SEQ ID NO: 101), nhờ đó thu được mảnh mcl của *Methylococcus*. Ngoài ra, PCR được tiến hành bằng cách sử dụng mảnh mtk gamma proteobacterium thu được và mảnh mcl *Methylococcus* thu được làm khuôn và sử dụng các đoạn mồi của SEQ ID NO: 93 và SEQ ID NO: 100, nhờ đó thu được mảnh ADN chứa gen mcl của *Methylococcus* và gen mảnh mtk của gamma proteobacterium. Mảnh ADN thu được được nối với plasmid pMWGKC được điều chế trong Ví dụ 10. Plasmid thu được được đặt tên là pMWGKC\_mcl(Mc)\_mtk(gamma).

pMWGKC\_mcl(Mc)\_mtk(gamma) chứa gen mtkA (SEQ ID NO: 102) và gen mtkB (SEQ ID NO: 103) có nguồn gốc từ gamma proteobacterium chưa được nuôi cấy. Trình tự axit amin của mtkA và mtkB có nguồn gốc từ gamma proteobacterium chưa được nuôi cấy được thể hiện trong SEQ ID NO: 118 và SEQ ID NO: 119, một cách tương ứng.

#### Ví dụ 23

Chuẩn bị biến thể được đưa vào malat thiokinaza và malyl-CoA lyaza, sản xuất rượu isopropyllic, được tăng cường hệ gen atoD, được làm khuyết gen pgi, được làm khuyết gen gntR, được làm khuyết gen gnd, được làm khuyết gen ldhA, được làm khuyết gen fumAC, được làm khuyết gen aceBA, được làm khuyết gen glcB

Các té bào khả biến của biến thể *Escherichia coli* B (atoDAB, Δpgi\_gntR\_gnd\_ldhA\_aceBA\_glcB\_fumAC) chuẩn bị được trong Ví dụ 8 được biến nạp với plasmid pIaz và mỗi trong số các plasmid biểu hiện mtk và mcl được điều chế trong Ví dụ 18 đến 22. Các thẻ biến nạp sinh trưởng trên môi trường thạch LB chứa 25 mg/L cloramphenicol và 100 mg/L ampicillin được đặt tên như sau (xem Bảng 8).

Số biến thể được mô tả trong Bảng 8 biểu thị biến thể được chuẩn bị bằng cách đưa pIaz và mỗi trong số các plasmid được mô tả trong Bảng 8 vào biến thể *Escherichia coli* B (atoDAB, Δpgi\_gntR\_gnd\_ldhA\_aceBA\_glcB\_fumAC).

Bảng 8

Số biến thể	Plasmit	Nguồn gốc mtk	Nguồn gốc mcl
MT-4	pMWGKC_mcl(Hme)_mtk(Gb)	Granulibacter bethesdensis	Hypomicrobium methylovorum
MT-5	pMWGKC_mcl(Hde)_mtk(Hde)_mcl	Hypomicrobium denitrificans	Hypomicrobium denitrificans, Methylobacterium extorquens
MT-6	pMWGKC_mcl(Ne)_mtk(Ne)_mcl	Nitrosomonas europaea	Nitrosomonas europaea, Methylobacterium extorquens
MT-7	pMWGKC_mcl(Mc)_mtk(Mc)	Methylococcus capsulatus	Methylococcus capsulatus
MT-8	pMWGKC_mcl(Mc)_mtk(gamma)	ADN Gamma proteobacterium chưa được nuôi cấy	Methylococcus capsulatus

Ví dụ 24

Xác định hoạt tính sản xuất glyoxylat sử dụng malat làm cơ chất

Theo cách giống như trong Ví dụ 16, hoạt tính enzym cho mỗi protein được xác định (Bảng 9).

Như được thể hiện trong Bảng 9, xác nhận được rằng mỗi trong số các biến thể MT-4 đến MT-8 có hoạt tính enzym, và hoạt tính enzym là cao hơn so với biến thể MT-1. Cụ thể, đã phát hiện thấy rằng biến thể MT-5, biến thể MT-6, biến thể MT-7, và biến thể MT-8 có hoạt tính tương đương hoặc cao hơn so với biến thể MT-2 và biến thể MT-3 được thể hiện trong Ví dụ 16. Trái lại, không phát hiện thấy hoạt tính enzym trong mẫu đối chứng.

Bảng 9

Tên mẫu	Hoạt tính (nmol/phút/mg protein)
MT-4	7,5 ± 0
MT-5	34,0 ± 0
MT-6	54,0 ± 0
MT-7	68,3 ± 0
MT-8	43,4 ± 0
MT-1	2 ± 0
MT-2	29 ± 0
MT-3	23 ± 0
Đối chứng	0 ± 0

Ví dụ 25

Chuẩn bị biến thể được tăng cường hệ gen atoD, được làm khuyết gen aceB

Để tách dòng vùng kẹp bên trình tự bazơ của gen mã hóa malat synthaza (sau đây

trong bản mô tả này đôi khi được viết tắt là "aceB") (1602 bp), bốn loại đoạn mồi oligonucleotit được biểu thị bởi GGAATTCAATTAGCTGTTGCGCATCGATT (SEQ ID NO: 24), GTTATGTGGTGGTCGTGCAGCTCCTCGTCATGG (SEQ ID NO: 104), GAGCTGCACGACCACACATAACTATGGAG (SEQ ID NO: 105), và GGAATTCCAGTTGAACGACGGCGAGCAG (SEQ ID NO: 106) được tổng hợp. Mỗi trong số các đoạn mồi này có vị trí nhận biết *EcoRI* ở phía đầu 5' của nó.

ADN hệ gen của *Escherichia coli* B (accession No. CP000819) được chuẩn bị, và PCR được tiến hành bằng cách sử dụng ADN hệ gen thu được làm khuôn và sử dụng cặp đoạn mồi của SEQ ID NO: 24 và SEQ ID NO: 106, kết quả là, mảnh ADN khoảng 1,0 kb (sau đây trong bản mô tả này đôi khi được gọi là "mảnh aceB-L") được khuếch đại. Ngoài ra, PCR được tiến hành bằng cách sử dụng cặp đoạn mồi của SEQ ID NO: 105 và SEQ ID NO: 106, kết quả là, mảnh ADN khoảng 1,0 kb (sau đây trong bản mô tả này đôi khi được gọi là "mảnh aceB-R") được khuếch đại. Các mảnh ADN này được tách riêng bằng cách điện di trên agarosa, và được thu hồi. PCR được tiến hành bằng cách sử dụng các mảnh aceB-L và aceB-R làm khuôn và sử dụng cặp đoạn mồi của SEQ ID NO: 24 và SEQ ID NO: 108, kết quả là, mảnh ADN khoảng 2,0 kbp (sau đây trong bản mô tả này đôi khi được gọi là "mảnh aceB-LR") được khuếch đại. Mảnh aceB-LR được tách riêng bằng cách điện di trên agarosa, và được thu hồi, được tiêu hóa bằng *EcoRI*, và được trộn với mảnh thu được bằng cách tiêu hóa plasmit nhạy với nhiệt độ pTH18cs1 (Số nộp lưu ngân hàng gen AB019610) bằng *EcoRI* và khử phosphoryl hóa mảnh này. Các mảnh đã trộn được để cho phản ứng bằng cách sử dụng T4 ADN ligaza. Sau đó, các tế bào khả biến *Escherichia coli* DH5 $\alpha$  (do Toyobo Co., Ltd. sản xuất) được biến nạp với sản phẩm nối, và thu các thể biến nạp sinh trưởng trên đĩa thạch LB chứa 10  $\mu$ g/ml cloramphenicol ở nhiệt độ 30°C. Plasmit được thu hồi từ các thể biến nạp thu được, và xác nhận được rằng mảnh aceB-LR được cài xen một cách thích hợp trong pTH18cs1. Plasmit thu được được đặt tên là pTH18cs1-aceB.

Biến thể *Escherichia coli* B::atoDAB chuẩn bị được trong Ví dụ 1 được biến nạp với plasmit pTH18cs1-aceB thu được theo cách như vậy, và được nuôi cấy ở nhiệt độ 30°C qua đêm trên đĩa thạch LB chứa 10  $\mu$ g/ml cloramphenicol, kết quả là, thu được các thể biến nạp. Các thể biến nạp thu được được cấy vào môi trường lỏng LB chứa 10  $\mu$ g/ml cloramphenicol, và được nuôi cấy ở nhiệt độ 30°C qua đêm. Tiếp theo, một phần chất lỏng nuôi cấy được cấp vào đĩa thạch LB chứa 10  $\mu$ g/ml cloramphenicol, kết quả là, thu được các khuẩn lạc sinh trưởng ở nhiệt độ 42°C. Các khuẩn lạc thu được được nuôi cấy ở nhiệt độ 30°C trong 24 giờ trong môi trường lỏng LB, và được cấp vào đĩa thạch LB, kết quả là,

thu được các khuẩn lạc sinh trưởng ở nhiệt độ 42°C.

Từ các khuẩn lạc xuất hiện, 100 khuẩn lạc được chọn ngẫu nhiên, và mỗi khuẩn lạc được sinh trưởng riêng rẽ trên đĩa thạch LB và đĩa thạch LB chứa 10 µg/ml cloramphenicol, và các dòng vô tính nhạy với cloramphenicol được chọn. Ngoài ra, ADN nhiễm sắc thể của các dòng vô tính đích này được khuếch đại bằng PCR, và chọn biến thể từ đó mảnh khoảng 2,0 kbp, mà biểu thị sự làm khuyết gen aceB, có thể được khuếch đại. Biến thể thu được được đặt tên là biến thể được tăng cường hệ gen atoD, được làm khuyết gen aceB (sau đây trong bản mô tả này đôi khi được viết tắt là "biến thể B::atoDABΔaceB").

#### Ví dụ 26

Chuẩn bị biến thể được tăng cường hệ gen atoD, được làm khuyết gen aceB, được làm khuyết gen glcB

Biến thể *Escherichia coli* B::atoDABΔaceB chuẩn bị được trong Ví dụ 25 được biến nạp với plasmid pTH18cs1-gclB chuẩn bị được trong Ví dụ 7, và được nuôi cấy ở nhiệt độ 30°C qua đêm trên đĩa thạch LB chứa 10 µg/ml cloramphenicol, kết quả là, thu được các thể biến nạp. Các thể biến nạp thu được được cấy vào môi trường lỏng LB chứa 10 µg/ml cloramphenicol, và được nuôi cấy ở nhiệt độ 30°C qua đêm. Tiếp theo, một phần chất lỏng nuôi cấy được cấp vào đĩa thạch LB chứa 10 µg/ml cloramphenicol, kết quả là, thu được các khuẩn lạc sinh trưởng ở nhiệt độ 42°C. Các khuẩn lạc thu được được nuôi cấy ở nhiệt độ 30°C trong 24 giờ trong môi trường lỏng LB, và được cấp vào đĩa thạch LB, kết quả là, thu được các khuẩn lạc sinh trưởng ở nhiệt độ 42°C.

Từ các khuẩn lạc xuất hiện, 100 khuẩn lạc được chọn ngẫu nhiên, và mỗi khuẩn lạc được sinh trưởng riêng rẽ trên đĩa thạch LB và đĩa thạch LB chứa 10 µg/ml cloramphenicol, và các dòng vô tính nhạy với cloramphenicol được chọn. Ngoài ra, ADN nhiễm sắc thể của các dòng vô tính đích này được khuếch đại bằng PCR, và chọn biến thể từ đó mảnh khoảng 2,0 kbp, mà biểu thị sự làm khuyết gen glcB, có thể được khuếch đại. Biến thể thu được được đặt tên là biến thể được tăng cường hệ gen atoD, được làm khuyết gen aceB, được làm khuyết gen glcB (sau đây trong bản mô tả này đôi khi được viết tắt là "biến thể B::atoDABΔaceBΔgclB").

#### Ví dụ 27

Chuẩn bị biến thể được tăng cường hệ gen atoD, được làm khuyết gen ldhA

Biến thể *Escherichia coli* B::atoDAB chuẩn bị được trong Ví dụ 1 được biến nạp

với plasmit pTH18cs1- ldhA chuẩn bị được trong Ví dụ 5, và được nuôi cấy ở nhiệt độ 30°C qua đêm trên đĩa thạch LB chứa 10 µg/ml cloramphenicol, kết quả là, thu được các thẻ biến nạp. Các thẻ biến nạp thu được được cấy vào môi trường lỏng LB chứa 10 µg/ml cloramphenicol, và được nuôi cấy ở nhiệt độ 30°C qua đêm. Tiếp theo, một phần chất lỏng nuôi cấy được cấp vào đĩa thạch LB chứa 10 µg/ml cloramphenicol, kết quả là, thu được các khuẩn lạc sinh trưởng ở nhiệt độ 42°C. Các khuẩn lạc thu được được nuôi cấy ở nhiệt độ 30°C trong 24 giờ trong môi trường lỏng LB, và được cấp vào đĩa thạch LB, kết quả là, thu được các khuẩn lạc sinh trưởng ở nhiệt độ 42°C.

Từ các khuẩn lạc xuất hiện, 100 khuẩn lạc được chọn ngẫu nhiên, và mỗi khuẩn lạc được sinh trưởng riêng rẽ trên đĩa thạch LB và đĩa thạch LB chứa 10 µg/ml cloramphenicol, và các dòng vô tính nhạy với cloramphenicol được chọn. Ngoài ra, ADN nhiễm sắc thể của các dòng vô tính đích này được khuếch đại bằng PCR, và chọn biến thể từ đó mảnh khoảng 2,0 kbp, mà biểu thị sự làm khuyết gen ldhA, có thể được khuếch đại. Biến thể thu được được đặt tên là biến thể được tăng cường hệ gen atoD, được làm khuyết gen ldhA (sau đây trong bản mô tả này đôi khi được viết tắt là "biến thể B::atoDABΔldhA").

#### Ví dụ 28

Chuẩn bị biến thể pBRgapP, pMWGC\_mcl(Mc)\_mtk(Mc)/B và biến thể pBRgapP, pMWGC/B

Các tế bào khả biến của *Escherichia coli* B được biến nạp với plasmit pBRgapP chuẩn bị được trong Ví dụ 2, và plasmit pMWGC\_mcl(Mc)\_mtk(Mc) chuẩn bị được trong Ví dụ 21 hoặc plasmit pMWGC chuẩn bị được trong Ví dụ 21, và được cấp vào đĩa thạch LB chứa 25 mg/L cloramphenicol và 100 mg/L ampicilin. Kết quả là, thu được các thẻ biến nạp sinh trưởng trên môi trường này.

#### Ví dụ 29

Chuẩn bị biến thể pIa, pMWGC\_mcl(Mc)\_mtk(Mc)/ B::atoDAB, và biến thể pIa, pMWGC/B::atoDAB

Các tế bào khả biến của biến thể *Escherichia coli* B (B::atoDAB) chuẩn bị được trong Ví dụ 1 được biến nạp với plasmit pIa chuẩn bị được trong Ví dụ 9, và plasmit pMWGC\_mcl(Mc)\_mtk(Mc) chuẩn bị được trong Ví dụ 21 hoặc plasmit pMWGC chuẩn bị được trong Ví dụ 21, và được cấp vào đĩa thạch LB chứa 25 mg/L cloramphenicol và 100 mg/L ampicilin. Kết quả là, thu được các thẻ biến nạp sinh trưởng trên môi trường này.

### Ví dụ 30

Chuẩn bị biến thể pIa, pMWGC\_mcl(Mc)\_mtk(Mc)/B::atoDABΔaceB, và biến thể pIa, pMWGC/B::atoDABΔaceB

Các tế bào khả biến của biến thể *Escherichia coli* B (B::atoDABΔaceB) chuẩn bị được trong Ví dụ 25 được biến nạp với plasmit pIa chuẩn bị được trong Ví dụ 9, và plasmit pMWGC\_mcl(Mc)\_mtk(Mc) chuẩn bị được trong Ví dụ 21 hoặc plasmit pMWGC chuẩn bị được trong Ví dụ 21, và được cấp vào môi trường thạch LB chứa 25 mg/L cloramphenicol và 100 mg/L ampixilin, và thu được các thể biến nạp sinh trưởng trên môi trường này.

### Ví dụ 31

Chuẩn bị biến thể pIa, pMWGC\_mcl(Mc)\_mtk(Mc)/B::atoDABΔaceBΔglcB, và biến thể pIa, pMWGC/B::atoDABΔaceBΔglcB

Các tế bào khả biến của biến thể *Escherichia coli* B (B::atoDABΔaceBΔglcB) được điều chế trong Ví dụ 26 được biến nạp với plasmit pIa chuẩn bị được trong Ví dụ 9, và plasmit pMWGC\_mcl(Mc)\_mtk(Mc) chuẩn bị được trong Ví dụ 21 hoặc plasmit pMWGC chuẩn bị được trong Ví dụ 21, và được cấp vào môi trường thạch LB chứa 25 mg/L cloramphenicol và 100 mg/L ampixilin. Kết quả là, thu được các thể biến nạp sinh trưởng trên môi trường này.

### Ví dụ 32

Chuẩn bị biến thể pIa, pMWGC\_mcl(Mc)\_mtk(Mc)/B::atoDABΔldhA, và biến thể pIa, pMWGC/B::atoDABΔldhA

Các tế bào khả biến của biến thể *Escherichia coli* B (B::atoDABΔldhA) chuẩn bị được trong Ví dụ 27 được biến nạp với plasmit pIa chuẩn bị được trong Ví dụ 9, và plasmit pMWGC\_mcl(Mc)\_mtk(Mc) chuẩn bị được trong Ví dụ 21 hoặc plasmit pMWGC chuẩn bị được trong Ví dụ 21, và được cấp vào môi trường thạch LB chứa 25 mg/L cloramphenicol và 100 mg/L ampixilin. Kết quả là, thu được các thể biến nạp sinh trưởng trên môi trường này.

### Ví dụ 33

#### Sản xuất rượu isopropyllic

Trong ví dụ này, rượu isopropyllic được sản xuất bằng cách sử dụng thiết bị sản xuất được thể hiện trên Fig. 1 của WO 2009/008377. Thùng nuôi cấy được sử dụng là thùng có dung tích 3 L và được làm từ thủy tinh. Nước là dung dịch thu hồi (nước thu hồi) với lượng

bằng 9 L cho mỗi thùng được bơm vào thùng thu hồi, và hai thùng thu hồi được nối với nhau để sử dụng.

Danh sách các biến thể được sử dụng để đánh giá khả năng sản xuất rượu isopropyllic được thể hiện trong Bảng 10.

Bảng 10

Tên biến thể	Plasmid/ Biến thể	Đặc điểm	Phản mô tả được viện dẫn
vec/B	pBRgapP, pMWGC/B	Không có hệ sản xuất IPA, không có sự biểu hiện của mtk và mcl	Ví dụ 28
mtk_mcl/B	pBRgapP, pMWGC_mcl(Mc)_mtk(Mc)/B	Không có hệ sản xuất IPA, có sự biểu hiện của mtk và mcl	Ví dụ 28
vec/atoDAB	pla, pMWGC/B::atoDAB	Chứa hệ sản xuất IPA, không có sự biểu hiện của mtk và mcl	Ví dụ 29
mtk_mcl/atoDAB	pla, pMWGC_mcl(Mc)/B::atoDAB	Chứa hệ sản xuất IPA, có sự biểu hiện của mtk và mcl	Ví dụ 29
vec/atoDAB ΔaceB	pla, pMWGC/B::atoDABΔaceB	Chứa hệ sản xuất IPA, không có sự biểu hiện của mtk và mcl, có sự phá vỡ của gen aceB	Ví dụ 30
mtk_mcl/atoDAB ΔaceB	pla, pMWGC_mcl(Mc)_mtk(Mc)/B::atoDAB ΔaceB	Chứa hệ sản xuất IPA, có sự biểu hiện của mtk và mcl, có sự phá vỡ của gen aceB	Ví dụ 30
vec/atoDAB ΔaceBΔglcB	pla, pMWGC/B::atoDABΔaceBΔglcB	Chứa hệ sản xuất IPA, không có sự biểu hiện của mtk và mcl, có sự phá vỡ của gen aceB và glcB	Ví dụ 31
mtk_mcl/atoDAB ΔaceBΔglcB	pla, pMWGC_mcl(Mc)_mtk(Mc) /B::atoDABΔaceBΔglcB	Chứa hệ sản xuất IPA, có sự biểu hiện của mtk và mcl, có sự phá vỡ của gen aceB và glcB	Ví dụ 31
vec/atoDABΔldhA	pla, pMWGC/B::atoDABΔldhA	Chứa hệ sản xuất IPA, không có sự biểu hiện của mtk và mcl, có sự phá vỡ của gen ldhA	Ví dụ 32
mtk_mcl/atoDAB ΔldhA	pla, pMWGC_mcl(Mc)_mtk(Mc) /B::atoDABΔldhA	Chứa hệ sản xuất IPA, có sự biểu hiện của mtk và mcl, có sự phá vỡ của gen ldhA	Ví dụ 32

Để làm giống cáy sơ bộ, mỗi trong số các biến thể cần được đánh giá được cáy riêng rẽ vào bình Erlenmeyer có dung tích 500 mL và chứa 50 mL canh LB Miller (Difco 244620) chứa 25 mg/L cloramphenicol và 100 mg/L ampixilin, và được nuôi cáy qua đêm ở nhiệt độ nuôi cáy bằng 30°C trong khi khuấy ở tốc độ 120 vòng/phút. Sau đó, 45 mL giống cáy sơ bộ được chuyển vào thùng nuôi cáy (thiết bị nuôi cáy BMS-PI do ABLE corporation sản xuất) có dung tích 3L và chứa 900 g môi trường có thành phần sau, và được nuôi cáy. Việc nuôi cáy được tiến hành ở thể tích thông khí bằng 0,45 L/phút, tốc độ khuấy bằng 490 vòng/phút, nhiệt độ nuôi cáy bằng 30°C, và độ pH bằng 7,0 (được điều chỉnh bằng dung dịch nước NH<sub>3</sub>) dưới áp suất khí quyển. 50 % khối lượng dung dịch nước glucoza được bổ sung vào môi trường nuôi cáy này ở tốc độ dòng bằng 20 g/L/giờ trong khoảng thời gian từ thời điểm bắt đầu nuôi cáy đến 8 giờ sau thời điểm bắt đầu nuôi cáy. Sau đó, 50 % khối lượng dung dịch nước glucoza được bổ sung ở tốc độ dòng bằng 20 g/L/giờ, khi thích hợp, sao cho lượng glucoza còn trong thùng nuôi cáy được giảm đến mức tối thiểu. Chất lỏng nuôi cáy vi khuẩn được lấy mẫu một vài lần trong khoảng thời gian từ thời điểm bắt đầu nuôi cáy đến 30 giờ sau thời điểm bắt đầu nuôi cáy, và, sau khi tế bào vi khuẩn được loại bỏ bằng cách tiến hành ly tâm, xác định lượng rượu isopropyllic, axeton, và sản phẩm phụ chính tích lũy trong dịch nổi bề mặt nuôi cáy và nước thu hồi thu được bằng HPLC theo phương pháp thông thường. Mỗi trong số các giá trị xác định là tổng của các lượng trong chất lỏng nuôi cáy và hai thùng thu hồi sau khi nuôi cáy. Các kết quả được thể hiện trong Bảng 11, và sản phẩm phụ được thể hiện trong Bảng 12.

**<Thành phần của môi trường nuôi cáy>**

Dịch ngâm ngô (do Nihon Shokuhin Kako Co., Ltd. sản xuất), 50 g/L

Fe<sub>2</sub>SO<sub>4</sub>·7H<sub>2</sub>O: 0,1 g/L

K<sub>2</sub>HPO<sub>4</sub>: 2 g/L

KH<sub>2</sub>PO<sub>4</sub>: 2 g/L

MgSO<sub>4</sub>·7H<sub>2</sub>O: 2 g/L

(NH<sub>4</sub>)<sub>2</sub>SO<sub>4</sub>: 2 g/L

ADEKANOL LG126 (ADEKA Corporation): 0,1 g/L

(Còn lại: nước)

Bảng 11

Tên biến thể	Lượng sản xuất (g/30 giờ)		Sự sử dụng glucoza (g/30 giờ)	Hiệu suất so với sự tiêu thụ đường (30 giờ)	
	IPA	Axeton		IPA	IPA + Axeton
vec/B	—	—	212,7	—	—
mtk_mcl/B	—	—	257,9	—	—
vec/atoDAB	33,2	6,0	210,0	15,8	18,6
mtk_mcl/atoDAB	34,6	8,8	209,5	16,5	20,7
vec/atoDAB ΔaceB	30,8	6,1	205,3	15,0	18,0
mtk_mcl/atoDAB ΔaceB	32,8	6,6	202,6	16,2	19,5
vec/atoDAB ΔaceBΔglcB	31,9	5,5	204,1	15,6	18,4
mtk_mcl/atoDAB ΔaceBΔglcB	31,9	5,6	195,3	16,3	19,1
vec/atoDABΔldhA	32,0	5,3	197,2	16,2	18,9
mtk_mcl/atoDAB ΔldhA	38,6	6,8	197,9	17,4	21,3

Bảng 12

22135

Tên biến thể	Sản phẩm phụ (g/L/30 giờ)							
	Eтанол	Pyruvate	Succinat	Lactat	Format	Axetat	Fumarat	Tổng lượng sản phẩm phụ
vec/B	0,3	0,5	1,8	0,3	0,6	28,1	0,0	31,6
mtk_mcl/B	0,4	0,1	0,5	0,4	0,3	28,2	0,0	29,8
vec/atоDAB	2,5	1,3	5,8	9,2	2,6	4,6	0,2	26,1
mtk_mcl/atоDAB	2,0	0,0	5,0	6,3	5,6	4,5	0,2	23,4
vec/atоDABΔaceB	2,8	0,1	2,4	1,1	4,0	3,8	0,0	14,3
mtk_mcl/atоDABΔaceB	1,7	0,1	1,9	1,3	3,3	3,5	0,1	11,8
vec/atоDABΔaceBΔglcB	2,6	0,1	1,7	0,7	4,0	3,7	0,1	12,8
mtk_mcl/atоDABΔaceBΔglcB	1,3	0,1	2,2	0,9	3,0	3,3	0,1	10,8
vec/atоDABΔldhA	3,3	4,5	4,0	0,0	3,9	3,8	0,3	19,6
mtk_mcl/atоDABΔldhA	1,9	0,7	2,2	0,0	5,7	4,6	0,0	15,2

Kết quả đánh giá cho thấy rằng lượng rượu isopropyllic mà chủng đối chứng (vec/atoDAB) sản xuất được là 33,2 g/30 giờ, và lượng mà biến thể được đưa vào mtk (mtk\_mcl/atoDAB) sản xuất được là 34,6 g/30 giờ. Lượng axeton mà chủng đối chứng (vec/atoDAB) sản xuất được là 6,0 g/30 giờ, và 8,8 g/30 giờ đối với biến thể được đưa vào mtk (mtk\_mcl/atoDAB). Từ các kết quả này, đã phát hiện thấy rằng lượng sản xuất rượu isopropyllic và axeton được làm tăng nhờ đưa vào mtk và mcl. Hiệu suất của rượu isopropyllic so với sự tiêu thụ đường tại thời điểm 30 giờ sau thời điểm bắt đầu nuôi cấy là 15,8% trong chủng đối chứng (vec/atoDAB), và 16,5% trong biến thể được đưa vào mtk+mcl (mtk\_mcl/atoDAB). Hiệu suất của rượu isopropyllic và axeton so với sự tiêu thụ đường tại thời điểm 30 giờ sau thời điểm bắt đầu nuôi cấy là 18,6% trong chủng đối chứng (vec/atoDAB), và 20,7% trong biến thể được đưa vào mtk+mcl (mtk\_mcl/atoDAB). Từ các kết quả này, đã cho thấy rằng hiệu quả chuyển hóa của đường thành rượu isopropyllic hoặc axeton được làm tăng nhờ đưa vào tiến trình mtk+mcl.

Đối với atoDAB $\Delta$ ldhA, lượng sản xuất rượu isopropyllic và axeton và hiệu suất của rượu isopropyllic và axeton so với sự tiêu thụ đường được cải thiện trong biến thể được đưa vào mtk+mcl tương tự với trường hợp của atoDAB. Đối với atoDAB $\Delta$ ldhA, atoDAB $\Delta$ aceB, và atoDAB $\Delta$ aceB $\Delta$ glcB, hiệu suất so với sự tiêu thụ đường được làm tăng trong biến thể được đưa vào mtk+mcl, so với hiệu suất của chủng đối chứng (vec) của mỗi biến thể. Do đó, tin rằng sự sản xuất axetyl-CoA và các chất hữu dụng có nguồn gốc từ axetyl-CoA được làm tăng một cách hiệu quả bởi mtk+mcl.

Bảng 12 thể hiện các sản phẩm phụ. So với chủng đối chứng (vec/B), đã phát hiện thấy rằng lượng etanol, pyruvat, và succinat được làm giảm trong biến thể được đưa vào mtk+mcl (mtk\_mcl/B) tại thời điểm 30 giờ sau thời điểm bắt đầu nuôi cấy, và tổng lượng sản phẩm phụ cũng được làm giảm một cách bất ngờ trong biến thể được đưa vào mtk+mcl. Tương tự, đối với atoDAB, atoDAB $\Delta$ aceB, atoDAB $\Delta$ aceB $\Delta$ glcB, và atoDAB $\Delta$ ldhA, lượng etanol, pyruvat, và succinat và tổng lượng sản phẩm phụ được làm giảm trong biến thể được đưa vào mtk+mcls so với các chủng đối chứng tương ứng. Từ các kết quả này, đã phát hiện thấy rằng mtk+mcl tạo ra các hiệu quả tương tự khi có hoặc không có atoDAB.

Đối với atoDAB $\Delta$ aceB và atoDAB $\Delta$ aceB $\Delta$ glcB, hiệu suất của IPA và hiệu suất của IPA và axeton so với sự tiêu thụ đường gần như giống như trong biến thể atoDAB. Tuy nhiên, tổng lượng sản phẩm phụ được làm giảm trong cả các biến thể được đưa vào vec và biến thể được đưa vào mtk. Bất ngờ là, lượng lactat và succinat tích lũy được làm giảm một cách đáng kể trong biến thể được đưa vào mtk+mcls. Do đó, atoDAB $\Delta$ aceB và

atoDABΔaceBΔglcB là được ưu tiên về mặt công nghiệp, vì lượng sản phẩm phụ ít hơn cho phép sự giảm đáng kể chi phí đối với quá trình tinh chế khi rượu isopropyllic hoặc axeton được thu gom từ chất lỏng nuôi cấy.

Đối với atoDABΔldhA, đã cho thấy rằng lượng sản xuất rượu và axeton và hiệu suất của rượu và axeton so với sự tiêu thụ đường được cải thiện trong biến thể được đưa vào mtk+mcl tương tự với trường hợp của atoDAB. Đối với tất cả các biến thể nêu trên, hiệu suất so với sự tiêu thụ đường được cải thiện trong biến thể được đưa vào mtk+mcls so với chúng đối chứng (vec). Do đó, tin rằng axetyl-CoA và các chất hữu dụng có nguồn gốc từ axetyl-CoA được làm tăng một cách hiệu quả.

Đối với atoDABΔldhA, tổng lượng sản phẩm phụ được làm giảm, và lượng pyruvat được tích lũy được làm giảm một cách đáng kể trong biến thể được đưa vào mtk+mcl. Ngoài ra, hiệu suất của rượu isopropyllic và axeton so với sự tiêu thụ đường được làm tăng trong biến thể atoDABΔldhA được đưa vào mtk+mcl, cho thấy rằng rượu isopropyllic và axeton được sản xuất một cách hiệu quả bởi cả tiến trình glucoza và tiến trình mtk+mcl. Lượng sản phẩm phụ trong atoDABΔldhA được làm giảm tương tự với trường hợp của atoDABΔaceB và atoDABΔaceBΔglcB. Ngoài ra, hiệu suất của rượu isopropyllic và axeton so với sự tiêu thụ đường được cải thiện trong atoDABΔldhA khi mtk+mcl được đưa vào. Các kết quả này cho thấy rằng, trong quá trình sản xuất rượu isopropyllic và/hoặc axeton trên quy mô công nghiệp, có sự phá vỡ ldhA là được ưu tiên xét về việc làm giảm chi phí đối với quá trình tinh chế khi thu gom rượu isopropyllic và/hoặc axeton và xét về việc làm tăng hiệu suất của chúng.

Tiến trình sản xuất rượu isopropyllic và tiến trình sản xuất axeton không được đưa vào biến thể B. Vì lượng axetat được làm tăng một cách đáng kể trong biến thể B, tin rằng axetyl-CoA chủ yếu được chuyển hóa thành axetat. Ngoài ra, giả định rằng lượng tăng axetyl-CoA được chuyển hóa thành axetat và etanol trong biến thể được đưa vào mtk+mcl (mtk\_mcl/B). Các kết quả này cho thấy rằng lượng axetyl-CoA được làm tăng bởi tác động của mtk+mcl ngay cả trong các biến thể B.

#### Ví dụ 34

##### Tạo cấu trúc plasmid pGAPS

Để thu được gen kháng spectinomycin, tiến hành khuếch đại bằng phương pháp PCR bằng cách sử dụng plasmid pIC156 (Steinmetz et. Al., Gene, 1994, 142(1): 79-83) làm khuôn và

CCGCAGGTACCGTATAATAAAGAATAATTATTAATCTGTAGACAAATTGTGAAAGG  
 (SEQ ID NO: 120) và  
 CTTTGTTATAAGTGGTAAACCGTGAATATCGTGTCTTCAC (SEQ ID NO: 121), và mảnh ADN thu được được phosphoryl hóa bằng cách sử dụng T4 Polynucleotit kinaza (Toyobo), kết quả là, thu được mảnh ADN chứa gen kháng spectinomycin. Ngoài ra, plasmit pGAP được xử lý bằng *Pvu*I, và mảnh ADN thu được được thực hiện xử lý làm cùn đầu bằng Toyobo BLUNTING HIGH, và được nối với mảnh ADN chứa gen kháng spectinomycin đã được mô tả ở trên. Sau đó, các tế bào khai triển *Escherichia coli* DH5 $\alpha$  được biến nạp với sản phẩm nối, và thu các thế biến nạp sinh trưởng trên đĩa thạch LB chứa 120  $\mu$ g/mL spectinomycin. Các khuẩn lạc thu được được nuôi cấy qua đêm trong môi trường lỏng LB chứa 120  $\mu$ g/mL spectinomycin, và plasmit thu được được đặt tên là pGAPS.

#### Ví dụ 35

##### Chuẩn bị plasmit pGAPS\_gcl

ADN nhiễm sắc thể thu được từ *Escherichia coli* MG1655 sử dụng bộ kit DNeasy Blood & Tissue Kit (QIAGEN). Dựa trên operon chứa glyoxylat carbolicaza (gcl, NCBI-GI: 945394), hai loại đoạn mồi được biểu thị bởi AAGAACTCTAGAACAAAAAGGATAAAACAATGGCAAAAATGAGAGGCCGTGA CGCGGCAATG (SEQ ID NO: 122) và GACCAGCTGCAGTCAGGCCAGTTATGGTTAGCCATTAATTCCAGC (SEQ ID NO: 123) được chuẩn bị.

Ngoài ra, hai loại đoạn mồi được biểu thị bởi ACACAACTGCAGACAAAAAGGATAAAACAATGAAGATTGTCATTGCGCCAGAC TCTTTAAAGAGAGCT (SEQ ID NO: 124) và GCCCCCAAGCTTCAGTTTAATTCCCTGACCTATTTAATGGCGCAGG (SEQ ID NO: 125) được chuẩn bị.

Sự khuếch đại bằng PCR được tiến hành bằng cách sử dụng ADN nhiễm sắc thể của *Escherichia coli* MG1655 làm khuôn và sử dụng các đoạn mồi của SEQ ID NO: 122 và 123 thu được như được mô tả ở trên, kết quả là, thu được mảnh ADN khoảng 3 kb. Ngoài ra, sự khuếch đại bằng PCR được tiến hành bằng cách sử dụng ADN nhiễm sắc thể của *Escherichia coli* MG1655 làm khuôn và sử dụng các đoạn mồi của SEQ ID NO: 124 và 125 thu được như được mô tả ở trên, kết quả là, thu được mảnh ADN khoảng 1,1 kb. Các ADN thu được này được tiêu hóa bằng *Pst*I, và các mảnh này được nối với nhau. Sự khuếch đại

bằng PCR được tiến hành bằng cách sử dụng ADN đã nối làm khuôn và sử dụng AAGAACTCTAGAACAAAAAGGATAAAACAATGGCAAAAATGAGAGGCCGTTGA CGCGGCAATG (SEQ ID NO: 126) và GCCCCAAGCTTCAGTTTAATTCCCTGACCTATTTAATGGCGCAGG (SEQ ID NO: 127) làm các đoạn mồi, kết quả là, thu được mảnh ADN. Mảnh ADN thu được được tiêu hóa bằng các enzym giới hạn *XbaI* và *HindIII*, và được nối với plasmit pGAPS mà đã được tiêu hóa bằng các enzym giới hạn *XbaI* và *HindIII*. Sau đó, *Escherichia coli* DH5 $\alpha$  được biến nạp với sản phẩm nối, và được nuôi cấy trên đĩa thạch LB chứa spectinomycin, và plasmit được thu hồi từ các thè biến nạp thu được.

Plasmit này được tiêu hóa bằng các enzym giới hạn *Clal* và *HindIII*, và mảnh ADN khoảng 4 kb chứa pGAPS và gen gcl được thu hồi. Mảnh ADN này được thực hiện xử lý làm cùn đầu và tự nối. *Escherichia coli* DH5 $\alpha$  được biến nạp với sản phẩm nối, và được nuôi cấy trên đĩa thạch LB chứa 120  $\mu$ g/mL spectinomycin. Tế bào vi khuẩn sinh trưởng trên đĩa này được nuôi cấy trong môi trường lỏng LB chứa 120  $\mu$ g/mL spectinomycin, kết quả là, thu được các thè biến nạp. Plasmit được thu hồi từ các thè biến nạp thu được, kết quả là, thu được plasmit pGAPS\_gcl.

#### Ví dụ 36

##### Thu được biến thể *Pantoea ananatis* PA

Plasmit RSFCPG được thu hồi từ *Pantoea ananatis* AJ13601 (chứng nộp lưu patent BP-7207). Plasmit RSFCPG là plasmit kháng tetracyclin có các enzym glutamat dehydrogenaza, xitrat synthaza, và phosphoenolpyruvat carboxylaza xúc tác phản ứng của quá trình sinh tổng hợp L-glutamat (JP-A số 2001-333769). *Pantoea ananatis* AJ417 (chứng nộp lưu patent BP-8646) được biến nạp với RSFCPG bằng cách sử dụng phương pháp CaCl<sub>2</sub> (Molecular Cloning, 3rd edition, Cold Spring Harbor press, 2001), và được nuôi cấy trong môi trường lỏng LB chứa 10  $\mu$ g/mL tetracyclin, kết quả là, thu được *Pantoea ananatis* AJ417/RSFCPG (sau đây trong bản mô tả này đôi khi được viết tắt là "Biến thể PA").

#### Ví dụ 37

##### Chuẩn bị biến thể *Pantoea ananatis* được làm khuyết gen aceB

Toàn bộ trình tự của ADN hệ gen của *Pantoea ananatis* AJ13355 (chứng nộp lưu patent BP-6614) đã được biết (Số nộp lưu ngân hàng gen AP012032), và trình tự bazơ của gen mã hóa malat synthaza của *Pantoea ananatis* (sau đây trong bản mô tả này đôi khi được gọi là "PAaceB") cũng đã được báo cáo (Số nộp lưu ngân hàng gen NC\_017531). Để tách

dòng vùng kẹp bên trình tự bazơ của gen mã hóa aceB (1,599 bp), bốn loại đoạn mồi oligonucleotit được biểu thị bởi GACTCTAGAGGATCCCCGGGATGACAGACTCGGTTATCAACAGTGAATTACTTT TCAG (SEQ ID NO: 128),

GACGGGACGGCGGCTTGTTGGCTTCCCGTATGAAAAAAAGTAGAGA GC (SEQ ID NO: 129),

TTGAGACACAACGTGGCTTCCCAGCAAGGACAGCGCGCAATGAAT G (SEQ ID NO: 130), và

ATGACCATGATTACGAATTCTCAGGAAAGCAGGCGGTAGCCTGGCAGAG TCAG (SEQ ID NO: 131) được tổng hợp.

Ngoài ra, để tách dòng gen kháng kanamycin, hai loại đoạn mồi oligonucleotit được biểu thị bởi

TTTTCATAACCGGAAAGCCAACAAAGCCGCCGTCCGTCAAGTCAGC (SEQ ID NO: 132) và

CGCGCGCTGTCCTGCTGGAAAGCCACGTTGTCTAAAATCTCTGA TGTTACATTGC (SEQ ID NO: 133) được tổng hợp.

ADN hệ gen của *Pantoea ananatis* AJ417 được điều chế, và sự khuếch đại bằng PCR được tiến hành bằng cách sử dụng ADN hệ gen thu được làm khuôn và cặp đoạn mồi của SEQ ID NO: 128 và SEQ ID NO: 129, kết quả là, thu được mảnh ADN chứa trình tự kẹp bên gen aceB (sau đây trong bản mô tả này đôi khi được gọi là "mảnh PAaceB-L"). Ngoài ra, sự khuếch đại bằng PCR được tiến hành bằng cách sử dụng cặp đoạn mồi của SEQ ID NO: 130 và SEQ ID NO: 131, kết quả là, thu được mảnh ADN chứa trình tự kẹp bên gen aceB (sau đây trong bản mô tả này đôi khi được gọi là "mảnh PAaceB-R"). Ngoài ra, sự khuếch đại bằng PCR được tiến hành bằng cách sử dụng plasmid pUC4K có gen kháng kanamycin và sử dụng cặp đoạn mồi của SEQ ID NO: 132 và SEQ ID NO: 133, kết quả là, mảnh ADN chứa gen kháng kanamycin (sau đây trong bản mô tả này đôi khi được gọi là "mảnh KanR") được khuếch đại. Plasmid pUC18 được xử lý bằng *Eco*RI và *Xma*I, nhờ đó chuẩn bị được mảnh pUC18. Các mảnh PAaceB-L, mảnh PAaceB-R, mảnh KanR, và mảnh pUC18 này được thu hồi, và các mảnh này được trộn cùng nhau và được xử lý bằng cách sử dụng bộ kit tách dòng In-fusion HD cloning kit (Invitrogen). Các tế bào kh้า biến *Escherichia coli* DH5 $\alpha$  (NEB5 $\alpha$ ; New England Biolabs) được biến nạp với sản phẩm phản ứng, và được nuôi cấy trên đĩa LB chứa 30  $\mu$ g/mL kanamycin. Plasmid được thu hồi từ các

thể biến nạp thu được, và bằng cách giải trình tự ADN đã xác nhận được rằng vectơ pUC 18 được tạo cấu trúc sao cho trình tự của "trình tự kẹp bên 5' của aceB\_gen kháng kanamycin\_ trình tự kẹp bên 3' của aceB" được bao gồm. PCR được tiến hành bằng cách sử dụng plasmit này làm khuôn và sử dụng

GCCGCCGAATTCCGAAAAGTGCCACCTGACGTCTAAGAAACC (SEQ ID NO: 134) và

ATGACCATGATTACGAATTCTCAGGGAAAGCAGGCGGTAGCCTGGCAGAG TCAG (SEQ ID NO: 135). Sản phẩm khuếch đại được tinh chế và được tiêu hóa bằng *EcoRI*, sau đó là quá trình tự nối của mảnh thu được bằng cách sử dụng ADN ligaza (Takara), kết quả là, thu được plasmit không có gốc sao chép. *Pantoea ananatis* AJ417 được biến nạp với plasmit thu được, và được nuôi cấy trên đĩa LB chứa 30 µg/mL kanamycin. Các khuẩn lạc thu được được thực hiện PCR hệ gen và giải trình tự ADN, và xác nhận được rằng gen aceB được làm khuyết một cách thích hợp. Vì khuẩn thu được được biến nạp với RSFCPG bằng cách sử dụng phương pháp CaCl<sub>2</sub>, và được nuôi cấy trong môi trường LB chứa 10 µg/mL tetracyclin. Biến thể thu được được đặt tên là biến thể *Pantoea ananatis* AJ417 được làm khuyết gen aceB (sau đây trong bản mô tả này đôi khi được viết tắt là "biến thể PAΔaceB").

### Ví dụ 38

Chuẩn bị biến thể *Pantoea ananatis* được làm khuyết gen fumA

ADN hệ gen của *Bacillus subtilis* subsp. *subtilis* str. 168 (ATCC 23857) được chuẩn bị, và tiến hành khuếch đại bằng phương pháp PCR bằng cách sử dụng ADN hệ gen thu được làm khuôn và sử dụng AGTCTAGAGATCCTTTAACCCATCAC (SEQ ID NO: 136) và AGTCTAGAAGTCGATAAACAGCAATATT (SEQ ID NO: 137) làm các đoạn mồi. Mảnh ADN thu được được tiêu hóa bằng enzym giới hạn *XbaI*, nhờ đó thu được mảnh ADN khoảng 2,0 kbp chứa gen sacB. Mảnh ADN thu được được trộn với mảnh ADN chuẩn bị được bằng cách tiêu hóa plasmit pHSG298 (Takara) bằng enzym giới hạn *XbaI* và thực hiện xử lý phosphataza kiềm đối với sản phẩm thu được, và các mảnh đã trộn được nối bằng cách sử dụng ligaza. Các tế bào khả biến *Escherichia coli* DH5α (Toyobo Co., Ltd., DNA-903) được biến nạp với sản phẩm nối thu được, và thu các thể biến nạp sinh trưởng trên đĩa thạch LB chứa 25 µg/mL kanamycin. Plasmit được thu hồi từ tế bào vi khuẩn thu được, kết quả là, thu được plasmit pHSG-sacB, trong đó mảnh ADN chứa gen sacB được cài xen trong pHSG298.

Toàn bộ chiều dài của plasmit pEA320, được tìm thấy ban đầu trong *Pantoea ananatis* AJ13355, đã được biết (NCBI Reference Sequence NC\_017533,1), và trình tự bazơ của gen mã hóa fumarat hydrataza lớp I (sau đây trong bản mô tả này đôi khi được gọi là "fumA") cũng đã được báo cáo. Để tách dòng vùng kẹp bên trình tự bazơ của gen mã hóa fumA (1,647 bp), bốn loại đoạn mồi oligonucleotit được biểu thị bởi GCAACGTTGGCTCTCATCT (SEQ ID NO: 138), CGGGATCCAAACACGCCGGAAAACA (SEQ ID NO: 139), CGGGATCCGTTAACGCAGGCTGAC (SEQ ID NO: 140), và GCTGCTGGCGTACTGGTTC (SEQ ID NO: 141) được tổng hợp.

ADN hệ gen của *Pantoea ananatis* AJ417 được chuẩn bị, và PCR được tiến hành bằng cách sử dụng ADN hệ gen thu được làm khuôn và sử dụng cặp đoạn mồi của SEQ ID NO:138 và SEQ ID NO:139, kết quả là, mảnh ADN khoảng 0,7 kb (sau đây trong bản mô tả này đôi khi được gọi là "mảnh fumA-L") được khuếch đại. Ngoài ra, PCR được tiến hành bằng cách sử dụng cặp đoạn mồi của SEQ ID NO:140 và SEQ ID NO:141, kết quả là, mảnh ADN khoảng 0,9 kb được khuếch đại (sau đây trong bản mô tả này đôi khi được gọi là "fumA-R mảnh").

Các mảnh ADN này được tách riêng bằng cách điện di trên agarosa và được thu hồi, và mỗi trong số mảnh fumA-L và mảnh fumA-R được tiêu hóa bằng *BamHI*. Các mảnh thu được được nối bằng cách sử dụng ligaza, và đầu 5' của sản phẩm đã được nối được phosphoryl hóa bằng cách sử dụng T4 Polynucleotit kinaza. Mảnh ADN thu được được trộn với mảnh ADN được điều chế bằng cách tiêu hóa pHSG-sacB đã được mô tả ở trên bằng *BamHI* và tiếp theo thực hiện xử lý làm cùn đầu đối với sản phẩm thu được bằng T4 ADN polymeraza và xử lý bằng phosphataza kiềm, và các mảnh đã trộn được nối bằng cách sử dụng ligaza. Sau đó, các tế bào kh้า biến *Escherichia coli* DH5 $\alpha$  (do Toyobo Co., Ltd. sản xuất) được biến nạp với sản phẩm nối, và thu các thể biến nạp sinh trưởng trên đĩa thạch LB chứa 25 $\mu$ g/ml kanamycin ở nhiệt độ 30°C. Plasmit được thu hồi từ các thể biến nạp thu được, và xác nhận được rằng hai mảnh — mảnh vùng kẹp bên 5' ở phía trên và mảnh vùng kẹp bên 3' ở phía dưới của gen mã hóa fumA — được cài xen một cách thích hợp trong pHSG-sacB. Plasmit thu được được đặt tên là psacB-PAfumA.

Plasmit psacB-PAfumA có khả năng sao chép trong *Pantoea ananatis*. Do đó, để thu được plasmit để làm khuyết gen fumA không có gốc sao chép và sẽ không được sao chép trong *Pantoea ananatis*, sự khuếch đại bởi PCR được tiến hành bằng cách sử dụng psacB-PAfumA làm khuôn và cặp đoạn mồi của CTTTACACTTATGCTTCC (SEQ ID NO: 142)

và TTGAGCTCGAGAGGTCTGCCTCGTGA (SEQ ID NO: 143) có vị trí nhặt biết *SacI* ở phía đầu 5' của nó, kết quả là, thu được mảnh ADN khoảng 5 kb. Mảnh ADN thu được được tiêu hóa bằng *SacI* và được để cho nỗi bằng cách sử dụng ligaza, kết quả là, thu được plasmit pPAfumA. pPAfumA thu được chứa mảnh fumA-L, mảnh fumA-R, gen sacB, và gen kháng kanamycin, nhưng không có gốc sao chép. *Pantoea ananatis* AJ417 được biến nạp với pPAfumA bằng cách đục lỗ điện, và được cấy vào đĩa thạch LB chứa 40 µg/ml kanamycin. Dòng vô tính lai chéo đơn sinh trưởng trên môi trường nêu trên được nuôi cấy qua đêm trong môi trường lỏng LB, và một phần chất lỏng nuôi cấy được cấy vào môi trường thạch LB chứa 10% (khối lượng/thể tích) sucroza.

Tiếp theo, trong số các dòng vô tính thu được với môi trường nêu trên, các dòng vô tính nhạy kanamycin sinh trưởng trên môi trường chứa sucroza được chọn. Ngoài ra, ADN nhiễm sắc thể của các dòng vô tính này được khuếch đại bằng PCR bằng cách sử dụng cặp đoạn mồi của SEQ ID NO: 138 và SEQ ID NO: 141, và chọn biến thể từ đó mảnh khoảng 1,5 kbp, mà biểu thị sự làm khuyết gen fumA, có thể được khuếch đại. Biến thể thu được được đặt tên là biến thể *Pantoea ananatis* AJ417 được làm khuyết gen fumA (sau đây trong bản mô tả này đôi khi được viết tắt là "biến thể PAΔfumA").

#### Ví dụ 39

Chuẩn bị biến thể được làm khuyết gen *Pantoea ananatis* fumA, được làm khuyết gen fumC

Để tách dòng vùng kép bên trình tự bazơ của gen mã hóa fumarat hydrataza lớp II (sau đây trong bản mô tả này đôi khi được gọi là "fumC") (1,398 bp), bốn loại đoạn mồi oligonucleotit được biểu thị bởi TCGCCATGATGCTGCTGTG (SEQ ID NO: 144), CGGGATCCGACTTAGCGTCATCGGTTG (SEQ ID NO: 145), CGGGATCCGATGAAGATTGCTAACGACG (SEQ ID NO: 146), và TGATGCCGACAATATTACGC (SEQ ID NO: 147) được tổng hợp.

ADN hệ gen của *Pantoea ananatis* AJ417 được chuẩn bị, và PCR được tiến hành bằng cách sử dụng ADN hệ gen thu được làm khuôn và sử dụng cặp đoạn mồi của SEQ ID NO: 144 và SEQ ID NO: 145, kết quả là, mảnh ADN khoảng 0,8 kb (sau đây trong bản mô tả này đôi khi được gọi là "mảnh fumC-L") được khuếch đại. Ngoài ra, PCR được tiến hành bằng cách sử dụng cặp đoạn mồi của SEQ ID NO: 146 và SEQ ID NO: 147, kết quả là, mảnh ADN khoảng 0,7 kb (sau đây trong bản mô tả này đôi khi được gọi là "mảnh fumC-R") được khuếch đại.

Các mảnh ADN này được tách riêng bằng cách điện di trên agarosa, và được thu hồi. Mỗi trong số các mảnh fumC-L và mảnh fumC-R được tiêu hóa bằng *BamHI*, và các mảnh này được để cho nối bằng cách sử dụng ligaza, sau đó là xử lý phosphoryl hóa đầu 5' bằng cách sử dụng T4 Polynucleotit kinaza. Mảnh ADN thu được được trộn với mảnh ADN chuẩn bị được bằng cách tiêu hóa pHSG-sacB được điều chế trong Ví dụ 38 bằng *BamHI* và tiếp theo thực hiện xử lý làm cùn đầu đối với sản phẩm thu được bằng T4 ADN polymeraza và xử lý bằng phosphataza kiềm, và các mảnh đã trộn được nối bằng cách sử dụng ligaza. Sau đó, các tế bào khả biến *Escherichia coli* DH5 $\alpha$  (do Toyobo Co., Ltd. sản xuất) được biến nạp với sản phẩm nối thu được, và thu các thê biến nạp sinh trưởng trên đĩa thạch LB chứa 25  $\mu$ g/mL kanamycin ở nhiệt độ 30°C. Plasmit được thu hồi từ các thê biến nạp thu được, và xác nhận được rằng hai mảnh — mảnh vùng kẹp bên 5' ở phía trên và mảnh vùng kẹp bên 3' ở phía dưới của gen mã hóa fumC — được cài xen một cách thích hợp trong pHSG-sacB. Plasmit thu được được đặt tên là psacB-PAfumC.

Plasmit pPAfumC để làm khuyết gen fumC không có gốc sao chép và sẽ không được sao chép trong *Pantoea ananatis* thu được theo cách giống như trong Ví dụ 38 ngoại trừ là sử dụng plasmit psacB-PAfumC thay cho psacB-PAfumA,. Ngoài ra, các dòng vô tính nhạy kanamycin sinh trưởng trên môi trường chứa sucroza được chọn theo cách giống như trong Ví dụ 38, ngoại trừ là sử dụng plasmit pPAfumC thay cho pPAfumA và sử dụng biến thể PA $\Delta$ fumA thay cho *Pantoea ananatis* AJ417. ADN nhiễm sắc thê của các dòng vô tính này được khuếch đại bằng PCR bằng cách sử dụng cặp đoạn mồi của SEQ ID NO: 138 và SEQ ID NO: 141, và chọn biến thể từ đó mảnh khoảng 1,5 kbp, mà biểu thị sự làm khuyết gen fumC, có thể được khuếch đại. Biến thể thu được được biến nạp với RSFCPG bằng phương pháp CaCl<sub>2</sub>, và được nuôi cấy trong môi trường LB chứa 10  $\mu$ g/mL tetracyclin. Biến thể thu được được đặt tên là biến thể *Pantoea ananatis*, được làm khuyết gen fumA, được làm khuyết gen fumC (sau đây trong bản mô tả này đôi khi được viết tắt là "biến thể PA $\Delta$ fumAC").

#### Ví dụ 40

##### Tạo cấu trúc biến thể *Pantoea ananatis* để đánh giá

Mỗi trong số biến thể *Pantoea ananatis* PA chuẩn bị được trong Ví dụ 36, biến thể PA $\Delta$ aceB chuẩn bị được trong Ví dụ 37, và biến thể PA $\Delta$ fumAC chuẩn bị được trong Ví dụ 39, được biến nạp với pGAPS chuẩn bị được trong Ví dụ 34, pGAPS\_gcl chuẩn bị được trong Ví dụ 35, pMWGKC chuẩn bị được trong Ví dụ 10, và/hoặc pMWGKC\_mcl(Mc)\_mtk(Mc) trong Ví dụ 21 bằng phương pháp CaCl<sub>2</sub> hoặc đục lỗ điện,

và được cấp vào đĩa thạch LB chứa 30 $\mu$ g/mL cloramphenicol, 120 $\mu$ g/mL spectinomycin, và 15 $\mu$ g/mL tetracyclin. Khuẩn lạc sinh trưởng trên đĩa được sử dụng làm biến thể để đánh giá. Các biến thể thu được được tóm tắt trong Bảng 13.

Bảng 13

Tên biến thể	Plasmid/Biến thể	Đặc điểm
PA/vec	pMWGKC/pGAPS/RSFCPG/P. ananatis	Không có sự biểu hiện của mtk, mcl, và gcl
PA/mtk_mcl	pMWGKC_mtk(Mc)_mcl(Mc)/pGAPS/RSFCPG/P. ananatis	Có sự biểu hiện của mtk và mcl, không có sự biểu hiện của gcl
PA/mtk_mcl/gcl	pMWGKC_mtk(Mc)_mcl(Mc)/pGAPS_gcl/RSFCPG/P. ananatis	Có sự biểu hiện của mtk, mcl, và gcl
PAΔaceB/mtk_mcl/gcl	pMWGKC_mtk(Mc)_mcl(Mc)/pGAPS_gcl/RSFCPG/P. ananatisΔaceB	Có sự biểu hiện của mtk, mcl, và gcl, có sự phá vỡ của gen aceB
PAΔfumAC/mtk_mcl/gcl	pMWGKC_mtk(Mc)_mcl(Mc)/pGAPS_gcl/RSFCPG/P. ananatisΔfumAC	Có sự biểu hiện của mtk, mcl, và gcl, có sự phá vỡ của gen fumAC

## Ví dụ 41

Xác nhận sự kết hợp của CO<sub>2</sub> được gắn nhãn <sup>13</sup>C vào glutamat ở biến thể *Pantoea*

Mỗi trong số các biến thể *Pantoea* đích được nuôi cấy sơ bộ trong môi trường LB chứa 30 µg/mL cloramphenicol, 120 µg/mL spectinomycin, và 15 µg/mL tetracycline ở nhiệt độ 30°C, 220 vòng/phút. Các tế bào vi khuẩn được thu gom từ quá trình nuôi cấy sơ bộ bằng cách phân tách bằng ly tâm (5000 vòng/phút trong 5 phút). Chuẩn bị 2 mL môi trường tối thiểu cho *Pantoea* (17 g/L Na<sub>2</sub>HPO<sub>4</sub>·12H<sub>2</sub>O, 3 g/L KH<sub>2</sub>PO<sub>4</sub>, 0,5 g/L NaCl, 1 g/L NH<sub>4</sub>Cl, 10 mM MgSO<sub>4</sub>, 10 µM CaCl<sub>2</sub>, 50 mg/L L-lysine, 50 mg/L L-Methionine, pH 6,0) chứa 100 nM natri hydro cacbonat (được đánh dấu bằng <sup>13</sup>C), 20 g/L glucoza, 30 µg/mL cloramphenicol, 120 µg/mL spectinomycin, và 15 µg/mL tetracycline, và tế bào vi khuẩn thu được được bổ sung vào đó sao cho OD được điều chỉnh trong khoảng từ 1 đến 5. Sau khi bít kín bình nuôi cấy, tế bào vi khuẩn được nuôi cấy ở nhiệt độ 30°C, 220 vòng/phút trong 1 ngày. Chất lỏng nuôi cấy được lấy mẫu một cách định kỳ, và các tế bào vi khuẩn được loại bỏ bằng cách phân tách bằng ly tâm (12.000 vòng/phút trong 3 phút). Dịch nổi bề mặt thu được được lọc qua thiết bị lọc màng PTFE ưa nước (Millipore Corporation, MSGVN2B50), nhờ đó thu được mẫu nuôi cấy. Các biến thể được sử dụng làm mẫu nuôi cấy được tóm tắt trong Bảng 13.

Để xác định hàm lượng <sup>13</sup>C của glutamat trong mỗi mẫu nuôi cấy, 500 µL MTBSTFA với 1% TBDMSCl (do Sigma-Aldrich Co. sản xuất, 375934) và 500 µL DMF khô được bổ sung vào lượng mẫu thích hợp, mà được làm khô bằng cách, ví dụ, sấy đông khô hoặc làm khô bằng chân không. Hỗn hợp thu được được gia nhiệt ở nhiệt độ 80°C trong 2 giờ, và sau đó được tách bằng cách ly tâm (14.000 vòng/phút trong 5 phút). Dịch nổi bề mặt thu được được phân tích bởi GC-MS (Agilent 7890A và 5975c). Tiến hành xác định diện tích tương ứng của các đỉnh phổ khói ở khối lượng phân tử bằng 432, 433, và 434, mỗi trong số này được giả định là tương ứng với cấu trúc trong đó một nhóm butyl được loại bỏ khỏi dẫn xuất glutamat. Ở đây, giả sử rằng khói lượng phân tử bằng 432 tương ứng với cấu trúc trong đó tất cả các nguyên tử được tạo thành từ các chất đồng vị dồi dào nhất, khói lượng phân tử bằng 433 tương ứng với cấu trúc chứa một nôtron, và khói lượng phân tử bằng 434 tương ứng với cấu trúc chứa hai nôtron. Các đỉnh ở khối lượng phân tử bằng 432, 433, và 434 được xác định là [M+0], [M+1], và [M+2], một cách tương ứng. Giá trị của [M+1]/[M+0] được vẽ đồ thị trên trục x và giá trị của [M+2]/[M+0] được vẽ đồ thị trên trục y. Các kết quả phân tích được thể hiện trong Bảng 4.

Trong quá trình lên men glutamat thông thường, <sup>13</sup>C có nguồn gốc từ NaH<sup>13</sup>CO<sub>3</sub>

được kết hợp thông qua oxaloacetat vào glutamat chỉ ở vị trí C1 hoặc C5. Do đó, các giá trị đã được mô tả ở trên sẽ được đặt trên đường tham chiếu. Đường tham chiếu được xác định theo các phương trình sau.

$$x = (x_0 - x_0 \times \alpha + \alpha) / (1 - \alpha).$$

$$y = (y_0 - y_0 \times \alpha + x_0 \times \alpha) / (1 - \alpha).$$

$\alpha$  biểu thị tỷ lệ của chất đồng vị  $^{13}\text{C}$  trong cacbon có nguồn gốc từ  $\text{CO}_2$  (ở vị trí C1 hoặc vị trí C5) trong glutamat [ $\approx ^{13}\text{C}/(^{13}\text{C}+^{12}\text{C})$ ].  $x$  và  $y$  biểu thị tọa độ của điểm bất kỳ trên đường tham chiếu.  $x_0$  và  $y_0$  biểu thị các giá trị của  $x$  và  $y$ , giả định rằng tỷ lệ chất đồng vị của  $^{12}\text{C}$  trong cacbon có nguồn gốc từ  $\text{CO}_2$  (ở một trong số vị trí 1 và vị trí 5 của glutamat) trong glutamat là 100% và tỷ lệ chất đồng vị của các nguyên tử khác là giống như tỷ lệ chất đồng vị tự nhiên của chúng (tức là, giá trị của  $x$  và  $y$ , nếu  $\alpha=0$ ).  $x_0$  và  $y_0$  được đặt ở giá trị bằng 0,358527 và 0,16822084314, một cách tương ứng. Bằng cách giải phương trình nêu trên, đường tham chiếu được biểu thị bằng phương trình sau.

$$y = x_0 \cdot x + y_0 - x_0^2$$

Trong tiến trình sản xuất glutamat nội tại,  $^{13}\text{C}$  có nguồn gốc từ  $\text{NaH}^{13}\text{CO}_3$  được cố định bởi enzym cố định cacbon dioxit như phosphoenolpyruvat carboxylaza (ppc), pyruvat carboxylaza (pyc), hoặc phosphoenolpyruvat carboxykinaza (pck), và được kết hợp thông qua oxaloacetat vào glutamat ở vị trí C1 hoặc vị trí C5. Mặc dù các giá trị của  $[M+1]$  và  $[M+2]$  thay đổi tùy thuộc vào tỷ lệ của  $^{12}\text{CO}_2$  và  $^{13}\text{CO}_2$  được kết hợp bởi ppc, các giá trị này luôn được vẽ đồ thị trên đường tham chiếu trong trường hợp trong đó sự kết hợp xảy ra ở một vị trí. Mặt khác, trong trường hợp trong đó tiến trình cố định cacbon dioxit dự định sẽ thực hiện chức năng,  $^{13}\text{C}$  được kết hợp vào glutamat thông qua cả oxaloacetat và axetyl-CoA. Trong trường hợp này, có khả năng là  $^{13}\text{C}$  được kết hợp vào glutamat cả ở vị trí C1 và vị trí C5, kết quả là, giá trị  $[M+2]$  phải được làm tăng để tạo ra giá trị được vẽ đồ thị ở trên đường tham chiếu.

Như được thể hiện trên Fig. 4, mỗi trong số biến thể PA/mtk\_mcl\_gcl, biến thể PAΔaceB/mtk\_mcl\_gcl, và biến thể PAΔfumAC/mtk\_mcl\_gcl tạo ra giá trị được vẽ đồ thị chủ yếu bên trên đường tham chiếu. Tức là, tin rằng  $\text{CO}_2$  đã được cố định được kết hợp vào glutamat thông qua axetyl-CoA. Mặt khác, chung đối chứng (PA/vec) tạo ra giá trị được vẽ đồ thị trên đường tham chiếu, và sự kết hợp của  $^{13}\text{C}$  thông qua axetyl-CoA không được quan sát thấy. Tương tự, sự kết hợp của  $^{13}\text{C}$  thông qua axetyl-CoA không được quan sát thấy trong biến thể mà chỉ được đưa vào mtk+mcl (PA/mtk\_mcl). Tin rằng, vì *Pantoea ananatis*

không có gcl, việc chỉ truyền mtk và mcl là không đủ để cho phép sự chuyển hóa tiếp của glyoxylat, và, do đó, phản ứng không diễn ra tiếp. Từ các kết quả này, đã cho thấy rằng, như được thể hiện trên Fig. 1, không chỉ có việc đưa vào mtk và mcl mà cả việc liên kết với tiến trình gcl ở phía dưới là cần thiết cho sự chuyển hóa CO<sub>2</sub> thành axetyl-CoA.

#### Ví dụ 42

##### Sản xuất glutamat bởi biến thể *Pantoea*

Lượng glutamat và lượng sản phẩm phụ trong chất lỏng nuôi cấy trong Ví dụ 41 được xác định. Lượng glutamat trong mẫu nuôi cấy được xác định bằng cách sử dụng HPLC (2695, Waters) được lắp cột NN-814 (Showa Denko K.K.) và bộ dò UV/Vis (2489, Waters). Lượng glucoza và các sản phẩm khác trong phần dịch lọc được xác định bằng cách sử dụng HPLC (2695, Waters) được lắp cột ULTRON PS-80H (Shinwa Chemical Industries Ltd.) và bộ dò RI (2414, Waters). Các kết quả được thể hiện trong Bảng 14 và 15.

Bảng 14

Tên biến thể	Hiệu suất so với sự tiêu thụ đường (24 giờ)	Xác nhận sự kết hợp <sup>13</sup> C
PA/vec	9%	-
PA/mtk_mcl	10%	-
PA/mtk_mcl/gcl	11%	+
PAΔaceB/mtk_mcl/gcl	16%	+
PAΔfumAC/mtk_mcl/gcl	16%	+

Bảng 15

Tên biến thể	Sản phẩm phụ (g/L/24 giờ)						
	Etanol	Pyruvat	Sucxinat	Lactat	Axetat	2,3-BDO	Tổng lượng sản phẩm phụ
PA/vec	0,0	0,0	4,3	0,8	0,0	0,7	5,8
PA/mtk_mcl	0,0	0,0	3,0	0,5	1,7	0,1	5,2
PA/mtk_mcl/gcl	0,0	0,0	3,2	0,5	1,2	0,1	5,0
PAΔaceB/mtk_mcl/gcl	0,0	0,0	0,3	0,4	0,0	0,0	0,7
PAΔfumAC/mtk_mcl/gcl	0,1	0,0	0,0	0,7	3,7	0,0	4,6

Biến thể được cảm ứng mtk+mcl+gcl (PA/mtk\_mcl/gcl) cho thấy hiệu suất được cải

thiện so với sự tiêu thụ đường, so với chủng đối chứng (PA/vec) và biến thể được cảm ứng mtk+mcl (PA/mtk\_mcl). Trong trường hợp có sự phá vỡ của gen aceB hoặc gen fumAC (PAΔaceB/mtk\_mcl/gcl, PAΔfumAC/mtk\_mcl/gcl), hiệu suất so với sự tiêu thụ đường được làm tăng tiếp.

Đối với lượng sản phẩm phụ, so với chủng đối chứng (PA/vec), đã bất ngờ phát hiện thấy rằng, lượng succinat và 2,3-butandiol (2,3-BDO) được làm giảm và tổng lượng sản phẩm phụ được làm giảm trong biến thể được đưa vào mtk+mcl+gcl (PA/mtk\_mcl/gcl). Ngoài ra, so với biến thể không bị phá vỡ gen aceB (PA/mtk\_mcl/gcl), đã bất ngờ cho thấy rằng, lượng succinat và axetat được làm giảm, và tổng lượng sản phẩm phụ cũng được làm giảm một cách rõ rệt trong biến thể bị phá vỡ gen aceB (PAΔaceB/mtk\_mcl/gcl). Trong biến thể bị phá vỡ gen fumAC (PAΔfumAC/mtk\_mcl/gcl), lượng succinat được làm giảm một cách rõ rệt so với biến thể không bị phá vỡ gen fumAC (PA/mtk\_mcl/gcl), nhưng lượng axetat được làm tăng và tổng lượng sản phẩm phụ được làm giảm. Các biến thể này là được ưu tiên về mặt công nghiệp, vì lượng sản phẩm phụ ít hơn làm giảm đáng kể chi phí đối với quá trình tinh chế khi glutamat được thu gom từ chất lỏng nuôi cấy.

Hiệu quả làm giảm sản phẩm phụ nêu trên được quan sát thấy một cách tương tự trong biến thể PA không có RSFCPG.

#### Ví dụ 43

##### Chuẩn bị plasmit pCASET

Tiến hành khuếch đại bằng phương pháp PCR bằng cách sử dụng pHSG298 (Takara) làm khuôn và sử dụng CGCCTCGAGTGACTCATACCAGGCCTG (SEQ ID NO: 148) và CGCCTCGAGGCAACACCTTCTTCACGAG (SEQ ID NO: 149) làm các đoạn mồi, và mẫu ADN thu được được tiêu hóa bằng enzym giới hạn *Xho*I và được để cho nối bằng cách sử dụng ligaza. Sau đó, các tế bào khả biến *Escherichia coli* DH5 $\alpha$  (Toyobo Co., Ltd., DNA-903) được biến nạp với sản phẩm nối, và thu các thê biến nạp sinh trưởng trên đĩa thạch LB chứa 25  $\mu$ g/mL kanamycin. Các plasmit được thu hồi từ các tế bào vi khuẩn thu được, và plasmit trong đó vị trí nhận biết của *Xho*I được cài xen trong pHSG298 được đặt tên là pHSG298-XhoI.

Để thu được gen khởi đầu tac, tiến hành khuếch đại bằng phương pháp PCR bằng cách sử dụng pKK223-3 (Pharmacia) làm khuôn và sử dụng ATCATCCAGCTGTCAGGCAGCCATCGGAAG (SEQ ID NO: 150) và ATCCCCGGGAATTCTGTT (SEQ ID NO: 151) làm các đoạn mồi, và mẫu ADN thu được

được tiêu hóa bằng các enzym giới hạn *PvuII* và *SmaI*, kết quả là, thu mảnh ADN khoảng 0,2 kbp mã hóa gen khởi đầu tac. Mảnh ADN thu được được trộn với mảnh ADN khoảng 2,4 kbp chuẩn bị được bằng cách tiêu hóa plasmit pHSG298-XhoI bằng enzym giới hạn *PvuII* và thực hiện xử lý phosphataza kiềm đối với sản phẩm thu được, và các mảnh đã trộn được nối bằng cách sử dụng ligaza. Sau đó, các tế bào khả biến *Escherichia coli* DH5 $\alpha$  (Toyobo Co., Ltd., DNA-903) được biến nạp với sản phẩm nối, và thu các thế biến nạp sinh trưởng trên đĩa thạch LB chứa 25  $\mu$ g/mL kanamycin. Plasmit được thu hồi từ tế bào vi khuẩn thu được, nhờ đó thu được plasmit pHSGT1 trong đó gen khởi đầu lac của pHSG298-XhoI được thay thế bằng gen khởi đầu tac và gen khởi đầu tac được cài xen theo cùng hướng như gen khởi đầu lac ban đầu.

Để nối vị trí đa tách dòng của pHSG298 với vị trí ở phía dưới của gen khởi đầu tac của pHSGT1, pHSG298 được tiêu hóa bằng các enzym giới hạn *EcoRI* và *Clal*, nhờ đó thu được mảnh ADN khoảng 1,0 kbp chứa vị trí đa tách dòng của pHSG298. Mảnh ADN thu được được trộn với mảnh ADN khoảng 1,7 kbp chuẩn bị được bằng cách tiêu hóa plasmit pHSGT1 bằng các enzym giới hạn *EcoRI* và *Clal* và thực hiện xử lý phosphataza kiềm đối với sản phẩm thu được, và các mảnh đã trộn được nối bằng cách sử dụng ligaza. Sau đó, các tế bào khả biến *Escherichia coli* DH5 $\alpha$  (Toyobo Co., Ltd., DNA-903) được biến nạp với sản phẩm nối, và thu các thế biến nạp sinh trưởng trên đĩa thạch LB chứa 25  $\mu$ g/mL kanamycin. Plasmit được thu hồi tế bào vi khuẩn thu được, nhờ đó thu được plasmit pHSGT2 trong đó vị trí đa tách dòng của pHSG298 được nối với vị trí ở phía dưới của gen khởi đầu tac.

Mảnh ADN sau (SEQ ID NO:152) chứa gốc sao chép, repA, và repB của pCASE1(*Appl Microbiol Biotechnol* (2009) 81:1107-1115) tách được từ *Corynebacterium casei* JCM 12072 được chuẩn bị bởi quy trình tổng hợp ADN. Trình tự của mảnh này được thể hiện dưới đây.

```
CGCCTCGAGCACTGGAAGGGTTCTTCAGGGAAACCCCGGAAACCGGG
GAAACATCTGACTTGGTAAATGTCGTATTATGAACACGCCAGGAATGAAAAC
CGACCGTGCACGCTCGTGTGAGAAAGTCAGCTACATGAGACCAACTACCGCC
CTGAGGGACGCTTGAGCAGCTGTGGCTGCCCTGTGGCCATTGGCAAGCGAT
GACCTCCGTGAGGGCATTACCGCACCTCACGGAAGAACGCGCTGGATAAGCG
CTACGTCGAAGCCAATCCCGACCGCTCTCTAACCTCCTGGTCGTTGACATCGA
CCAGGAGGACCGCGCTTGCCTCTTGTGGACAGGGAGGACTGGAGACCT
AACGCGGTGGTTGAAAACCCCTTAAACGGGCACGCACACGCTGTCTGGCGC
```

TCGCGGAGCCATTACCCGCACCGAATACGCCAACGCAAGCCTTGGCCTATG  
 CCGCGGCTGTCACCGAAGGCCTACGGCGCTCTGTCGATGGCGATAGC GGATAC  
 TCCGGGCTGATCACCAAAAACCCCGAGCACACTGCATGGGATAGTCACTGGAT  
 CACCGATAAGCTGTATACGCTCGATGAGCTGCGCTTTGGCTCGAAGAAACCG  
 GCTTTATGCCGCCTGCGTCCTGGAGGAAAACGCCGGTCTCGCCAGTTGGT  
 CTAGGTCGTAATTGCGCACTCTTGAAAGCGCACGTACGTGGCATATCGGGAG  
 GTCAGAAAGCATTGGAGACGCTGACGGCCTAGGCCGCAATCCAAACCAC  
 CGCGCAAGCACTAACCAAGAGAGCTGTTGATGAACCAACTACCTGTGGCCGAAG  
 TTGACTGTATTGCCAGGTCAATCCATAAATGGATCATACCAAGTCACGCATGT  
 GGACAGACGGCGCCCGTCTACGACGCCACATTACCGCAATGCAATCCGCA  
 CGCGGGAAAGAAAGGCTGGCAACGAAGCGCTGAGGTGCGTCGTGAGGCTGGAC  
 ATACTCTTGGAGGAACATTGGCTAAGGTTATGCACGTTATCCACGCAACGGA  
 AAAACAGCCCGCGAGCTGGCAGAACGTGCCGGTATGTCGGTGAGAACAGCTC  
 AACGATGGACTTCCGAACCGCGTGAAGTGTTCATTAAACGTGCCAACGAGAAG  
 CGTGCCTCGTCCAGGAGCTGCGGCCAAAGGTCTGTCATGCCATGCGCGCTATCGC  
 GGCAGAGATTGGTTGCTCGGTGGCACGGTCACCGCTACGTCAAAGAAGTTG  
 AAGAGAAGAAAACCGCGTAAATCCAGCGTTAGTCACCCCTGGCGTGTCAA  
 AGTCCATCGTAACCAAGTCAGCTCGAGGCG

Mảnh ADN chuẩn bị được đúc tiêu hóa bằng enzym giới hạn *Xba*I. Mảnh ADN thu được đúc trộn với mảnh ADN chuẩn bị được bằng cách đúc tiêu hóa plasmid pHSGT2 bằng enzym giới hạn *Xba*I và thực hiện xử lý phosphataza kiềm đối với sản phẩm thu được, và các mảnh đã trộn đúc được nối bằng cách sử dụng ligaza. Sau đó, các tế bào kh้า biến *Escherichia coli* DH5 $\alpha$  (Toyobo Co., Ltd., DNA-903) được biến nạp với sản phẩm nối, và thu các thê biến nạp sinh trưởng trên đĩa thạch LB chứa 25  $\mu$ g/mL kanamycin. Các plasmid được thu hồi từ các tế bào vi khuẩn thu được, và plasmid trong đó mảnh ADN chứa gốc sao chép, repA, và repB của pCASE1 được cài xen ở vị trí nhận biết *Xba*I của pHSGT2 được đặt tên là pCASET. Trong pCASET được thu hồi, repA có nguồn gốc từ pCASE1 được cài xen theo hướng ngược so với gen khởi đầu tac.

#### Ví dụ 44

##### Tạo cấu trúc plasmid pCASEL

Mảnh ADN được tổng hợp trong Ví dụ 43 (SEQ ID NO: 152) chứa gốc sao chép, repA, và repB của pCASE1 được đúc tiêu hóa bằng enzym giới hạn *Xba*I. Mảnh ADN thu được đúc trộn với mảnh ADN chuẩn bị được bằng cách đúc tiêu hóa plasmid pHSG298-XbaI được

điều chế trong Ví dụ 43 bằng enzym giới hạn *XhoI* và thực hiện xử lý phosphataza kiềm đối với sản phẩm thu được, và các mảnh đã trộn được nối bằng cách sử dụng ligaza. Sau đó, các tế bào khả biến *Escherichia coli* DH5 $\alpha$  được biến nạp với sản phẩm nối, và thu các thế biến nạp sinh trưởng trên đĩa thạch LB chứa 25  $\mu$ g/mL kanamycin. Các plasmit được thu hồi từ các tế bào vi khuẩn thu được, và plasmit trong đó mảnh ADN chứa gốc sao chép, repA, và repB của pCASE1 được cài xen ở vị trí nhận biết *XhoI* của pHSG298-XhoI được đặt tên là pCASEL. Trong pCASEL được thu hồi, repA có nguồn gốc từ pCASE1 được cài xen theo hướng ngược so với gen khởi đầu lac có nguồn gốc từ pHSG298.

#### Ví dụ 45

Tạo cấu trúc plasmit biểu hiện cho mtk và mcl có nguồn gốc từ *Methylococcus capsulatus*

PCR được tiến hành bằng cách sử dụng pMWGKC\_mcl(Mc)\_mtk(Mc) làm khuôn và sử dụng cặp đoạn mồi của GGAATTCACAAAAAGGATAAAACAATGGCTGTCAAGAACCGTCTAC (SEQ ID NO: 153) và CGAATTCTCAGAACATCTGATTCCGTGTTCCCTG (SEQ ID NO: 154), kết quả là, thu được mảnh ADN chứa mcl-mtk của *Methylococcus*. Mỗi trong số các đoạn mồi của SEQ ID NO: 153 và 154 có vị trí nhận biết *EcoRI* ở phía đầu 5'. Mỗi trong số mảnh ADN thu được và plasmit pCASET được tiêu hóa bằng *EcoRI* và được khử phosphoryl hóa, và các mảnh thu được được để cho nối. Tương tự, mảnh ADN thu được và plasmit pCASEL được tiêu hóa. Bằng cách giải trình tự ADN, xác nhận được rằng mảnh mcl-mtk được cài xen trong theo hướng thích hợp cho sự biểu hiện với gen khởi đầu của plasmit. Plasmit thu được được đặt tên là pCASET\_mcl(Mc)\_mtk(Mc) hoặc pCASEL\_mcl(Mc)\_mtk(Mc).

#### Ví dụ 46

Tạo cấu trúc plasmit biểu hiện cho mtk có nguồn gốc từ *Granulibacter bethesdensis*, *Nitrosomonas europaea*, và *Hyphomicrobium methylovorum*

Các tế bào *Escherichia coli* khả biến *dam* $^+$ /*dcm* $^+$  (New England Biolabs) được biến nạp với mồi trong số pMWGKC\_mcl(Hme)\_mtk(Gb), pMWGKC\_mcl(Hme)\_mtk(Hme)\_mcl, và pMWGKC\_mcl(Ne)\_mtk(Ne), và được sinh trưởng trên môi trường LB chứa 30  $\mu$ g/mL cloramphenicol. Plasmit thu hồi từ đó được tiêu hóa bằng các enzym giới hạn *EcoRI* và *XbaI*, kết quả là, thu được mảnh ADN khoảng 3 kb chứa mtk và mcl. Mảnh ADN chứa mtk và mcl được nối với plasmit pCASEL mà đã được tiêu hóa bằng các enzym giới hạn *EcoRI* và *XbaI*, nhờ đó điều chế được các vectơ

pCASEL\_mcl(Hme)\_mtk(Gb), pCASEL\_mcl(Hme)\_mtk(Hme), và pCASEL\_mcl(Ne)\_mtk(Ne) để biểu hiện mtk và mcl trong *Corynebacterium*. Mỗi trong số các vectơ này có mtk của *Granulibacter bethesdensis*, *Nitrosomonas europaea*, hoặc *Hyphomicrobium methyllovorum*.

Các plasmid đối với *Corynebacterium* đã chuẩn bị được được tóm tắt trong Bảng 16.

Bảng 16

Số biến thể	Plasmid	Nguồn gốc mtk	Nguồn gốc mcl
MT-9	pCASEL_mcl(Hme)_mtk(Gb)	<i>Granulibacter bethesdensis</i>	<i>Hyphomicrobium methyllovorum</i>
MT-10	pCASEL_mcl(Hme)_mtk(Hme)	<i>Hyphomicrobium methyllovorum</i>	<i>Hyphomicrobium methyllovorum</i>
MT-11	pCASEL_mcl(Ne)_mtk(Ne)	<i>Nitrosomonas europaea</i>	<i>Nitrosomonas europaea</i>
MT-12	pCASEL_mcl(Mc)_mtk(Mc)	<i>Methylococcus capsulatus</i>	<i>Methylococcus capsulatus</i>
MT-13	pCASET_mcl(Mc)_mtk(Mc)	<i>Methylococcus capsulatus</i>	<i>Methylococcus capsulatus</i>

#### Ví dụ 47

##### Xác định hoạt tính mtk ở *Corynebacterium*

*Corynebacterium glutamicum* ATCC 13012 được biến nạp với mỗi trong số các plasmid được điều chế trong Ví dụ 45 và Ví dụ 46 bằng cách đục lỗ điện. Sản phẩm thu được được cấp vào đĩa thạch LB chứa 15 µg/mg kanamycin, và được nuôi cấy ở nhiệt độ 30°C trong từ 1 đến 4 ngày. Các khuẩn lạc thu được được nuôi cấy ở nhiệt độ 30°C trong từ 1 đến 4 ngày trong môi trường lỏng LB chứa 15 µg/mg kanamycin, và tế bào vi khuẩn được thu gom bằng cách phân tách bằng ly tâm. Các tế bào vi khuẩn được tạo huyền phù trong đêm MOPS-K (pH 7,7), và huyền phù thu được được nghiền bằng các hạt thủy tinh 0,1 mm sử dụng thiết bị Beads Shocker (MB5000, Yasui Kikai Corporation). Sau đó, dịch nồi bè mặt thu được bằng cách phân tách bằng ly tâm (13.000 vòng/phút trong 2 phút) được sử dụng làm chất chiết enzym thô đột biến. Hoạt tính trong tế bào vi khuẩn được xác định bằng cách sử dụng chất chiết này theo cách giống như trong Ví dụ 16. Các kết quả được thể hiện trong Bảng 17.

Bảng 17

Số biến thể	Plasmit	Hoạt tính (nmolphút/mg)
MT-9	pCASEL_mcl(Hme)_mtk(Gb)	5,5
MT-10	pCASEL_mcl(Hme)_mtk(Hme)	8,3
MT-11	pCASEL_mcl(Ne)_mtk(Ne)	11,0
MT-12	pCASEL_mcl(Mc)_mtk(Mc)	51,3
MT-13	pCASET_mcl(Mc)_mtk(Mc)	99,1

Trong trường hợp trong đó plasmit pCASEL được sử dụng làm vecto biểu hiện, plasmit biểu hiện mtk có nguồn gốc từ *Methylococcus capsulatus* tạo ra giá trị hoạt tính cao nhất. Ngoài ra, so với Bảng 9, hầu như quan sát thấy mỗi tương quan giống nhau vậy giữa mtk có hoạt tính cao và mtk có hoạt tính thấp. Việc đánh giá hoạt tính của mtk có nguồn gốc từ *Methylococcus capsulatus* được đưa vào pCASEL và được đưa vào pCASET cho thấy hoạt tính cao hơn trong biến thể có mtk được đưa vào pCASET.

#### Ví dụ 48

Tạo cấu trúc plasmit biểu hiện cho mtk, mcl, gcl, và glxR trong *Corynebacterium*

*Rhodococcus jostii* NBRC16295 được mua từ NBRC (Biological Resource Center, Biotechnology Field, National Institute of Technology and Evaluation). NBRC16295 được nuôi cấy trong môi trường (môi trường số: 802, NBRC), và ADN hệ gen thu được từ đó bằng cách sử dụng bộ kit DNeasy Blood & Tissue Kit (QIAGEN). PCR được tiến hành bằng cách sử dụng ADN hệ gen này làm khuôn và sử dụng CGAGCTCAAGCTTACAAAAAGGATAAAACAATGAGCACCATTGCATTCATCGG (SEQ ID NO: 155) và CGGGATCCCTAGTCCAGCAGCATGAGAG (SEQ ID NO: 156) làm các đoạn mồi, kết quả là, thu được mảnh glxR-gcl của *Rhodococcus* (SEQ ID NO: 157). Mảnh thu được được tiêu hóa bằng *SacI* và *BamHI*, và sản phẩm thu được được nối với mảnh thu được bằng cách tiêu hóa pCASET\_mcl(Mc)\_mtk(Mc) bằng *SacI* và *BamHI*. Plasmit thu được được đặt tên là pCASET\_mcl(Mc)\_mtk(Mc)\_glxR(Rj)\_gcl(Rj).

#### Ví dụ 49

Tạo cấu trúc biến thể *Corynebacterium glutamicum* để đánh giá sự sản xuất glutamat và sự kết hợp của  $^{13}\text{C}$

*Corynebacterium glutamicum* DSM1412 (sau đây trong bản mô tả này đôi khi được gọi là "chủng CG") được biến nạp với mỗi trong số các plasmit đã được tạo cấu trúc trong

Ví dụ 43, 45, và 48 bằng cách đục lỗ điện, và được cấp vào đĩa thạch LB chứa 15 µg/mL kanamycin. Khuẩn lạc sinh trưởng trên đĩa này được sử dụng làm biến thể để đánh giá. Các biến thể thu được được tóm tắt trong Bảng 18.

Bảng 18

Tên biến thể	Plasmid/Biến thể	Đặc điểm
CG/vec	pCASET / C. glutamicam	Không có mtk, mcl, gcl, và glxR
CG/mtk_mcl	pCASET_mcl(Mc)_mtk(Mc) / C. glutamicam	Có sự biểu hiện của mtk và mcl, không có gcl và glxR
CG/mtk_mcl/gcl-glxR	pCASET_mcl(Mc)_mtk(Mc)_glxR(Rj)_gcl(Rj) / C. glutamicam	Có sự biểu hiện của mtk, mcl, gcl, và glxR

## Ví dụ 50

Xác nhận việc đưa CO<sub>2</sub> được gắn nhãn <sup>13</sup>C vào glutamat trong các biến thể *Corynebacterium*

Mỗi trong số các biến thể vi sinh vật cần được phân tích được nuôi cấy trong 2 mL môi trường LB lỏng chứa 15 µg/mL kanamycin ở nhiệt độ 30°C và 280 vòng/phút cho đến khi đạt được sự sinh trưởng đủ. Trong bình Erlenmeyer dung tích 100 mL được lắp lưỡi khuấy, 10 mL môi trường tối thiểu [30 g/L (NH<sub>4</sub>)<sub>2</sub>SO<sub>4</sub>, 3 g/L Na<sub>2</sub>HPO<sub>4</sub>, 6 g/L KH<sub>2</sub>PO<sub>4</sub>, 2 g/L NaCl, 84 mg/L CaCl<sub>2</sub>, 3,9 mg/L FeCl<sub>3</sub>, 0,9 mg/L ZnSO<sub>4</sub>·7H<sub>2</sub>O, 0,3 mg/L CuCl<sub>2</sub>·H<sub>2</sub>O, 5,56 mg/L MnSO<sub>4</sub>·5H<sub>2</sub>O, 0,1 mg/L (NH<sub>4</sub>)<sub>6</sub>Mo<sub>7</sub>O<sub>24</sub>·4H<sub>2</sub>O, 0,3 mg/L Na<sub>2</sub>B<sub>4</sub>O<sub>7</sub>·10H<sub>2</sub>O, 0,4 g/L MgSO<sub>4</sub>·7H<sub>2</sub>O, 40 mg/L FeSO<sub>4</sub>·7H<sub>2</sub>O, 500 µg/L Vitamin B1·HCl, 0,1 g/L EDTA, 10 µg/L Biotin] cho *Corynebacterium* chứa 20 g/L glucoza và 15 µg/mL kanamycin được điều chế. 1 mL giống cấy trong môi trường LB lỏng ở trên được bổ sung vào đó, và hỗn hợp được nuôi cấy trong từ 1 đến 4 ngày cho đến khi đạt đến sự sinh trưởng đủ, nhờ đó thu được giống cấy sơ bộ. Từ giống cấy sơ bộ này, tế bào vi khuẩn được thu gom bằng cách phân tách bằng ly tâm (5000 vòng/phút trong 5 phút).

2 mL môi trường nuôi cấy cho *Corynebacterium* (nồng độ cuối cùng của Biotin được thay đổi đến 2 µg/L) chứa 100 mM natri hydro cacbonat (được gắn nhãn <sup>13</sup>C), 20 g/L glucoza, 1,5% (khối lượng/thể tích) Tween 60 (do Sigma-Aldrich Co. sản xuất), và 15 µg/mL kanamycin được điều chế, và tế bào vi khuẩn từ giống cấy sơ bộ được bổ sung vào đó sao cho OD được bổ sung vào đó sao cho OD được điều chỉnh trong khoảng từ 1 đến 5. Sau khi bít kín bình nuôi cấy, tế bào vi khuẩn được nuôi cấy ở nhiệt độ 30°C và 150 vòng/phút trong từ 1 đến 2 ngày. Chất lỏng nuôi cấy được lấy mẫu một cách định kỳ, và tế bào vi khuẩn được loại bỏ bằng cách phân tách bằng ly tâm (Millipore Corporation, 12.000 vòng/phút trong 3 phút). Dịch nổi bề mặt thu được được lọc qua thiết bị lọc màng PTFE ưa nước (Millipore Corporation, MSGVN2B50), nhờ đó thu được mẫu nuôi cấy. Hàm lượng <sup>13</sup>C của mẫu nuôi cấy được phân tích theo cách giống như trong Ví dụ 41. Tức là, diện tích tương ứng của các đỉnh ở khối lượng phân tử bằng 432, 433, và 434 trong phân tích GC-MS được xác định là [M], [M+1], và [M+2], một cách tương ứng, và giá trị của [M+1]/[M] được vẽ đồ thị trên trục x và giá trị của [M+2]/[M] được vẽ đồ thị trên trục y. Đường tham chiếu thu được bằng cách tính toán theo phương pháp được mô tả trong Ví dụ 41.

Dựa trên Fig. 5, biến thể được đưa vào mtk+mcl+gcl+glxR (CG/mtk\_mcl\_gcl\_glxR) tạo ra giá trị được vẽ đồ thị bên trên đường tham chiếu, và tin rằng CO<sub>2</sub> đã được cố định được kết hợp vào glutamat thông qua axetyl-CoA. Mặt khác, chủng đối chứng (CG/vec),

tạo ra giá trị được vẽ đồ thị hầu như nằm trên đường tham chiếu, và sự kết hợp của  $^{13}\text{C}$  thông qua axetyl-CoA không được quan sát thấy. Tương tự, biến thể được đưa vào mtk+mcl (CG/mtk\_mcl) tạo ra giá trị được vẽ đồ thị hầu như nằm trên đường tham chiếu, và không quan sát thấy sự kết hợp của  $^{13}\text{C}$  thông qua axetyl-CoA. Tin rằng, vì *Corynebacterium glutamicum* không có gcl và glxR, việc chỉ truyền mtk và mcl là không đủ để cho phản ứng diễn ra, như trong trường hợp của *Pantoea ananatis*.

#### Ví dụ 51

##### Thử nghiệm sản xuất glutamat ở các biến thể *Corynebacterium*

Lượng glutamat và lượng sản phẩm phụ trong chất lỏng nuôi cấy trong Ví dụ 50 được xác định. Theo cách giống như trong Ví dụ 42, glutamat, glucoza, và các hợp chất hữu cơ khác trong chất lỏng nuôi cấy được phân tích. Các kết quả được thể hiện trong Bảng 19 và 20.

Bảng 19

Tên biến thể	Hiệu suất so với sự tiêu thụ đường (24 giờ)	Kết quả của phân tích $^{13}\text{C}$
CG/vec	2%	-
CG/mtk_mcl	3%	-
CG/mtk_mcl_gcl_glxR	6%	+

Bảng 20

Tên biến thể	Sản phẩm phụ (g/L/24 giờ)					
	Etanol	Pyruvat	Sucxinat	Lactat	Axetat	Tổng lượng sản phẩm phụ
CG/vec	0,0	0,0	0,2	1,6	0,3	2,1
CG/mtk_mcl	0,0	0,0	0,3	1,6	0,3	2,2
CG/mtk_mcl_gcl_glxR	0,0	0,0	0,1	0,6	0,2	0,9

Biến thể được đưa vào mtk+mcl+gcl+glxR (CG/mtk\_mcl\_gcl\_glxR) cho thấy hiệu suất được cải thiện so với sự tiêu thụ đường, so với chủng đối chứng (CG/vec) và biến thể (CG/mtk\_mcl) trong đó chỉ có mtk+mcl được đưa vào.

Đối với lượng sản phẩm phụ, so với chủng đối chứng (CG/vec), đã bất ngờ phát hiện thấy rằng, lượng lactat được làm giảm chủ yếu và tổng lượng sản phẩm phụ được làm giảm trong biến thể được đưa vào mtk+mcl+gcl+glxR (CG/mtk\_mcl\_gcl\_glxR). Trong biến thể

(CG/mtk\_mcl) trong đó chỉ có mtk+mcl được đưa vào, lượng sản phẩm phụ là hầu như giống như lượng sản phẩm phụ trong chủng đối chứng.

#### Ví dụ 52

Tăng cường hoạt tính bằng cách đưa các đột biến vào gen mã hóa malat thiokinaza có nguồn gốc từ *Methylobacterium extorquens*

PCR được tiến hành bằng cách sử dụng pMWGKC\_mtk(Mex)\_mcl làm khuôn và mỗi trong số các cặp đoạn mồi được thể hiện trong Bảng 21. Khuôn được tiêu hóa bằng enzym giới hạn *DpnI*. Sau đó, các tế bào khả biến *Escherichia coli* DH5 $\alpha$  được biến nạp với sản phẩm thu được, và thu các thê biến nạp sinh trưởng trên đĩa thạch LB chứa 10  $\mu$ g/mL cloramphenicol. Các khuẩn lạc thu được được nuôi cấy ở nhiệt độ 30°C qua đêm trong môi trường lỏng LB chứa 10  $\mu$ g/mL cloramphenicol. Plasmit được thu hồi từ một phần chất lỏng nuôi cấy, và trình tự ADN của nó được kiểm tra. Plasmit trong đó đột biến dự định được đưa vào một cách thích hợp được sử dụng làm mẫu đột biến. Mẫu này được nuôi cấy sơ bộ trong môi trường lỏng LB chứa 10  $\mu$ g/mL cloramphenicol, và sau đó được cấy vào 3 mL môi trường LB lỏng chứa 10  $\mu$ g/mL cloramphenicol và được nuôi cấy ở nhiệt độ 30°C và 280 vòng/phút qua đêm. Hai mililit của giống cấy được tách bằng cách ly tâm ở tốc độ 10.000 vòng/phút trong 5 phút để loại bỏ dịch nổi bề mặt, và 2 mL đệm phosphat 10 mM (pH 7,0) được bổ sung vào đó, sau đó là rửa các tế bào. Bước rửa được lặp lại một lần, và các tế bào được tạo huyền phù trong 500  $\mu$ L đệm phosphat 10 mM (pH 7,0). Huyền phù thu được được nghiền bằng các hạt thủy tinh 0,1 mm sử dụng thiết bị Beads Shocker (MB5000, Yasui Kikai Corporation), và dịch nổi bề mặt thu được bằng cách phân tách bằng ly tâm (13.000 vòng/phút trong 2 phút) được sử dụng làm chất chiết enzym thô đột biến.

Hoạt tính của mỗi chất chiết enzym thô đột biến được đánh giá theo phương pháp được mô tả trong Ví dụ 16. Các kết quả được thể hiện trong Bảng 21. Kết quả là, đột biến Q244E trong mtkB và đột biến L144I trong mtkB cải thiện giá trị hoạt tính so với mtkB không được đột biến. Ngoài ra, hoạt tính được cải thiện bằng cách đưa axit amin khác vào vị trí Q244 của mtkB, khi axit amin được đưa vào là A, L, I, M, N, Y, K, hoặc R. Ngoài ra, hoạt tính được cải thiện bằng cách đưa đột biến vào vị trí L144 của mtkB, khi axit amin được đưa vào là N, D, K, R, H, Q, hoặc P.

Bảng 21

Loại đột biến (Kiểu dạng)	Hoạt tính tương đối (1)	Vị trí
mtkB_Q244E	1,9	158,159
mtkB_Q244A	1,2	160,161
mtkB_Q244L	1,1	162,163
mtkB_Q244I	1,2	164,165
mtkB_Q244M	1,1	166,167
mtkB_Q244N	1,2	168,169
mtkB_Q244Y	1,1	170,171
mtkB_Q244K	1,3	172,173
mtkB_Q244R	1,3	174,175
mtkB_L144I	1,1	176,177
mtkB_L144N	2,1	178,179
mtkB_L144D	1,8	180,181
mtkB_L144K	1,5	182,183
mtkB_L144R	1,9	184,185
mtkB_L144H	1,4	186,187
mtkB_L144Q	1,4	188,189
mtkB_L144P	2,4	190,191

Theo sáng chế, CO<sub>2</sub> có thể được chuyển hóa thành axetyl-CoA. Ngoài ra, theo sáng chế, chất có nguồn gốc từ axetyl-CoA như rượu isopropyllic, axeton, và axit glutamic có thể được sản xuất một cách hiệu quả.

Phản bội lộ của đơn yêu cầu cấp patent Nhật Bản số 2011-167808 nộp ngày 29 tháng 7 năm 2011 được đưa vào bản mô tả này bằng cách viện dẫn.

Tất cả các tài liệu công bố, đơn yêu cầu cấp patent, và các tiêu chuẩn kỹ thuật nêu trong bản mô tả này được đưa vào bản mô tả này bằng cách viện dẫn.

### YÊU CẦU BẢO HỘ

1. Vì sinh vật sản xuất axetyl-CoA có chu trình sản xuất axetyl-CoA thu được bằng cách truyền ít nhất một loại hoạt tính enzym được chọn từ nhóm bao gồm malat thiokinaza, maryl-CoA lyaza, glyoxylat carboligaza, 2-hydroxy-3-oxopropionat reductaza, và hydroxypyruvat reductaza, cho vi sinh vật mà không thể hiện chức năng nào trong số các chức năng của chu trình cố định cacbon dioxit có phản ứng enzym từ các phản ứng enzym từ (a) đến (d) sau:

- (a) malonyl-CoA thành malonat semialdehyt hoặc 3-hydroxypropionat;
- (b) axetyl-CoA và CO<sub>2</sub> thành pyruvat;
- (c) crotonyl-CoA và CO<sub>2</sub> thành etylmalonyl-CoA hoặc glutaconyl-CoA; và
- (d) CO<sub>2</sub> thành format;

trong đó vi sinh vật này không có hoạt tính malat thiokinaza và/hoặc maryl-CoA lyaza nội sinh bất kỳ.

2. Vì sinh vật sản xuất axetyl-CoA theo điểm 1, trong đó vi sinh vật này có chu trình sản xuất axetyl-CoA trong đó phosphoenolpyruvat hoặc pyruvat được chuyển hóa thành oxaloacetat, và sau đó thành 2-hydroxy-3-oxopropionat do các tác động của malat thiokinaza, maryl-CoA lyaza, glyoxylat carboligaza, và sau đó lại thành phosphoenol pyruvat thông qua 2-phosphoglycerat.

3. Vì sinh vật sản xuất axetyl-CoA theo điểm 1 hoặc 2, trong đó vi sinh vật này có chu trình sản xuất axetyl-CoA bao gồm:

- (f) ít nhất một enzym được chọn từ nhóm bao gồm:

pyruvat kinaza và pyruvat carboxylaza;  
phosphoenolpyruvat carboxylaza; và  
phosphoenolpyruvat carboxykinaza;

- (g) malat dehydrogenaza;

- (h) malat thiokinaza;

- (i) maryl-CoA lyaza;

- (j) glyoxylat carboligaza;

- (k) ít nhất một enzym được chọn từ nhóm bao gồm:

2-hydroxy-3-oxopropionat reductaza; và  
hydroxypyruvat isomeraza và hydroxypyruvat reductaza;

(l) ít nhất một enzym được chọn từ nhóm bao gồm:

glyxerat 2-kinaza; và  
phosphoglyxerat mutaza và glyxerat 3-kinaza; và

(m) enolaza.

4. Vi sinh vật sản xuất axetyl-CoA theo điểm bất kỳ trong số các điểm từ 1 đến 3, trong đó vi sinh vật này là vi sinh vật thuộc Enterobacteriaceae hoặc vi sinh vật thuộc vi khuẩn coryneform.

5. Vi sinh vật sản xuất axetyl-CoA theo điểm bất kỳ trong số các điểm từ 1 đến 4, trong đó vi sinh vật này là vi khuẩn *Escherichia* hoặc vi khuẩn *Pantoea* thuộc Enterobacteriaceae, hoặc vi sinh vật này là vi khuẩn *Corynebacterium* thuộc vi khuẩn coryneform.

6. Vi sinh vật sản xuất axetyl-CoA theo điểm bất kỳ trong số các điểm từ 1 đến 5, trong đó vi sinh vật này là vi khuẩn *Escherichia* trong đó hoạt tính của lactat dehydrogenaza sở hữu bởi vi khuẩn *Escherichia* được làm bất hoạt hoặc được làm giảm.

7. Vi sinh vật sản xuất axetyl-CoA theo điểm bất kỳ trong số các điểm từ 1 đến 6, trong đó vi sinh vật này là vi khuẩn *Escherichia* trong đó hoạt tính của ít nhất một enzym được chọn từ nhóm bao gồm isoxitrat lyaza và malat synthaza sở hữu bởi vi khuẩn *Escherichia* được làm bất hoạt hoặc được làm giảm.

8. Vi sinh vật sản xuất axetyl-CoA theo điểm bất kỳ trong số các điểm từ 1 đến 7, trong đó vi sinh vật này là vi khuẩn *Escherichia* trong đó hoạt tính thiolaza, hoạt tính CoA transferaza, và hoạt tính axetoacetat decarboxylaza được truyền hoặc được tăng cường.

9. Vi sinh vật sản xuất axetyl-CoA theo điểm bất kỳ trong số các điểm từ 1 đến 8, trong đó vi sinh vật này là vi khuẩn *Escherichia* trong đó hoạt tính thiolaza, hoạt tính CoA transferaza, hoạt tính axetoacetat decarboxylaza, và hoạt tính dehydrogenaza rượu isopropyllic được truyền hoặc được tăng cường.

10. Vi sinh vật sản xuất axetyl-CoA theo điểm bất kỳ trong số các điểm từ 1 đến 5, trong đó vi sinh vật này là vi khuẩn *Pantoea* trong đó:

(i) hoạt tính của fumarat hydrataza A và fumarat hydrataza C sở hữu bởi vi khuẩn *Pantoea* được làm bất hoạt hoặc được làm giảm; hoặc

(ii) hoạt tính của malat synthaza sở hữu bởi vi khuẩn *Pantoea* được làm bất hoạt hoặc được làm giảm.

11. Vi sinh vật sản xuất axetyl-CoA theo điểm bất kỳ trong số các điểm từ 1 đến 10, trong đó malat thiokinaza được sử dụng là malat thiokinaza thu được bằng cách cải biến mtkB có nguồn gốc từ *Methylobacterium extorquens* để biến đổi axit amin tương ứng với axit amin thứ 144 thành isoleuxin, asparagin, axit aspartic, lysin, arginin, histidin, glutamin, hoặc prolin, và/hoặc để biến đổi axit amin thứ 244 thành axit glutamic, alanin, leuxin, isoleuxin, methionin, asparagin, tyrosin, lysin, hoặc arginin.

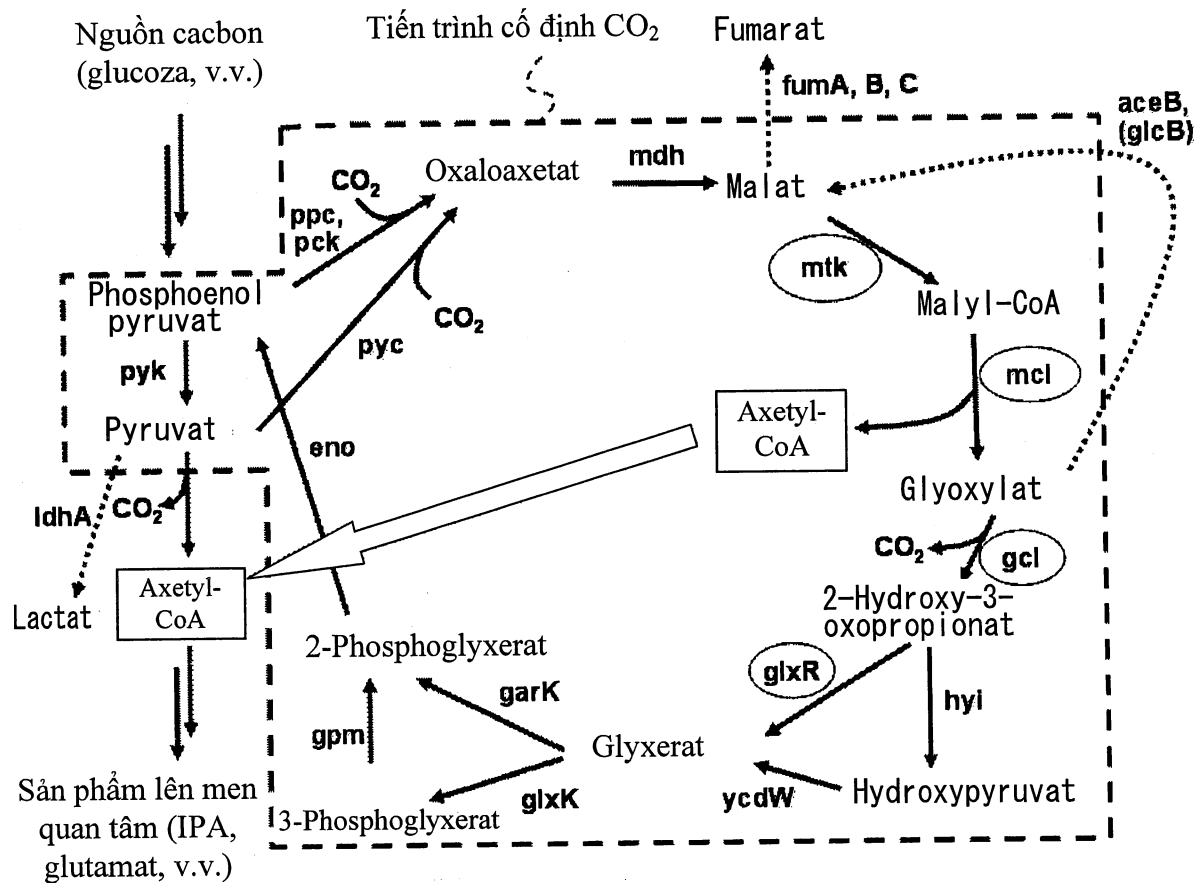
12. Phương pháp sản xuất axetyl-CoA, bao gồm bước sản xuất axetyl-CoA từ nguyên liệu nguồn cacbon sử dụng vi sinh vật sản xuất axetyl-CoA theo điểm bất kỳ trong số các điểm từ 1 đến 11.

13. Phương pháp sản xuất axeton, bao gồm bước sản xuất axeton từ nguyên liệu nguồn cacbon sử dụng vi sinh vật sản xuất axetyl-CoA theo điểm 8, điểm 9 hoặc điểm 11.

14. Phương pháp sản xuất rượu isopropyllic, bao gồm bước sản xuất rượu isopropyllic từ nguyên liệu nguồn cacbon sử dụng vi sinh vật sản xuất axetyl-CoA theo điểm 9 hoặc điểm 11.

15. Phương pháp sản xuất glutamat, bao gồm bước sản xuất glutamat từ nguyên liệu nguồn cacbon sử dụng vi sinh vật sản xuất axetyl-CoA theo điểm 5, điểm 10, hoặc điểm 11.

FIG.1



**FIG.2A**

**FIG.2B**

Các axit amin được bảo toàn ở tất cả các loài

Các trình tự phổ biến trong Rh, Hd, Hme, Ne, Mc, gam

Các axit amin được bảo toàn ở một số loài

Các trình tự phổ biến trong Rh, Hd, Hme, Ne

Các trình tự phổ biến trong Mc, gam

**FIG.3A**

30

Me MtkA	1	M <b>S</b> T <b>E</b> <b>I</b> <b>D</b> <b>A</b> <b>K</b> <b>T</b> <b>P</b> <b>T</b> <b>L</b> <b>V</b> <b>G</b> <b>I</b> <b>T</b> <b>G</b> <b>D</b> <b>K</b> <b>G</b> <b>F</b> <b>F</b> <b>H</b> <b>A</b> <b>K</b> <b>T</b> <b>M</b> <b>N</b> <b>A</b> <b>G</b> <b>G</b> <b>S</b> <b>N</b> <b>V</b> <b>V</b> <b>G</b> <b>G</b> <b>V</b> <b>T</b> <b>P</b> <b>G</b> <b>N</b> <b>G</b> <b>E</b> <b>K</b> <b>T</b> <b>H</b> <b>C</b> <b>-----</b> <b>V</b> <b>F</b> <b>V</b> <b>E</b> <b>N</b>
Rh MtkA	1	M <b>S</b> D <b>E</b> <b>I</b> <b>L</b> <b>D</b> <b>K</b> <b>N</b> <b>R</b> <b>V</b> <b>I</b> <b>T</b> <b>V</b> <b>G</b> <b>I</b> <b>T</b> <b>G</b> <b>K</b> <b>I</b> <b>G</b> <b>S</b> <b>F</b> <b>H</b> <b>A</b> <b>E</b> <b>D</b> <b>M</b> <b>K</b> <b>R</b> <b>V</b> <b>E</b> <b>T</b> <b>M</b> <b>V</b> <b>V</b> <b>G</b> <b>G</b> <b>V</b> <b>T</b> <b>P</b> <b>G</b> <b>N</b> <b>G</b> <b>E</b> <b>Q</b> <b>A</b> <b>H</b> <b>L</b> <b>-----</b> <b>M</b> <b>F</b> <b>V</b> <b>E</b> <b>N</b>
Hd MtkA	1	M <b>A</b> <b>I</b> <b>F</b> <b>U</b> <b>N</b> <b>E</b> <b>K</b> <b>T</b> <b>P</b> <b>T</b> <b>L</b> <b>V</b> <b>G</b> <b>I</b> <b>T</b> <b>G</b> <b>R</b> <b>I</b> <b>G</b> <b>F</b> <b>H</b> <b>A</b> <b>Q</b> <b>E</b> <b>B</b> <b>M</b> <b>D</b> <b>V</b> <b>S</b> <b>N</b> <b>V</b> <b>V</b> <b>G</b> <b>G</b> <b>V</b> <b>T</b> <b>P</b> <b>G</b> <b>N</b> <b>G</b> <b>E</b> <b>T</b> <b>S</b> <b>H</b> <b>L</b> <b>-----</b> <b>R</b> <b>F</b> <b>V</b> <b>E</b> <b>N</b>
HmeMtkA	1	M <b>A</b> <b>I</b> <b>F</b> <b>U</b> <b>N</b> <b>E</b> <b>K</b> <b>T</b> <b>P</b> <b>T</b> <b>L</b> <b>V</b> <b>G</b> <b>I</b> <b>T</b> <b>G</b> <b>R</b> <b>I</b> <b>G</b> <b>F</b> <b>H</b> <b>A</b> <b>Q</b> <b>E</b> <b>B</b> <b>M</b> <b>D</b> <b>V</b> <b>S</b> <b>N</b> <b>V</b> <b>V</b> <b>G</b> <b>G</b> <b>V</b> <b>T</b> <b>P</b> <b>G</b> <b>N</b> <b>G</b> <b>E</b> <b>T</b> <b>S</b> <b>H</b> <b>L</b> <b>-----</b> <b>R</b> <b>F</b> <b>V</b> <b>E</b> <b>N</b>
Ne MtkA	1	M <b>A</b> <b>I</b> <b>F</b> <b>U</b> <b>N</b> <b>E</b> <b>K</b> <b>T</b> <b>P</b> <b>T</b> <b>L</b> <b>V</b> <b>G</b> <b>I</b> <b>T</b> <b>G</b> <b>R</b> <b>I</b> <b>G</b> <b>F</b> <b>H</b> <b>A</b> <b>Q</b> <b>E</b> <b>B</b> <b>M</b> <b>D</b> <b>V</b> <b>S</b> <b>N</b> <b>V</b> <b>V</b> <b>G</b> <b>G</b> <b>V</b> <b>T</b> <b>P</b> <b>G</b> <b>N</b> <b>G</b> <b>E</b> <b>Q</b> <b>K</b> <b>H</b> <b>L</b> <b>-----</b> <b>L</b> <b>P</b> <b>V</b> <b>E</b> <b>N</b>
Mc MtkA	1	M <b>S</b> <b>V</b> <b>F</b> <b>V</b> <b>N</b> <b>K</b> <b>H</b> <b>S</b> <b>K</b> <b>V</b> <b>I</b> <b>F</b> <b>G</b> <b>G</b> <b>T</b> <b>G</b> <b>E</b> <b>H</b> <b>G</b> <b>F</b> <b>H</b> <b>A</b> <b>K</b> <b>D</b> <b>A</b> <b>M</b> <b>R</b> <b>M</b> <b>G</b> <b>T</b> <b>R</b> <b>V</b> <b>V</b> <b>G</b> <b>G</b> <b>V</b> <b>T</b> <b>P</b> <b>G</b> <b>N</b> <b>G</b> <b>E</b> <b>T</b> <b>R</b> <b>H</b> <b>P</b> <b>D</b> <b>P</b> <b>E</b> <b>L</b> <b>A</b> <b>H</b> <b>L</b> <b>P</b> <b>V</b> <b>E</b> <b>D</b> <b>-----</b>
gamMtkA	1	M <b>S</b> <b>I</b> <b>F</b> <b>V</b> <b>N</b> <b>R</b> <b>H</b> <b>S</b> <b>R</b> <b>V</b> <b>I</b> <b>I</b> <b>Q</b> <b>G</b> <b>T</b> <b>G</b> <b>O</b> <b>H</b> <b>G</b> <b>F</b> <b>H</b> <b>A</b> <b>S</b> <b>A</b> <b>I</b> <b>R</b> <b>E</b> <b>T</b> <b>Q</b> <b>V</b> <b>V</b> <b>G</b> <b>G</b> <b>V</b> <b>T</b> <b>P</b> <b>G</b> <b>N</b> <b>G</b> <b>E</b> <b>S</b> <b>K</b> <b>H</b> <b>L</b> <b>C</b> <b>-----</b> <b>L</b> <b>P</b> <b>V</b> <b>E</b> <b>D</b>

\* \* \* \* \* + # \* \* \* \*

90

Me MtkA	56	T <b>V</b> <b>R</b> <b>E</b> <b>A</b> <b>V</b> <b>E</b> <b>A</b> <b>T</b> <b>G</b> <b>A</b> <b>T</b> <b>T</b> <b>F</b> <b>V</b> <b>A</b> <b>P</b> <b>R</b> <b>A</b> <b>A</b> <b>T</b> <b>M</b> <b>E</b> <b>A</b> <b>A</b> <b>I</b> <b>D</b> <b>A</b> <b>G</b> <b>L</b> <b>D</b> <b>V</b> <b>C</b> <b>S</b> <b>I</b> <b>T</b> <b>D</b> <b>G</b> <b>I</b> <b>F</b> <b>A</b> <b>O</b> <b>D</b> <b>I</b> <b>M</b> <b>M</b> <b>R</b> <b>A</b> <b>M</b> <b>R</b> <b>E</b> <b>Y</b> <b>-----</b>
Rh MtkA	56	T <b>V</b> <b>R</b> <b>G</b> <b>A</b> <b>V</b> <b>Q</b> <b>E</b> <b>T</b> <b>G</b> <b>A</b> <b>D</b> <b>A</b> <b>E</b> <b>A</b> <b>T</b> <b>I</b> <b>F</b> <b>V</b> <b>P</b> <b>R</b> <b>A</b> <b>S</b> <b>S</b> <b>M</b> <b>E</b> <b>A</b> <b>A</b> <b>D</b> <b>A</b> <b>G</b> <b>R</b> <b>L</b> <b>C</b> <b>C</b> <b>I</b> <b>D</b> <b>G</b> <b>I</b> <b>F</b> <b>S</b> <b>O</b> <b>D</b> <b>I</b> <b>M</b> <b>R</b> <b>E</b> <b>Y</b> <b>-----</b>
Hd MtkA	56	T <b>V</b> <b>R</b> <b>G</b> <b>A</b> <b>V</b> <b>Q</b> <b>E</b> <b>T</b> <b>G</b> <b>A</b> <b>D</b> <b>A</b> <b>E</b> <b>A</b> <b>T</b> <b>I</b> <b>F</b> <b>V</b> <b>F</b> <b>P</b> <b>R</b> <b>A</b> <b>S</b> <b>S</b> <b>M</b> <b>E</b> <b>A</b> <b>A</b> <b>D</b> <b>A</b> <b>G</b> <b>R</b> <b>L</b> <b>C</b> <b>C</b> <b>I</b> <b>D</b> <b>G</b> <b>I</b> <b>F</b> <b>P</b> <b>A</b> <b>D</b> <b>I</b> <b>M</b> <b>R</b> <b>E</b> <b>Y</b> <b>-----</b>
HmeMtkA	56	T <b>V</b> <b>R</b> <b>G</b> <b>A</b> <b>D</b> <b>E</b> <b>T</b> <b>G</b> <b>A</b> <b>E</b> <b>A</b> <b>S</b> <b>T</b> <b>V</b> <b>F</b> <b>V</b> <b>P</b> <b>R</b> <b>A</b> <b>S</b> <b>S</b> <b>M</b> <b>E</b> <b>A</b> <b>A</b> <b>D</b> <b>A</b> <b>G</b> <b>R</b> <b>L</b> <b>C</b> <b>C</b> <b>I</b> <b>D</b> <b>G</b> <b>I</b> <b>F</b> <b>A</b> <b>O</b> <b>D</b> <b>I</b> <b>M</b> <b>R</b> <b>E</b> <b>Y</b> <b>-----</b>
Ne MtkA	56	T <b>V</b> <b>R</b> <b>E</b> <b>A</b> <b>V</b> <b>E</b> <b>Q</b> <b>A</b> <b>G</b> <b>E</b> <b>A</b> <b>S</b> <b>T</b> <b>V</b> <b>F</b> <b>V</b> <b>P</b> <b>R</b> <b>A</b> <b>S</b> <b>S</b> <b>M</b> <b>E</b> <b>A</b> <b>A</b> <b>D</b> <b>A</b> <b>G</b> <b>R</b> <b>L</b> <b>C</b> <b>C</b> <b>I</b> <b>D</b> <b>G</b> <b>I</b> <b>F</b> <b>S</b> <b>I</b> <b>M</b> <b>T</b> <b>E</b> <b>N</b> <b>F</b> <b>L</b> <b>F</b> <b>-----</b>
Mc MtkA	61	T <b>V</b> <b>A</b> <b>E</b> <b>A</b> <b>V</b> <b>A</b> <b>A</b> <b>I</b> <b>G</b> <b>D</b> <b>V</b> <b>S</b> <b>A</b> <b>V</b> <b>F</b> <b>V</b> <b>P</b> <b>R</b> <b>N</b> <b>A</b> <b>N</b> <b>A</b> <b>L</b> <b>M</b> <b>E</b> <b>I</b> <b>D</b> <b>A</b> <b>G</b> <b>R</b> <b>V</b> <b>A</b> <b>T</b> <b>I</b> <b>A</b> <b>D</b> <b>G</b> <b>I</b> <b>F</b> <b>V</b> <b>H</b> <b>D</b> <b>I</b> <b>L</b> <b>O</b> <b>N</b> <b>R</b> <b>V</b> <b>G</b> <b>K</b> <b>-----</b>
gamMtkA	56	T <b>V</b> <b>S</b> <b>E</b> <b>A</b> <b>V</b> <b>S</b> <b>E</b> <b>G</b> <b>A</b> <b>D</b> <b>V</b> <b>E</b> <b>G</b> <b>I</b> <b>F</b> <b>V</b> <b>P</b> <b>R</b> <b>A</b> <b>A</b> <b>A</b> <b>L</b> <b>M</b> <b>E</b> <b>I</b> <b>D</b> <b>A</b> <b>G</b> <b>R</b> <b>V</b> <b>R</b> <b>V</b> <b>I</b> <b>V</b> <b>A</b> <b>D</b> <b>G</b> <b>I</b> <b>F</b> <b>V</b> <b>D</b> <b>M</b> <b>I</b> <b>S</b> <b>Q</b> <b>R</b> <b>L</b> <b>G</b> <b>R</b> <b>K</b> <b>-----</b>

\* # # + \* \* # + \* \* \* \* \*

150

Me MtkA	116	P <b>K</b> <b>E</b> <b>K</b> <b>R</b> <b>T</b> <b>M</b> <b>V</b> <b>G</b> <b>F</b> <b>N</b> <b>I</b> <b>E</b> <b>T</b> <b>I</b> <b>S</b> <b>P</b> <b>G</b> <b>K</b> <b>S</b> <b>M</b> <b>G</b> <b>I</b> <b>M</b> <b>P</b> <b>G</b> <b>H</b> <b>I</b> <b>Y</b> <b>L</b> <b>G</b> <b>K</b> <b>M</b> <b>V</b> <b>I</b> <b>S</b> <b>R</b> <b>G</b> <b>T</b> <b>L</b> <b>G</b> <b>Y</b> <b>E</b> <b>A</b> <b>A</b> <b>A</b> <b>L</b> <b>M</b> <b>K</b> <b>E</b> <b>L</b> <b>G</b> <b>-----</b>
Rh MtkA	116	R <b>F</b> <b>E</b> <b>D</b> <b>R</b> <b>M</b> <b>T</b> <b>L</b> <b>I</b> <b>G</b> <b>F</b> <b>N</b> <b>I</b> <b>E</b> <b>M</b> <b>T</b> <b>I</b> <b>S</b> <b>P</b> <b>G</b> <b>K</b> <b>A</b> <b>M</b> <b>G</b> <b>I</b> <b>M</b> <b>P</b> <b>G</b> <b>S</b> <b>I</b> <b>L</b> <b>E</b> <b>R</b> <b>G</b> <b>R</b> <b>I</b> <b>G</b> <b>R</b> <b>S</b> <b>G</b> <b>T</b> <b>L</b> <b>G</b> <b>Y</b> <b>E</b> <b>A</b> <b>A</b> <b>A</b> <b>L</b> <b>M</b> <b>K</b> <b>A</b> <b>G</b> <b>V</b> <b>G</b> <b>-----</b>
Hd MtkA	116	K <b>K</b> <b>E</b> <b>A</b> <b>R</b> <b>M</b> <b>I</b> <b>L</b> <b>T</b> <b>G</b> <b>F</b> <b>N</b> <b>I</b> <b>E</b> <b>T</b> <b>I</b> <b>S</b> <b>P</b> <b>G</b> <b>K</b> <b>A</b> <b>M</b> <b>G</b> <b>I</b> <b>M</b> <b>P</b> <b>G</b> <b>H</b> <b>I</b> <b>Y</b> <b>L</b> <b>G</b> <b>R</b> <b>V</b> <b>G</b> <b>I</b> <b>G</b> <b>R</b> <b>S</b> <b>G</b> <b>T</b> <b>L</b> <b>G</b> <b>Y</b> <b>E</b> <b>A</b> <b>A</b> <b>A</b> <b>L</b> <b>K</b> <b>A</b> <b>G</b> <b>G</b> <b>-----</b>
HmeMtkA	116	K <b>K</b> <b>E</b> <b>S</b> <b>R</b> <b>P</b> <b>M</b> <b>V</b> <b>L</b> <b>T</b> <b>G</b> <b>F</b> <b>N</b> <b>I</b> <b>E</b> <b>T</b> <b>I</b> <b>S</b> <b>P</b> <b>G</b> <b>K</b> <b>A</b> <b>M</b> <b>G</b> <b>I</b> <b>M</b> <b>P</b> <b>G</b> <b>H</b> <b>I</b> <b>Y</b> <b>L</b> <b>G</b> <b>R</b> <b>V</b> <b>G</b> <b>I</b> <b>G</b> <b>R</b> <b>S</b> <b>G</b> <b>T</b> <b>L</b> <b>G</b> <b>Y</b> <b>E</b> <b>A</b> <b>A</b> <b>A</b> <b>L</b> <b>K</b> <b>A</b> <b>G</b> <b>G</b> <b>-----</b>
Ne MtkA	116	P <b>E</b> <b>D</b> <b>R</b> <b>M</b> <b>M</b> <b>L</b> <b>T</b> <b>G</b> <b>F</b> <b>N</b> <b>I</b> <b>E</b> <b>T</b> <b>I</b> <b>S</b> <b>P</b> <b>G</b> <b>K</b> <b>A</b> <b>M</b> <b>G</b> <b>I</b> <b>M</b> <b>P</b> <b>G</b> <b>H</b> <b>I</b> <b>Y</b> <b>L</b> <b>G</b> <b>R</b> <b>V</b> <b>G</b> <b>I</b> <b>G</b> <b>R</b> <b>S</b> <b>G</b> <b>T</b> <b>L</b> <b>G</b> <b>Y</b> <b>E</b> <b>A</b> <b>A</b> <b>A</b> <b>D</b> <b>O</b> <b>R</b> <b>R</b> <b>L</b> <b>N</b> <b>G</b> <b>-----</b>
Mc MtkA	121	--- <b>D</b> <b>S</b> <b>I</b> <b>V</b> <b>G</b> <b>P</b> <b>T</b> <b>P</b> <b>E</b> <b>I</b> <b>T</b> <b>F</b> <b>G</b> <b>E</b> <b>C</b> <b>K</b> <b>V</b> <b>G</b> <b>I</b> <b>M</b> <b>P</b> <b>S</b> <b>H</b> <b>I</b> <b>Y</b> <b>K</b> <b>K</b> <b>G</b> <b>N</b> <b>V</b> <b>G</b> <b>I</b> <b>S</b> <b>R</b> <b>G</b> <b>T</b> <b>L</b> <b>N</b> <b>E</b> <b>A</b> <b>T</b> <b>E</b> <b>Z</b> <b>M</b> <b>A</b> <b>L</b> <b>G</b> <b>G</b> <b>-----</b>
gamMtkA	116	--- <b>D</b> <b>C</b> <b>L</b> <b>V</b> <b>G</b> <b>P</b> <b>N</b> <b>T</b> <b>P</b> <b>E</b> <b>I</b> <b>T</b> <b>F</b> <b>G</b> <b>E</b> <b>C</b> <b>K</b> <b>V</b> <b>G</b> <b>I</b> <b>M</b> <b>P</b> <b>S</b> <b>H</b> <b>I</b> <b>Y</b> <b>K</b> <b>K</b> <b>G</b> <b>N</b> <b>V</b> <b>G</b> <b>I</b> <b>S</b> <b>R</b> <b>G</b> <b>T</b> <b>L</b> <b>N</b> <b>E</b> <b>A</b> <b>V</b> <b>E</b> <b>O</b> <b>L</b> <b>G</b> <b>K</b> <b>L</b> <b>G</b> <b>G</b> <b>-----</b>

\* # # + \* \* # + \* \* \* \* \*

210

Me MtkA	176	T <b>T</b> <b>T</b> <b>S</b> <b>W</b> <b>G</b> <b>I</b> <b>G</b> <b>G</b> <b>D</b> <b>P</b> <b>I</b> <b>N</b> <b>G</b> <b>S</b> <b>S</b> <b>E</b> <b>L</b> <b>D</b> <b>H</b> <b>A</b> <b>L</b> <b>E</b> <b>D</b> <b>Q</b> <b>D</b> <b>P</b> <b>E</b> <b>T</b> <b>E</b> <b>A</b> <b>M</b> <b>I</b> <b>G</b> <b>E</b> <b>I</b> <b>G</b> <b>G</b> <b>P</b> <b>G</b> <b>E</b> <b>E</b> <b>A</b> <b>S</b> <b>A</b> <b>V</b> <b>I</b> <b>E</b> <b>N</b> <b>F</b> <b>S</b> <b>K</b> <b>P</b> <b>W</b> <b>-----</b>
Rh MtkA	176	V <b>T</b> <b>S</b> <b>I</b> <b>G</b> <b>I</b> <b>G</b> <b>G</b> <b>D</b> <b>P</b> <b>I</b> <b>N</b> <b>G</b> <b>S</b> <b>S</b> <b>E</b> <b>L</b> <b>D</b> <b>H</b> <b>A</b> <b>L</b> <b>E</b> <b>D</b> <b>K</b> <b>D</b> <b>G</b> <b>T</b> <b>D</b> <b>A</b> <b>V</b> <b>M</b> <b>I</b> <b>G</b> <b>E</b> <b>I</b> <b>G</b> <b>G</b> <b>P</b> <b>G</b> <b>E</b> <b>E</b> <b>A</b> <b>A</b> <b>L</b> <b>R</b> <b>D</b> <b>H</b> <b>K</b> <b>K</b> <b>P</b> <b>L</b> <b>W</b> <b>-----</b>
Hd MtkA	176	V <b>T</b> <b>T</b> <b>S</b> <b>W</b> <b>G</b> <b>I</b> <b>G</b> <b>G</b> <b>D</b> <b>P</b> <b>I</b> <b>N</b> <b>G</b> <b>S</b> <b>S</b> <b>E</b> <b>L</b> <b>D</b> <b>H</b> <b>A</b> <b>L</b> <b>E</b> <b>D</b> <b>N</b> <b>D</b> <b>P</b> <b>E</b> <b>T</b> <b>D</b> <b>A</b> <b>V</b> <b>M</b> <b>I</b> <b>G</b> <b>E</b> <b>E</b> <b>A</b> <b>G</b> <b>L</b> <b>E</b> <b>G</b> <b>L</b> <b>E</b> <b>K</b> <b>H</b> <b>K</b> <b>E</b> <b>V</b> <b>W</b> <b>-----</b>
HmeMtkA	176	V <b>T</b> <b>T</b> <b>S</b> <b>W</b> <b>G</b> <b>I</b> <b>G</b> <b>G</b> <b>D</b> <b>P</b> <b>I</b> <b>N</b> <b>G</b> <b>S</b> <b>S</b> <b>E</b> <b>L</b> <b>D</b> <b>H</b> <b>A</b> <b>L</b> <b>E</b> <b>D</b> <b>N</b> <b>D</b> <b>P</b> <b>E</b> <b>T</b> <b>D</b> <b>A</b> <b>V</b> <b>M</b> <b>I</b> <b>G</b> <b>E</b> <b>E</b> <b>A</b> <b>G</b> <b>L</b> <b>E</b> <b>G</b> <b>L</b> <b>E</b> <b>K</b> <b>H</b> <b>K</b> <b>E</b> <b>V</b> <b>W</b> <b>-----</b>
Ne MtkA	176	T <b>T</b> <b>T</b> <b>S</b> <b>W</b> <b>G</b> <b>I</b> <b>G</b> <b>G</b> <b>D</b> <b>P</b> <b>I</b> <b>N</b> <b>G</b> <b>S</b> <b>S</b> <b>E</b> <b>L</b> <b>D</b> <b>H</b> <b>A</b> <b>L</b> <b>E</b> <b>D</b> <b>E</b> <b>E</b> <b>D</b> <b>P</b> <b>E</b> <b>T</b> <b>D</b> <b>A</b> <b>V</b> <b>M</b> <b>I</b> <b>G</b> <b>E</b> <b>E</b> <b>A</b> <b>V</b> <b>E</b> <b>A</b> <b>G</b> <b>L</b> <b>E</b> <b>G</b> <b>L</b> <b>E</b> <b>K</b> <b>H</b> <b>K</b> <b>E</b> <b>V</b> <b>W</b> <b>-----</b>
Mc MtkA	177	T <b>T</b> <b>T</b> <b>S</b> <b>W</b> <b>G</b> <b>I</b> <b>G</b> <b>G</b> <b>D</b> <b>P</b> <b>I</b> <b>N</b> <b>G</b> <b>S</b> <b>S</b> <b>E</b> <b>L</b> <b>D</b> <b>H</b> <b>V</b> <b>T</b> <b>V</b> <b>L</b> <b>R</b> <b>A</b> <b>E</b> <b>A</b> <b>D</b> <b>E</b> <b>T</b> <b>E</b> <b>I</b> <b>V</b> <b>M</b> <b>I</b> <b>G</b> <b>E</b> <b>E</b> <b>A</b> <b>V</b> <b>A</b> <b>R</b> <b>W</b> <b>-----</b>
gamMtkA	172	Q <b>S</b> <b>T</b> <b>A</b> <b>W</b> <b>G</b> <b>I</b> <b>G</b> <b>G</b> <b>D</b> <b>P</b> <b>V</b> <b>N</b> <b>G</b> <b>S</b> <b>S</b> <b>E</b> <b>L</b> <b>D</b> <b>H</b> <b>V</b> <b>T</b> <b>V</b> <b>L</b> <b>K</b> <b>A</b> <b>E</b> <b>Q</b> <b>D</b> <b>E</b> <b>T</b> <b>D</b> <b>A</b> <b>V</b> <b>M</b> <b>I</b> <b>G</b> <b>E</b> <b>E</b> <b>A</b> <b>V</b> <b>A</b> <b>R</b> <b>W</b> <b>-----</b>

\* \* \* \* \*

240

**FIG. 3B**

Các axit amin được bảo toàn ở tất cả các loài

Các trình tự phổ biến trong Rh, Hd, Hme, Ne, Mc, gam

Các axit amin được bảo toàn ở một số loài

#### Các trình tự phổ biến trong Rh, Hd, Hme, Ne

Các trình tự phổ biến trong Mc, gam

FIG.4

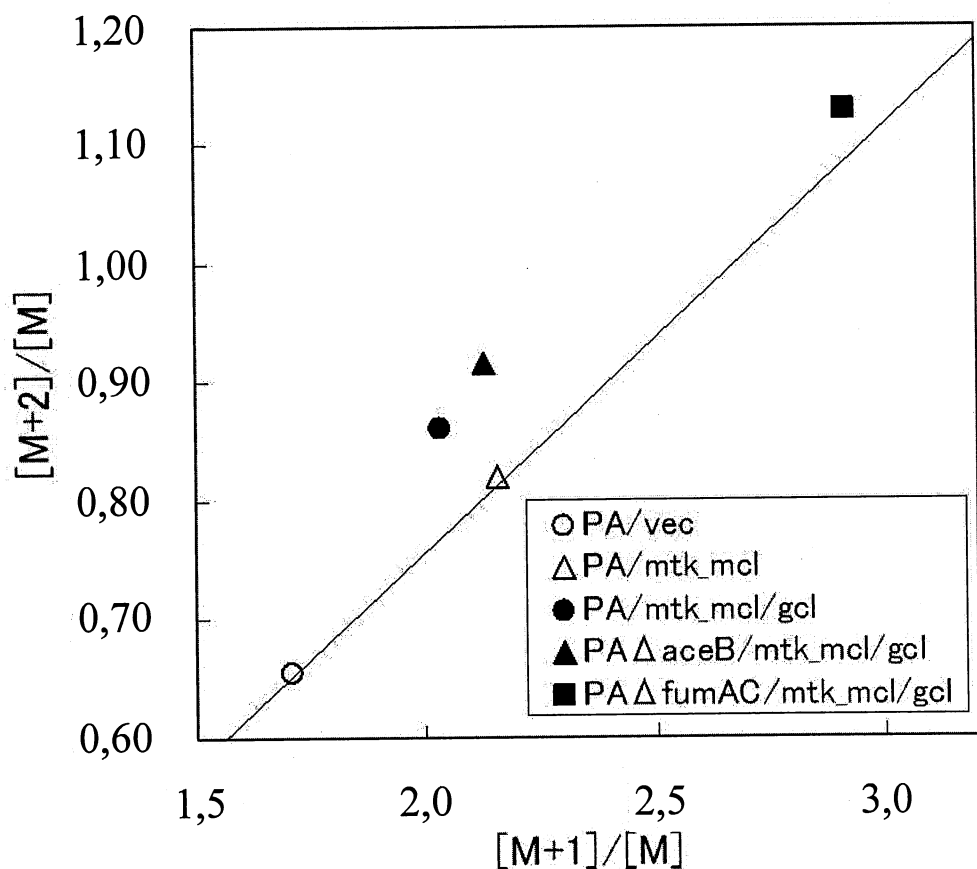
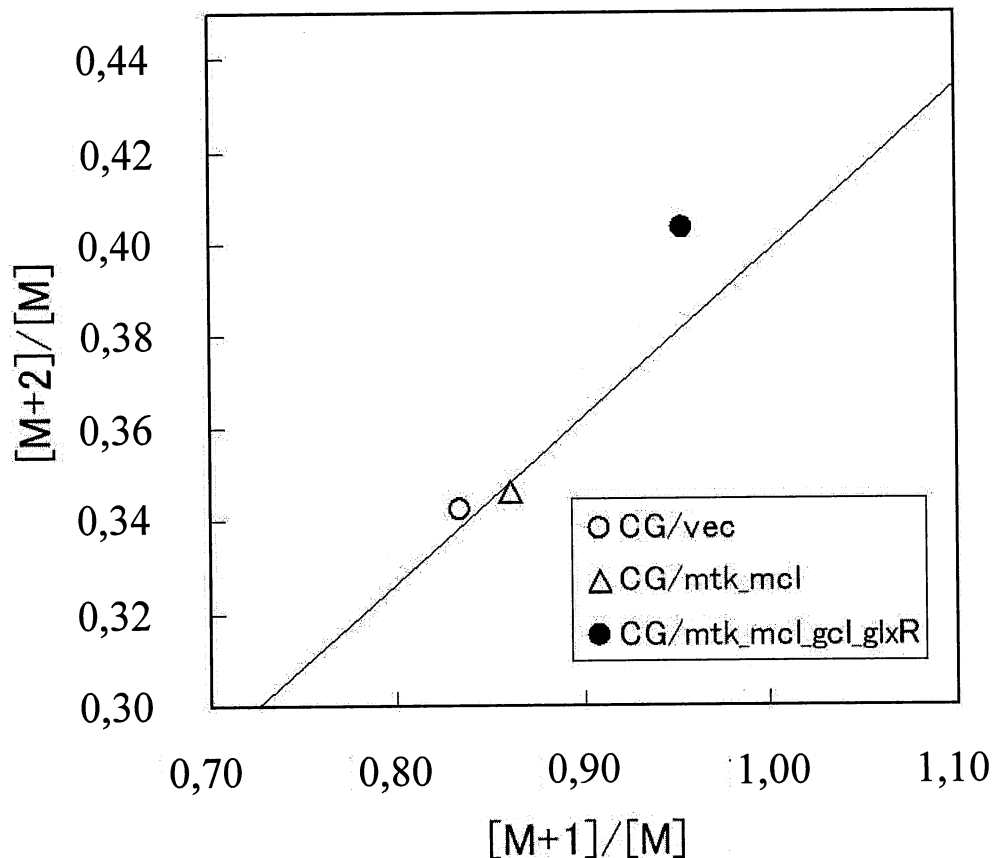


FIG.5



## DANH MỤC TRÌNH TỰ

<110> Mitsui Chemicals, Inc.

<120> Vi sinh vật sản xuất axetyl-CoA và phương pháp sản xuất axetyl-CoA bằng cách sử dụng vi sinh vật này

<130> P0011000634

<140> PCT/JP2012/069247

<141> 2012-07-27

<150> JP2011-167808

<151> 2011-07-29

<160> 191

<170> PatentIn version 3.5

<210> 1

<211> 30

<212> ADN

<213> Nhân tạo

<220>

<223> đoạn mồi

<400> 1

cgctcaattg caatgattga cacgattccg

30

<210> 2

<211> 32

<212> ADN

<213> Nhân tạo

<220>

<223> đoạn mồi

<400> 2

acagaattcg ctatggta gtgaataaaa gg

32

<210> 3

<211> 50

<212> ADN

<213> Nhân tạo

<220>

<223> đoạn mồi

<400> 3

cgaattcgct ggtggaacat atgaaaacaa aattgatgac attacaagac

50

<210> 4

<211> 30

<212> ADN

<213> Nhân tạo

<220>  
 <223> đoạn mồi

<400> 4  
 gcggtagctt atttgctctc ctgtgaaacg 30

<210> 5  
 <211> 31  
 <212> ADN  
 <213> Nhân tạo

<220>  
 <223> đoạn mồi

<400> 5  
 gctctagatg ctgaaatcca ctagtcttgt c 31

<210> 6  
 <211> 29  
 <212> ADN  
 <213> Nhân tạo

<220>  
 <223> đoạn mồi

<400> 6  
 tactgcagcg ttccagcacc ttatcaacc 29

<210> 7  
 <211> 29  
 <212> ADN  
 <213> Nhân tạo

<220>  
 <223> đoạn mồi

<400> 7  
 ggtctagagc aatgattgac acgattccg 29

<210> 8  
 <211> 29  
 <212> ADN  
 <213> Nhân tạo

<220>  
 <223> đoạn mồi

<400> 8  
 caggaattcg ctatatctgg ctctgcacg 29

<210> 9  
 <211> 31  
 <212> ADN  
 <213> Nhân tạo

<220>		
<223>	đoạn mồi	
<400>	9	31
	cagtctagag caatactttt ctgattttga g	
<210>	10	
<211>	29	
<212>	ADN	
<213>	Nhân tạo	
<220>		
<223>	đoạn mồi	
<400>	10	29
	cagtctagat catcgat atgtaggcc	
<210>	11	
<211>	29	
<212>	ADN	
<213>	Nhân tạo	
<220>		
<223>	đoạn mồi	
<400>	11	29
	gacctgcaga tcatccgtca gctgtacgc	
<210>	12	
<211>	29	
<212>	ADN	
<213>	Nhân tạo	
<220>		
<223>	đoạn mồi	
<400>	12	29
	ggaattcggg tcaattttca ccctctatc	
<210>	13	
<211>	37	
<212>	ADN	
<213>	Nhân tạo	
<220>		
<223>	đoạn mồi	
<400>	13	37
	gtggccgtc ctgaaggtagaa gattctc	
<210>	14	
<211>	37	
<212>	ADN	
<213>	Nhân tạo	

<220>  
 <223> đoạn mồi  
 <400> 14  
 ctctttgtac ctttcaggac ggcccacaaa tttgaag 37

<210> 15  
 <211> 29  
 <212> ADN  
 <213> Nhân tạo

<220>  
 <223> đoạn mồi  
 <400> 15  
 ggaattccca gccccgcaag gccgatggc 29

<210> 16  
 <211> 31  
 <212> ADN  
 <213> Nhân tạo

<220>  
 <223> đoạn mồi  
 <400> 16  
 cgccatatga atggcgcgcc ggggcccgtg g 31

<210> 17  
 <211> 28  
 <212> ADN  
 <213> Nhân tạo

<220>  
 <223> đoạn mồi  
 <400> 17  
 tggagctctg tttaactcctg tcaggggg 28

<210> 18  
 <211> 33  
 <212> ADN  
 <213> Nhân tạo

<220>  
 <223> đoạn mồi  
 <400> 18  
 tggagctctc tgatttaatc aacaataaaa ttg 33

<210> 19  
 <211> 29  
 <212> ADN  
 <213> Nhân tạo

<220>  
<223> đoạn mồi

<400> 19  
cgggatccac caccataacc aaacgacgg

29

<210> 20  
<211> 29  
<212> ADN  
<213> Nhân tạo

<220>  
<223> đoạn mồi

<400> 20  
ggaattcgac catcgcttac ggtcaattg

29

<210> 21  
<211> 33  
<212> ADN  
<213> Nhân tạo

<220>  
<223> đoạn mồi

<400> 21  
gagcggcaag aaagactttc tccagtgttg ttg

33

<210> 22  
<211> 32  
<212> ADN  
<213> Nhân tạo

<220>  
<223> đoạn mồi

<400> 22  
ggagaaaagtc tttcttgccg ctccccctgca ac

32

<210> 23  
<211> 27  
<212> ADN  
<213> Nhân tạo

<220>  
<223> đoạn mồi

<400> 23  
ggaattcttt agcaaatggc tttcttc

27

<210> 24  
<211> 30  
<212> ADN  
<213> Nhân tạo

<220>  
 <223> đoạn mồi

<400> 24  
 ggaattcatt cagctgttgc gcatcgattc 30

<210> 25  
 <211> 36  
 <212> ADN  
 <213> Nhân tạo

<220>  
 <223> đoạn mồi

<400> 25  
 cggttgttgt tgccgtgcag ctcctcgta tggatc 36

<210> 26  
 <211> 34  
 <212> ADN  
 <213> Nhân tạo

<220>  
 <223> đoạn mồi

<400> 26  
 ggagctgcac ggcaacaaca accgttgctg actg 34

<210> 27  
 <211> 29  
 <212> ADN  
 <213> Nhân tạo

<220>  
 <223> đoạn mồi

<400> 27  
 ggaattccag gcaggttatca ataaataac 29

<210> 28  
 <211> 29  
 <212> ADN  
 <213> Nhân tạo

<220>  
 <223> đoạn mồi

<400> 28  
 ggaattccag gagaaaaggcc tggcacggg 29

<210> 29  
 <211> 35  
 <212> ADN  
 <213> Nhân tạo

<220>  
<223> đoạn mồi

<400> 29  
cttttttgc gctatgtta ttcctcggtt ttgcgc 35

<210> 30  
<211> 31  
<212> ADN  
<213> Nhân tạo

<220>  
<223> đoạn mồi

<400> 30  
gagataaaaca tagcgtcaaa aaagccccgg c 31

<210> 31  
<211> 28  
<212> ADN  
<213> nhân tạo

<220>  
<223> nhân tạo

<400> 31  
ggaattccgt ccatcattgc taccagcc 28

<210> 32  
<211> 32  
<212> ADN  
<213> nhân tạo

<220>  
<223> nhân tạo

<400> 32  
cgccatatga tcgccagcgc gcgggatttt tc 32

<210> 33  
<211> 29  
<212> ADN  
<213> nhân tạo

<220>  
<223> nhân tạo

<400> 33  
cgagctctgt tctctcactt actgcctgg 29

<210> 34  
<211> 28  
<212> ADN  
<213> nhân tạo

<220>		
<223>	nhân tạo	
<400>	34	28
	atgagctctc tgcaacatac aggtgcag	
<210>	35	
<211>	29	
<212>	ADN	
<213>	nhân tạo	
<220>		
<223>	nhân tạo	
<400>	35	29
	cgggatccac tacgcgcacg atggtcaag	
<210>	36	
<211>	33	
<212>	ADN	
<213>	nhân tạo	
<220>		
<223>	nhân tạo	
<400>	36	33
	cgagctacat atgcaatgat tgacacgatt ccg	
<210>	37	
<211>	32	
<212>	ADN	
<213>	Nhân tạo	
<220>		
<223>	nhân tạo	
<400>	37	32
	cgcgcgcatg ctatttgtta gtgaataaaa gg	
<210>	38	
<211>	45	
<212>	ADN	
<213>	Nhân tạo	
<220>		
<223>	đoạn mồi	
<400>	38	45
	aatatgcatg ctggtgaaac atatgaaagg ttttgcaatg ctagg	
<210>	39	
<211>	40	
<212>	ADN	
<213>	Nhân tạo	

<220>  
 <223> đoạn mồi 39  
 <400> 39  
 acgcgtcgac ttataatata actactgctt taattaagtc 40

<210> 40  
 <211> 56  
 <212> ADN  
 <213> Nhân tạo

<220>  
 <223> đoạn mồi 40  
 <400> 40  
 acgcgtcgac gctggtgaa catatgttaa aggtgaagt aattaaacaa attagc 56

<210> 41  
 <211> 44  
 <212> ADN  
 <213> Nhân tạo

<220>  
 <223> đoạn mồi  
 <400> 41  
 gctctagagg taccttactt aagataatca tatataactt cagc 44

<210> 42  
 <211> 46  
 <212> ADN  
 <213> Nhân tạo

<220>  
 <223> đoạn mồi 44  
 <400> 42  
 gctctagacg gagaaaagtct tatggcggta acgcaaacag cccagg 46

<210> 43  
 <211> 45  
 <212> ADN  
 <213> Nhân tạo

<220>  
 <223> đoạn mồi 45  
 <400> 43  
 cgggatcccg gagaaaagtct tatgaagcaa acagttata tcgcc 45

<210> 44  
 <211> 35  
 <212> ADN  
 <213> Nhân tạo

<220>		
<223> đoạn mồi 46		
<400> 44		35
ccgctcgagc atatgctgtc gcaatgattt acacg		
<210> 45		
<211> 34		
<212> ADN		
<213> Nhân tạo		
<220>		
<223> đoạn mồi 47		
<400> 45		34
gctattccat atgcagggtt attgtctcat gagc		
<210> 46		
<211> 19		
<212> ADN		
<213> Nhân tạo		
<220>		
<223> đoạn mồi 48		
<400> 46		19
tcggcacgta agaggttcc		
<210> 47		
<211> 19		
<212> ADN		
<213> Nhân tạo		
<220>		
<223> đoạn mồi 49		
<400> 47		19
cgggtcgaat ttgctttcg		
<210> 48		
<211> 28		
<212> ADN		
<213> Nhân tạo		
<220>		
<223> đoạn mồi 50		
<400> 48		28
ctagatctga cagtaagacq ggtaagcc		
<210> 49		
<211> 29		
<212> ADN		
<213> Nhân tạo		

<220>  
<223> đoạn mồi 51

<400> 49  
ctagatctca gggttattgt ctcatgagc 29

<210> 50  
<211> 35  
<212> ADN  
<213> Nhân tạo

<220>  
<223> đoạn mồi 52

<400> 50  
ccgctcgagc atatgctgtc gcaatgattg acacg 35

<210> 51  
<211> 34  
<212> ADN  
<213> Nhân tạo

<220>  
<223> đoạn mồi 53

<400> 51  
gctattccat atgcagggtt attgtctcat gagc 34

<210> 52  
<211> 55  
<212> ADN  
<213> Nhân tạo

<220>  
<223> đoạn mồi 54

<400> 52  
aaaaggcgga attcacaaaa aggataaaac aatggacgtt cacgagtacc aagcc 55

<210> 53  
<211> 46  
<212> ADN  
<213> Nhân tạo

<220>  
<223> đoạn mồi 55

<400> 53  
catgcctgca ggtcgactct agaggcgagg ttcttttcc ggactc 46

<210> 54  
<211> 48  
<212> ADN  
<213> Nhân tạo

<220>  
<223> đoạn mồi 56

<400> 54  
ggatccctcta gactggtgga atatatgagc ttcaccctga tccagcag 48

<210> 55  
<211> 34  
<212> ADN  
<213> Nhân tạo

<220>  
<223> đoạn mồi 57

<400> 55  
ggcatgcaag cttttacttt ccgcggatcg cgtc 34

<210> 56  
<211> 20  
<212> ADN  
<213> Nhân tạo

<220>  
<223> đoạn mồi 58

<400> 56  
atgaccgtca cgcctcacct 20

<210> 57  
<211> 33  
<212> ADN  
<213> Nhân tạo

<220>  
<223> đoạn mồi 59

<400> 57  
gaagcgcccg gcatccgaga agccggctcg gat 33

<210> 58  
<211> 45  
<212> ADN  
<213> Nhân tạo

<220>  
<223> đoạn mồi 60

<400> 58  
ggaattcaca aaaaggataa aacaatgagc tacacgcttt acccg 45

<210> 59  
<211> 33  
<212> ADN  
<213> Nhân tạo

<220>  
 <223> đoạn mồi 61  
 <400> 59  
 gctctagatt acgcgacttt cttacgctgg ttg 33

<210> 60  
 <211> 963  
 <212> ADN  
 <213> *Hyphomicrobium methylvororum*

<400> 60  
 atgagctaca cgctttaccc gaccgcagaag cagcgccctgc agcgctcgta cctcgcagtg 60  
 ccgggctcca acccgagcat gatcgatcgc gcactcaaga ggcgcagccga ctatgtgttt 120  
 ctcgattgcg aagacgcccgt cgccgcgccc gagaaagaac aggctcgcaa gaacatcatt 180  
 caggcgctga acgatctcga ctggaaaggc gcaggcaaga gcgtctcggt tcgcataaac 240  
 ggcctcgaca cgcactacat gtaccgcgac gttgtcgaca tcgtggagca ggctggctcc 300  
 aagctcgaca cgatcctcat tcccaaggcgc ggcgttccgg ctgacgtcta cacggctgaa 360  
 tgcatcgtga gccagatcga agtgcgaaag ggtcttcgc accagatcgg caccgaagcg 420  
 ctcatcgaaa cgccgctcgg catggcaaac gtcgaaggca tcgcgtcggc aagcagccgc 480  
 ctcgagtcca tgcacttcgg cgttgctgac tactccgcct tcaacaaggc acgcaccgac 540  
 gtcatcggcg gcttgaaccc tgattacccg ggtgaccagt ggcacttccc gctgtcgct 600  
 atgaccgttg cctgcccgcgc attcggcctt cgtccgatcg acggccccgtt cgggtggcatc 660  
 gacgatccgg aaggctacaa ggccgcgcgt cgccgtggcg ctgctctcgg catggaaaggc 720  
 aagtggccca tccatccgtc gcagatcga ctgcaccaacg aaatctattc gccgacggcg 780  
 aaggaagtcg aacgcgctga acgcacccctc gttgcactga aggaagctga agctcaaggt 840  
 aaggggcgag cgtcgcttga cggcaagatg atcgacgcgc catctgaaaa gatggcgcgc 900  
 aacctgctct cgactgccga gcagatcaag aaggccgagg ccgctcacgc agctcagaag 960  
 aaa 963

<210> 61  
 <211> 1161  
 <212> ADN  
 <213> *Hyphomicrobium methylvororum*

<400> 61  
 atggacgttc acgagtatca ggccaaagag cttctcgacg agttcggcggt gcccgtcg 60  
 cgccggcgccgtt gtcgttacag cccggagcag gcaacatatc gtgcacgcga gcttggcg 120  
 accgtcgatcg tcaaggcgca gattcactt ggcgcgcgcg gcaaagctgg cggcgtaaaa 180

gtctgcaaga acgagaaaaga gatcgaaagac gcggctgagt tcatgctcgg ccgcaagctg	240
gtcacgcattc agaccggccc ggcgggcaag ctcgtctcgc gtcttacat cgaagaagcg	300
accaacatcg atcgcgagat ctatctcgc ttcgtatgg atcgcgcctc cgagcgtatc	360
gtcgtcggtt catccgccc tggcggcatg gacatcgagg aaatctctgc gagccagccc	420
gacacgatca tccgcgttag cggtgatccg gccgtcggca tgcagcgttt ccaggcgcgt	480
gaactcgctt tcgggtctcgg cgtcgatccg gagatcgta acaagctcgt tccggcgatc	540
atgggatgct accgcgcatt ccgcgatctc gacgcgacca tgggtgaggt caacccgctc	600
gtcatcacca aggaaaagca ggttctcgcg ctcgacgcta agatgtcggt cgatgacaac	660
gcgctgttcc gccgtccgca catcgacagag ctgcggaca agagccagga agacccgcgc	720
gaaacctacg cgtcggatcg tggcctctcc tacgttggtc tcgatggcga catcggtgc	780
atcgtaacg ggcgcaggatcg cgcgcgttcc acgctcgaca tgatcaagct cgcaaggcggt	840
gagccggcga acttcctcga cattggcggc ggagcgtctc cggAACGCGT caccaagtcg	900
ttcaaggctg ttcttcgcga caagaacgtc aaggcgatcc tcgtgaacgt ctgcggcggt	960
atcaaccgtt ggcgcgttcc tgccaagggc gtggcgtatcg ccgtgaagga actcgagatc	1020
aagatgccga tcgtcggtcg cctcgacggc acgaacgtcg aagaaggccg caagatcatc	1080
gacaacagcg gcttgaccgt catcaagtgcgataactctcg ctgacgcggc caagcaggcc	1140
gtcgacgctg cgaaaaaaagc g	1161

<210> 62  
 <211> 897  
 <212> ADN  
 <213> *Hyphomicrobium methylovorum*

<400> 62	
atggcttatct tcatcaatga aaagacgccc atcctgatcc agggcttcac cggacgtatc	60
ggcaccttcc acgctcaaga aatgatcgac tacggctcca atgttgtcgg cgggtttacg	120
cccgccaaag gcggtaccc gcacctcggc cgtccgggtgt tcaacaccgt gaagggcgcg	180
gccgatgaaa ccggcgccga agcctcgatc gtattcgtgc cggccgggtt cggccggac	240
gcatcgatgg aagcagcaga cgctggcatc aaatactgcg tctgcacatc ggacggcatt	300
cctgctcagg atatgatccg cgtgaagcgc tacatgcgcc gctacaagaa agagagccgc	360
atggttctca ccggccccaa ctgcgcggc acgatctcgc cggtaaggc gatgctcggc	420
attatgccgg gacacatctt cttccgggt cgcgtcggca tcgtcgacg ctcggcaccg	480
ctgggctatg aagccgcagc gcagctcaag ggcgtggca tcggcggttc gacctcggtc	540
ggtatcgccg gcgatccgat caacgggtcg tcgcacatcg acattctcga agcggtcgag	600

agcgatcccc	agaccgatgc	ggtgctcatg	atcggtgaaa	tcggcggacc	gcaggaagcg	660
gaaggccggtc	tcttcgcgaa	agagcacatg	aagaagccgg	tcatgccta	catcgccaggc	720
ctttcggcac	cgaagggtcg	ccgcatgggc	cacgcaggcg	ctatcgtttc	ggcattcggt	780
gaatcggccg	ctgagaagg	cgagatcctg	aaaggctgca	acgtgacgat	cgccgcgacg	840
ccgtcggaga	tgggttcgac	ggtcgcgcag	gttctcaacc	agcgtaagaa	agtcgcg	897
<210>	63					
<211>	2105					
<212>	ADN					
<213>	Rhizobium sp. NGR234					
<400>	63					
catatggaca	ttcacgaata	tcaagcgaaa	gaactgctga	gccgttatca	aattcacatc	60
ccgcgtggtg	gtctggcata	ctccccggaa	caagctgcct	atcgtgcacg	cgaaatcgcc	120
ggtgatcgct	gggtggtaa	agctcagatt	catagcggtg	cacgtggcaa	agctggcggt	180
atcaaactgt	gctctaccga	tcacgaaatt	gttgaagcgg	ccgacagtat	gctggccgc	240
accatcgta	cgcacatcagac	cggtccgcaa	ggcaaactgg	tttctgcct	gtatgtcgaa	300
gaagcgatgg	atattgccc	tgaaatttac	atcggttttg	ttctggaccg	taaaagtgaa	360
cgcattatga	tcgtcgcgag	ctctagtggc	ggtatggaaa	ttgaagaaat	cgcagaagct	420
gaaccggata	gcattatccg	cgcacatcg	gatccgggtg	ttggcatgca	ggactttcaa	480
gcacgtgaaa	ttgctttcg	tctgggcata	gataacgcgc	tgattggccg	cgccacccaa	540
acgctgctgg	gttgttatcg	tgcattcg	gattacgacg	cttctatgct	ggaaattaac	600
ccgctggtcg	tgaccatcg	cggatctcg	gtggcgctgg	acgcacaaat	gtcggttgat	660
gaaaatgcac	tgttccgtcg	ccgcacatc	gctgaaatgc	gcgataaaag	ccaggaagac	720
caacgcgaaa	cgtatgcac	cgcacatcg	ctgtcatacg	ttggatctgga	cgcaacatt	780
ggttgcatta	tcaatggtc	cggcctggcg	atggccacca	tggatatgat	taaaatcgca	840
ggcggtaac	cggctaattt	tctggatatc	ggcggtgccg	catcgccgga	ccgtgtcgca	900
aaaagcttcc	gcgcgtgtct	gacggatcg	caggtggaaa	ccattctggt	taacatcttt	960
gcgggcatta	atcggtgtga	ctgggtcg	gaaggcgtga	tcaaagcact	gcgtgaagt	1020
ggtgttccgg	tcccgtgt	tgtccgtctg	tccggatcg	acatggaaaga	aggcgtcg	1080
attctggccgg	aatcaggtga	aaatattatc	gtggccgaaa	ccctggcaga	agctgctgat	1140
aaagcagtgg	ctgcgtggcg	ttcggttacc	gctaataaaag	ctgcgttaagg	tcgcctccca	1200
tgtccattct	gctggataaa	aatacccg	tgcgttgca	aggctttacc	ggcaaaatcg	1260

gctcattcca tgctgaagat atgaaacgct acggcaccaa cgtggttggc ggtgttacgc	1320
cgggcaaagg cggtcaggca catctggta tgccggtgtt taataccgtt aaaggcgccg	1380
tccaagaaaac gggtgccgat gccagtatta tctttgtccc gccgccgttc gcggccgatt	1440
ccattatgga agcagctgac gcggcatcc gtctgtgcgt gtgtattacc gatggtatcc	1500
cgagtcagga catgattcgt gttaaacgct atatgcgtcg ctaccgttcc gaagaccgca	1560
tgaccctgat tgggccgaac tgccgaggca tgatcacgccc gggtaagct atgatggta	1620
ttatgccggg ctctatctat ctgccggcc gtattggat cgttggtcgt agcggtaccc	1680
tgggttacga agcagcctct caaatgaaag cgctggcgt cggtgtgagt acgtccattg	1740
gcatcggcgg tgatccggc aatggtagct cttttaaaga catgctggaa ctgttcgaaa	1800
aagatccggg caccgacgccc gtgctgatga ttggtaaat cggccgtccg caggaagcgg	1860
aagcagctct gtgggcccgc gatcacatga aaaaaccgct gatcgctat atcgccaggc	1920
tgtcagcacc gaaaggtcgt cgcatggc acgcaggcgc tattatctca gcattttggcg	1980
aatcggctca agaaaaagtg gaaattctga aatcggcagg tgttacgatc gtcccgaccc	2040
cgtcccttt tggtaaaccc gttgcggatg tgctgtcggc tatgagtaaa gcggcttaat	2100
ctaga	2105

<210> 64  
<211> 30  
<212> ADN  
<213> Nhân tạo

<220>  
<223> đoạn mồi 66

<400> 64  
ggaattccat atggcaaaag cgtcacgcct

30

<210> 65  
<211> 29  
<212> ADN  
<213> Nhân tạo

<220>  
<223> đoạn mồi 67

<400> 65  
gctctagact atatcacccg ctttgaacg

29

<210> 66  
<211> 975  
<212> ADN  
<213> Methylobacterium extorquens

<400> 66  
atgagttca ccctgatcca gcaggccacc ccgcgcctgc accgctcgga actcgcggtt 60  
cccggctcca accccacccat catggagaag tcggctgcct cgaaggccga cgtgatcttc  
ctcgacacctcg aggacgcggt cgccgcgcac gacaaggagc agggccgcaa gaacatcatc  
caggctctta acgacacctgga ttggggcaac aagaccatga tgcgtcgcat caacggcttc  
gacacccact acatgttacccg cgacgtggtg gacatcggtt aggcctgccc gcgcctcgac  
atgatccctga tcccccaaggt cggcgtgccc gccgacgtct acgccatcga cgtgctgacg  
acgcagatcg agcaggccaa gaagcgcgag aagaagatcg gcttcgaggt gctgatcgag  
accgcgcctcg gcatggccaa tgtcgaggcg atcgcgaccc ctgcgtcgatcg cctcgaggcg  
atgtccttcg gtgtcgccga ctacgcccgc tccactcgcg cccgctccac cgtgatcgcc  
ggcgtcaacg ccgattacag cgtgctcacc gacaaggagc aggcgggcaa ccgcgcagacc  
cactggcagg atccgtggct gttcgcccag aaccgcattgc tggcgccctg ccgcgcctac  
ggcctcgcc cgatcgacgg tcccttcggc gacttctccg atccggacgg ctacacctcg  
ggcgcgtcgcc gctgcgcgc gctcggttc gagggcaagt gggcgatcca cccctcgccag  
atcgatctgg ccaacgaggt gttcacccccc tccgaggccg aggtcaccaa ggccgcgcgc  
atcctggaag ccatggaaga ggccgccaag gccggccgcg gcgcgtctc gctcgacggc  
cgccatcg acatcgccctc gatccgcattg gccgaggcg tgcgtccagaa ggccgacgcg  
atggcgccga agtaa 975

<210> 67  
<211> 891  
<212> ADN  
<213> Methylobacterium extorquens

<400> 67  
atgagcattc tcatcgacga gaagaccccg atcctggtcc agggcatcac gggcgacaag 60  
ggcaccttcc acgccaagga gatgatcgcc tacggctcga acgtcggtcg cggcgatcacc  
ccggcaagg gcgcaagac ccattgcggc gtgcgggtgt tcaacaccgt caaggaggcc  
gtggaggcgac ccggcgccac cacctcgatc accttcgtgg cgccccctt cgccggccgac  
gcgatcatgg aggcggccga cgccggccctc aagctcgatct gctcgatcac cgacggcatc  
cccgctcagg acatgatcg ggtgaaacgc tacctccggc gctatccgaa ggagaagcg  
acgatggtgg tggggccgaa ctgcgcggc atcatctcgcc cggcaagtc gatgctcgcc  
atcatgccccg gccacatcta cctccggc aaggtcgccg tcatctcccg ttccggcacc  
ctgggctacg aggcggccgc gcagatgaag gagctcgcc gacccatctc gacccatctc 420  
540

ggcatcgccg	gcatccgat	caacggctcc	tcattcctcg	accacctcg	tctgttcgag	600
caggatccc	agacggaagc	cgtgctgatg	atcggcgaga	tcggcgggcc	gcaggaggcc	660
gaggcctcg	cctggatcaa	ggagaacttt	tccaagccc	tgatcggctt	cgtggcgggc	720
ctcacccccc	ccaagggcc	ccgcatgggg	catgccggcg	cgatcatctc	ggcgaccggc	780
gacagcgccg	cggagaaggc	cgagatcatg	cgtcctatg	gcctgaccgt	ggcgcccgat	840
ccgggctct	tcggcagcac	cgtggccgac	gtgctcgccc	gcgcggcgtg	a	891
<210>	68					
<211>	1173					
<212>	ADN					
<213>	Methylobacterium extorquens					
<400>	68					
atggacgttc	acgagtacca	agccaaggag	ctgctcgca	gcttcggggt	cgccgtcccc	60
aaggcgccg	tggcttcag	cccgatcaa	gcggcttatg	cggcgaccga	gctcggcggc	120
tcgttctgg	cggtaaggc	tcagatccat	gccggcgcc	gcggcaaggc	ggcgggatc	180
aagcttgcc	gcacctacaa	tgaagtgcgc	gacgccccc	gcgacctgct	ggaaaaacgc	240
ctcgtgacgc	tccagaccgg	ccccgagggc	aagccggtgc	agcgcgtcta	cgtcgagacc	300
gccgaccgt	tcgagcgtga	actctatctc	ggctacgtgc	tcgatcgaa	ggccgagcgc	360
gtccgtgtca	tcgcctccca	gcgcggcggc	atggatatcg	aggagatcgc	cgccaaggag	420
cccgaggcgc	tgatccaggt	cgtggtcgag	ccggcgggtgg	gcctgcagca	gttccaggcc	480
cgcgagatcg	cgttccagct	cggcctcaac	atcaagcagg	tctcgccgc	ggtgaagacc	540
atcatgaacg	cctaccgggc	gttccgcgac	tgcgacggca	ccatgctgga	gatcaacccg	600
ctcgtcgtca	ccaaggacga	ccgggttctg	gcactcgacg	ccaagatgtc	cttcgacgac	660
aacgcctgt	tccgcccgg	caacatcgcg	gacatgcacg	atccatcgca	ggcgatccc	720
cgcgaggccc	aggctgccga	gcacaatctc	agctatatcg	gcctcgaggg	cgaaattggc	780
tgcacatcgca	acggcgccgg	tctggccatg	gcgaccatgg	acatgatcaa	gcacgcgggc	840
ggcgagccgg	caaacttcct	ggatgtgggc	ggcgggtgcc	gccggaccg	cgtgccacg	900
gccttcggcc	tcgttctgtc	ggaccgcaac	gtgaaggcga	tcctcgtcaa	catcttcgccc	960
ggcatcaacc	gctgcgactg	ggtcgcggag	ggcgtggtca	aggccgcgcg	cgaggtgaag	1020
atcgacgtgc	cgctcatcgt	gcggctcgcc	ggcacgaacg	tcgatgaagg	caagaagatc	1080
ctcgccgaga	gcgggctcga	cctcatcacc	gccgacacccc	ttacggaagc	cgcgcgcaag	1140
gctgtcgaag	cctgccacgg	cgcacacac	tga			1173

&lt;210&gt; 69

&lt;211&gt; 324

&lt;212&gt; PRT

&lt;213&gt; Methylobacterium extorquens

&lt;400&gt; 69

Met	Ser	Phe	Thr	Leu	Ile	Gln	Gln	Ala	Thr	Pro	Arg	Leu	His	Arg	Ser
1															
												5		10	

Glu	Leu	Ala	Val	Pro	Gly	Ser	Asn	Pro	Thr	Phe	Met	Glu	Lys	Ser	Ala
												20		25	

Ala	Ser	Lys	Ala	Asp	Val	Ile	Phe	Leu	Asp	Leu	Glu	Asp	Ala	Val	Ala
												35		40	

Pro	Asp	Asp	Lys	Glu	Gln	Ala	Arg	Lys	Asn	Ile	Ile	Gln	Ala	Leu	Asn
												50		55	

Asp	Leu	Asp	Trp	Gly	Asn	Lys	Thr	Met	Met	Ile	Arg	Ile	Asn	Gly	Leu
												65		70	

Asp	Thr	His	Tyr	Met	Tyr	Arg	Asp	Val	Val	Asp	Ile	Val	Glu	Ala	Cys
												85		90	

Pro	Arg	Leu	Asp	Met	Ile	Leu	Ile	Pro	Lys	Val	Gly	Val	Pro	Ala	Asp
												100		105	

Val	Tyr	Ala	Ile	Asp	Val	Leu	Thr	Thr	Gln	Ile	Glu	Gln	Ala	Lys	Lys
												115		120	

Arg	Glu	Lys	Lys	Ile	Gly	Phe	Glu	Val	Leu	Ile	Glu	Thr	Ala	Leu	Gly
												130		135	

Met	Ala	Asn	Val	Glu	Ala	Ile	Ala	Thr	Ser	Ser	Lys	Arg	Leu	Glu	Ala
												145		150	

Met	Ser	Phe	Gly	Val	Ala	Asp	Tyr	Ala	Ala	Ser	Thr	Arg	Ala	Arg	Ser
												165		170	

Thr	Val	Ile	Gly	Gly	Val	Asn	Ala	Asp	Tyr	Ser	Val	Leu	Thr	Asp	Lys
												180		185	

Asp	Glu	Ala	Gly	Asn	Arg	Gln	Thr	His	Trp	Gln	Asp	Pro	Trp	Leu	Phe
												195		200	

Ala	Gln	Asn	Arg	Met	Leu	Val	Ala	Cys	Arg	Ala	Tyr	Gly	Leu	Arg	Pro
-----	-----	-----	-----	-----	-----	-----	-----	-----	-----	-----	-----	-----	-----	-----	-----

## 22135

210

215

220

Ile Asp Gly Pro Phe Gly Asp Phe Ser Asp Pro Asp Gly Tyr Thr Ser  
 225 230 235 240

Ala Ala Arg Arg Cys Ala Ala Leu Gly Phe Glu Gly Lys Trp Ala Ile  
 245 250 255

His Pro Ser Gln Ile Asp Leu Ala Asn Glu Val Phe Thr Pro Ser Glu  
 260 265 270

Ala Glu Val Thr Lys Ala Arg Arg Ile Leu Glu Ala Met Glu Glu Ala  
 275 280 285

Ala Lys Ala Gly Arg Gly Ala Val Ser Leu Asp Gly Arg Leu Ile Asp  
 290 295 300

Ile Ala Ser Ile Arg Met Ala Glu Ala Leu Ile Gln Lys Ala Asp Ala  
 305 310 315 320

Met Gly Gly Lys

<210> 70  
 <211> 296  
 <212> PRT  
 <213> Methylobacterium extorquens

<400> 70

Met Ser Ile Leu Ile Asp Glu Lys Thr Pro Ile Leu Val Gln Gly Ile  
 1 5 10 15

Thr Gly Asp Lys Gly Thr Phe His Ala Lys Glu Met Ile Ala Tyr Gly  
 20 25 30

Ser Asn Val Val Gly Gly Val Thr Pro Gly Lys Gly Lys Thr His  
 35 40 45

Cys Gly Val Pro Val Phe Asn Thr Val Lys Glu Ala Val Glu Ala Thr  
 50 55 60

Gly Ala Thr Thr Ser Ile Thr Phe Val Ala Pro Pro Phe Ala Ala Asp  
 65 70 75 80

Ala Ile Met Glu Ala Ala Asp Ala Gly Leu Lys Leu Val Cys Ser Ile  
 85 90 95

Thr Asp Gly Ile Pro Ala Gln Asp Met Met Arg Val Lys Arg Tyr Leu  
 100 105 110

Arg Arg Tyr Pro Lys Glu Lys Arg Thr Met Val Val Gly Pro Asn Cys  
 115 120 125

Ala Gly Ile Ile Ser Pro Gly Lys Ser Met Leu Gly Ile Met Pro Gly  
 130 135 140

His Ile Tyr Leu Pro Gly Lys Val Gly Val Ile Ser Arg Ser Gly Thr  
 145 150 155 160

Leu Gly Tyr Glu Ala Ala Ala Gln Met Lys Glu Leu Gly Ile Gly Ile  
 165 170 175

Ser Thr Ser Val Gly Ile Gly Gly Asp Pro Ile Asn Gly Ser Ser Phe  
 180 185 190

Leu Asp His Leu Ala Leu Phe Glu Gln Asp Pro Glu Thr Glu Ala Val  
 195 200 205

Leu Met Ile Gly Glu Ile Gly Gly Pro Gln Glu Ala Glu Ala Ser Ala  
 210 215 220

Trp Ile Lys Glu Asn Phe Ser Lys Pro Val Ile Gly Phe Val Ala Gly  
 225 230 235 240

Leu Thr Ala Pro Lys Gly Arg Arg Met Gly His Ala Gly Ala Ile Ile  
 245 250 255

Ser Ala Thr Gly Asp Ser Ala Ala Glu Lys Ala Glu Ile Met Arg Ser  
 260 265 270

Tyr Gly Leu Thr Val Ala Pro Asp Pro Gly Ser Phe Gly Ser Thr Val  
 275 280 285

Ala Asp Val Leu Ala Arg Ala Ala  
 290 295

<210> 71  
 <211> 390  
 <212> PRT  
 <213> Methylobacterium extorquens

<400> 71

Met Asp Val His Glu Tyr Gln Ala Lys Glu Leu Leu Ala Ser Phe Gly  
 1 5 10 15

Val Ala Val Pro Lys Gly Ala Val Ala Phe Ser Pro Asp Gln Ala Val  
 20 25 30

Tyr Ala Ala Thr Glu Leu Gly Gly Ser Phe Trp Ala Val Lys Ala Gln  
 35 40 45

Ile His Ala Gly Ala Arg Gly Lys Ala Gly Gly Ile Lys Leu Cys Arg  
 50 55 60

Thr Tyr Asn Glu Val Arg Asp Ala Ala Arg Asp Leu Leu Gly Lys Arg  
 65 70 75 80

Leu Val Thr Leu Gln Thr Gly Pro Glu Gly Lys Pro Val Gln Arg Val  
 85 90 95

Tyr Val Glu Thr Ala Asp Pro Phe Glu Arg Glu Leu Tyr Leu Gly Tyr  
 100 105 110

Val Leu Asp Arg Lys Ala Glu Arg Val Arg Val Ile Ala Ser Gln Arg  
 115 120 125

Gly Gly Met Asp Ile Glu Glu Ile Ala Ala Lys Glu Pro Glu Ala Leu  
 130 135 140

Ile Gln Val Val Val Glu Pro Ala Val Gly Leu Gln Gln Phe Gln Ala  
 145 150 155 160

Arg Glu Ile Ala Phe Gln Leu Gly Leu Asn Ile Lys Gln Val Ser Ala  
 165 170 175

Ala Val Lys Thr Ile Met Asn Ala Tyr Arg Ala Phe Arg Asp Cys Asp  
 180 185 190

Gly Thr Met Leu Glu Ile Asn Pro Leu Val Val Thr Lys Asp Asp Arg  
 195 200 205

Val Leu Ala Leu Asp Ala Lys Met Ser Phe Asp Asp Asn Ala Leu Phe  
 210 215 220

Arg Arg Arg Asn Ile Ala Asp Met His Asp Pro Ser Gln Gly Asp Pro  
 225 230 235 240

Arg Glu Ala Gln Ala Ala Glu His Asn Leu Ser Tyr Ile Gly Leu Glu  
 245 250 255

Gly Glu Ile Gly Cys Ile Val Asn Gly Ala Gly Leu Ala Met Ala Thr  
 260 265 270

Met Asp Met Ile Lys His Ala Gly Gly Glu Pro Ala Asn Phe Leu Asp  
 275 280 285

Val Gly Gly Ala Ser Pro Asp Arg Val Ala Thr Ala Phe Arg Leu  
 290 295 300

Val Leu Ser Asp Arg Asn Val Lys Ala Ile Leu Val Asn Ile Phe Ala  
 305 310 315 320

Gly Ile Asn Arg Cys Asp Trp Val Ala Glu Gly Val Val Lys Ala Ala  
 325 330 335

Arg Glu Val Lys Ile Asp Val Pro Leu Ile Val Arg Leu Ala Gly Thr  
 340 345 350

Asn Val Asp Glu Gly Lys Ile Leu Ala Glu Ser Gly Leu Asp Leu  
 355 360 365

Ile Thr Ala Asp Thr Leu Thr Glu Ala Ala Arg Lys Ala Val Glu Ala  
 370 375 380

Cys His Gly Ala Lys His  
 385 390

<210> 72  
 <211> 321  
 <212> PRT  
 <213> Hyphomicrobium methylvororum  
 <400> 72

Met Ser Tyr Thr Leu Tyr Pro Thr Arg Lys Gln Arg Leu Gln Arg Ser  
 1 5 10 15

Tyr Leu Ala Val Pro Gly Ser Asn Pro Ser Met Ile Asp Arg Ala Leu  
 20 25 30

Lys Ser Ala Ala Asp Tyr Val Phe Leu Asp Cys Glu Asp Ala Val Ala  
 35 40 45

Pro Pro Glu Lys Glu Gln Ala Arg Lys Asn Ile Ile Gln Ala Leu Asn  
 50 55 60

Asp Leu Asp Trp Lys Gly Ala Gly Lys Ser Val Ser Val Val Arg Ile Asn  
 65 70 75 80

Gly Leu Asp Thr His Tyr Met Tyr Arg Asp Val Val Asp Ile Val Glu  
 85 90 95

Gln Ala Gly Ser Lys Leu Asp Thr Ile Leu Ile Pro Lys Val Gly Val  
 100 105 110

Pro Ala Asp Val Tyr Thr Val Glu Cys Ile Val Ser Gln Ile Glu Val  
 115 120 125

Ala Lys Gly Leu Pro His Gln Ile Gly Thr Glu Ala Leu Ile Glu Thr  
 130 135 140

Pro Leu Gly Met Ala Asn Val Glu Ala Ile Ala Ser Ala Ser Ser Arg  
 145 150 155 160

Leu Glu Ser Met His Phe Gly Val Ala Asp Tyr Ser Ala Phe Asn Lys  
 165 170 175

Ala Arg Thr Val Val Ile Gly Gly Leu Asn Pro Asp Tyr Pro Gly Asp  
 180 185 190

Gln Trp His Phe Pro Leu Ser Arg Met Thr Val Ala Cys Arg Ala Phe  
 195 200 205

Gly Leu Arg Pro Ile Asp Gly Pro Phe Gly Gly Ile Asp Asp Pro Glu  
 210 215 220

Gly Tyr Lys Ala Ala Ala Arg Arg Gly Ala Ala Leu Gly Met Glu Gly  
 225 230 235 240

Lys Trp Ala Ile His Pro Ser Gln Ile Glu Leu Ala Asn Glu Ile Tyr  
 245 250 255

Ser Pro Thr Ala Lys Glu Val Glu Arg Ala Glu Arg Ile Leu Val Ala  
 260 265 270

Leu Lys Glu Ala Glu Ala Gln Gly Lys Gly Ala Ala Ser Leu Asp Gly  
 275 280 285

Lys Met Ile Asp Ala Ala Ser Glu Lys Met Ala Arg Asn Leu Leu Ser  
 290                            295                            300

Thr Ala Glu Gln Ile Lys Lys Ala Glu Ala Ala His Ala Ala Gln Lys  
 305                            310                            315                            320

Lys

<210> 73  
 <211> 387  
 <212> PRT  
 <213> *Hyphomicrobium methyllovorum*

<400> 73

Met Asp Val His Glu Tyr Gln Ala Lys Glu Leu Leu Ala Lys Phe Gly  
 1                            5                                    10                            15

Val Pro Ile Ala Arg Gly Gly Leu Ala Tyr Ser Pro Glu Gln Ala Thr  
 20                            25                                    30

Tyr Arg Ala Ser Glu Leu Gly Gly Thr Val Val Val Lys Ala Gln Ile  
 35                            40                                    45

His Ser Gly Ala Arg Gly Lys Ala Gly Gly Val Lys Val Cys Lys Asn  
 50                            55                                    60

Glu Lys Glu Ile Glu Asp Ala Ala Glu Phe Met Leu Gly Arg Lys Leu  
 65                            70                                    75                            80

Val Thr His Gln Thr Gly Pro Ala Gly Lys Leu Val Ser Arg Leu Tyr  
 85                            90                                    95

Ile Glu Glu Ala Thr Asn Ile Asp Arg Glu Ile Tyr Leu Gly Phe Val  
 100                            105                                    110

Met Asp Arg Ala Ser Glu Arg Ile Val Val Val Ala Ser Ala Ala Gly  
 115                            120                                    125

Gly Met Asp Ile Glu Glu Ile Ser Ala Ser Gln Pro Asp Thr Ile Ile  
 130                            135                                    140

Arg Val Ser Val Asp Pro Ala Val Gly Met Gln Gln Phe Gln Ala Arg  
 145                            150                                    155                            160

Glu Leu Ala Phe Gly Leu Gly Val Asp Pro Glu Ile Val Asn Lys Leu

165

170

175

Val Pro Ala Ile Met Gly Cys Tyr Arg Ala Phe Arg Asp Leu Asp Ala  
 180 185 190

Thr Met Val Glu Val Asn Pro Leu Val Ile Thr Lys Glu Lys Gln Val  
 195 200 205

Leu Ala Leu Asp Ala Lys Met Ser Phe Asp Asp Asn Ala Leu Phe Arg  
 210 215 220

Arg Pro His Ile Ala Glu Leu Arg Asp Lys Ser Gln Glu Asp Pro Arg  
 225 230 235 240

Glu Thr Tyr Ala Ser Asp Arg Gly Leu Ser Tyr Val Gly Leu Asp Gly  
 245 250 255

Asp Ile Gly Cys Ile Val Asn Gly Ala Gly Leu Ala Met Ala Thr Leu  
 260 265 270

Asp Met Ile Lys Leu Ala Gly Gly Glu Pro Ala Asn Phe Leu Asp Ile  
 275 280 285

Gly Gly Gly Ala Ser Pro Glu Arg Val Thr Lys Ser Phe Lys Ala Val  
 290 295 300

Leu Arg Asp Lys Asn Val Lys Ala Ile Leu Val Asn Val Phe Ala Gly  
 305 310 315 320

Ile Asn Arg Cys Asp Trp Val Ala Lys Gly Val Val Asp Ala Val Lys  
 325 330 335

Glu Leu Glu Ile Lys Met Pro Ile Val Val Arg Leu Ala Gly Thr Asn  
 340 345 350

Val Glu Glu Gly Arg Lys Ile Ile Asp Asn Ser Gly Leu Thr Val Ile  
 355 360 365

Ser Ala Asp Thr Leu Ala Asp Ala Ala Lys Gln Ala Val Asp Ala Ala  
 370 375 380

Lys Lys Ala  
 385

&lt;211&gt; 299

&lt;212&gt; PRT

&lt;213&gt; Hyphomicrobium methylovorum

&lt;400&gt; 74

Met Ala Ile Phe Ile Asn Glu Lys Thr Pro Ile Leu Ile Gln Gly Phe		
1	5	10
		15

Thr Gly Arg Ile Gly Thr Phe His Ala Gln Glu Met Ile Asp Tyr Gly		
20	25	30

Ser Asn Val Val Gly Gly Val Thr Pro Gly Lys Gly Gly Thr Ser His		
35	40	45

Leu Gly Arg Pro Val Phe Asn Thr Val Lys Gly Ala Ala Asp Glu Thr		
50	55	60

Gly Ala Glu Ala Ser Ile Val Phe Val Pro Pro Pro Phe Ala Ala Asp		
65	70	75
		80

Ala Ile Met Glu Ala Ala Asp Ala Gly Ile Lys Tyr Cys Val Cys Ile		
85	90	95

Thr Asp Gly Ile Pro Ala Gln Asp Met Ile Arg Val Lys Arg Tyr Met		
100	105	110

Arg Arg Tyr Lys Lys Glu Ser Arg Met Val Leu Thr Gly Pro Asn Cys		
115	120	125

Ala Gly Thr Ile Ser Pro Gly Lys Ala Met Leu Gly Ile Met Pro Gly		
130	135	140

His Ile Phe Leu Pro Gly Arg Val Gly Ile Val Gly Arg Ser Gly Thr		
145	150	155
		160

Leu Gly Tyr Glu Ala Ala Ala Gln Leu Lys Ala Leu Gly Ile Gly Val		
165	170	175

Ser Thr Ser Val Gly Ile Gly Gly Asp Pro Ile Asn Gly Ser Ser His		
180	185	190

Arg Asp Ile Leu Glu Ala Phe Glu Ser Asp Pro Glu Thr Asp Ala Val		
195	200	205

Leu Met Ile Gly Glu Ile Gly Gly Pro Gln Glu Ala Glu Ala Gly Leu		
210	215	220

Phe Ala Lys Glu His Met Lys Lys Pro Val Ile Ala Tyr Ile Ala Gly  
 225                   230                   235                   240

Leu Ser Ala Pro Lys Gly Arg Arg Met Gly His Ala Gly Ala Ile Val  
 245                   250                   255

Ser Ala Phe Gly Glu Ser Ala Ala Glu Lys Val Glu Ile Leu Lys Gly  
 260                   265                   270

Cys Asn Val Thr Ile Ala Ala Thr Pro Ser Glu Met Gly Ser Thr Val  
 275                   280                   285

Ala Gln Val Leu Asn Gln Arg Lys Lys Val Ala  
 290                   295

<210> 75  
<211> 299  
<212> PRT  
<213> Rhizobium sp.

<400> 75

Met Ser Ile Leu Leu Asp Lys Asn Thr Arg Val Ile Val Gln Gly Phe  
 1                   5                   10                   15

Thr Gly Lys Ile Gly Ser Phe His Ala Glu Asp Met Lys Arg Tyr Gly  
 20                   25                   30

Thr Asn Val Val Gly Gly Val Thr Pro Gly Lys Gly Gln Ala His  
 35                   40                   45

Leu Gly Met Pro Val Phe Asn Thr Val Lys Gly Ala Val Gln Glu Thr  
 50                   55                   60

Gly Ala Asp Ala Ser Ile Ile Phe Val Pro Pro Pro Phe Ala Ala Asp  
 65                   70                   75                   80

Ser Ile Met Glu Ala Ala Asp Ala Gly Ile Arg Leu Cys Val Cys Ile  
 85                   90                   95

Thr Asp Gly Ile Pro Ser Gln Asp Met Ile Arg Val Lys Arg Tyr Met  
 100                  105                  110

Arg Arg Tyr Arg Phe Glu Asp Arg Met Thr Leu Ile Gly Pro Asn Cys  
 115                  120                  125

Ala Gly Met Ile Thr Pro Gly Glu Ala Met Met Gly Ile Met Pro Gly  
 130 135 140

Ser Ile Tyr Leu Pro Gly Arg Ile Gly Ile Val Gly Arg Ser Gly Thr  
 145 150 155 160

Leu Gly Tyr Glu Ala Ala Ser Gln Met Lys Ala Leu Gly Val Gly Val  
 165 170 175

Ser Thr Ser Ile Gly Ile Gly Gly Asp Pro Val Asn Gly Ser Ser Phe  
 180 185 190

Lys Asp Met Leu Glu Leu Phe Glu Lys Asp Pro Gly Thr Asp Ala Val  
 195 200 205

Leu Met Ile Gly Glu Ile Gly Gly Pro Gln Glu Ala Glu Ala Ala Leu  
 210 215 220

Trp Ala Arg Asp His Met Lys Lys Pro Leu Ile Ala Tyr Ile Ala Gly  
 225 230 235 240

Leu Ser Ala Pro Lys Gly Arg Arg Met Gly His Ala Gly Ala Ile Ile  
 245 250 255

Ser Ala Phe Gly Glu Ser Ala Gln Glu Lys Val Glu Ile Leu Lys Ser  
 260 265 270

Ala Gly Val Thr Ile Val Pro Thr Pro Ser Ser Phe Gly Glu Thr Val  
 275 280 285

Ala Asp Val Leu Ser Ala Met Ser Lys Ala Ala  
 290 295

<210> 76  
 <211> 394  
 <212> PRT  
 <213> Rhizobium sp.

<400> 76

Met Asp Ile His Glu Tyr Gln Ala Lys Glu Leu Leu Ser Arg Tyr Gln  
 1 5 10 15

Ile His Ile Pro Arg Gly Gly Leu Ala Tyr Ser Pro Glu Gln Ala Ala  
 20 25 30

Tyr Arg Ala Arg Glu Ile Gly Gly Asp Arg Trp Val Val Lys Ala Gln  
 35 40 45

Ile His Ser Gly Ala Arg Gly Lys Ala Gly Gly Ile Lys Leu Cys Ser  
 50 55 60

Thr Asp His Glu Ile Val Glu Ala Ala Asp Ser Met Leu Gly Arg Thr  
 65 70 75 80

Ile Val Thr His Gln Thr Gly Pro Gln Gly Lys Leu Val Ser Arg Leu  
 85 90 95

Tyr Val Glu Glu Ala Met Asp Ile Ala Arg Glu Ile Tyr Ile Gly Phe  
 100 105 110

Val Leu Asp Arg Lys Ser Glu Arg Ile Met Ile Val Ala Ser Ser Ser  
 115 120 125

Gly Gly Met Glu Ile Glu Glu Ile Ala Glu Ala Glu Pro Asp Ser Ile  
 130 135 140

Ile Arg Ala Thr Val Asp Pro Gly Val Gly Met Gln Asp Phe Gln Ala  
 145 150 155 160

Arg Glu Ile Ala Phe Gly Leu Gly Ile Asp Asn Ala Leu Ile Gly Arg  
 165 170 175

Ala Thr Gln Thr Leu Leu Gly Cys Tyr Arg Ala Phe Val Asp Tyr Asp  
 180 185 190

Ala Ser Met Leu Glu Ile Asn Pro Leu Val Val Thr Arg Arg Gly Asp  
 195 200 205

Leu Val Ala Leu Asp Ala Lys Met Ser Phe Asp Glu Asn Ala Leu Phe  
 210 215 220

Arg Arg Pro His Ile Ala Glu Met Arg Asp Lys Ser Gln Glu Asp Gln  
 225 230 235 240

Arg Glu Thr Tyr Ala Ser Asp Arg Gly Leu Ser Tyr Val Gly Leu Asp  
 245 250 255

Gly Asn Ile Gly Cys Ile Ile Asn Gly Ala Gly Leu Ala Met Ala Thr  
 260 265 270

Met Asp Met Ile Lys Ile Ala Gly Gly Glu Pro Ala Asn Phe Leu Asp  
 275 280 285

Ile Gly Gly Gly Ala Ser Pro Asp Arg Val Ala Lys Ser Phe Arg Ala  
 290 295 300

Val Leu Thr Asp Arg Gln Val Glu Thr Ile Leu Val Asn Ile Phe Ala  
 305 310 315 320

Gly Ile Asn Arg Cys Asp Trp Val Ala Glu Gly Val Ile Lys Ala Leu  
 325 330 335

Arg Glu Val Gly Val Pro Val Pro Leu Val Val Arg Leu Ser Gly Thr  
 340 345 350

Asn Met Glu Glu Gly Arg Arg Ile Leu Ala Glu Ser Gly Glu Asn Ile  
 355 360 365

Ile Val Ala Glu Thr Leu Ala Glu Ala Ala Asp Lys Ala Val Ala Ala  
 370 375 380

Trp Arg Ser Phe Thr Ala Asn Lys Ala Ala  
 385 390

<210> 77

<211> 40

<212> ADN

<213> Nhân tạo

<220>

<223> đoạn mồi

<400> 77

ccctgaggag ggtccaagag atggacgtcc atgagtagcca

40

<210> 78

<211> 27

<212> ADN

<213> Nhân tạo

<220>

<223> đoạn mồi

<400> 78

gctctagatc aggctgcctg acgcccc

27

<210> 79

<211> 22

<212> ADN

<213> Nhân tạo

<220>  
 <223> đoạn mồi  
 <400> 79  
 ggaattcaca aaaaggataa aa 22

<210> 80  
 <211> 40  
 <212> ADN  
 <213> Nhân tạo

<220>  
 <223> đoạn mồi  
 <400> 80  
 tggtaactcat ggacgtccat ctcttgacc ctcctcaggg 40

<210> 81  
 <211> 897  
 <212> ADN  
 <213> Granulibacter bethesdensis

<400> 81  
 atgagcattc tgatcaataa gcagaccaag atcatcattc agggcttcac cggcgacaag 60  
 ggcacgttcc acggtcgcga gatgatcgat tacggcacca atgtcgtcgg tggcgtgacg  
 cccggtaaaag gcggccagac ccatctgggt cgtcccgtgt tcaacacggt cgaggacgcf 120  
 gtgcgtgaaa ccggtgccca ggcgtcgatc acctttgtgg cacctgcctt ttgcgccat  
 gcgatcatgg aaggcgccga tgcgggctg gagctgatct gcaccatcac ggacggatt 180  
 ccggcgcagg atatgatgcg cgtgaagcgt tatctgcgcc gctaccagaa ggatcgtcgc  
 acgcgtctgg tggggccgaa ctgcgcgggc atcatcagcc cgggccaggc catgctggc 240  
 atcatgccgg gccatatcta caaggaaggc catgtcggca ttgttcccg ctcaggcacf  
 ctcggctatg aagccgccccgc gcagctgaag gagctggca tcggtgtgtc caccagtgt 300  
 ggtatcggtg gtgacccgat caatggttct tccttccttg atcaccttca gctgttcgaa  
 gcccaccccg agactcatgc cgtgctgatg atcggcgaga tcggtgccc gcaggaagcc 360  
 gaagcggcga agtggatcag cgagaacatg tcgaagccgg tggttgcta cggtgccggc  
 ctgaccgctc cgaaggggcg tcgtatggc catgccgtg cgatcatctc tggcgaaggc 420  
 gacagcggccg ccgaaaaagag cgagatcatg cgctcctacg gtctgacggt tgctcccagc  
 ccgggtgaac tcggctcgac cgttgccgca gtgctggctg ggcgtcaggc agcctga 480  
 897

<210> 82  
 <211> 1170  
 <212> ADN

&lt;213&gt; Granulibacter bethesdensis

<400>	82					
atggacgtcc	atgagtagcca	ggcaaaagaa	ttgcttgcga	gcgccggtgt	ggccgtgccc	60
cgccggtgcaa	tcgcatttcag	cgctgatcat	gccgtgtatg	ccgcgaccga	actgggtggc	120
tggcaactggg	cggtaaaagc	ccagattcat	gccggtgcbc	gcggcaaggc	cgccggcatc	180
aagctgtgca	agacgttatca	tgaagtgcgc	gaggctgctg	ccggtatgct	cggaagcgt	240
ctggcacgc	atcagaccgg	tccggaaggc	aagcctgtcc	agcgcgtgta	tgtcgaggc	300
gccgatccct	tcgagaaaaga	attctatctg	ggctttgtgc	tggatcgtaa	gctggagcgc	360
gtgcgtgtga	tcgcctccgc	cgagggcggc	atggagatcg	agggaaatcgc	ttccaagcat	420
ccggaaaagc	tgatccaggt	gatcgtggag	ccggcggttg	gtcttcagca	gttccaggcc	480
cggccagatcg	ccttcaagct	gggcctgtcc	agccgtcagg	tacagcgtgc	ggtgaccagc	540
atcatggcg	cttacgcgc	attcccgat	cacgacgcga	ccatgctgga	aatcaatcct	600
ctgggtctga	ccaaggatga	ccgtattctg	gchgctcgatg	cgaagatgag	cttcgacgac	660
aacgccttgt	tccgtcgcaa	caacgtcgcc	aacatgcatg	accctctca	ggacgatccg	720
cgtgaggcgc	aggctgccga	gcacaacctc	aactatgtgg	gtctggaagg	cgatatcggc	780
tgcgtggta	atggcgccgg	cctggcgatg	gchaccatgg	acgtcatcaa	atatgcgggt	840
ggtgagccctg	ccaacttcct	cgatgtcggc	ggcggggcaa	gccccgagcg	taccgcgacg	900
gcgttccgtc	tggtgctgtc	cgacaagaac	gtgaagggtt	ttctggtaaa	catcttcgccc	960
ggcatcaacc	gctgcgactg	gatcgcggaa	ggcgtgggtc	acgcggtgaa	agaagtcgt	1020
ctgaagcttc	cgctgggtgt	gcgtctggca	ggcaccaatg	tggaggaagg	ccgcccgtatt	1080
ctgaaaagaaa	gcggcatttc	cgtcatcatg	gccgaaagcc	tgaccgaagc	ggccgaaaag	1140
gccgtcgagg	ccgcgaaggc	cgccggcgtaa				1170

&lt;210&gt; 83

&lt;211&gt; 59

&lt;212&gt; ADN

&lt;213&gt; Nhân tạo

&lt;220&gt;

&lt;223&gt; đoạn mồi

&lt;400&gt; 83

accaggaaat tcacaaaaaag gataaaacaa tgagctatac cctctaccca accgtaagc

59

&lt;210&gt; 84

&lt;211&gt; 43

&lt;212&gt; ADN

&lt;213&gt; Nhân tạo

&lt;220&gt;

&lt;223&gt; đoạn mồi

&lt;400&gt; 84

gcccactcta gatcaggcaa ctttttctg cttgccgaga acc

43

&lt;210&gt; 85

&lt;211&gt; 963

&lt;212&gt; ADN

&lt;213&gt; Hyphomicrobium denitrificans

&lt;400&gt; 85

atgagctata ccctctaccc gaaccgtaag cagcgtctgc agcgttctta tctgccgtg 60  
 ccgggctcca acccgacgat gatcgaccgc gccctcaaga gcgccgcccga ctacgtttc 120  
 cttgattgcg aagacgcccgt cgccgcgcggc gagaaagagc aggctcgcaa gaacatcatc 180  
 caggctctga acgatctcga ctggaaggc gcgggcaaga gcgtctcggt ccgcataaac 240  
 ggcctcgaca cgccattattg ctaccgcgac gtcgtcgaca tcgtcgagca ggctggtgcc 300  
 aagctcgata cgatcctcat tccgaaggc gcgttccgg ccgacgtcta cgccatcgaa 360  
 agcttcgtca gccagatcga agtcgcgaag ggtctccgc accagatcgg catggaagcc 420  
 ctcatcgaaa cgccgctcgg catggcaac gtcgaagcca tcgcgtctgc caacagccgc 480  
 cttgagtcga tgcacttcgg cgttgccgac tactccgat tcaacaaggc ccgcaccgtc 540  
 gtcatcggcg gcttgaaccc cgactatccg ggtgaccagt ggcaattccc gctgtcgcc 600  
 atgacggtcg cctgccgcgc attcggtctc cgtccgatcg acggcccggtt cggcggcatc 660  
 gacgatccgg aaggctacaa ggccgctcgcg cgccgtggc ccgctctcgg catggaaggc 720  
 aagtggcga tccacccctc gcagatcga ctcgccaacg aaatctactc tccgacggcg 780  
 aagggaaatcg aacgcgcga ggcgcattcg gtcgcactca aggaagccga agcgcaggc 840  
 aaggcgcag catcgctcga cggcaagatg atcgacgcgg catctgaaaa gatggcgaag 900  
 aacctgctgg tcacggcagc ggcgatcaag gcaggcgaag aagctcgccgaa aagagcaaa 960  
 taa 963

&lt;210&gt; 86

&lt;211&gt; 900

&lt;212&gt; ADN

&lt;213&gt; Hyphomicrobium denitrificans

&lt;400&gt; 86

atggcaatct ttatcaatga aaagacgcgg atcctgatcc agggctttac cggtcgcata 60  
 ggcacgttcc acgcccagga aatgatcgac tacggctcca acgtcggtgg cggcgtgacg 120  
 cccggtaaag gcggcacctc gcatctcggc cgtccgggtgt tcaacaccgt caagggcgcc 180

gtcgacgaga cgggcgctga agcctccatc gtgttcgtgc cgccgccgtt cgccgctgac 240  
gcatcatgg aagcggccga cgctggatc aaatactgcg tctgcatcac ggacggcatt 300  
cctgctcagg atatgatccg cgtgaagcgc tacatgcgcc gctacaagaa agaagcgcgc 360  
atgatcctga ccggccccaa ctgcgccggc acgatctcgc caggcaaggc gatgctcggc 420  
atcatgccgg gacacatcta cttccgggc cgctcggca tcgtcggccg ctccggta 480  
ctcggctacg aagccgcccgc gcagctcaag gcccttggca tcggcgtctc gacgtcggtt 540  
ggtatcggcg gcgaccgcgat caacggctcg tcgcacatcg acgtccctcga gcacttcgag 600  
aacgatcccg agaccgacgc gatccctgatg atcggcgaaa tcggtggtcc gcaggaagcc 660  
gaagccggcc tcttcgccaa agagcacatg aagaagcctg tcacgccta catgcgggt 720  
ctgtcggccc cgaaggcccg ccgcacatggc cacgctggcg ccacatgtttc ggcattcggc 780  
gagtcggctg ctgagaaggt cgagatcctg aagggtctgcg gcgtcgctat cgccgcgacg 840  
ccgtcggqaaa tgggctcgac cgtcgcgcag gttctcgga agcagaaaaa agttgcctga 900

```
<210> 87
<211> 1164
<212> ADN
<213> Hyphomicrobium denitrificans
```

<400> 87  
atggacattc atgaataccca ggccaaagag cttcttgcga agttcggtt gcccgtcgcc 60  
cgcgccggac ttgcctacag ccctgaacag gccacctatc gcgccagcga gcttggcgcc 120  
acggtcgtcg tcaaggcgca gattcactcc ggccgcgcgcg gttaagccgg cgccgtcaag 180  
gtctgcaaga cgaaaaagga aatcgaggat gcagccgagt tcatgctcgg ccgcaagctc 240  
gtcacgcacc aaacgggatc ggccggcaag ctggtctcgc gcctctacat cgaagaagcg 300  
acgaacatcg atcgcgaaat ctatctcggt ttcgtatgg accgcgttc ggagcgcata 360  
gtcgtcgtgg cctcggccgc gggcggcatg gacatcgagg aaatctcggc gtcgcagccc 420  
gacacgatca tccgcgtcgc cgtcgaccgg gcgggtcggca tgcagcagtt ccaggcacgt 480  
gagctggcat tcggacttgg cgtcgatcct gagatcgtca acaagctcggtt gcccgcata 540  
atgggctgct atcgcgcctt ccgcgtatctc gatgcgtatga tggttgaaat caacccgttc 600  
gtcatcacca aggaaaagca ggtcggtcgctt ctcgacgcacca agatgtcgatcccgac 660  
gacgcgttcc gccgtccgca catcgccgag ctgcgcgacca agagccagga agatccccgc 720  
gaaacctacg cgtcgatcg tggctctcg tacgtcggtc tcgatggcga catcggtcgatcc 780  
atcgtaaacg gtgcgggtct cgcgatggcg acgctcgacca tgatcaagct tgcggccggc 840

gagcctgcga acttcctcga catcgccggc ggccgccttc ccgagcgcgt caccaagtcg	900
ttcaaggcgg ttctgcgcga caagaacgtc aaggccatcc tggtaaacgt ctgcgcggc	960
atcaaccgtt gcgactgggt tgccaagggt gtcgtcgacg ccgtcaagga actcgatatac	1020
aagctgccga tcgtcggtcg cctcgccaggc accaacgtcg aagaaggccg caagatcatc	1080
gacaacagcg gcctgacggt catcagcgcg gaaaactctcg ccgatgctgc caagcaggcg	1140
gtcgaagcgg ccaaaaaaagc ctaa	1164
<210> 88	
<211> 60	
<212> ADN	
<213> Nhân tạo	
<220>	
<223> đoạn mồi	
<400> 88	
gcggggaaat tcacaaaaag gataaaaacaa tgagtcatac cctgttatgaa ccaaaacacc	60
<210> 89	
<211> 40	
<212> ADN	
<213> Nhân tạo	
<220>	
<223> đoạn mồi	
<400> 89	
caggcgtcta gattagagtc cggccagaac ttttgcgacg	40
<210> 90	
<211> 951	
<212> ADN	
<213> Nitrosomonas europaea	
<400> 90	
atgagtcata ccctgttatga aaccaaaaca ccgcgtgtac agcgctgcga actggctgtt	60
ccgggttccc gtccccaaat gttgaaaaaa gcgctgaaaa gccggagtggc cttcatat	120
ctggatctgg aggatgcagt cgccaccagat gacaagatcc aggcaagaaa aaatatcatt	180
caggcaatca atgatctgga ctggaaaaagt cacgggtgtca cgcttctgt acgcatcaat	240
ggtctcgata cccaatatat ggtgcgttat gtgggtcgatc tggtagagca ggccggcac	300
aagatcgata cgttgctgat tcccaaagta ggtgtttatg ctgatgttta catggtcgaa	360
gccatgctca gccagcttga aatgcagcag gggctgaaaa accgaattgg tgtgaaagca	420
ctgatcgaaa cggcactggg gatggccat gttgaagata tcgccccgca aggaacggcc	480
gggcgtctgg aagcattgca tttcggtgtt gctgactacg ctgccagcaa tcgtgcacgt	540

accaccaata	tcggcgggct	caatccggat	tatccagggg	atcagtggca	cgcagccatc	600
agcagaatga	cggttgcctg	ccgcmcattc	ggcctgcgac	caatcgatgg	cccatttggt	660
gacattcagg	atcccgaagg	ttacaaacag	gcagccagac	gtgctgcagc	actgggttgt	720
gaaggtaaat	gggcaattca	tccgacacag	atcgcgctgg	ccaatgaagt	ctttacgccc	780
cccacagcag	aagtgcacaa	agccaaacgc	attctgacag	cattgaagga	agctgcagct	840
caaggtaaag	gtgcagcctc	acttgatggc	cgcctgatcg	atgccgcttc	ggaaaagaatg	900
gcaaataaca	tcgtcaaaat	ggcggaaagca	attgctgcc	aaagcaaata	a	951
<210>	91					
<211>	888					
<212>	ADN					
<213>	Nitrosomonas europaea					
<400>	91					
gtggcaattc	tcatcaatga	gcagacgcgg	atcatcgta	aggcgtttac	cggccggatc	60
ggcaccttcc	atgctcagga	aatgatcgat	tacggatcta	atgttagtggg	aggcgtaacg	120
cccgccaaag	gcgggcagaa	acacctgggg	ctgccagtat	tcaataaccgt	ccgggaagca	180
gtcgagcagg	caggtgcgga	agccagcatt	gtattcgatcc	cgcggcatt	tgccggctgtat	240
tcgattatgg	aagcagccga	tgccgtatc	aaatattgcg	tatccatcac	cgatggcatt	300
ccaacccagg	acatgatgac	cgtaaaaaac	ttcttacgatc	tcttccctga	ggaggacaga	360
atgatgctga	ccggccccaa	ctgttcaggc	actatcagcc	ccggacgggc	gatgttgggc	420
atcatgcccgg	ggcatatatta	cagccgtggg	gtcggttgggt	tcgtcggccg	ttccgggtaca	480
ctgggttatg	aagctgccga	ccagatgcga	cggctgaata	tcgggatttc	gacttcggta	540
ggtattggcg	gagacccgat	catcgccagt	tcgcaccgga	atgtgctgca	aaagctggaa	600
gaagatccgg	aaaccaaagt	cacgctgatg	attggtgaaa	ttgggtggccc	aatggaagta	660
gaagccggac	tgttcgcaaa	ggaaaacatg	agcaaaccgc	tggttgccta	cattgccggc	720
ctgactgcac	ctccccggaag	acggatgggg	cacgcccggag	caatcatctc	ttcagccgggt	780
gaaagcgcag	cagaaaaagt	ggaaagactg	aaagaactgg	gcgtcaccat	ctgcccggact	840
ccgtctctga	tgggtgaaac	cgtcgcaaaa	gttctggccg	gactctaa		888
<210>	92					
<211>	1173					
<212>	ADN					
<213>	Nitrosomonas europaea					
<400>	92					
ttggatatcc	atgaatatca	ggccaaggaa	atcctggctg	aatacggtat	caagctggct	60

gaaggcggat tggcgcacac tgtggaagaa gcggtacaac gcagccggga aatcgatggc	120
aatgtgtggg tcgtcaaggc acaaattccat tccggcgccc gtggtaaagc aggcgggtgc	180
aaagtatgcc ggacacatga agaaatcgaa gtcgcagctg aatcactgct gggaaaaaaa	240
ctggtcacac accaaaccgg cccggcggtt aaactctgct ccagactgta tatcgaagcc	300
ggtaccgaaa ttgcccggga agtgtatctc gctttcatga tcgatcgag tcatgaacgt	360
atcgcatgg tgggttccgc acagggggga atggatatcg agaccctggc agccacgaat	420
cctgatgcca tcaaaaaaat tcacatcgag cctgctgtcg gcctgcagga tttccaggca	480
agaaccatgg ctttgact gggctggaa gatgttgc tcaatcacgc cgtcaagacg	540
atcagagggtt gctaccgcgc catgcgcgat ctggatgcga acataactcga aatcaacccg	600
ctgggtgtca cgcgcaacaa cgagctgatc gcactggatg cgaagatgag ctttgatgaa	660
aatgcactgt tccggcgcca ccggatttcc gaattgcgtg acaactcaca aatcgattcg	720
cgcgaaattt ctgcagcgga agcaggctt agctacgtcg ggctggatgg agacatcg	780
tgcatgatca atggcgccgg gctggcaatg gccaccatgg acatgatcaa actggccggc	840
ggcgaaccgg ccaattttct gnatgtcgcc ggcggcgcat ctgcccagc aactgaaaaa	900
gcattccggc tggtaactggc ggataacaac gtaaaagcca tgctggtaa tatcttgcc	960
ggtattaacc gctgtgactg gattgccaa ggtgtggttc aggctgtacg gaatatcgga	1020
atgacggtcc ctctggcgt ggcctgtct ggcaccaacg tggaagaagg ccggcgatc	1080
atcgctgaca gcgggttgcc gatcattact gcagaaaccc tggccgatgc agcagagaaa	1140
gtagtgcacg ctcgcaacca ggctgcagtt tga	1173

<210> 93  
 <211> 32  
 <212> ADN  
 <213> Nhân tạo

<220>  
 <223> đoạn mồi

<400> 93  
 ggaattccat atggctgtta aaaatcgatc ac

32

<210> 94  
 <211> 29  
 <212> ADN  
 <213> Nhân tạo

<220>  
 <223> đoạn mồi

<400> 94  
gctctagatc agaatctgat tccgtgttc

29

<210> 95  
<211> 963  
<212> ADN  
<213> Methylococcus capsulatus

<400> 95  
atggctgtca agaaccgtct acaccgcagc gaactcgccgg tgccgggcag caatccacgc 60  
atgctcgaga aagcgccgga agccggcgcc gacatcgat ttctggaccc ggaagatgcg 120  
gttgcgccgg atgacaagga gcaagcgccg cggAACATCG tcttcgcgc caaacacctac 180  
gactggtcca gatgcgcggc ctccgtccgc atcaacggcc tcgacaccca ttacgcctac 240  
cgggacctcg tttagatcgat cgagtccgc ggcgacaaggc tcgacacccat tctggtgcgg 300  
aaagtccggca gcgcctcgga cgttctgttc gtcgcgactt tactttccca gatcgaggcc 360  
tacaaagggtt tcaaaccat caatatccac gtgctgatcg aaacggccat gggcatggcc 420  
aacgtggagg agatcgcccc cacctgtcct gaacgcattgg aggccatggt gttcggcgtg 480  
gccgactacg ctgcgtcggt gcgcgcggc acgaccaaca tcggccggcgc caacccggat 540  
tacggcatgc tgaccgaccc tgacgaaagc ggtaccccg cctatcactg ggccgaccag 600  
tggcatttcg gcatttcccg catggcgccg gcctgcccgc cctatggct tcgccccatc 660  
gacggccct tcggcgattt cagcgatccg gaaggattcc gcgcgcgc cccgcgtgcc 720  
gcggcactgg gctgcgaagg gaagtggcg atccatccct cccagattcc actgtgcaac 780  
gaaatcttca cacccacgga aaaagaggta acgcggccct accgcattcc ggaagccatg 840  
gagcaggcgg caaaggaggg caaaggcgccg gtgtctctgg atggccggct gatcgatgcc 900  
gcctcgatcc ggatggcgga gaacgtggtc cgccagatga agcagatcga gtcgcgtcgg 960  
tag 963

<210> 96  
<211> 903  
<212> ADN  
<213> Methylococcus capsulatus

<400> 96  
atgagcgtat tcgttaacaa gcactccaag gtcatcttcc agggcttcac cggcgagcac 60  
gccacccatcc acgccaagga cgccatgcgg atggccaccc ggggtggcgg cgggtgtcacc 120  
cctggcaaag gcggcaccccg ccatcccgat cccgaactcg ctcatctgccc ggtgttcgac 180  
accgtggctg aagccgtggc cgccacccggc gccgacgtct ccgcgtgtt cgtgccggcg 240  
cccttcaatg cggacgcgtt gatggaaagcc atagacgcggc gcatccgggt cgccgtgacc 300

atcgccgacg	gcatcccggt	acacgacatg	atccgactgc	agcgctaccg	ggtgggtaag	360
gattccatcg	tgatcggacc	gaacaccccc	ggcatcatca	cgcggggcga	gtgcaagggt	420
ggcatcatgc	cttcgcacat	ttacaagaag	ggcaacgtcg	gcatcgtgtc	gctccggc	480
accctaatt	acgaggcgac	ggaacagatg	gccgcgctt	ggctgggcat	caccacctcg	540
gtcggtatcg	gcggtgaccc	catcaacgga	accgatttcg	tcactgtcct	gctccggc	600
gaagccgacc	cggaaaccga	gatcgtggtg	atgatcggcg	aaatcggcg	cccccaggaa	660
gtcgccgccc	cccgctggc	caaggaaaac	atgacaaagc	cggtcatcg	cttcgtcgca	720
ggccttgcgg	caccgaccgg	ccgacgcata	ggccatgcgg	gcgcacatcat	ctccaggcg	780
gccgacacccg	ccggagccaa	gatggacgccc	atggaaggct	tggggctgt	tgtcgccgc	840
aaccggcac	agatcggcca	gaccgtgcta	cgcgcgcgc	aggaacacgg	aatcagattc	900
tga						903

<210> 97  
 <211> 1170  
 <212> ADN  
 <213> *Methylococcus capsulatus*

<400>	97	gtgaatatcc	atgagtagcca	ggccaaggag	ctgctcaaga	cctatggcgt	gcccgtgccc	60
		gacggcgccg	ttgcctattc	cgacgcgcag	gccgcacgcg	tcgcccggaga	gatcggcgcc	120
		agccgctggg	tggtaaggc	gcagatccat	gccggcggtc	gcggcaaggc	cggggcgta	180
		aagggtcgccc	actccatcga	ggaagtccgc	caatacgcgg	acgcccattgt	cggcagccac	240
		ctcgtcacc	atcagaccgg	cccgggaggc	tcgctggttc	agcgtctgt	ggtggAACAG	300
		gccagccata	tcaaaaagga	atactacctg	ggcttcgt	tcgatcgcgg	caatcaacgc	360
		atcaccctga	tcgcctccag	cgagggcgcc	atggaaatcg	aggaagtgc	aaaggaaacc	420
		ccggagaaaa	tgcgtcaagga	agtcgtcgat	ccggccatag	gcctgctgga	cttccagtgc	480
		cgcaaggctcg	ccacggcgat	cggcctgaaa	ggcaaactga	tgccccaggc	cgtcaggctg	540
		atgaaggcca	tctaccgctg	catgcgcgac	aaagatgccc	tgcaggccga	aatcaatcct	600
		ctggccatcg	tggcgaaag	cgacgaatcg	ctcatggtcc	tggatgcca	gttcaacttc	660
		gacgacaacg	ccctgtaccc	gcagcgcacc	atcaccgaga	tgcgcgaccc	ggccgaggaa	720
		gaccggaaag	aggtcgaagc	ctccggccac	ggtctcaatt	acatgcgcct	cgacggcaac	780
		atcggctgca	tgcgtcaatgg	cgcggccctc	gccatggctt	cgtcgcacgc	catcaccctg	840
		catggcgcc	gtccggccaa	cttcctcgac	gtggggcgccg	gcccctcccc	cgagaaggtc	900

accaatgcct	gccgcacgt	actgaaagat	cccaacgtcc	gctgcacatc	960	
tttgcggca	tcaaccgctg	tgactggatc	gccaagggcc	tgatccaggc	ctgcgacagc	1020
ctgcagatca	aggtgccgct	gatcggtgc	ctggccggga	cgaacgtcg	cgagggccgc	1080
aagatcctgg	ccgaatccgg	ccttccttc	atcacccgg	aaaatctgga	cgacgcggcc	1140
gccaaggccg	tcgcccattcg	caaggataa				1170

<210> 98  
 <211> 2072  
 <212> ADN  
 <213> Uncultured gamma proteobacterium

<400> 98						
atgaacattc	acgaatatca	ggccaaggag	ctgcttcgtt	cttacggtgt	ccccgttcca	60
gccgggaacg	tcgcctattc	cgatcgccaa	gcgcaggcag	tggccgaaca	gatcggcggg	120
gacggatggg	tagtaaaagc	gcaaattccat	accggcgggc	gaggcaaggc	cggcggcggtt	180
aaactcgccc	aatccttgg	ggaagtccgc	aagatagccg	acgaaatgtat	cggcaaaaact	240
tttgtgactc	ctcaaaccgg	gcccaaaggc	aaagtggtcc	ggcgcgtatt	ggtggaagaa	300
cgcgtagtc	cgcaacggg	attgtacctt	gggttggtca	tcgaccggcg	cagccaacgc	360
atcaccatcg	tggcttccgc	ggaaggaggg	gtagagatcg	aggaagtggc	ggccaggagt	420
ccggagaaaa	tcgtgcggg	ggcgatcgac	ccggccatcg	gtctgcgcga	ttttcaatgc	480
cgtaaggtcg	ccgcccacat	tggctgcgc	gacaaacatc	taatggcgca	ggcggtgcgc	540
ctcatgcagc	gcatctatcg	cctgttgcgt	gacaaggatg	ccctccaggt	ggagatcaat	600
cctctaggca	tcgtcggcag	cgagccaaag	ctggtttgc	tggacgccaa	attcaatttc	660
gaccccaacg	ccctttccg	acatccggaa	atcaacgagc	tgcgcgattt	ggaagaggaa	720
gaccggcggg	aggtggaagc	cttaggtcac	gggctcaact	acatcgctt	agacggcgat	780
atcggtgc	tcgtcaacgg	cgccggcctg	gccatggcga	ccatggacgc	catcggttt	840
catgggtt	ggccggcgaa	tttcctggat	atcgggggtg	gggcctcgcc	ggagaaagt	900
caaaacgctt	gtcggatcg	gattcaggac	cagaacgtca	agactttgtt	ggtcaatatc	960
tttgcggca	tcaaccgctg	cgattggatc	gctaccggtc	tagtccaggc	ttacaccagc	1020
ttgcgcattcg	acaaggccctg	cgtcggtgc	cttgcaggaa	cgaatgtaga	ggaggggcta	1080
aggattttga	ccgactcggg	tcttgcttgc	gtaaaagcga	gcaatctgga	cgatgcggca	1140
gctaaagccg	tcgcccattcg	tcatgggagg	aacgtatgag	tatTTTgtc	aaccggcatt	1200
cgcgggtat	catccaggga	ttcaccggcc	aacacgctac	gttcacgccc	agcgaggcga	1260
ttcggtacgg	cactcaagt	gtcggcggcg	tcacccggg	caaggagga	agtaagcacc	1320

ttggattgcc ggtgttcgat acagtttctg aagcggttc agagacgggc gccgatgtct	1380
ctgggatttt tgtccccca gcgtttgtc ccgacgccc catggaagcg atcgaagccg	1440
ggatccgggt aatcggttg attgccgatg gcatcccggt gcaagacatg attcgagtgc	1500
agcgctaccc gctcgacgc gactgtctgg tgcttggcc aaacacgcct ggaatcatca	1560
ctcctggaga gtgcaagggtg gggatcatgc ctgctggaat ttaccgtcca ggaagaattt	1620
gggttagtgtc gcggtccgga acgctgaatt acgaggccgt cgaacaattt ggcaaactgg	1680
gtttgggtca atccaccgcg gttggcatcg gtggggatcc ggtcaacggc accgacttt	1740
tgactgtgct caaagccttc gaacaagatc cggacaccga tgcgatcgatc atgatcgcg	1800
aaatcggcg gccgcaagaa gtcgcccgtg cccgctggc caaaagaaaat atgcaaaagc	1860
cgcctatcggttttggcg ggggcctcggttccaccggg gcggcgcatg gggcatgctg	1920
ggcgatcat cgaagggtgag gaagacaccg ccaaagccaa gatggacgcg atggaggagc	1980
ttggggtata cgtggtcaga aatcccgccc ggatcgccga aacggttta agggcgctca	2040
aggagcgccct gggatctgca gtttctggct aa	2072

<210> 99  
<211> 40  
<212> ADN  
<213> Nhân tạo

<220>  
<223> đoạn mồi

<400> 99  
gttgaacgag gagatcgcc atgaacattc acgaatatca

40

<210> 100  
<211> 29  
<212> ADN  
<213> Nhân tạo

<220>  
<223> đoạn mồi

<400> 100  
gctctagatt agccagaaac tgcagatcc

29

<210> 101  
<211> 40  
<212> ADN  
<213> Nhân tạo

<220>  
<223> đoạn mồi

<400> 101						
tgatattcgt	aatgtttcat	ggacgatctc	ctcggtcaac	40		
<210> 102						
<211> 897						
<212> ADN						
<213> Uncultured gamma proteobacterium						
<400> 102						
atgagtattt	ttgtcaaccg	ccattcgccgg	gtgatcatcc	agggattcac	60	
gctacgtttc	acgccagcga	ggcgattcgg	tacggcaactc	aagtggtcgg	cggcgtaacc	120
ccgggcaagg	gaggaagtaa	gcaccttgg	ttgcccgtgt	tcgatacagt	ttctgaagcg	180
gtttcagaga	cgggcgcgca	tgtctctgg	atttttgtgc	ccccagcggt	tgctgcccac	240
gccatcatgg	aagcgatcga	agccgggatc	cgggtaatcg	tggtgattgc	cgatggcatc	300
ccggtgcaag	acatgattcg	agtgcagcgc	taccggctcg	gacgcgactg	tctggtgctt	360
gggc当地aaaca	cgccttggaaat	catcaactcct	ggagagtgca	aggtggggat	catgcctgct	420
ggaatttacc	gtccaggaag	aattggggta	gtgtcgccgt	ccggaacgct	gaattacgag	480
gccgtcgaac	aattgggcaa	actgggtttg	ggtcaatcca	ccgcgggttgg	catcggtgg	540
gatccggta	acggcaccga	ctttgtgact	gtgctcaaag	ccttcgaaca	agatccggac	600
accgatgcga	tcgtcatgat	cggcgaaatc	ggcgggcccgc	aagaagtcga	cgctgcccgc	660
tgggccaaag	aaaatatgca	aaagccgctc	atcggttttg	tggcgaaaaac	ctcggttcca	720
ccggggccgc	gcatggggca	tgctggggcg	atcatcgaaag	gtgaggaaga	caccgccaaa	780
cccaagatgg	acgcgatgga	ggagcttgg	gtatacgtgg	tcagaaatcc	cgcccgatc	840
ggcgaaacgg	ttttaagggc	gctcaaggag	cgcctgggat	ctgcagttc	tggctaa	897
<210> 103						
<211> 1179						
<212> ADN						
<213> Uncultured gamma proteobacterium						
<400> 103						
atgaacattc	acgaatatca	ggccaaggag	ctgcttcgtt	cttacggtgt	ccccgttcca	60
gccgggaacg	tcgcctattc	cgatcgccaa	gcmcaggcag	tggccgaaca	gatcgccgg	120
gacggatgg	tagtaaaagc	gcaaatccat	accggcgggc	gaggcaaggc	cggcgccgtt	180
aaactcgccc	aatccttgg	ggaagtccgc	aagatagccg	acgaaatgtat	cggcaaaaact	240
ttggtgactc	ctcaaaccgg	gcccaaaggc	aaagtggtcc	ggcgcgtatt	ggtggaaagaa	300
gcggtagtc	cgcaacggga	attgtacctt	gggttggtca	tcgaccggcg	cagccaacgc	360
atcaccatcg	tggcttcgc	ggaaggaggg	gtagagatcg	aggaagtggc	ggccaggagt	420

ccggagaaaa tcgtgcggga ggcgatcgac ccggccatcg gtctgcgcga ttttcaatgc	480
cgttaaggtcg ccgcgcacat tggcctgcgc gacaaacatc taatggcgca ggcggcgcgc	540
ctcatgcagc gcatctatcg cctgttcgt gacaaggatg ccctccaggt ggagatcaat	600
cctctaggca tcgtcggcag cgagccaaag ctggttgtt tggacgcaa attcaattc	660
gaccccaacg ccctttccg acatccggaa atcaacgagc tgcgcgattt ggaagaggaa	720
gaccggcggg aggtgaaagc cttaggtcac gggctcaact acatcgctt agacggcgat	780
atcggctgca tcgtcaacgg cgccggcctg gccatggcga ccatggacgc catcggttt	840
catggtggtt ggccggcgaat ttccctggat atcgggggtg gggcctcgcc ggagaaagtgc	900
caaaaacgctt gtcggatcgt gattcaggac cagaacgtca agactttgtt ggtcaatatc	960
tttgcggca tcaaccgctg cgattggatc gctaccggtc tagtccaggc ttacaccagc	1020
ttgcgcacatcg acaagccctg cgtcgtgcgc cttgcaggaa cgaatgtaga ggaggggcta	1080
aggattttga ccgactcggg tcttgcttc gtaaaagcga gcaatctgga cgatgcggca	1140
gctaaagccg tcgccccatcg tcatgggagg aacgtatga	1179

&lt;210&gt; 104

&lt;211&gt; 33

&lt;212&gt; ADN

&lt;213&gt; Nhân tạo

&lt;220&gt;

&lt;223&gt; đoạn mồi

&lt;400&gt; 104

gttatgttgtt ggtcgtgcag ctcctcgtca tgg

33

&lt;210&gt; 105

&lt;211&gt; 30

&lt;212&gt; ADN

&lt;213&gt; Nhân tạo

&lt;220&gt;

&lt;223&gt; đoạn mồi

&lt;400&gt; 105

gagctgcacg accaccacat aactatggag

30

&lt;210&gt; 106

&lt;211&gt; 28

&lt;212&gt; ADN

&lt;213&gt; Nhân tạo

&lt;220&gt;

&lt;223&gt; đoạn mồi

<400> 106  
ggaattccag ttgaacgacg gcgagcag

28

<210> 107  
<211> 298  
<212> PRT  
<213> Granulibacter bethesdensis

<400> 107

Met Ser Ile Leu Ile Asn Lys Gln Thr Lys Ile Ile Ile Gln Gly Phe  
1 5 10 15

Thr Gly Asp Lys Gly Thr Phe His Gly Arg Glu Met Ile Asp Tyr Gly  
20 25 30

Thr Asn Val Val Gly Gly Val Thr Pro Gly Lys Gly Gln Thr His  
35 40 45

Leu Gly Arg Pro Val Phe Asn Thr Val Glu Asp Ala Val Arg Glu Thr  
50 55 60

Gly Ala Gln Ala Ser Ile Thr Phe Val Ala Pro Ala Phe Cys Ala Asp  
65 70 75 80

Ala Ile Met Glu Gly Ala Asp Ala Gly Leu Glu Leu Ile Cys Thr Ile  
85 90 95

Thr Asp Gly Ile Pro Ala Gln Asp Met Met Arg Val Lys Arg Tyr Leu  
100 105 110

Arg Arg Tyr Gln Lys Asp Arg Arg Thr Arg Leu Val Gly Pro Asn Cys  
115 120 125

Ala Gly Ile Ile Ser Pro Gly Gln Ala Met Leu Gly Ile Met Pro Gly  
130 135 140

His Ile Tyr Lys Glu Gly His Val Gly Ile Val Ser Arg Ser Gly Thr  
145 150 155 160

Leu Gly Tyr Glu Ala Ala Ala Gln Leu Lys Glu Leu Gly Ile Gly Val  
165 170 175

Ser Thr Ser Val Gly Ile Gly Asp Pro Ile Asn Gly Ser Ser Phe  
180 185 190

Leu Asp His Leu Gln Leu Phe Glu Ala Asp Pro Glu Thr His Ala Val

195

200

205

Leu Met Ile Gly Glu Ile Gly Gly Pro Gln Glu Ala Ala Ala Lys  
 210 215 220

Trp Ile Ser Glu Asn Met Ser Lys Pro Val Val Gly Tyr Val Ala Gly  
 225 230 235 240

Leu Thr Ala Pro Lys Gly Arg Arg Met Gly His Ala Gly Ala Ile Ile  
 245 250 255

Ser Gly Glu Gly Asp Ser Ala Ala Glu Lys Ser Glu Ile Met Arg Ser  
 260 265 270

Tyr Gly Leu Thr Val Ala Pro Ser Pro Gly Glu Leu Gly Ser Thr Val  
 275 280 285

Ala Ala Val Leu Ala Gly Arg Gln Ala Ala  
 290 295

&lt;210&gt; 108

&lt;211&gt; 389

&lt;212&gt; PRT

&lt;213&gt; Granulibacter bethesdensis

&lt;400&gt; 108

Met Asp Val His Glu Tyr Gln Ala Lys Glu Leu Leu Ala Ser Ala Gly  
 1 5 10 15

Val Ala Val Pro Arg Gly Ala Ile Ala Phe Ser Ala Asp Gln Ala Val  
 20 25 30

Tyr Ala Ala Thr Glu Leu Gly Gly Trp His Trp Ala Val Lys Ala Gln  
 35 40 45

Ile His Ala Gly Ala Arg Gly Lys Ala Gly Gly Ile Lys Leu Cys Lys  
 50 55 60

Thr Tyr His Glu Val Arg Glu Ala Ala Gly Met Leu Gly Lys Arg  
 65 70 75 80

Leu Val Thr His Gln Thr Gly Pro Glu Gly Lys Pro Val Gln Arg Val  
 85 90 95

Tyr Val Glu Val Ala Asp Pro Phe Glu Lys Glu Phe Tyr Leu Gly Phe  
 100 105 110

Val Leu Asp Arg Lys Leu Glu Arg Val Arg Val Ile Ala Ser Ala Glu  
 115 120 125

Gly Gly Met Glu Ile Glu Glu Ile Ala Ser Lys His Pro Glu Lys Leu  
 130 135 140

Ile Gln Val Ile Val Glu Pro Ala Val Gly Leu Gln Gln Phe Gln Ala  
 145 150 155 160

Arg Gln Ile Ala Phe Lys Leu Gly Leu Ser Ser Arg Gln Val Gln Arg  
 165 170 175

Ala Val Thr Ser Ile Met Gly Ala Tyr Arg Ala Phe Arg Asp His Asp  
 180 185 190

Ala Thr Met Leu Glu Ile Asn Pro Leu Val Leu Thr Lys Asp Asp Arg  
 195 200 205

Ile Leu Ala Leu Asp Ala Lys Met Ser Phe Asp Asp Asn Ala Leu Phe  
 210 215 220

Arg Arg Asn Asn Val Ala Asn Met His Asp Pro Ser Gln Asp Asp Pro  
 225 230 235 240

Arg Glu Ala Gln Ala Ala Glu His Asn Leu Asn Tyr Val Gly Leu Glu  
 245 250 255

Gly Asp Ile Gly Cys Val Val Asn Gly Ala Gly Leu Ala Met Ala Thr  
 260 265 270

Met Asp Val Ile Lys Tyr Ala Gly Gly Glu Pro Ala Asn Phe Leu Asp  
 275 280 285

Val Gly Gly Ala Ser Pro Glu Arg Thr Ala Thr Ala Phe Arg Leu  
 290 295 300

Val Leu Ser Asp Lys Asn Val Lys Val Val Leu Val Asn Ile Phe Ala  
 305 310 315 320

Gly Ile Asn Arg Cys Asp Trp Ile Ala Glu Gly Val Val His Ala Val  
 325 330 335

Lys Glu Val Asp Leu Lys Leu Pro Leu Val Val Arg Leu Ala Gly Thr  
 340 345 350

Asn Val Glu Glu Gly Arg Arg Ile Leu Lys Glu Ser Gly Ile Ser Val  
 355 360 365

Ile Met Ala Glu Ser Leu Thr Glu Ala Ala Glu Lys Ala Val Glu Ala  
 370 375 380

Ala Lys Ala Ala Ala  
 385

<210> 109  
 <211> 320  
 <212> PRT  
 <213> Hyphomicrobium denitrificans

<400> 109

Met Ser Tyr Thr Leu Tyr Pro Asn Arg Lys Gln Arg Leu Gln Arg Ser  
 1 5 10 15

Tyr Leu Ala Val Pro Gly Ser Asn Pro Thr Met Ile Asp Arg Ala Leu  
 20 25 30

Lys Ser Ala Ala Asp Tyr Val Phe Leu Asp Cys Glu Asp Ala Val Ala  
 35 40 45

Pro Pro Glu Lys Glu Gln Ala Arg Lys Asn Ile Ile Gln Ala Leu Asn  
 50 55 60

Asp Leu Asp Trp Lys Gly Ala Gly Lys Ser Val Ser Val Arg Ile Asn  
 65 70 75 80

Gly Leu Asp Thr His Tyr Cys Tyr Arg Asp Val Val Asp Ile Val Glu  
 85 90 95

Gln Ala Gly Ala Lys Leu Asp Thr Ile Leu Ile Pro Lys Val Gly Val  
 100 105 110

Pro Ala Asp Val Tyr Ala Ile Glu Ser Phe Val Ser Gln Ile Glu Val  
 115 120 125

Ala Lys Gly Leu Pro His Gln Ile Gly Met Glu Ala Leu Ile Glu Thr  
 130 135 140

Pro Leu Gly Met Ala Asn Val Glu Ala Ile Ala Ser Ala Asn Ser Arg  
 145 150 155 160

Leu Glu Ser Met His Phe Gly Val Ala Asp Tyr Ser Ala Phe Asn Lys  
 165 170 175

Ala Arg Thr Val Val Ile Gly Gly Leu Asn Pro Asp Tyr Pro Gly Asp  
 180 185 190

Gln Trp His Phe Pro Leu Ser Arg Met Thr Val Ala Cys Arg Ala Phe  
 195 200 205

Gly Leu Arg Pro Ile Asp Gly Pro Phe Gly Gly Ile Asp Asp Pro Glu  
 210 215 220

Gly Tyr Lys Ala Ala Ala Arg Arg Gly Ala Ala Leu Gly Met Glu Gly  
 225 230 235 240

Lys Trp Ala Ile His Pro Ser Gln Ile Glu Leu Ala Asn Glu Ile Tyr  
 245 250 255

Ser Pro Thr Ala Lys Glu Ile Glu Arg Ala Glu Arg Ile Leu Val Ala  
 260 265 270

Leu Lys Glu Ala Glu Ala Gln Gly Lys Gly Ala Ala Ser Leu Asp Gly  
 275 280 285

Lys Met Ile Asp Ala Ala Ser Glu Lys Met Ala Lys Asn Leu Leu Val  
 290 295 300

Thr Ala Ala Ala Ile Lys Ala Gly Glu Glu Ala Arg Ala Lys Ser Lys  
 305 310 315 320

<210> 110  
 <211> 299  
 <212> PRT  
 <213> Hyphomicrobium denitrificans  
 <400> 110

Met Ala Ile Phe Ile Asn Glu Lys Thr Pro Ile Leu Ile Gln Gly Phe  
 1 5 10 15

Thr Gly Arg Ile Gly Thr Phe His Ala Gln Glu Met Ile Asp Tyr Gly  
 20 25 30

Ser Asn Val Val Gly Gly Val Thr Pro Gly Lys Gly Gly Thr Ser His  
 35 40 45

Leu Gly Arg Pro Val Phe Asn Thr Val Lys Gly Ala Val Asp Glu Thr  
 50 55 60

Gly Ala Glu Ala Ser Ile Val Phe Val Pro Pro Pro Phe Ala Ala Asp  
 65 70 75 80

Ala Ile Met Glu Ala Ala Asp Ala Gly Ile Lys Tyr Cys Val Cys Ile  
 85 90 95

Thr Asp Gly Ile Pro Ala Gln Asp Met Ile Arg Val Lys Arg Tyr Met  
 100 105 110

Arg Arg Tyr Lys Lys Glu Ala Arg Met Ile Leu Thr Gly Pro Asn Cys  
 115 120 125

Ala Gly Thr Ile Ser Pro Gly Lys Ala Met Leu Gly Ile Met Pro Gly  
 130 135 140

His Ile Tyr Leu Pro Gly Arg Val Gly Ile Val Gly Arg Ser Gly Thr  
 145 150 155 160

Leu Gly Tyr Glu Ala Ala Ala Gln Leu Lys Ala Leu Gly Ile Gly Val  
 165 170 175

Ser Thr Ser Val Gly Ile Gly Gly Asp Pro Ile Asn Gly Ser Ser His  
 180 185 190

Arg Asp Val Leu Glu His Phe Glu Asn Asp Pro Glu Thr Asp Ala Ile  
 195 200 205

Leu Met Ile Gly Glu Ile Gly Gly Pro Gln Glu Ala Glu Ala Gly Leu  
 210 215 220

Phe Ala Lys Glu His Met Lys Lys Pro Val Ile Ala Tyr Ile Ala Gly  
 225 230 235 240

Leu Ser Ala Pro Lys Gly Arg Arg Met Gly His Ala Gly Ala Ile Val  
 245 250 255

Ser Ala Phe Gly Glu Ser Ala Ala Glu Lys Val Glu Ile Leu Lys Gly  
 260 265 270

Cys Gly Val Ala Ile Ala Pro Thr Pro Ser Glu Met Gly Ser Thr Val  
 275 280 285

Ala Gln Val Leu Gly Lys Gln Lys Lys Val Ala  
 290                            295

<210> 111  
 <211> 387  
 <212> PRT  
 <213> Hyphomicrobium denitrificans

<400> 111

Met Asp Ile His Glu Tyr Gln Ala Lys Glu Leu Leu Ala Lys Phe Gly  
 1                            5                            10                            15

Val Pro Ile Ala Arg Gly Gly Leu Ala Tyr Ser Pro Glu Gln Ala Thr  
 20                            25                            30

Tyr Arg Ala Ser Glu Leu Gly Gly Thr Val Val Val Lys Ala Gln Ile  
 35                            40                            45

His Ser Gly Ala Arg Gly Lys Ala Gly Gly Val Lys Val Cys Lys Thr  
 50                            55                            60

Glu Lys Glu Ile Glu Asp Ala Ala Glu Phe Met Leu Gly Arg Lys Leu  
 65                            70                            75                            80

Val Thr His Gln Thr Gly Ser Ala Gly Lys Leu Val Ser Arg Leu Tyr  
 85                            90                            95

Ile Glu Glu Ala Thr Asn Ile Asp Arg Glu Ile Tyr Leu Gly Phe Val  
 100                            105                            110

Met Asp Arg Ala Ser Glu Arg Ile Val Val Val Ala Ser Ala Ala Gly  
 115                            120                            125

Gly Met Asp Ile Glu Glu Ile Ser Ala Ser Gln Pro Asp Thr Ile Ile  
 130                            135                            140

Arg Val Ala Val Asp Pro Ala Val Gly Met Gln Gln Phe Gln Ala Arg  
 145                            150                            155                            160

Glu Leu Ala Phe Gly Leu Gly Val Asp Pro Glu Ile Val Asn Lys Leu  
 165                            170                            175

Val Pro Ala Ile Met Gly Cys Tyr Arg Ala Phe Arg Asp Leu Asp Ala  
 180                            185                            190

Met Met Val Glu Ile Asn Pro Leu Val Ile Thr Lys Glu Lys Gln Val

195

200

205

Val Ala Leu Asp Ala Lys Met Ser Phe Asp Asp Asn Ala Leu Phe Arg  
 210 215 220

Arg Pro His Ile Ala Glu Leu Arg Asp Lys Ser Gln Glu Asp Pro Arg  
 225 230 235 240

Glu Thr Tyr Ala Ser Asp Arg Gly Leu Ser Tyr Val Gly Leu Asp Gly  
 245 250 255

Asp Ile Gly Cys Ile Val Asn Gly Ala Gly Leu Ala Met Ala Thr Leu  
 260 265 270

Asp Met Ile Lys Leu Ala Gly Gly Glu Pro Ala Asn Phe Leu Asp Ile  
 275 280 285

Gly Gly Gly Ala Ser Pro Glu Arg Val Thr Lys Ser Phe Lys Ala Val  
 290 295 300

Leu Arg Asp Lys Asn Val Lys Ala Ile Leu Val Asn Val Phe Ala Gly  
 305 310 315 320

Ile Asn Arg Cys Asp Trp Val Ala Lys Gly Val Val Asp Ala Val Lys  
 325 330 335

Glu Leu Asp Ile Lys Leu Pro Ile Val Val Arg Leu Ala Gly Thr Asn  
 340 345 350

Val Glu Glu Gly Arg Lys Ile Ile Asp Asn Ser Gly Leu Thr Val Ile  
 355 360 365

Ser Ala Glu Thr Leu Ala Asp Ala Ala Lys Gln Ala Val Glu Ala Ala  
 370 375 380

Lys Lys Ala  
 385

<210> 112  
 <211> 316  
 <212> PRT  
 <213> Nitrosomonas europaea

<400> 112

Met Ser His Thr Leu Tyr Glu Thr Lys Thr Pro Arg Val Gln Arg Cys  
 1 5 10 15

Glu Leu Ala Val Pro Gly Ser Arg Pro Glu Met Phe Glu Lys Ala Leu  
 20 25 30

Lys Ser Gly Val Asp Phe Ile Phe Leu Asp Leu Glu Asp Ala Val Ala  
 35 40 45

Pro Asp Asp Lys Ile Gln Ala Arg Lys Asn Ile Ile Gln Ala Ile Asn  
 50 55 60

Asp Leu Asp Trp Lys Ser His Gly Val Thr Leu Ser Val Arg Ile Asn  
 65 70 75 80

Gly Leu Asp Thr Gln Tyr Met Val Arg Asp Val Val Asp Leu Val Glu  
 85 90 95

Gln Ala Gly His Lys Ile Asp Thr Leu Leu Ile Pro Lys Val Gly Val  
 100 105 110

Tyr Ala Asp Val Tyr Met Val Glu Ala Met Leu Ser Gln Leu Glu Met  
 115 120 125

Gln Gln Gly Leu Lys Asn Arg Ile Gly Val Glu Ala Leu Ile Glu Thr  
 130 135 140

Ala Leu Gly Met Ala Asn Val Glu Asp Ile Ala Arg Arg Gly Thr Ala  
 145 150 155 160

Gly Arg Leu Glu Ala Leu His Phe Gly Val Ala Asp Tyr Ala Ala Ser  
 165 170 175

Asn Arg Ala Arg Thr Thr Asn Ile Gly Gly Leu Asn Pro Asp Tyr Pro  
 180 185 190

Gly Asp Gln Trp His Ala Ala Ile Ser Arg Met Thr Val Ala Cys Arg  
 195 200 205

Ala Phe Gly Leu Arg Pro Ile Asp Gly Pro Phe Gly Asp Ile Gln Asp  
 210 215 220

Pro Glu Gly Tyr Lys Gln Ala Ala Arg Arg Ala Ala Ala Leu Gly Cys  
 225 230 235 240

Glu Gly Lys Trp Ala Ile His Pro Thr Gln Ile Ala Leu Ala Asn Glu  
 245 250 255

Val Phe Thr Pro Pro Thr Ala Glu Val Asp Lys Ala Lys Arg Ile Leu  
 260 265 270

Thr Ala Leu Lys Glu Ala Ala Gln Gly Lys Gly Ala Ala Ser Leu  
 275 280 285

Asp Gly Arg Leu Ile Asp Ala Ala Ser Glu Arg Met Ala Asn Asn Ile  
 290 295 300

Val Lys Met Ala Glu Ala Ile Ala Ala Lys Ser Lys  
 305 310 315

<210> 113

<211> 295

<212> PRT

<213> Nitrosomonas europaea

<400> 113

Met Ala Ile Leu Ile Asn Glu Gln Thr Arg Ile Ile Val Gln Gly Phe  
 1 5 10 15

Thr Gly Arg Ile Gly Thr Phe His Ala Gln Glu Met Ile Asp Tyr Gly  
 20 25 30

Ser Asn Val Val Gly Gly Val Thr Pro Gly Lys Gly Gln Lys His  
 35 40 45

Leu Gly Leu Pro Val Phe Asn Thr Val Arg Glu Ala Val Glu Gln Ala  
 50 55 60

Gly Ala Glu Ala Ser Ile Val Phe Val Pro Pro Ala Phe Ala Ala Asp  
 65 70 75 80

Ser Ile Met Glu Ala Ala Asp Ala Gly Ile Lys Tyr Cys Val Ser Ile  
 85 90 95

Thr Asp Gly Ile Pro Thr Gln Asp Met Met Thr Val Lys Asn Phe Leu  
 100 105 110

Arg Leu Phe Pro Glu Glu Asp Arg Met Met Leu Thr Gly Pro Asn Cys  
 115 120 125

Ser Gly Thr Ile Ser Pro Gly Arg Ala Met Leu Gly Ile Met Pro Gly  
 130 135 140

His Ile Tyr Ser Arg Gly Val Val Gly Val Val Gly Arg Ser Gly Thr  
 145 150 155 160

Leu Gly Tyr Glu Ala Ala Asp Gln Met Arg Arg Leu Asn Ile Gly Ile  
 165 170 175

Ser Thr Ser Val Gly Ile Gly Gly Asp Pro Ile Ile Gly Ser Ser His  
 180 185 190

Arg Asn Val Leu Gln Lys Leu Glu Glu Asp Pro Glu Thr Lys Val Thr  
 195 200 205

Leu Met Ile Gly Glu Ile Gly Gly Pro Met Glu Val Glu Ala Gly Leu  
 210 215 220

Phe Ala Lys Glu Asn Met Ser Lys Pro Leu Val Ala Tyr Ile Ala Gly  
 225 230 235 240

Leu Thr Ala Pro Pro Gly Arg Arg Met Gly His Ala Gly Ala Ile Ile  
 245 250 255

Ser Ser Ala Gly Glu Ser Ala Ala Glu Lys Val Glu Arg Leu Lys Glu  
 260 265 270

Leu Gly Val Thr Ile Cys Pro Thr Pro Ser Leu Met Gly Glu Thr Val  
 275 280 285

Ala Lys Val Leu Ala Gly Leu  
 290 295

<210> 114

<211> 390

<212> PRT

<213> Nitrosomonas europaea

<400> 114

Met Asp Ile His Glu Tyr Gln Ala Lys Glu Ile Leu Ala Glu Tyr Gly  
 1 5 10 15

Ile Lys Leu Ala Glu Gly Leu Ala His Thr Val Glu Glu Ala Val  
 20 25 30

Gln Arg Ser Arg Glu Ile Asp Gly Asn Val Trp Val Val Lys Ala Gln  
 35 40 45

Ile His Ser Gly Ala Arg Gly Lys Ala Gly Gly Val Lys Val Cys Arg  
 50 55 60

Thr His Glu Glu Ile Glu Val Ala Ala Glu Ser Leu Leu Gly Lys Lys  
 65 70 75 80

Leu Val Thr His Gln Thr Gly Pro Ala Gly Lys Leu Cys Ser Arg Leu  
 85 90 95

Tyr Ile Glu Ala Gly Thr Glu Ile Ala Arg Glu Val Tyr Leu Ala Phe  
 100 105 110

Met Ile Asp Arg Ser His Glu Arg Ile Val Met Val Gly Ser Ala Gln  
 115 120 125

Gly Gly Met Asp Ile Glu Thr Leu Ala Ala Thr Asn Pro Asp Ala Ile  
 130 135 140

Lys Lys Ile His Ile Glu Pro Ala Val Gly Leu Gln Asp Phe Gln Ala  
 145 150 155 160

Arg Thr Met Ala Phe Ala Leu Gly Leu Glu Asp Val Leu Leu Asn His  
 165 170 175

Ala Val Lys Thr Ile Arg Gly Cys Tyr Arg Ala Met Arg Asp Leu Asp  
 180 185 190

Ala Asn Ile Leu Glu Ile Asn Pro Leu Val Val Thr Arg Asn Asn Glu  
 195 200 205

Leu Ile Ala Leu Asp Ala Lys Met Ser Phe Asp Glu Asn Ala Leu Phe  
 210 215 220

Arg Arg His Arg Ile Ser Glu Leu Arg Asp Asn Ser Gln Ile Asp Ser  
 225 230 235 240

Arg Glu Ile Ala Ala Ala Glu Ala Gly Leu Ser Tyr Val Gly Leu Asp  
 245 250 255

Gly Asp Ile Gly Cys Met Ile Asn Gly Ala Gly Leu Ala Met Ala Thr  
 260 265 270

Met Asp Met Ile Lys Leu Ala Gly Gly Glu Pro Ala Asn Phe Leu Asp  
 275 280 285

Val Gly Gly Ala Ser Ala Glu Arg Thr Glu Lys Ala Phe Arg Leu  
 290 295 300

Val Leu Ala Asp Asn Asn Val Lys Ala Met Leu Val Asn Ile Phe Ala  
 305 310 315 320

Gly Ile Asn Arg Cys Asp Trp Ile Ala Glu Gly Val Val Gln Ala Val  
 325 330 335

Arg Asn Ile Gly Met Thr Val Pro Leu Val Val Arg Leu Ser Gly Thr  
 340 345 350

Asn Val Glu Glu Gly Arg Arg Ile Ile Ala Asp Ser Gly Leu Pro Ile  
 355 360 365

Ile Thr Ala Glu Thr Leu Ala Asp Ala Ala Glu Lys Val Val His Ala  
 370 375 380

Arg Asn Gln Ala Ala Val  
 385 390

<210> 115  
 <211> 320  
 <212> PRT  
 <213> Methylococcus capsulatus

<400> 115

Met Ala Val Lys Asn Arg Leu His Arg Ser Glu Leu Ala Val Pro Gly  
 1 5 10 15

Ser Asn Pro Arg Met Leu Glu Lys Ala Pro Glu Ala Gly Ala Asp Ile  
 20 25 30

Val Phe Leu Asp Leu Glu Asp Ala Val Ala Pro Asp Asp Lys Glu Gln  
 35 40 45

Ala Arg Arg Asn Ile Val Phe Ala Leu Asn Thr Tyr Asp Trp Ser Arg  
 50 55 60

Cys Ala Val Ser Val Arg Ile Asn Gly Leu Asp Thr His Tyr Ala Tyr  
 65 70 75 80

Arg Asp Leu Val Glu Ile Val Glu Ser Cys Gly Asp Lys Leu Asp Thr  
 85 90 95

Ile Leu Val Pro Lys Val Gly Ser Ala Ser Asp Val Leu Phe Val Ala

	100	105	110
Thr Leu Leu Ser Gln Ile Glu Ala Tyr Lys Gly Phe Lys Pro Ile Asn			
115	120	125	
Ile His Val Leu Ile Glu Thr Ala Met Gly Met Ala Asn Val Glu Glu			
130	135	140	
Ile Ala Arg Thr Cys Pro Glu Arg Met Glu Ala Met Val Phe Gly Val			
145	150	155	160
Ala Asp Tyr Ala Ala Ser Val Arg Ala Arg Thr Thr Asn Ile Gly Gly			
165	170	175	
Ala Asn Pro Asp Tyr Gly Met Leu Thr Asp Pro Asp Glu Ser Gly Thr			
180	185	190	
Arg Ala Tyr His Trp Ala Asp Gln Trp His Phe Gly Ile Ser Arg Met			
195	200	205	
Val Ala Ala Cys Arg Ala Tyr Gly Leu Arg Pro Ile Asp Gly Pro Phe			
210	215	220	
Gly Asp Phe Ser Asp Pro Glu Gly Phe Arg Ala Ala Ala Arg Arg Ala			
225	230	235	240
Ala Ala Leu Gly Cys Glu Gly Lys Trp Ala Ile His Pro Ser Gln Ile			
245	250	255	
Pro Leu Cys Asn Glu Ile Phe Thr Pro Thr Glu Lys Glu Val Thr Arg			
260	265	270	
Ala Tyr Arg Ile Leu Glu Ala Met Glu Gln Ala Ala Lys Glu Gly Lys			
275	280	285	
Gly Ala Val Ser Leu Asp Gly Arg Leu Ile Asp Ala Ala Ser Ile Arg			
290	295	300	
Met Ala Glu Asn Val Val Arg Gln Met Lys Gln Ile Glu Ser Arg Arg			
305	310	315	320

<210> 116  
<211> 300  
<212> PRT  
<213> Methylococcus capsulatus

&lt;400&gt; 116

Met Ser Val Phe Val Asn Lys His Ser Lys Val Ile Phe Gln Gly Phe  
 1 5 10 15

Thr Gly Glu His Ala Thr Phe His Ala Lys Asp Ala Met Arg Met Gly  
 20 25 30

Thr Arg Val Val Gly Gly Val Thr Pro Gly Lys Gly Thr Arg His  
 35 40 45

Pro Asp Pro Glu Leu Ala His Leu Pro Val Phe Asp Thr Val Ala Glu  
 50 55 60

Ala Val Ala Ala Thr Gly Ala Asp Val Ser Ala Val Phe Val Pro Pro  
 65 70 75 80

Pro Phe Asn Ala Asp Ala Leu Met Glu Ala Ile Asp Ala Gly Ile Arg  
 85 90 95

Val Ala Val Thr Ile Ala Asp Gly Ile Pro Val His Asp Met Ile Arg  
 100 105 110

Leu Gln Arg Tyr Arg Val Gly Lys Asp Ser Ile Val Ile Gly Pro Asn  
 115 120 125

Thr Pro Gly Ile Ile Thr Pro Gly Glu Cys Lys Val Gly Ile Met Pro  
 130 135 140

Ser His Ile Tyr Lys Lys Gly Asn Val Gly Ile Val Ser Arg Ser Gly  
 145 150 155 160

Thr Leu Asn Tyr Glu Ala Thr Glu Gln Met Ala Ala Leu Gly Leu Gly  
 165 170 175

Ile Thr Thr Ser Val Gly Ile Gly Asp Pro Ile Asn Gly Thr Asp  
 180 185 190

Phe Val Thr Val Leu Arg Ala Phe Glu Ala Asp Pro Glu Thr Glu Ile  
 195 200 205

Val Val Met Ile Gly Glu Ile Gly Gly Pro Gln Glu Val Ala Ala Ala  
 210 215 220

Arg Trp Ala Lys Glu Asn Met Thr Lys Pro Val Ile Gly Phe Val Ala  
 225 230 235 240

Gly Leu Ala Ala Pro Thr Gly Arg Arg Met Gly His Ala Gly Ala Ile  
 245 250 255

Ile Ser Ser Glu Ala Asp Thr Ala Gly Ala Lys Met Asp Ala Met Glu  
 260 265 270

Ala Leu Gly Leu Tyr Val Ala Arg Asn Pro Ala Gln Ile Gly Gln Thr  
 275 280 285

Val Leu Arg Ala Ala Gln Glu His Gly Ile Arg Phe  
 290 295 300

<210> 117

<211> 389

<212> PRT

<213> Methylococcus capsulatus

<400> 117

Met Asn Ile His Glu Tyr Gln Ala Lys Glu Leu Leu Lys Thr Tyr Gly  
 1 5 10 15

Val Pro Val Pro Asp Gly Ala Val Ala Tyr Ser Asp Ala Gln Ala Ala  
 20 25 30

Ser Val Ala Glu Glu Ile Gly Gly Ser Arg Trp Val Val Lys Ala Gln  
 35 40 45

Ile His Ala Gly Gly Arg Gly Lys Ala Gly Gly Val Lys Val Ala His  
 50 55 60

Ser Ile Glu Glu Val Arg Gln Tyr Ala Asp Ala Met Leu Gly Ser His  
 65 70 75 80

Leu Val Thr His Gln Thr Gly Pro Gly Gly Ser Leu Val Gln Arg Leu  
 85 90 95

Trp Val Glu Gln Ala Ser His Ile Lys Lys Glu Tyr Tyr Leu Gly Phe  
 100 105 110

Val Ile Asp Arg Gly Asn Gln Arg Ile Thr Leu Ile Ala Ser Ser Glu  
 115 120 125

Gly Gly Met Glu Ile Glu Glu Val Ala Lys Glu Thr Pro Glu Lys Ile  
 130 135 140

Val Lys Glu Val Val Asp Pro Ala Ile Gly Leu Leu Asp Phe Gln Cys  
 145 150 155 160

Arg Lys Val Ala Thr Ala Ile Gly Leu Lys Gly Lys Leu Met Pro Gln  
 165 170 175

Ala Val Arg Leu Met Lys Ala Ile Tyr Arg Cys Met Arg Asp Lys Asp  
 180 185 190

Ala Leu Gln Ala Glu Ile Asn Pro Leu Ala Ile Val Gly Glu Ser Asp  
 195 200 205

Glu Ser Leu Met Val Leu Asp Ala Lys Phe Asn Phe Asp Asp Asn Ala  
 210 215 220

Leu Tyr Arg Gln Arg Thr Ile Thr Glu Met Arg Asp Leu Ala Glu Glu  
 225 230 235 240

Asp Pro Lys Glu Val Glu Ala Ser Gly His Gly Leu Asn Tyr Ile Ala  
 245 250 255

Leu Asp Gly Asn Ile Gly Cys Ile Val Asn Gly Ala Gly Leu Ala Met  
 260 265 270

Ala Ser Leu Asp Ala Ile Thr Leu His Gly Arg Pro Ala Asn Phe  
 275 280 285

Leu Asp Val Gly Gly Ala Ser Pro Glu Lys Val Thr Asn Ala Cys  
 290 295 300

Arg Ile Val Leu Glu Asp Pro Asn Val Arg Cys Ile Leu Val Asn Ile  
 305 310 315 320

Phe Ala Gly Ile Asn Arg Cys Asp Trp Ile Ala Lys Gly Leu Ile Gln  
 325 330 335

Ala Cys Asp Ser Leu Gln Ile Lys Val Pro Leu Ile Val Arg Leu Ala  
 340 345 350

Gly Thr Asn Val Asp Glu Gly Arg Lys Ile Leu Ala Glu Ser Gly Leu  
 355 360 365

Ser Phe Ile Thr Ala Glu Asn Leu Asp Asp Ala Ala Ala Lys Ala Val  
 370 375 380

Ala Ile Val Lys Gly  
385

<210> 118  
<211> 298  
<212> PRT  
<213> Uncultured gamma proteobacterium

<400> 118

Met Ser Ile Phe Val Asn Arg His Ser Arg Val Ile Ile Gln Gly Phe  
1 5 10 15

Thr Gly Gln His Ala Thr Phe His Ala Ser Glu Ala Ile Arg Tyr Gly  
20 25 30

Thr Gln Val Val Gly Gly Val Thr Pro Gly Lys Gly Ser Lys His  
35 40 45

Leu Gly Leu Pro Val Phe Asp Thr Val Ser Glu Ala Val Ser Glu Thr  
50 55 60

Gly Ala Asp Val Ser Gly Ile Phe Val Pro Pro Ala Phe Ala Ala Asp  
65 70 75 80

Ala Ile Met Glu Ala Ile Glu Ala Gly Ile Arg Val Ile Val Val Ile  
85 90 95

Ala Asp Gly Ile Pro Val Gln Asp Met Ile Arg Val Gln Arg Tyr Arg  
100 105 110

Leu Gly Arg Asp Cys Leu Val Leu Gly Pro Asn Thr Pro Gly Ile Ile  
115 120 125

Thr Pro Gly Glu Cys Lys Val Gly Ile Met Pro Ala Gly Ile Tyr Arg  
130 135 140

Pro Gly Arg Ile Gly Val Val Ser Arg Ser Gly Thr Leu Asn Tyr Glu  
145 150 155 160

Ala Val Glu Gln Leu Gly Lys Leu Gly Leu Gly Gln Ser Thr Ala Val  
165 170 175

Gly Ile Gly Gly Asp Pro Val Asn Gly Thr Asp Phe Val Thr Val Leu  
180 185 190

Lys Ala Phe Glu Gln Asp Pro Asp Thr Asp Ala Ile Val Met Ile Gly  
 195 200 205

Glu Ile Gly Gly Pro Gln Glu Val Ala Ala Ala Arg Trp Ala Lys Glu  
 210 215 220

Asn Met Gln Lys Pro Leu Ile Gly Phe Val Ala Gly Ala Ser Ala Pro  
 225 230 235 240

Pro Gly Arg Arg Met Gly His Ala Gly Ala Ile Ile Glu Gly Glu Glu  
 245 250 255

Asp Thr Ala Lys Ala Lys Met Asp Ala Met Glu Glu Leu Gly Val Tyr  
 260 265 270

Val Val Arg Asn Pro Ala Arg Ile Gly Glu Thr Val Leu Arg Ala Leu  
 275 280 285

Lys Glu Arg Leu Gly Ser Ala Val Ser Gly  
 290 295

<210> 119  
 <211> 392  
 <212> PRT  
 <213> Uncultured gamma proteobacterium

<400> 119  
 Met Asn Ile His Glu Tyr Gln Ala Lys Glu Leu Leu Arg Ser Tyr Gly  
 1 5 10 15

Val Pro Val Pro Ala Gly Asn Val Ala Tyr Ser Asp Arg Gln Ala Gln  
 20 25 30

Ala Val Ala Glu Gln Ile Gly Gly Asp Gly Trp Val Val Lys Ala Gln  
 35 40 45

Ile His Thr Gly Gly Arg Gly Lys Ala Gly Gly Val Lys Leu Ala Gln  
 50 55 60

Ser Leu Glu Glu Val Arg Lys Ile Ala Asp Glu Met Ile Gly Lys Thr  
 65 70 75 80

Leu Val Thr Pro Gln Thr Gly Pro Lys Gly Lys Val Val Arg Arg Val  
 85 90 95

Leu Val Glu Glu Ala Val Ser Pro Gln Arg Glu Leu Tyr Leu Gly Leu

100	105	110
Val Ile Asp Arg Arg Ser Gln Arg Ile Thr Ile Val Ala Ser Ala Glu		
115	120	125
Gly Gly Val Glu Ile Glu Glu Val Ala Ala Arg Ser Pro Glu Lys Ile		
130	135	140
Val Arg Glu Ala Ile Asp Pro Ala Ile Gly Leu Arg Asp Phe Gln Cys		
145	150	155
Arg Lys Val Ala Ala Ala Ile Gly Leu Arg Asp Lys His Leu Met Ala		
165	170	175
Gln Ala Val Arg Leu Met Gln Arg Ile Tyr Arg Leu Phe Arg Asp Lys		
180	185	190
Asp Ala Leu Gln Val Glu Ile Asn Pro Leu Gly Ile Val Gly Ser Glu		
195	200	205
Pro Lys Leu Val Cys Leu Asp Ala Lys Phe Asn Phe Asp Pro Asn Ala		
210	215	220
Leu Phe Arg His Pro Glu Ile Asn Glu Leu Arg Asp Leu Glu Glu Glu		
225	230	235
Asp Pro Arg Glu Val Glu Ala Leu Gly His Gly Leu Asn Tyr Ile Ala		
245	250	255
Leu Asp Gly Asp Ile Gly Cys Ile Val Asn Gly Ala Gly Leu Ala Met		
260	265	270
Ala Thr Met Asp Ala Ile Val Phe His Gly Gly Trp Pro Ala Asn Phe		
275	280	285
Leu Asp Ile Gly Gly Ala Ser Pro Glu Lys Val Gln Asn Ala Cys		
290	295	300
Arg Ile Val Ile Gln Asp Gln Asn Val Lys Thr Leu Leu Val Asn Ile		
305	310	315
Phe Ala Gly Ile Asn Arg Cys Asp Trp Ile Ala Thr Gly Leu Val Gln		
325	330	335
Ala Tyr Thr Ser Leu Arg Ile Asp Lys Pro Cys Val Val Arg Leu Ala		



<400> 123		
gaccagctgc agtcaggcca gtttatggtt agccattaat tccagc		46
<210> 124		
<211> 69		
<212> ADN		
<213> Nhân tạo		
<220>		
<223> đoạn mồi		
<400> 124		
acacaactgc agacaaaaag gataaaacaa tgaagattgt cattgcgccca gactcttta		60
aagagagct		69
<210> 125		
<211> 50		
<212> ADN		
<213> Nhân tạo		
<220>		
<223> đoạn mồi		
<400> 125		
cccccaagc tttagttt taattccctg acctatttta atggcgagg		50
<210> 126		
<211> 62		
<212> ADN		
<213> Nhân tạo		
<220>		
<223> đoạn mồi		
<400> 126		
aagaactcta gaacaaaaag gataaaacaa tggcaaaaat gagagccgtt gacgcggcaa		60
tg		62
<210> 127		
<211> 50		
<212> ADN		
<213> Nhân tạo		
<220>		
<223> đoạn mồi		
<400> 127		
cccccaagc tttagttt taattccctg acctatttta atggcgagg		50
<210> 128		
<211> 58		
<212> ADN		

<213> Nhân tạo

<220>

<223> đoạn mồi

<400> 128  
gactctagag gatccccggg atgacagact cggttatcaa cagtgaatta cttttcag 58

<210> 129

<211> 50

<212> ADN

<213> Nhân tạo

<220>

<223> đoạn mồi

<400> 129  
gacgggacgg cggctttgtt ggcttccgcg ttatgaaaaa agtagagagc 50

<210> 130

<211> 49

<212> ADN

<213> Nhân tạo

<220>

<223> đoạn mồi

<400> 130  
ttgagacaca acgtggctt cccagcaagg acagcgcgac caatgaatg 49

<210> 131

<211> 53

<212> ADN

<213> Nhân tạo

<220>

<223> đoạn mồi

<400> 131  
atgaccatga ttacgaattc tcagggaaagc aggccgttagc ctggcagagt cag 53

<210> 132

<211> 48

<212> ADN

<213> Nhân tạo

<220>

<223> đoạn mồi

<400> 132  
tttttcataa cgcgaaagcc aacaaagccg ccgtcccgta aagtcagc 48

<210> 133

<211> 60

<212> ADN

<213> Nhân tạo		
<220>		
<223> đoạn mồi		
<400> 133 cgcgcgctgt ccttgctggg aaagccacgt tgtgtctcaa aatctctgat gttacattgc	60	
<210> 134		
<211> 43		
<212> ADN		
<213> Nhân tạo		
<220>		
<223> đoạn mồi		
<400> 134 gccggcgaat tccccaaaaag tgccacctga cgtctaagaa acc	43	
<210> 135		
<211> 53		
<212> ADN		
<213> Nhân tạo		
<220>		
<223> đoạn mồi		
<400> 135 atgaccatga ttacgaattc tcagggaaagc aggccgttagc ctggcagagt cag	53	
<210> 136		
<211> 28		
<212> ADN		
<213> Nhân tạo		
<220>		
<223> đoạn mồi		
<400> 136 agtcttagaga tccttttaa cccatcac	28	
<210> 137		
<211> 28		
<212> ADN		
<213> Nhân tạo		
<220>		
<223> đoạn mồi		
<400> 137 agtcttagaaag tcgataaaaca gcaatatt	28	
<210> 138		
<211> 19		
<212> ADN		

<213> Nhân tạo

<220>

<223> đoạn mồi

<400> 138

gcaacgttgg ctctcatct

19

<210> 139

<211> 27

<212> ADN

<213> Nhân tạo

<220>

<223> đoạn mồi

<400> 139

cgggatccaa acacgcggcg gaaaaaca

27

<210> 140

<211> 24

<212> ADN

<213> Nhân tạo

<220>

<223> đoạn mồi

<400> 140

cgggatccgt taacgcaggc tgac

24

<210> 141

<211> 19

<212> ADN

<213> Nhân tạo

<220>

<223> đoạn mồi

<400> 141

gctgctggcg tactggttc

19

<210> 142

<211> 19

<212> ADN

<213> Nhân tạo

<220>

<223> đoạn mồi

<400> 142

ctttacactt tatgcttcc

19

<210> 143

<211> 26

<212> ADN

<213> Nhân tạo

<220>

<223> đoạn mồi

<400> 143

ttgagctcga gaggtctgcc tcgtga

26

<210> 144

<211> 19

<212> ADN

<213> Nhân tạo

<220>

<223> đoạn mồi

<400> 144

tcgccatgat gctgctgtg

19

<210> 145

<211> 27

<212> ADN

<213> Nhân tạo

<220>

<223> đoạn mồi

<400> 145

cgggatccga cttagcgtca tcggttg

27

<210> 146

<211> 28

<212> ADN

<213> Nhân tạo

<220>

<223> đoạn mồi

<400> 146

cgggatccga tgaagattgc taacgacg

28

<210> 147

<211> 20

<212> ADN

<213> Nhân tạo

<220>

<223> đoạn mồi

<400> 147

tgatgccgac aatattacgc

20

<210> 148

<211> 27

<212> ADN

<213> Nhân tạo		
<220>		
<223> đoạn mồi		
<400> 148		27
cgcctcgagt gactcataacc aggcctg		
<210> 149		
<211> 28		
<212> ADN		
<213> Nhân tạo		
<220>		
<223> đoạn mồi		
<400> 149		28
cgcctcgagg caacaccctc ttcacgag		
<210> 150		
<211> 30		
<212> ADN		
<213> Nhân tạo		
<220>		
<223> đoạn mồi		
<400> 150		30
atcatccagc tgtcagggcag ccatcgaaag		
<210> 151		
<211> 18		
<212> ADN		
<213> Nhân tạo		
<220>		
<223> đoạn mồi		
<400> 151		18
atccccggga attctgtt		
<210> 152		
<211> 1352		
<212> ADN		
<213> Corynebacterium casei		
<400> 152		60
cgcctcgagc actggaaggg ttcttcaggg gaaccccccgg aaaccggggaa aacatctgac		
ttggttaaat gtcgtattat gaacacgcccgg aggaatgaaa accgaccgtg cacgctcggt		120
tgagaaaatgc agctacatga gaccaactac ccggccctgag ggacgctttg agcagctgtg		180
gctgccgctg tggccattgg caagcgatga cctccgtgag ggcatttacc gcacccacg		240
gaagaacgacgctg ctggataagc gctacgtcga agccaatccc gacgcgtct ctaacctcct		300

ggtcgttgac atcgaccagg aggacgcgct tttgcgcctt ttgtggaca gggaggactg	360
gagacctaac gcgggtggtg aaaacccctt aaacgggcac gcacacgctg tctggcgct	420
cgcggagcca tttacccgca ccgaatacgc caaacgcaag cctttggcct atgccgcggc	480
tgtcaccgaa ggcctacggc gctctgtcga tggcgatagc ggatactccg ggctgatcac	540
caaaaaacccc gagcacactg catggatag tcactggatc accgataagc tgtatacgct	600
cgatgagctg cgctttggc tcgaagaaac cggcttatg ccgcctgcgt cctggaggaa	660
aacgcggcgg ttctcgccag ttggcttagg tcgtaattgc gcactcttg aaagcgcacg	720
tacgtggca tatcgggagg tcagaagca tttggagac gctgacggcc taggcccgc	780
aatccaaacc accgcgcaag cacttaacca agagctgtt gatgaaccac tacctgtggc	840
cgaagttgac tgtattgcca ggtcaatcca taaatggatc atcaccaagt cacgcacgtg	900
gacagacggc gccgcgtct acgacgccac attcaccgca atgcaatccg cacgcggaa	960
gaaaggctgg caacgaagcg ctgaggtgcg tcgtgaggct ggacatactc tttggaggaa	1020
cattggctaa gtttatgca cgttatccac gcaacggaaa aacagccgc gagctggcag	1080
aacgtgccgg tatgtcggtg agaacagctc aacgatggac ttccgaaccg cgtgaagtgt	1140
tcattaaacg tgccaaacgag aagcgtgctc gcgtccagga gctgcgcgc aaaggtctgt	1200
ccatgcgcgc tatcgcggca gagattggtt gctcggtgg cacggttcac cgctacgtca	1260
aagaagttga agagaagaaa accgcgtaaa tccagcggtt tagtcaccct cggcgtgttc	1320
aaagtccatc gtaaccaagt cagctcgagg cg	1352

&lt;210&gt; 153

&lt;211&gt; 46

&lt;212&gt; ADN

&lt;213&gt; Nhân tạo

&lt;220&gt;

&lt;223&gt; đoạn mồi

&lt;400&gt; 153

ggaattcaca aaaaggataa aacaatggct gtcaagaacc gtctac

46

&lt;210&gt; 154

&lt;211&gt; 31

&lt;212&gt; ADN

&lt;213&gt; Nhân tạo

&lt;220&gt;

&lt;223&gt; đoạn mồi

&lt;400&gt; 154

cgaattctca gaatctgatt ccgtgttcct g

31

<210> 155  
 <211> 53  
 <212> ADN  
 <213> Nhân tạo

<220>  
 <223> đoạn mồi

<400> 155  
 cgagctcaag cttacaaaaa ggataaaaca atgagcacca ttgcattcat cgg 53

<210> 156  
 <211> 28  
 <212> ADN  
 <213> Nhân tạo

<220>  
 <223> đoạn mồi

<400> 156  
 cgggatccct agtccagcag catgagag 28

<210> 157  
 <211> 2727  
 <212> ADN  
 <213> Rhodococcus jostii

<400> 157  
 atgagcacca ttgcattcat cgactcgga atcatggca gccccatggc cggtcatctc 60  
 gccaaaggccg gccaccaggt ggtcggtatac aaccgctcgc ccgagcgcac cgccggcgctc  
 gtcgacgccc ggggcaccgc ggccgactcc atcgccaagg ccgttgccgg cgccgacgtc 120  
 gtggccgtga tggtccccga ctccccggac gtccaggccg tactcgccgg cgaggacgga 180  
 gtcttcgagc acgccccggc cggccctg atcatcgact tctccagcat ccggcccgac 240  
 gtcaccaccc gcctcgccgc gcaggcaacc gagcggggct tccggctgat cgacgccccg 300  
 gtatcggtg gcgaggccgg tgccgtcaac gccgcactgt cgatcatggt cggccggcg 360  
 ccggaggatt tcgaggccgc caagccgatc ctcgacacccg tcggcaagac cgtggtgcac 420  
 gtgggcccga acggttccgg gcagacggtg aaggccgcga accagctgat cgtcgccggc 480  
 aacatccaac tcctcgccga ggcgatcatc ttccctcgagg cctacggtgt cgacacccg 540  
 gctcggtcg aggtgctcg cgccggggctg gccggatcgg ccgtcctgaa ccagaaggca 600  
 cagaagatgc tggaccggtc cttcgaaccg ggattccgca tcgaactgca ccacaaggac 660  
 ctcggcatcg tgaccagcgc cgctcgcgag gccgggtgtcg tgacacccct cggccggc 720  
 gtcgcccagc tgatggcctc cgcccggtgcg aacggtgatg gtggcctgga ccattcgcc 780  
 840

ctgctgcgtg gagtggagcg gctgtccggc cgccccccc agtgaccgt tccaactcg	900
aatcctcgat ggagaagtga tatgcctcgat atgcgcgccg ctgacgcagc ggtcaagatt	960
ctggaactcg aagggtgccac tcaggccttc ggccttcccgtgcggcgat caacccgttc	1020
tacgcagcaa tgcgtAACCA cggaggaatc aagcacatcc tcgcccggcca cgtcgagggc	1080
gcctcccaca tggccgaggg attcacccgc gccaaggccg gaaacatcg agtctgcata	1140
ggcacctccg ggcccggccg aaccgacatg atcaccggtc tgtattcggc catggcggac	1200
tcgatcccga tcctcgcat caccggccaa gctcccgtgg cgccgcctgca caaggaagac	1260
ttccaggccg tcgacatcgc ctcgatcgca ggcccggta cgaagatggc gatgacggtg	1320
ctcgagccgg cccaggttcc gggagcggttc ggcaggcat ttcaattgtat gcggctcggt	1380
cggccaggac cggtgctcat cgacctgccc atcgacgtgc agttggcgga gatcgacttc	1440
gaccggata cctaccagcc gctgcccgtg tacaagccgg ccgcgaccgc cgccgaggcg	1500
gagaaggcac tcgacatgtt gggtgccgca gaacgcccgc tgatcggttc gggcggtggc	1560
atcatcaacg ccgacgcccgc ggacctgctg gtggaaactgg ccgaactgtt ggacattccg	1620
gtcgtgccga cgctgatggg ctggggcacc atccggacg accaccgtct ccggccgggg	1680
atggtcggac tgcagaccgc ccaccgatac ggcaacgcca cgatgctggc gtcggacttc	1740
gtcctcgca tcggcaaccg gtggccaac cggcacacgg gcggctcgca cacctaccgg	1800
aaggggcgca agttcggtca cgtcgacatc gaacccaccc agatcggtcg cgtgtcg	1860
cccgactacg ggatcggttc cgacgccaag gctgcgtcg aactgttgcg cggctcg	1920
aaggagcgca aggccgcccgg aaccctggcg gaccgcagca cctgggtcgaa ggactgtgcc	1980
acccggaaagc ggaccatgca gcgcaagacc cacttcgacg acgtcccggt caaaccgcag	2040
cgcgtgtacg aggagatgaa ccgcgtttc gggcgacaca cccggtaactg gagcacgatc	2100
gggctctcgca agatcgccgg cggccagttc ctgcacgtct acaaggcccg caactggatc	2160
aactgcgggc aggccgggcc gctgggtgg acgatcccg ccgtctcgag tgggttgcc	2220
gcggagccgg agacgcccgt cgtggcgctg tccgggtact acgacttcca gttcatgatc	2280
gaggaactgg ccgtggcgcc ccagttcaac ctgcccgtaca tccacgtcg ggtgaacaac	2340
tcctacctgg gactgatccg tcagggcacag cgccgcgttc acatggactt ctgcgtgca	2400
ctggcttcg acaacatcaa caccaggag cggagcgagc acgagacgt gcccgggtc	2460
ccgaagggtt acggcggtcg tcacgtcaag gtcggccagg gcctgggtcg caaggccctg	2520
cgggtcaccg agccggcgca gatcgccggc gcccgtggaga aggccccgca actcgccgga	2580
gaacacaagg tgccgggtggt cgtcgaggtc ttccctcgagc gggtcaccaa catcgatc	2640

ggcacccgaac tcgacaacgt cgccgagttc gaggatctgg cggagagctg ggagcacgct	2700
ccccacagccc tcatgctgct ggactag	2727
<210> 158	
<211> 31	
<212> ADN	
<213> Nhân tạo	
<220>	
<223> đoạn mồi	
<400> 158	
cccccgagg ccgaagctgc cgagcacaat c	31
<210> 159	
<211> 30	
<212> ADN	
<213> Nhân tạo	
<220>	
<223> đoạn mồi	
<400> 159	
gtgctcgca gtttcggcct cgcgaaaaatc	30
<210> 160	
<211> 31	
<212> ADN	
<213> Nhân tạo	
<220>	
<223> đoạn mồi	
<400> 160	
cccccgagg ccgcccgtgc cgagcacaat c	31
<210> 161	
<211> 30	
<212> ADN	
<213> Nhân tạo	
<220>	
<223> đoạn mồi	
<400> 161	
gtgctcgca gcggcgccct cgcgaaaaatc	30
<210> 162	
<211> 31	
<212> ADN	
<213> Nhân tạo	
<220>	
<223> đoạn mồi	

<p>&lt;400&gt; 162 ccccgcgagg ccctggctgc cgagcacaat c</p> <p>&lt;210&gt; 163 &lt;211&gt; 30 &lt;212&gt; ADN &lt;213&gt; Nhân tạo</p> <p>&lt;220&gt; &lt;223&gt; đoạn mồi</p> <p>&lt;400&gt; 163 gtgctcgcca gccagggcct cgcgaaaaatc</p> <p>&lt;210&gt; 164 &lt;211&gt; 31 &lt;212&gt; ADN &lt;213&gt; Nhân tạo</p> <p>&lt;220&gt; &lt;223&gt; đoạn mồi</p> <p>&lt;400&gt; 164 ccccgcgagg ccattgctgc cgagcacaat c</p> <p>&lt;210&gt; 165 &lt;211&gt; 30 &lt;212&gt; ADN &lt;213&gt; Nhân tạo</p> <p>&lt;220&gt; &lt;223&gt; đoạn mồi</p> <p>&lt;400&gt; 165 gtgctcgcca gcaatggcct cgcgaaaaatc</p> <p>&lt;210&gt; 166 &lt;211&gt; 31 &lt;212&gt; ADN &lt;213&gt; Nhân tạo</p> <p>&lt;220&gt; &lt;223&gt; đoạn mồi</p> <p>&lt;400&gt; 166 ccccgcgagg ccatggctgc cgagcacaat c</p> <p>&lt;210&gt; 167 &lt;211&gt; 30 &lt;212&gt; ADN &lt;213&gt; Nhân tạo</p> <p>&lt;220&gt; &lt;223&gt; đoạn mồi</p>	<p>31</p> <p>30</p> <p>31</p> <p>30</p> <p>31</p> <p>31</p>
--	---

<p>&lt;400&gt; 167 gtgctcggca gccatggcct cgcgaaaaatc</p> <p>&lt;210&gt; 168 &lt;211&gt; 31 &lt;212&gt; ADN &lt;213&gt; Nhân tạo</p> <p>&lt;220&gt; &lt;223&gt; đoạn mồi</p> <p>&lt;400&gt; 168 ccccgcgagg ccaatgctgc cgagcacaat c</p> <p>&lt;210&gt; 169 &lt;211&gt; 30 &lt;212&gt; ADN &lt;213&gt; Nhân tạo</p> <p>&lt;220&gt; &lt;223&gt; đoạn mồi</p> <p>&lt;400&gt; 169 gtgctcggca gcattggcct cgcgaaaaatc</p> <p>&lt;210&gt; 170 &lt;211&gt; 31 &lt;212&gt; ADN &lt;213&gt; Nhân tạo</p> <p>&lt;220&gt; &lt;223&gt; đoạn mồi</p> <p>&lt;400&gt; 170 ccccgcgagg cctacgctgc cgagcacaat c</p> <p>&lt;210&gt; 171 &lt;211&gt; 30 &lt;212&gt; ADN &lt;213&gt; Nhân tạo</p> <p>&lt;220&gt; &lt;223&gt; đoạn mồi</p> <p>&lt;400&gt; 171 gtgctcggca gcgtaggcct cgcgaaaaatc</p> <p>&lt;210&gt; 172 &lt;211&gt; 31 &lt;212&gt; ADN &lt;213&gt; Nhân tạo</p> <p>&lt;220&gt; &lt;223&gt; đoạn mồi</p>	<p>30</p> <p>31</p> <p>30</p> <p>31</p> <p>30</p> <p>31</p> <p>30</p>
---	---

<400> 172 ccccgcgagg ccaaagctgc cgagcacaat c	31
<210> 173 <211> 30 <212> ADN <213> Nhân tạo	
<220> <223> đoạn mồi	
<400> 173 gtgctcgga cgtttggcct cgcgaaaaatc	30
<210> 174 <211> 31 <212> ADN <213> Nhân tạo	
<220> <223> đoạn mồi	
<400> 174 ccccgcgagg cccgcgctgc cgagcacaat c	31
<210> 175 <211> 30 <212> ADN <213> Nhân tạo	
<220> <223> đoạn mồi	
<400> 175 gtgctcgga gcgcgggcct cgcgaaaaatc	30
<210> 176 <211> 30 <212> ADN <213> Nhân tạo	
<220> <223> đoạn mồi	
<400> 176 gagccccgagg cgattattca ggtcggtggc	30
<210> 177 <211> 31 <212> ADN <213> Nhân tạo	
<220> <223> đoạn mồi	

<400> 177 cacgacacctga ataatcgccct cgggctcctt g	31
<210> 178 <211> 31 <212> ADN <213> Nhân tạo	
<220> <223> đoạn mồi	
<400> 178 gagcccgagg cgaatattca ggtcgtggc g	31
<210> 179 <211> 30 <212> ADN <213> Nhân tạo	
<220> <223> đoạn mồi	
<400> 179 cacgacacctga atattcgccct cgggctcctt	30
<210> 180 <211> 31 <212> ADN <213> Nhân tạo	
<220> <223> đoạn mồi	
<400> 180 gagcccgagg cggatattca ggtcgtggc g	31
<210> 181 <211> 30 <212> ADN <213> Nhân tạo	
<220> <223> đoạn mồi	
<400> 181 cacgacacctga atatccgcct cgggctcctt	30
<210> 182 <211> 31 <212> ADN <213> Nhân tạo	
<220> <223> đoạn mồi	

<400> 182 gagcccgagg cggaaaattca ggtcgtggtc g	31
<210> 183 <211> 30 <212> ADN <213> Nhân tạo	
<220> <223> đoạn mồi	
<400> 183 cacgacacctga attttcgcct cgggctcctt	30
<210> 184 <211> 31 <212> ADN <213> Nhân tạo	
<220> <223> đoạn mồi	
<400> 184 gagcccgagg cgcgcattca ggtcgtggtc g	31
<210> 185 <211> 30 <212> ADN <213> Nhân tạo	
<220> <223> đoạn mồi	
<400> 185 cacgacacctga atgcgcgcct cgggctcctt	30
<210> 186 <211> 31 <212> ADN <213> Nhân tạo	
<220> <223> đoạn mồi	
<400> 186 gagcccgagg cgcacattca ggtcgtggtc g	31
<210> 187 <211> 30 <212> ADN <213> Nhân tạo	
<220> <223> đoạn mồi	

<400> 187 cacgacctga atgtgcgcct cgggctcctt	30
<210> 188 <211> 31 <212> ADN <213> Nhân tạo	
<220> <223> đoạn mồi	
<400> 188 gagcccgagg cgccgattca ggtcgtggtc g	31
<210> 189 <211> 30 <212> ADN <213> Nhân tạo	
<220> <223> đoạn mồi	
<400> 189 cacgacctga atctgcgcct cgggctcctt	30
<210> 190 <211> 31 <212> ADN <213> Nhân tạo	
<220> <223> đoạn mồi	
<400> 190 gagcccgagg cgccgattca ggtcgtggtc g	31
<210> 191 <211> 30 <212> ADN <213> Nhân tạo	
<220> <223> đoạn mồi	
<400> 191 cacgacctga atcggcgcct cgggctcctt	30